



**TUGAS AKHIR – RC141501**

**STUDI PERILAKU STRUKTUR  
*ECCENTRICALLY BRACED FRAME (EBF)*  
DENGAN FINITE ELEMENT METHOD**

FAJRI AULIA ANSHARULLAH RUSYDI  
NRP 03111440000123

Dosen Pembimbing :  
Budi Suswanto, ST., MT., Ph.D.  
Ir. Isdarmanu, M.Sc.

**DEPARTEMEN TEKNIK SIPIL**  
Fakultas Teknik Sipil, Lingkungan, dan Kebumian  
Institut Teknologi Sepuluh Nopember  
Surabaya  
2018



**TUGAS AKHIR – RC141501**

**STUDI PERILAKU STRUKTUR  
*ECCENTRICALLY BRACED FRAME (EBF)*  
*DENGAN FINITE ELEMENT METHOD***

FAJRI AULIA ANSHARULLAH RUSYDI  
NRP 03111440000123

Dosen Pembimbing :  
Budi Suswanto, ST., MT., Ph.D.  
Ir. Isdarmanu, M.Sc.

DEPARTEMEN TEKNIK SIPIL  
Fakultas Teknik Sipil, Lingkungan, dan Kebumian  
Institut Teknologi Sepuluh Nopember  
Surabaya  
2018



**FINAL PROJECT – RC141501**

**ANALYTICAL STUDY OF ECCENTRICALLY  
BRACED FRAME (EBF) STRUCTURE USING FINITE  
ELEMENT METHOD**

Fajri Aulia Ansharullah Rusydi  
NRP 03111440000123

Supervisor  
Budi Suswanto, ST., MT., Ph.D.  
Ir. Isdarmanu, M.Sc.

CIVIL ENGINEERING DEPARTMENT  
Faculty of Civil, Environmental, and Geo-Engineering  
Sepuluh Nopember Institute of Technology  
Surabaya  
2018

**STUDI PERILAKU STRUKTUR ECCENTRICALLY  
BRACED FRAME (EBF) DENGAN FINITE ELEMENT  
METHOD**

**TUGAS AKHIR**

Diajukan untuk Memenuhi Salah Satu Syarat

Memperoleh Gelar Sarjana Teknik  
pada

Program Studi S-1 Departemen Teknik Sipil  
Fakultas Teknik Sipil, Lingkungan, dan Kebumian  
Institut Teknologi Sepuluh Nopember

Oleh :

**FAJRI AULIA ANSHARULLAH RUSYDI**

NRP. 03111440000123

Disetujui oleh Pembimbing Tugas Akhir :

1. Budi Suswanto, S.T., M.P.E. .... (Pembimbing I)

2. Ir. Isdarmaru, M.Sc DEPARTEMEN  
TEKNIK SIPIL ..... (Pembimbing II)

**SURABAYA**  
**MELI, 2018**

*“Halaman ini sengaja dikosongkan”*

## **STUDI PERILAKU STRUKTUR ECCENTRICALLY BRACED FRAME (EBF) DENGAN FINITE ELEMENT METHOD**

**Nama Mahasiswa : Fajri Aulia Ansharullah Rusydi**

**NRP : 03111440000123**

**Jurusan : Teknik Sipil FTSLK-ITS**

**Dosen Pembimbing : 1. Budi Suswanto, ST., MT., Ph.D  
2. Ir. Isdarmanu, M.Sc.**

### **Abstrak**

Indonesia secara geografis termasuk dalam kawasan “*Ring of Fire*” yang memiliki intensitas bencana gempa bumi yang cukup tinggi. Untuk mengantisipasi kerusakan dan kegagalan struktur yang disebabkan oleh bencana gempa, maka diperlukan suatu alternatif dalam merencanakan suatu struktur bangunan tahan gempa. Salah satu alternatif dalam merancang bangunan gedung tahan gempa adalah dengan menggunakan struktur *Eccentrically Braced Frame* (EBF). Sistem struktur EBF merupakan sistem yang mensyaratkan perilaku inelastik hanya terjadi pada balok *link* selama pembebangan gempa sehingga *link* akan mengalami rotasi inelastik sedangkan komponen lainnya dari EBF tetap elastik. Terdapat tiga kriteria balok *link* yang dimungkinkan dalam sistem struktur EBF, yaitu *short link*, *intermediate link* dan *long link* yang ditentukan dari normalisasi panjang *link* dengan rasio antara kapasitas momen plastis ( $M_p$ ) dan kapasitas geser plastis ( $V_p$ ). Kinerja link yang mampu mendisipasi energi gempa ditunjukkan dengan kelelahan yang membentuk sudut rotasi inelastik yang cukup besar pada link saat struktur sudah mengalami deformasi yang besar akibat beban lateral (gempa). Kerusakan link akibat kelelahan inilah yang sebenarnya diharapkan terjadi, untuk menjadikan struktur memiliki duktalitas yang cukup tinggi. Pada tugas akhir ini, pembahasan mengenai struktur bangunan tahan gempa akan difokuskan pada perilaku yang terjadi akibat dari penerapan ketiga tipe balok *link* EBF (*short link*, *intermediate link*, dan *long link*) pada suatu struktur bangunan tahan gempa. Analisis

dilakukan terhadap tiga model bangunan 10 lantai yang menggunakan sistem EBF tipe *Split K-Braces* dengan variasi panjang *link*.. Proses analisis struktur secara umum dilakukan dengan bantuan *software* ETABS, sedangkan untuk analisis mikro terhadap satu portal struktur EBF digunakan bantuan *software* ABAQUS.

**Kata Kunci :** *Eccentrically Braced Frame*, Balok Link, *finite element method*.

# **ANALYTICAL STUDY OF ECCENTRICALLY BRACED FRAME (EBF) STRUCTURE USING FINITE ELEMENT METHOD**

**Name** : Fajri Aulia Ansharullah Rusydi  
**Student ID** : 03111440000123  
**Department** : Teknik Sipil FTSLK-ITS  
**Major Supervisor** : 1. Budi Suswanto, ST., MT., Ph.D  
                          2. Ir. Isdarmanu, M.Sc.

## **Abstract**

*Indonesia as geographically included within the "Ring of Fire" that has the intensity of earthquake is high enough. To anticipate the damage and structural failure caused by earthquake disaster, an alternative is needed in planning an earthquake resistant building structure. One alternative in designing earthquake resistant building is using Eccentrically Braced Frame (EBF) structure. The EBF structure system is a system that requires inelastic behavior to occur only in the link beam during earthquake loading so that the link will undergo inelastic rotation while the other components of EBF remain elastic. There are three possible link beam criteria in the EBF structure system, ie short links, intermediate links and long links determined from link length normalization with the ratio between plastic moment capacity ( $M_p$ ) and plastic shear capacity ( $V_p$ ). The performance of a link capable of dissipating earthquake energy is indicated by the melt that forms a substantial inelastic rotation angle at the link when the structure is already deformed substantially by lateral loads (earthquakes). In this final project, the discussion about the earthquake resistant building structure will be focused on the behavior caused by the application of the three types of EBF link beam (short link, intermediate link, and long link) in an earthquake resistant building structure. The analysis was conducted on three 10-storey building models using the Split K-Braces EBF system with variation of link length. The process of structural analysis is*

*generally done with the help of ETABS, while for micro analysis of one portal EBF structure used ABAQUS 6.14 software.*

**Keywords:** Eccentrically Braced Frame, Link Beam, finite element method,

## KATA PENGANTAR

Puji dan syukur kehadirat Tuhan Yang Maha Esa atas rahmat dan tuntunannya sehingga Proposal Tugas Akhir dengan judul “**Studi Perilaku Struktur Eccentrically Braced Frame (EBF) Dengan Finite Element Method**” dapat diselesaikan dengan baik. Proposal Tugas Akhir ini disusun sebagai salah satu persyaratan untuk memperoleh gelar Sarjana Teknik (S.T.) dalam bidang Struktur pada program studi S1 Teknik Sipil Institut Teknologi Sepuluh Nopember (ITS) Surabaya.

Pada kesempatan ini penulis menyampaikan rasa hormat dan ucapan terima kasih yang sebesar-besarnya kepada semua pihak yang telah membantu penulis selama menjalani studi S1 Teknik Sipil di Institut Teknologi Sepuluh Nopember (ITS) Surabaya, khususnya kepada :

1. Bapak Budi Suswanto, S.T., M.T., Ph.D., dan Bapak Ir. Isdarmaru, M.Sc selaku dosen pembimbing, atas bimbingan, dukungan serta waktunya dalam penyelesaian Tugas Akhir.
2. Bapak Ir. Mudji Irmawan, MS. selaku dosen wali, atas segala arahan, nasehat serta bimbingannya.
3. Seluruh staf pengajar dan staf administrasi program sarjana yang telah memberikan bekal ilmu pengetahuan dan pelayanan administrasi selama penulis menjalani proses belajar.
4. Kedua orang tua saya, bapak Drs.H. Rusdi, M.H. dan Ibu Hj. Nur Asiah S.Ag, dan kedua adikku tercinta Muhammad Ihsan Rizqi Maulana dan Azra Salsabila Salwa serta seluruh keluarga besar yang telah memberikan semangat, nasehat dan doa sehingga penulis dapat menyelesaikan Tugas Akhir ini.
5. Fitria Wahyu Maharani S.Pd yang selalu memberikan motivasi dan dukungan bagi penulis untuk dapat menyelesaikan Tugas Akhir ini walaupun terpisah jarak yang cukup jauh.

6. La Ode M. Iqbal Awaluddin, Alfan Nur Kamal, M. Ryansyah, Ari Setya Budi, Fahmi Fachrial, Firman Arifanto, Sutan Fahreza Akbar dan teman-teman WARKOP 57 lainnya yang tidak bisa disebutkan satu-persatu. Terima kasih rek atas bantuannya selama ini.
7. Teman-teman S1 Teknik Sipil FTSP-ITS angkatan 2014 yang selalu memberikan semangat, dorongan, dan masukkan kepada penulis dalam rangka penyelesaian Proposal Tugas Akhir ini.
8. Semua yang telah membantu yang tidak dapat disebutkan satu persatu.

Penulis sadar bahwa dalam penulisan Proposal Tugas Akhir ini masih terdapat banyak kekurangan, oleh karena itu saran dan kritik dari para pembaca sangat penulis harapkan demi penyempurnaan Tugas Akhir ini. Akhir kata, penulis berharap Tugas Akhir ini dapat memberikan manfaat bagi diri penulis sendiri maupun masyarakat umum serta dapat memberikan kontribusi bagi pengembangan ilmu pengetahuan ketekniksipilan terutama dalam bidang Struktur.

Surabaya, 21 Mei 2018

Penulis

## **DAFTAR ISI**

LEMBAR PENGESAHAN .....	i
ABSTRAK .....	iii
ABSTRACT .....	v
KATA PENGANTAR.....	vii
DAFTAR ISI .....	ix
DAFTAR GAMBAR .....	xiii
DAFTAR TABEL .....	xix
BAB I PENDAHULUAN .....	1
1.1 Latar Belakang.....	1
1.2 Rumusan Masalah.....	3
1.2.1 Permasalahan utama.....	3
1.2.2 Rincian permasalahan .....	3
1.3 Tujuan .....	3
1.4 Batasan Masalah .....	4
1.5 Manfaat .....	4
BAB II TINJAUAN PUSTAKA .....	5
2.1 Faktor Gempa Pada Struktur.....	5
2.2 Sistem Eccentrically Braced Frame (EBF) .....	8
2.3 Komponen Penyusun Sistem EBF.....	10
2.3.1 Elemen <i>Link</i> .....	10
2.3.2 <i>Bracing</i> Diagonal dan Balok di Luar <i>Link</i> .....	13
2.3.3 Kolom .....	13

2.3.4 Pengaku Badan ( <i>Web Stiffeners</i> ) .....	14
2.3.5 Sambungan .....	16
2.4 Respon Inelastis dan Mekanisme Keruntuhan .....	19
2.5 Analisis Statik Nonlinier Pushover .....	21
2.6 Mekanisme Sendi Plastis.....	23
2.7 Tingkat Kinerja Bangunan.....	24
<b>BAB III METODOLOGI.....</b>	<b>27</b>
3.1 Umum .....	27
3.2 Bagan Alir Penyelesaian Tugas Akhir .....	27
3.3 Penjelasan Diagram Alir Metodologi.....	28
3.3.1 Studi Literatur .....	28
3.3.2 Kriteria Desain.....	29
3.3.3 Variabel Desain .....	30
3.3.4 <i>Preliminary Design</i> .....	31
3.3.5 Perhitungan Beban Struktur.....	31
3.3.6 Perencanaan Struktur Sekunder .....	39
3.3.7 Pemodelan dan Analisis Struktur Utama dengan Program Bantu.....	40
3.3.8 Kontrol Perencanaan Struktur Utama .....	40
3.3.9 Perencanaan Sambungan .....	53
3.3.10 Penggambaran Output Desain Menggunakan Program Bantu.....	54
3.3.11 Penarikan Kesimpulan Penelitian .....	55
<b>BAB IV HASIL PERENCANAAN.....</b>	<b>57</b>

4.1 Perencanaan Struktur Sekunder .....	57
4.1.1 Perencanaan dimensi pelat lantai gedung .....	57
4.1.2 Perencanaan balok anak.....	60
4.2 Permodelan Struktur .....	68
4.2.1 Penjelasan umum .....	68
4.2.2 Pembebanan struktur utama.....	70
4.2.3 Pembebanan gempa dinamis.....	71
4.2.4 Kombinasi pembebanan.....	77
4.2.5 Kontrol desain.....	78
4.3 Analisa Pushover .....	90
4.3.1 Mekanisme Sendi Plastis .....	90
4.3.2 Analisis Kurva <i>Pushover</i> (Gaya Geser Dasar – Perpindahan Titik Kontrol).....	94
4.3.3 Analisis Kurva <i>Pushover</i> {Capacity Spectrum Method /CSM (Metode Spektrum Kapasitas)} .	97
4.3.5 Analisis Kekuatan Struktur .....	100
4.3.5 Analisis Kekakuan Struktur .....	102
4.3.6 Analisis Daktilitas Struktur.....	104
4.4 Analisa Portal EBF dengan ABAQUS .....	106
4.4.1 Pemodelan Portal EBF dengan ABAQUS .....	106
4.4.2 Analisa Perilaku Portal EBF dengan ABAQUS .....	112
4.3 Perencanaan Struktur Primer .....	116
4.3.1 Perencanaan <i>link</i> .....	116
4.3.2 Perencanaan balok diluar <i>link</i> .....	125

4.3.3 Perencanaan bresing .....	133
4.3.4 Perencanaan balok induk .....	137
4.3.5 Perencanaan kolom.....	143
4.4 Perencanaan Sambungan.....	149
4.4.1 Sambungan balok induk dengan balok anak ....	149
4.4.2 Sambungan balok diluar <i>link</i> dengan kolom ....	155
4.4.3 Sambungan bresing .....	168
4.4.4 Sambungan balok induk dengan kolom .....	179
4.4.5 Sambungan antar kolom .....	192
4.4.6 Sambungan kolom dengan <i>baseplate</i> .....	193
BAB V KESIMPULAN DAN SARAN.....	201
5.1 Kesimpulan.....	201
5.2 Saran.....	203
DAFTAR PUSTAKA .....	205

## DAFTAR GAMBAR

Gambar 2.1 Rekonstruksi lempeng tektonik di Indonesia (Hall, 1995) .....	5
Gambar 2.2 Pengaruh Gempa pada Bangunan (Popov et al, 1987).....	7
Gambar 2.3 Mekanisme Keruntuhan Ideal Suatu Struktur Gedung dengan Sendi Plastis Terbentuk pada Ujung-Ujung Balok dan Kaki Kolom (Budiono dkk, 2011) .....	8
Gambar 2.4 Beberapa kemungkinan penempatan <i>bracing</i> untuk sistem struktur EBF (Engelhardt, 2007).....	9
Gambar 2.5 Lokasi aksi inelastis pada MRF, EBF dan CBF (Engelhardt, 2007).....	10
Gambar 2.6 Gaya yang bekerja pada balok <i>link</i> (Popov, Kasai dan Engelhardt, 1987) .....	10
Gambar 2.7 Klasifikasi <i>link</i> (Bruneau et al., 2011).....	13
Gambar 2.8 Distribusi gaya lateral dan internal pada rangka (Pirmoz dan Marefat, 2014) .....	14
Gambar 2.9 Mode kegagalan pada <i>link</i> tanpa <i>stiffeners</i> (Ohsaki et al, 2012) .....	15
Gambar 2.10 Mode kegagalan pada <i>short link</i> (Ohsaki et al, 2012).....	15
Gambar 2.11 Mode kegagalan pada <i>intermediate link</i> (Ohsaki et al, 2012) .....	15
Gambar 2.12 Mode kegagalan pada <i>long link</i> (Ohsaki et al, 2012).....	16
Gambar 2.13 Beberapa contoh sambungan jenis <i>simple connection</i> di lapangan .....	17
Gambar 2.14 Beberapa contoh sambungan jenis <i>Semi- rigid connetion</i> di lapangan.....	18
Gambar 2.15 Beberapa contoh sambungan jenis <i>rigid connetion</i> di lapangan.....	19

Gambar 2.16 Tipikal sistem EBF (a) K-braces; (b) D-braces; (c) V-braces (Popov dan Engelhardt, 1988).....	19
Gambar 2.17 Sudut rotasi <i>link</i> untuk sistem EBF pada Gambar 2.4 (Popov dan Engelhardt, 1988).....	20
Gambar 2.18 Kurva hubungan beban – perpindahan.....	22
Gambar 2.19 Gambar 2.16 Kurva hubungan gaya – perpindahan serta karakteristik sendi plastis dan informasi. ....	24
Gambar 2.20 Visualisasi rekayasa gempa berbasis kinerja (FEMA 356, 2000) .....	26
Gambar 3.1 Bagan Alir Metodologi Penyelesaian Tugas Akhir .....	28
Gambar 3.2 Denah Pembalokan & Kolom Lantai 2-10 .....	30
Gambar 3.3 Potongan Melintang Bangunan .....	30
Gambar 3.4 Model Bracing .....	31
Gambar 3.5 Peta untuk S <sub>s</sub> .....	37
Gambar 3.6 Peta untuk S <sub>1</sub> .....	37
Gambar 4.1 Pelat Lantai Atap .....	57
Gambar 4.2 Penulangan Pelat Atap .....	58
Gambar 4.3 Pelat Lantai Apartemen .....	59
Gambar 4.4 Penulangan Lantai Apartemen .....	60
Gambar 4.5 Balok Anak Lantai Atap .....	61
Gambar 4.6 Denah Balok Anak Lantai Apartemen .....	64
Gambar 4.7 Denah Struktur Gedung Permodelan .....	68
Gambar 4.8 Pemodelan Struktur Gedung .....	69
Gambar 4.9 S <sub>1</sub> , Gempa maksimum yang dipertimbangkan risiko-tertarget(MCER),kelas situs SB .....	72
Gambar 4.10 S <sub>s</sub> , Gempa maksimum yang dipertimbangkan risiko-tertarget(MCER),kelas situs SB .....	72
Gambar 4.11 Grafik Spektral Percepatan Gempa Wilayah Surabaya .....	74
Gambar 4.12 Grafik Respon Spektrum Situs E Surabaya ..	76
Gambar 4.13 Pembebanan Gempa Dinamis Arah X .....	76

Gambar 4.14 Pembebanan Gempa Dinamis Arah Y .....	77
Gambar 4.15 Kombinasi Pembebanan pada ETABS .....	78
Gambar 4.16 Simpangan gedung arah sumbu X .....	89
Gambar 4.17 Simpangan gedung arah sumbu Y .....	89
Gambar 4.18 Drift gedung arah sumbu X .....	89
Gambar 4.19 Drift gedung arah sumbu Y .....	90
Gambar 4.20 Kondisi Sendi Plastis Pada Step – 3 Akibat Gempa X .....	91
Gambar 4.21 Kondisi Sendi Plastis Pada Step – 4 Akibat Gempa X .....	91
Gambar 4.22 Kondisi Sendi Plastis Pada Step – 5 Akibat Gempa X .....	92
Gambar 4.23 Kondisi Sendi Plastis Pada Step – 3 Akibat Gempa Y .....	92
Gambar 4.24 Kondisi Sendi Plastis Pada Step – 5 Akibat Gempa Y .....	93
Gambar 4.25 Perbandingan Kurva Pushover EBF Tipe Short, Intermediate, dan Long Akibat Beban Pola 1 Pushover Arah X .....	94
Gambar 4.26 Perbandingan Kurva Pushover EBF Tipe Short, Intermediate, dan Long Akibat Beban Pola 2 Pushover Arah X .....	95
Gambar 4.27 Perbandingan Kurva Pushover EBF Tipe Short, Intermediate, dan Long Akibat Beban Pola 1 Pushover Arah Y .....	95
Gambar 4.28 Perbandingan Kurva Pushover EBF Tipe Short, Intermediate, dan Long Akibat Beban Pola 2 Pushover Arah Y .....	96
Gambar 4.29 Kurva CSM EBF-S .....	97
Gambar 4.30 Kurva CSM EBF-I.....	98
Gambar 4.31 Kurva CSM EBF-L .....	99

Gambar 4.32 Perbandingan Kekakuan Elastis Model EBF Tipe Pendek (EBF-S), Menengah (EBF-I) dan Panjang (EBF-L) Arah X .....	101
Gambar 4.33 Perbandingan Kekakuan Elastis Model EBF Tipe Pendek (EBF-S), Menengah (EBF-I) dan Panjang (EBF-L) Arah Y .....	102
Gambar 4.34 Perbandingan Kekakuan Elastis Model EBF Tipe Pendek (EBF-S), Menengah (EBF-I) dan Panjang (EBF-L) Arah X .....	103
Gambar 4.35 Perbandingan Kekakuan Elastis Model EBF Tipe Pendek (EBF-S), Menengah (EBF-I) dan Panjang (EBF-L) Arah Y .....	104
Gambar 4.36 Perbandingan Nilai Daktilitas Model EBF Tipe Pendek (EBF-S), Menengah (EBF-I) dan Panjang (EBF-L) Arah X .....	105
Gambar 4.37 Perbandingan Nilai Daktilitas Model EBF Tipe Pendek (EBF-S), Menengah (EBF-I) dan Panjang (EBF-L) Arah Y .....	105
Gambar 4.38 Membuat Model Profil WF .....	107
Gambar 4.39 Pemodelan Profil WF 3D .....	107
Gambar 4.40 <i>Input Modulus Elastisitas Dan Poisson Ratio</i> .....	108
Gambar 4.41 Input Tegangan Leleh Dan Berat Jenis Material .....	108
Gambar 4.42 Input <i>Step</i> Pada Model .....	110
Gambar 4.43 <i>Cyclic Loading Protocol (AISC-2005)</i> .....	111
Gambar 4.44 Pembebanan Siklik Berupa <i>Displacement Control</i> .....	112
Gambar 4.45 Kontur Tegangan EBF-S Step-1 .....	113
Gambar 4.46 Kontur Tegangan EBF-S Step-3 .....	113
Gambar 4.47 Kontur Tegangan EBF-S Step-15 .....	113
Gambar 4.48 Kontur Tegangan EBF-I Step-1 .....	114

Gambar 4.49 Kontur Tegangan EBF-I Step-17.....	114
Gambar 4.50 Kontur Tegangan EBF-I Step-25.....	114
Gambar 4.51 Kontur Tegangan EBF-L Step-1 .....	115
Gambar 4.52 Kontur Tegangan EBF-L Step-19 .....	115
Gambar 4.53 Kontur Tegangan EBF-L Step-37 .....	115
Gambar 4.54 Element Balok Diluar <i>Link</i> Arah X .....	117
Gambar 4.55 Gaya Dalam <i>Link</i> Arah X .....	117
Gambar 4.56 <i>Frame Element Link</i> Arah Y .....	121
Gambar 4.57 Gaya Dalam <i>Link</i> Arah Y .....	122
Gambar 4.58 Element Balok Diluar <i>Link</i> Arah X .....	125
Gambar 4.59 Gaya Dalam Balok di Luar <i>Link</i> Arah X....	126
Gambar 4.60 Elemen Balok Diluar <i>Link</i> Arah Y .....	129
Gambar 4.61 Gaya Dalam Balok di Luar <i>Link</i> Arah X....	130
Gambar 4.62 Gaya Dalam Balok Induk Arah X .....	137
Gambar 4.63 Lendutan Pada Balok Induk Memanjang	
Akibat Kombinasi 1DL + 1LL .....	139
Gambar 4.64 Gaya Dalam Balok Induk Arah Y .....	140
Gambar 4.65 Lendutan Pada Balok Induk Memanjang	
Akibat Kombinasi 1DL + 1LL .....	142
Gambar 4.66 Kolom C16 yang ditinjau untuk kontrol.....	143
Gambar 4.67 Sambungan Balok Anak Lantai Gedung	
Dengan Balok Induk.....	149
Gambar 4.68 Detail Sambungan Baut Pada Pelat Siku....	151
Gambar 4.69 Sambungan Balok Anak Lantai Atap Dengan	
Balok Induk .....	152
Gambar 4.70 Detail Sambungan Baut Pada Pelat Siku....	154
Gambar 4.71 Tampak Atas Sambungan Balok WF	
400x200x8x13 dengan Kolom HSS 500x500x22x22 .....	160
Gambar 4.72 Detail Sambungan Sambungan Balok WF	
400x200x8x13 dengan Kolom HSS 500x500x22x22 .....	161
Gambar 4.73 Tampak Atas Sambungan Balok WF	
400x200x8x13 dengan Kolom HSS 500x500x22x22 .....	167

Gambar 4.74 Detail Sambungan Sambungan Balok WF 400x200x8x13 dengan Kolom HSS 500x500x22x22.....	167
Gambar 4.75 Sambungan Bracing .....	172
Gambar 4.76 Detail A Sambungan Bracing.....	172
Gambar 4.77 Detail B Sambungan Bracing .....	173
Gambar 4.78 Sambungan Bracing .....	177
Gambar 4.79 Detail A Sambungan Bracing.....	178
Gambar 4.80 Detail B Sambungan Bracing .....	178
Gambar 4.81 Tampak Atas Sambungan Balok WF 400x200x8x12 dengan Kolom HSS 500x500x22x22.....	184
Gambar 4.82 Detail Sambungan Sambungan Balok WF 400x200x8x12 dengan Kolom HSS 500x500x22x22.....	185
Gambar 4.83 Tampak Atas Sambungan Balok WF 400x200x8x12 dengan Kolom HSS 500x500x22x22.....	191
Gambar 4.84 Detail Sambungan Sambungan Balok WF 400x200x8x12 dengan Kolom HSS 500x500x22x22.....	191
Gambar 4.85 Detail sambungan Antar Kolom.....	193
Gambar 4.86 Arah Beban Sumbu X Pada Base Plate .....	196
Gambar 4.87 Arah Beban Sumbu Y Pada Base Plate .....	197
Gambar 4.88 Base Plate pada Kolom .....	199

## DAFTAR TABEL

Tabel 3.1 Kategori Resiko Bangunan Gedung dan Struktur Lainnya untuk Beban Gempa .....	34
Tabel 3.2 Faktor Keutamaan Gempa.....	36
Tabel 3.3 Koefisien Situs, $F_a$ .....	38
Tabel 3.4 Koefisien Situs, $F_v$ .....	38
Tabel 3.5 Koefisien Modifikasi Respons .....	39
Tabel 3.6 Batas-batas pengekang lateral .....	48
Tabel 4.1 Parameter Respon Gempa Wilayah Surabaya untuk Kelas Situs E (Tanah Lunak) .....	73
Tabel 4.2 Faktor $R^a$ , $C_d^b$ , dan $\Omega_0$ untuk sistem penahan gaya gempa.....	74
Tabel 4.3 Faktor keutamaan gempa .....	75
Tabel 4.4 Faktor R , $C_d$ , dan $\Omega_0$ untuk sistem penahan gaya gempa .....	75
Tiap Tabel 4.5 Perhitungan Berat Struktur Tiap Lantai Lantai.....	79
Tabel 4.6 Rekapitulasi Berat Struktur Berdasarkan Program Bantu Analisa Struktur .....	79
Tabel 4.7 Rasio Partisipasi Massa.....	80
Tabel 4.8 Koefisien untuk batas atas pada periода yang dihitung.....	81
Tabel 4.9 Nilai parameter perioda pendekatan $C_t$ dan $x$ ....	81
Tabel 4.10 Perioda dan Frekuensi Struktur .....	82
Tabel 4.11 Kontrol Nilai Gaya Geser Dasar Ragam Dinamik Terhadap Gaya Geser Dasar Statik .....	83
Tabel 4.12 Perhitungan Eksentrisitas Aktual terhadap Pusat Massa dan Pusat Rotasi .....	84
Tabel 4.13 Kontrol Simpangan antar lantai model EBF-S akibat gempa X.....	86

Tabel 4.14 Kontrol Simpangan antar lantai model EBF-S akibat gempa Y .....	86
Tabel 4.15 Kontrol Simpangan antar lantai model EBF-I akibat gempa X .....	86
Tabel 4.16 Kontrol Simpangan antar lantai model EBF-I akibat gempa Y .....	87
Tabel 4.17 Kontrol Simpangan antar lantai model EBF-L akibat gempa X .....	87
Tabel 4.18 Kontrol Simpangan antar lantai model EBF-L akibat gempa Y .....	88
Tabel 4.19 Tabel Pushover EBF-S (Gaya Geser Dasar – Perpindahan Titik Kontrol) .....	98
Tabel 4.20 Tabel Pushover EBF-I (Gaya Geser Dasar – Perpindahan Titik Kontrol) .....	99
Tabel 4.21 Tabel Pushover EBF-L (Gaya Geser Dasar – Perpindahan Titik Kontrol) .....	100
Tabel 4.22 Klasifikasi jarak pengaku antara (intermediate stiffeners) dan kapasitas rotasi link (AISC, 2010) .....	109
Tabel 4.23 Penentuan Jarak Pengaku Badan ( <i>Web Stiffeners</i> ) Berdasarkan AISC 3610-10.....	109
Tabel 4.24 Input Beban Siklik Pada Portal EBF.....	111

## **BAB I**

### **PENDAHULUAN**

#### **1.1 Latar Belakang**

Secara geografis Indonesia merupakan negara kepulauan yang terletak pada pertemuan empat lempeng tektonik, yaitu lempeng Benua Asia, Benua Australia, lempeng Samudera Hindia dan Samudera Pasifik. Pada bagian selatan dan timur Indonesia terdapat sabuk vulkanik (*volcanic arc*) yang memanjang dari Pulau Sumatera – Jawa - Nusa Tenggara - Sulawesi, yang sisinya berupa pegunungan vulkanik tua dan dataran rendah yang sebagian didominasi oleh rawa-rawa. Kondisi tersebut sangat berpotensi sekaligus rawan bencana seperti letusan gunung berapi, gempa bumi, tsunami, banjir dan tanah longsor.

Hampir setiap tahun Indonesia dilanda gempa berkekuatan tinggi. Tercatat dalam kurun waktu 20 tahun saja telah terjadi beberapa gempa berkekuatan tinggi yang melanda Indonesia yang menyebabkan timbulnya kerugian baik material maupun korban jiwa. Salah satu bencana gempa tersebut adalah bencana gempa bumi yang melanda Jogja dan sebagian Jawa Tengah pada 27 Mei 2006. Berdasarkan data dari BMKG, gempa tersebut memiliki kisaran kekuatan antara 5,8 hingga 6,2 skala *richter*. Gempa yang termasuk tektonik dangkal ini mengakibatkan 86.000 rumah hancur dan kurang lebih sebanyak 283.000 rumah mengalami kerusakan. Selain menyebabkan kerugian materi seperti kehancuran infrastruktur, gempa tersebut juga mengakibatkan lebih dari 6000 orang meninggal dan sekitar 50.000 ribu orang mengalami cidera (Budiono, 2011).

Tingginya potensi gempa pada wilayah Indonesia menuntut para praktisi teknik sipil untuk mempelajari serta merencanakan struktur bangunan tahan gempa pada setiap gedung tinggi yang ada di Indonesia. Dalam proses merencanakan struktur bangunan tahan gempa, baja masih menjadi pilihan favorit para praktisi teknik sipil sebagai material struktur bangunan tahan gempa. Hal tersebut terjadi dikarenakan baja memiliki kekuatan dalam menahan beban yang relatif tinggi dan sifat elatis baja yang memberikan

sumbangannya daktilitas dan disipasi energi yang lebih baik dibandingkan beton (Dewobroto, 2015). Dalam kaitannya dengan permasalahan kegempaan, menurut Engelhardt M.D. (2007) terdapat beberapa sistem struktur baja tahan gempa yang dapat diterapkan pada bangunan yaitu; *Moment Resisting Frame* (MRF), *Concentrically Braced Frame* (CBF), *Eccentrically Braced Frame* (EBF), *Buckling Restrained Braced Frame* (BRBF) dan *Special Plate Shear Walls* (SPSW).

Sistem struktur EBF merupakan sistem yang membatasi perilaku inelastik hanya terjadi pada balok *link* yang berada diantara dua pengekang eksentrik, sedangkan bagian balok luar, kolom dan pengekang diagonal tetap elastik selama beban seismik bekerja. Oleh karena itu, sistem EBF dapat memenuhi tingkat daktilitas yang tinggi seperti MRF dan juga dapat memberikan tingkat kekakuan elastis yang tinggi seperti CBF (Danesmand dan Hashemi, 2011).

Terdapat tiga kriteria balok *link* yang dimungkinkan dalam sistem struktur EBF yaitu; *short link*, *intermediate link* dan *long link*. Kriteria ini ditentukan dari normalisasi panjang *link* dengan rasio antara kapasitas momen plastis ( $M_p$ ) dan kapasitas geser plastis ( $V_p$ ). *Link* dengan rasio panjang kurang dari 1,6 dikategorikan sebagai *short link* atau *link* geser dikarenakan pelelehan geser yang dominan terjadi. *Link* dengan rasio panjang lebih dari 2,6 dikategorikan sebagai *long link* atau *link* lentur disebabkan lebih dominannya pelelehan lentur. Sedangkan *Link* dengan rasio panjang di antara 1,6 sampai 2,6 dikategorikan sebagai *intermediate link* atau *link* geser-lentur dikarenakan pelelehan yang terjadi merupakan kombinasi dari geser dan lentur (Richards dan Uang, 2005). Namun, penggunaan ketiga jenis link pada struktur EBF ini masih terbatas karena kurangnya pengalaman pelaksanaan dan pengetahuan mengenai manfaat penggunaan struktur EBF tersebut.

Berdasarkan uraian diatas, maka dalam Tugas Akhir ini penulis akan memfokuskan analisis pada perilaku yang terjadi akibat dari penerapan ketiga tipe balok *link* EBF (*short link*,

(*intermediate link*, dan *long link*) pada suatu struktur bangunan tahan gempa. Analisis dilakukan terhadap tiga model bangunan 10 lantai yang menggunakan sistem EBF tipe *Split K-Braces* dengan variasi panjang *link*. Proses analisis struktur secara umum dilakukan dengan bantuan *software* ETABS, sedangkan untuk analisis mikro terhadap satu portal struktur EBF digunakan bantuan *software* ABAQUS.

## 1.2 Rumusan Masalah

### 1.2.1 Permasalahan utama

Bagaimana merencanakan sistem struktur EBF yang efektif dan efisien berdasarkan perbedaan panjang balok link?

### 1.2.2 Rincian permasalahan

1. Bagaimana merencanakan, memodelkan dan menganalisis struktur bangunan baja dengan sistem *Eccentrically Braced Frame* (EBF) untuk tiga kriteria balok *link* menggunakan program bantu ETABS?
2. Bagaimana memodelkan portal sistem EBF untuk tiga kriteria balok *link* dengan program bantu ABAQUS?
3. Bagaimana perilaku yang terjadi pada masing-masing tipe balok *link* sistem EBF?

## 1.3 Tujuan

Dari uraian masalah diatas, tujuan yang ingin dicapai dalam penelitian ini adalah sebagai berikut:

1. Merencanakan, memodelkan dan menganalisis struktur bangunan baja dengan sistem *Eccentrically Braced Frame* (EBF) untuk tiga kriteria balok *link* dengan program bantu ETABS.
2. Memodelkan portal sistem EBF untuk tiga kriteria balok *link* beserta detail sambungannya dengan program bantu ABAQUS.
3. Mengetahui perilaku yang terjadi pada masing-masing tipe balok *link* EBF

#### **1.4 Batasan Masalah**

Demi tercapainya keterarahan penelitian, maka diberikan beberapa batasan yang meliputi:

1. Desain struktur bangunan baja yang dianalisis adalah bangunan 10 lantai dengan sistem struktur EBF yang divariasikan panjang balok *link* serta jenis sambungannya.
2. Analisis dinamik struktur bangunan menggunakan program ETABS.
3. Tidak melakukan perhitung struktur bangunan bawah.
4. Analisis perilaku portal sistem EBF dan detail sambungan menggunakan program ABAQUS.
5. Kondisi perletakan pada pangkal kolom dianggap jepit

#### **1.5 Manfaat**

Adapun manfaat yang dapat diberikan dari hasil penelitian ini adalah:

1. Sebagai bahan informasi dan referensi dalam desain struktur bangunan baja yang menggunakan sistem *Eccentrically Braced Frame* (EBF).
2. Sebagai bahan informasi mengenai perbedaan perilaku yang terjadi akibat dari penerapan ketiga tipe balok *link* EBF (*short link*, *intermediate link*, dan *long link*) pada suatu struktur bangunan tahan gempa.

## BAB II

### TINJAUAN PUSTAKA

#### 2.1 Faktor Gempa Pada Struktur

Gempa bumi adalah peristiwa bergetarnya bumi akibat pelepasan energi di dalam bumi secara tiba-tiba yang ditandai dengan patahnya lapisan batuan pada kerak bumi. Akumulasi energi penyebab terjadinya gempa bumi dihasilkan dari pergerakan lempeng-lempeng tektonik. Energi yang dihasilkan dipancarkan ke segala arah berupa gelombang gempa bumi yang efeknya dapat dirasakan sampai ke permukaan bumi. Daerah perbatasan lempeng-lempeng tektonik merupakan tempat-tempat yang memiliki kondisi tektonik yang aktif. Kondisi tersebut dapat menyebabkan terjadinya gempa bumi, gunung berapi, dan pembentukan dataran tinggi.

Indonesia adalah negara kepulauan dengan tingkat resiko terhadap gempa bumi yang cukup tinggi seperti halnya Jepang dan California, hal ini disebabkan karena wilayah Kepulauan Indonesia terletak pada pertemuan tiga lempeng aktif utama dunia yaitu lempeng Indo – Australia, Eurasia, dan Pasifik. Posisi ketiga lempeng tersebut dapat dilihat pada Gambar 2.1 berikut ini.



Gambar 2.1 Rekonstruksi lempeng tektonik di Indonesia (Hall, 1995)

Gempa bumi memberikan pengaruh langsung pada konstruksi bangunan melalui intensitas lokal dari gempa, yaitu besar kecilnya getaran permukaan di lokasi bangunan berdiri. Intensitas gempa lokal tersebut dinyatakan sebagai percepatan gempa permukaan dengan satuan ( $\text{m/s}^2$ ). Ketika tanah dalam keadaan diam, maka bangunan tidak bergerak (stabil) sehingga berat sendiri bangunan ditopang langsung oleh tanah searah percepatan gravitasi. Ketika gempa bumi terjadi, permukaan tanah akan bergerak dengan percepatan tertentu (dari kondisi diam hingga mempunyai kecepatan tertentu). Adanya percepatan tanah ini menimbulkan gaya dorong yang membuat bangunan diatasnya ter dorong ke arah belakang (berlawanan dengan arah percepatan tanah) sehingga berpotensi merusak bangunan. Gaya dorong tersebut dinamakan gaya inersia yang mempunyai kecenderungan agar bangunan tetap berada pada kondisi semula dengan cara melawan arah gerakan percepatan tanah akibat gempa. Gaya inersia menyebabkan struktur berespon relatif terhadap tanah dan menyebabkan pergerakan (perpindahan) pada elemen-elemen struktur sehingga menimbulkan gaya pegas yang harus dipikul oleh struktur, terutama oleh elemen struktur vertikal seperti kolom dan dinding geser struktur. Besarnya gaya inersia yang timbul akibat percepatan tanah tersebut dapat dihitung berdasarkan hukum ketiga Newton, yaitu:

$$F = m \times a \quad (2.1)$$

Dimana

$F$  = Gaya inersia (Newton)

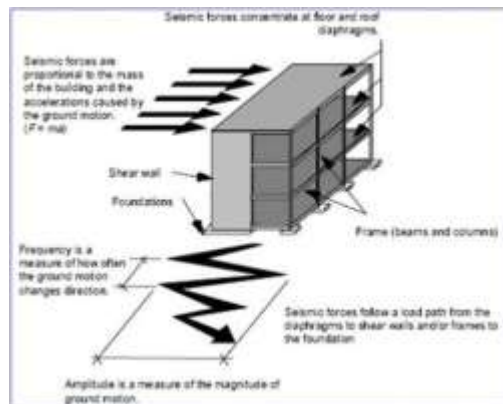
$m$  = massa bangunan (kg)

$a$  = percepatan tanah ( $\text{m/s}^2$ )

Berdasarkan persamaan tersebut, maka kita dapat mengetahui bahwa semakin besar massa bangunan dan/atau semakin besar percepatan tanah tersebut, semakin besar pula gaya inersia yang timbul. Oleh karena itu, bangunan yang

menggunakan material yang lebih ringan akan lebih tahan terhadap guncangan akibat gempa bumi.

Selain itu, faktor gempa yang berpengaruh pada respon atau reaksi struktur bangunan adalah lamanya waktu gempa (durasi gempa) dan rentang frekuensi gempa. Durasi gempa berpengaruh pada besarnya pemindahan energi dari vibrasi tanah ke energi struktur (energi disipasi). Gempa dengan percepatan sedang dan durasi yang lama menyebabkan kerusakan lebih besar dibandingkan dengan gempa yang memiliki percepatan besar tetapi durasinya singkat. Rentang frekuensi gempa yang berdekatan dengan frekuensi struktur akan mengakibatkan resonansi atau pembesaran respon struktur yang dikenal dengan istilah faktor amplifikasi struktur. Ilustrasi pengaruh gempa pada bangunan dapat dilihat pada Gambar 2.2 berikut ini.

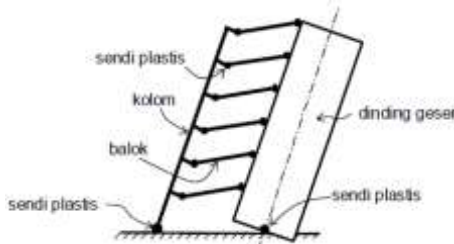


Gambar 2.2 Pengaruh Gempa pada Bangunan (Popov et al, 1987)

Pada umumnya, desain struktur bangunan tahan gempa merupakan desain yang mengatur hubungan antara respon gaya gempa horizontal yang bekerja pada struktur (faktor kekuatan), kekakuan struktur (*stiffness*), dan deformasi lateral struktur. Kekuatan elemen struktur dirancang agar saat terjadi gempa kekuatan rencana struktur terhadap respon gaya gempa horizontal dapat tercapai (*capacity design*). Karena struktur mempunyai kekakuan, maka saat struktur mengalami

perpindahan akan menimbulkan gaya yang dapat menyebabkan terjadinya deformasi pada struktur. Redaman (*damping*) diperlukan oleh struktur sebagai penyerap energi gempa. Elemen yang daktail akan mampu berdeformasi melebihi batas kekuatan elastisnya dan akan terus mampu menahan beban sehingga mampu menyerap energi gempa yang lebih besar.

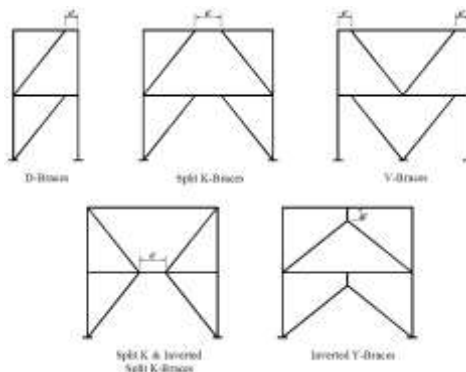
Faktor daktilitas adalah rasio antara simpangan maksimum struktur gedung pada saat mencapai kondisi di ambang keruntuhan dan simpangan struktur gedung pada saat terjadinya peleahan pertama. Faktor daktilitas suatu struktur gedung merupakan dasar bagi penentuan beban gempa yang bekerja pada struktur gedung tersebut. Karena itu, tercapainya tingkat daktilitas yang diharapkan harus terjamin dengan baik. Hal ini dapat tercapai dengan menetapkan suatu persyaratan yang disebut "kolom kuat balok lemah". Hal ini berarti bahwa akibat pengaruh gempa rencana, sendi-sendi plastis di dalam struktur gedung hanya boleh terjadi pada ujung-ujung balok, pada kaki kolom serta pada kaki dinding geser saja. Secara ideal, mekanisme keruntuhan suatu struktur gedung ditunjukkan dalam Gambar 2.3.



Gambar 2.3 Mekanisme Keruntuhan Ideal Suatu Struktur Gedung dengan Sendi Plastis Terbentuk pada Ujung-Ujung Balok dan Kaki Kolom (Budiono dkk, 2011)

## 2.2 Sistem Eccentrically Braced Frame (EBF)

Sistem struktur *Eccentrically Braced Frame* (EBF) mulai digunakan secara luas sejak ditemukan pada tahun 1970an dan terus dikembangkan hingga saat ini. Engelhardt (2007) memberikan beberapa kemungkinan penempatan *bracing* untuk sistem struktur EBF yang dapat diterapkan pada struktur bangunan seperti yang ditampilkan dalam Gambar 2.4 berikut ini.



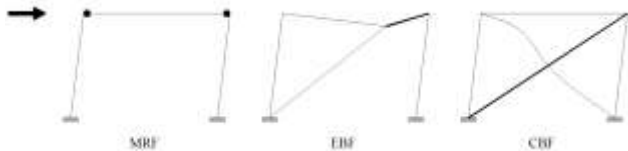
Gambar 2.4 Beberapa kemungkinan penempatan *bracing* untuk sistem struktur EBF (Engelhardt, 2007)

Dari beberapa kemungkinan penempatan *bracing* untuk sistem struktur EBF pada Gambar 2.4, konfigurasi *Split-K Braced* mempunyai keuntungan karena bentuknya yang simetris dan letak link yang tidak langsung terhubung oleh kolom sehingga terhindar dari masalah *full moment connection* pada kolom (sendi plastis tidak terjadi di dekat kolom).

*Link* dalam EBF dibentuk dari *offset sambungan bracing* pada balok atau *bracing* yang berbatasan dengan kolom sehingga selama beban seismic bekerja *link* menjadi aktif dan mengalami peleahan. Atau dengan kata lain *link* berfungsi sebagai sekering daktail (*ductile fuse*) selama pembebahan gempa sehingga *link* akan mengalami rotasi inelastik sedangkan komponen lainnya dari EBF tetap elastik (Popov, Kasai dan Engelhardt 1987).

Sistem EBF menahan beban lateral melalui kombinasi dari aksi rangka dan *truss*, dengan kata lain dapat dilihat sebagai sistem hybrid antara *Moment Resisting Frame* (MRF) dan *Concentrically Braced Frame* (CBF). EBF menyediakan duktilitas yang tinggi seperti MRF dengan konsentrasi aksi inelastis pada *link* dan pada saat yang sama memberikan tingkat kekakuan elastis seperti yang diberikan oleh CBF (Danesmand & Hashemi, 2011). Gambar 2.5 menampilkan lokasi aksi inelastik yang terjadi pada MRF, EBF dan CBF. Pada sistem MRF lokasi

aksi inelastik terjadi pada setiap ujung balok, untuk sistem CBF aksi inelastik terjadi pada batang *bracing*, sedangkan untuk sistem EBF aksi inelastik terjadi pada balok *link*.

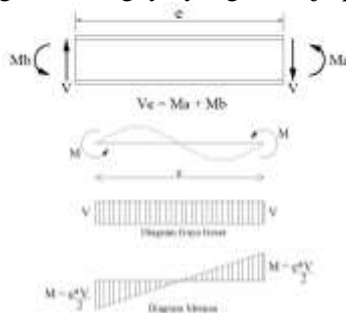


Gambar 2.5 Lokasi aksi inelastis pada MRF, EBF dan CBF  
(Engelhardt, 2007)

## 2.3 Komponen Penyusun Sistem EBF

### 2.3.1 Elemen *Link*

Elemen *link* dalam sistem EBF berperilaku sebagai balok pendek dengan gaya geser yang bekerja berlawanan arah pada kedua ujungnya. Karena adanya gaya geser yang bekerja pada kedua ujung balok, maka momen yang dihasilkan pada kedua ujung balok mempunya besar dan arah yang sama. Deformasi yang dihasilkan berbentuk S dengan titik balik pada tengah bentang dan besarnya momen yang bekerja adalah sebesar 0.5 kali besar gaya geser dikali dengan panjang *link* (Popov, Kasai dan Engelhardt 1987). Plastifikasi yang terjadi pada suatu elemen *link* disebabkan karena kedua gaya tersebut. Gambar 2.6 memperlihatkan gambaran gaya yang bekerja pada elemen *link*.



Gambar 2.6 Gaya yang bekerja pada balok *link* (Popov, Kasai dan Engelhardt, 1987)

Pengujian eksperimental dan numerik yang telah dilakukan para peneliti terdahulu menunjukkan bahwa *link* yang mengalami peleahan geser (*short link*) memberikan duktilitas dan kestabilan yang besar dalam menahan beban gempa. Namun, kemungkinan pemberian area bukaan dalam arsitektur yang terlalu kecil menjadikan pemilihan *short link* kurang diminati. Akibatnya, penelitian terhadap panjang *link* dikembangkan yaitu *link* yang mengalami peleahan lentur (Popov, Kasai dan Engelhardt 1987).

Kriteria balok *link* ditentukan dari normalisasi panjang *link* dengan rasio antara kapasitas momen plastis ( $M_p$ ) dan kapasitas geser plastis ( $V_p$ ). Pada *link* geser, gaya geser mencapai keadaan plastis ( $V_p$ ) terlebih dahulu sebelum momen lentur mencapai kapasitas plastisnya sehingga *link* mengalami leleh dalam geser. Sedangkan pada *link* lentur, momen plastis ( $M_p$ ) tercapai dahulu sebelum terjadi keleahan geser.

Pendefinisian dari normalisasi panjang *link* ( $\rho$ ) adalah sebagai berikut (Bruneau et al., 2011):

$$\rho = \frac{e}{(M_p/V_p)} \quad (2.2)$$

dimana

$$M_p = Z_x F_y \quad (2.3)$$

dan

$$V_p = 0.6 F_y (d - 2t_f) t_w \quad (2.4)$$

keterangan

- $Z_x$  = modulus plastis penampang,
- $F_y$  = tegangan leleh minimum, dan
- $d$  = tinggi penampang;
- $t_f$  = ketebalan sayap
- $t_w$  = ketebalan badan penampang.

Berikut adalah klasifikasi link berdasarkan nilai  $\rho$  yang dimilikinya:

### 1. Short Link (*link* pendek)

*Short link* juga disebut sebagai *shear link* dikarenakan gaya geser yang mendominasi peleahan pada balok *link*

dengan nilai  $\rho \leq 1.6$ . Penelitian yang dilakukan oleh Musmar (2012) menunjukkan bahwa sistem EBF dengan pelelahn geser (*shear link*) lebih stabil dan menunjukkan daktilitas yang lebih dibandingkan *link* yang mengalami pelelahan lentur. Hal ini disebabkan gaya geser internal yang terjadi konstan sepanjang *link* dan pelelahan pada bagian *web* berlangsung sepanjang *bidang web* dari *link*.

## 2. *Intermediate Link* (*link* menengah)

Pelelahan yang terjadi pada balok *link* disebabkan dari kombinasi gaya geser dan lentur sehingga disebut juga sebagai *flexural-shear link* dengan nilai  $\rho$  adalah sebesar  $1.6 < \rho \leq 2.6$ . Dengan asumsi momen pada *link* terdistribusi merata diantara ujung *link*, perilaku *link* ini yang meliputi:

- Pelelahan lentur terjadi di bagian *flange* dari *link* pada kedua ujungnya.
- Pelelahan lentur terjadi di bagian atas dari *flange* pada panel jepit
- Pelehan geser terjadi pada bagian *web* dari *link*
- Tekuk lokal terjadi pada bagian *flange* dari *link*

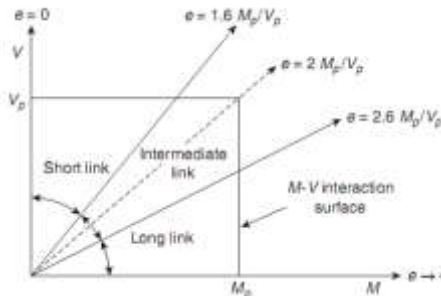
Selain tekuk lokal pada *flange*, perilaku *link* bergantung pada kelangsungan dari *flange*. Pemberian batasan kelangsungan dapat mencegah kegagalan lokal (*local failure*) yang menyebabkan degradasi kekuatan yang cepat pada beban siklik lanjutan (Engelhardt dan Popov, 1992).

## 3. *Long Link* (*link* panjang)

*Long link* juga disebut sebagai *flexural link* dikarenakan pelelahan yang terjadi pada balok *link* didominasi oleh lentur dengan nilai  $\rho > 2.6$ . Analisis numerik yang dilakukan oleh Hashemi (2011) terhadap rangka EBF dengan kriteria *long link* menunjukkan bahwa pelelahan pada balok *link* disebabkan karena gaya lentur. Penyerapan energi pada bagian *flange* lebih sedikit dibandingkan dengan kondisi *shear link* dikarenakan terjadinya *premature buckling* pada bagian *flange* dari balok *link*. Untuk mengurangi hal ini maka dapat dikontrol penempatan

*stiffeners* pada balok *link* walaupun tidak terlalu efisien karena adanya pengaruh torsi.

Klasifikasi link berdasarkan nilai  $\rho$  yang dimilikinya dapat dilihat secara visual pada Gambar 2.7 berikut ini.



Gambar 2.7 Klasifikasi link (Bruneau et al., 2011)

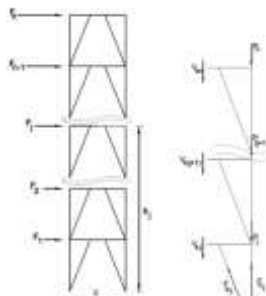
### 2.3.2 Bracing Diagonal dan Balok di Luar Link

*Bracing diagonal* merupakan *bracing* yang menghubungkan kolom dan balok di luar *link* secara diagonal. Kombinasi kuat lentur dan aksial yang disyaratkan untuk *bracing* diagonal maupun balok di luar *link* harus diambil dari kombinasi pembebanan yang telah ditetapkan dalam standar yang ada. Untuk kombinasi pembebanan yang memasukkan pengaruh seismik, pada *bracing* gaya aksial dan momen harus dikalikan minimum 1,25 kali dari kuat geser nominal yang diharapkan pada *link*, sedangkan untuk balok di luar *link* harus dikalikan minimum 1,1 kali dari kuat geser nominal *link* (AISC 341, 2010).

### 2.3.3 Kolom

Kinerja yang baik dari sistem EBF mengharuskan semua komponen-komponennya memiliki ketahanan yang cukup dalam menerima beban ketika *link* menjadi aktif. Dengan demikian peran kolom menjadi sangat penting untuk menjaga kestabilan keseluruhan sistem. Beban pada kolom yang disebabkan oleh beban gravitasi, momen balik dari beban lateral (seismik) dan pelelehan *link* merupakan pengaruh dari fungsi jumlah lantai

tingkat dan tinggi bangunan (Pirmoz dan Marefat, 2014). Dengan asumsi titik kontra-lentur berada pada bagian tengah link, diagram *free body* dari *bracing*, kolom dan *link* dapat dilihat pada Gambar 2.8.



Gambar 2.8 Distribusi gaya lateral dan internal pada rangka (Pirmoz dan Marefat, 2014)

Mengacu kepada AISC 341 (2010), kolom harus direncanakan berdasarkan prinsip kapasitas desain untuk menahan pembebanan maksimum yang dihasilkan dari *link*. Walaupun gaya geser maksimum pada pelelehan *link* sebesar  $1,25R_yV_n$ , untuk perencanaan kolom dari ketentuan AISC 341 (2010) diijinkan untuk mereduksi faktor *strain hardening* menjadi 1,1. Reduksi ini mencerminkan probabilitas yang rendah dari pelelehan simultan untuk semua *link* pada bangunan bertingkat (Pirmoz dan Marefat, 2014).

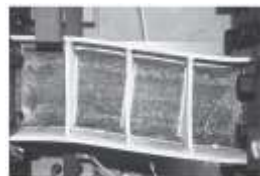
### 2.3.4 Pengaku Badan (*Web Stiffeners*)

Tekuk geser (*shear buckling*) yang terjadi pada *link* menyebabkan terjadinya konsentrasi tegangan pada bagian *web* dari *link*, *web* melengkung dapat menyebabkan degradasi kekuatan yang signifikan seperti yang ditunjukkan dalam Gambar 2.9. Elemen balok *link* dapat diberikan tambahan pengaku badan (*web stiffeners*) yang berfungsi untuk menunda terjadinya tekuk pada bagian badan dan meningkatkan kapasitas rotasi elemen *link*. Pada *short link*, terjadinya tekuk merupakan keruntuhan pada *link* karena kerusakan pada bagian badan dapat

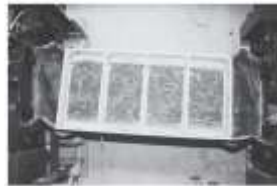
terjadi segera setelah proses tekuk (Kasai dan Popov, 1986) seperti yang ditampilkan dalam Gambar 2.10. Pada *intermediate link*, ketidakstabilan berubah dari tekuk geser pada bagian badan menjadi tekuk pada bagian sayap dan tekuk torsi-lateral. Tahanan pada tekuk torsi-lateral ini dapat ditahan dengan penempatan *stiffener* di dekat ujung *link* (Gambar 2.11). Pada *long link*, penempatan pengaku juga dibutuhkan pada bagian di luar *link*, yaitu pada bagian pertemuan atau hubungan dengan elemen *bracing*. Kegagalan pada *long link* menyerupai *intermediate link* yaitu terjadi tekuk di bagian sayap yang berhubungan dengan *bracing* (Gambar 2.12).



Gambar 2.9 Mode kegagalan pada *link* tanpa *stiffeners* (Ohsaki et al, 2012)



Gambar 2.10 Mode kegagalan pada *short link* (Ohsaki et al, 2012)



Gambar 2.11 Mode kegagalan pada *intermediate link* (Ohsaki et al, 2012)



Gambar 2.12 Mode kegagalan pada *long link* (Ohsaki et al, 2012)

### 2.3.5 Sambungan

Dalam perencanaan struktur tahan gempa disyaratkan dengan ketat bahwa sambungan harus direncanakan lebih kuat daripada komponen yang disambung, untuk menjamin bahwa selama gempa terjadi, pelehan tidak terjadi pada bagian sambungan, tetapi dibagian yang memang telah direncanakan leleh pada struktur yang bersangkutan. Dalam SNI 03-1729-2002 dinyatakan bahwa sambungan pada struktur pemikul gempa harus mengakomodasi terjadinya penyerapan energi yang baik pada sendi plastis sesuai dengan kinerja struktur yang direncanakan. Kinerja ini dinyatakan dengan besaran sudut rotasi plastis yang terbentuk diantara sumbu balok dan sumbu kolom.

Sambungan merupakan sesuatu hal yang tidak dapat dihindarkan dalam perencanaan struktur baja. Hal ini dikarenakan bentuk struktur bangunan yang begitu kompleks. Contoh yang dapat kita jumpai di struktur bangunan adalah sambungan antara kolom dan balok. Kegagalan dalam sambungan tersebut dapat mengakibatkan perubahan fungsi struktur bangunan tersebut, dan yang paling berbahaya adalah keruntuhan pada struktur tersebut. Sehingga untuk mencegah hal tersebut maka kekakuan sambungan antara balok dan kolom tersebut harus baik.

Sambungan berdasarkan atas kemampuan tahanan terhadap perputaran dapat dibagi menjadi 2 tipe, yaitu:

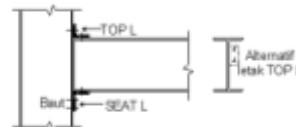
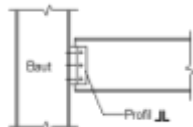
1. *Type Fully Restrained* (FR) yaitu penahan penuh atau *rigid* (kaku) mempunyai tahanan yang kaku dan tidak dapat berputar

2. *Type partially Restrained (PR)* yaitu penahanan tidak penuh, tidak cukup *rigid* untuk mempertahankan sudut akibat beban.

Pada kenyataannya bahwa tidak ada sambungan yang benar - benar *rigid* sempurna atau *flexible* sempurna. Berdasarkan hal tersebut, maka sambungan dapat diklasifikasikan sebagai berikut:

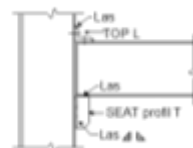
1. *Simple connection* (sambungan sendi)

- Sambungan dapat memberikan perputaran pada ujung balok secara bebas
- Sambungan tidak boleh mengakibatkan momen lentur terhadap elemen struktur yang disambung
- Detail sambungan harus mempunyai kapasitas rotasi yang cukup
- Dapat memikul gaya reaksi yang bekerja



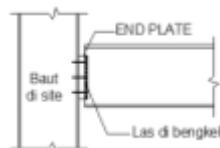
a) Simple Connection dengan Baut

b) Seat Connection



c) Stiffened Seat Connection

d) Seat Kaku dengan Sambungan Las



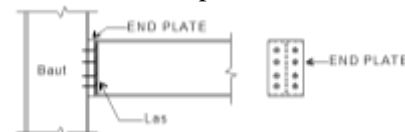
e) Sambungan dengan End Plate

f) Simple Connection dengan Las

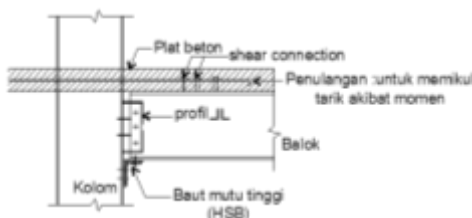
Gambar 2.13 Beberapa contoh sambungan jenis *simple connection* di lapangan

2. *Semi- rigid connection* (antara *simple* dan *rigid*)

- Sambungan tidak memiliki kekakuan yang cukup untuk mempertahankan sudut antara elemen yang disambung
- Dianggap mempunyai kapasitas yang cukup untuk memberikan tahanan yang dapat diukur terhadap perubahan sudut
- Tingkat kapasitas terhadap beban yang bekerja ditetapkan berdasarkan percobaan



a) End Plate Connection

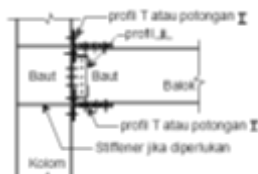


b) Composite Connection

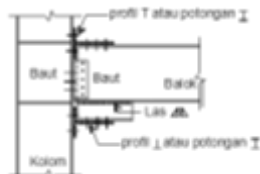
Gambar II.14 Beberapa contoh sambungan jenis *Semi- rigid connection* di lapangan

3. *Rigid Connection*

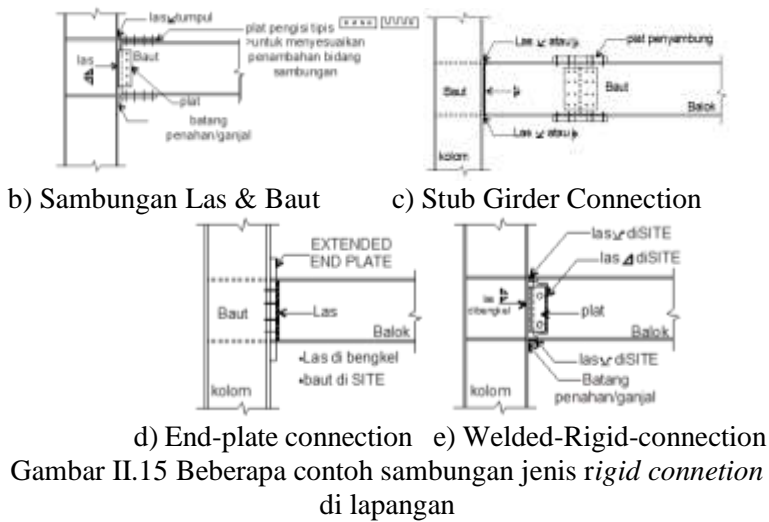
- Sambungan dianggap memiliki kekakuan yang cukup untuk mempertahankan sudut diantara elemen-elemen yang disambung.



a) T-Connection



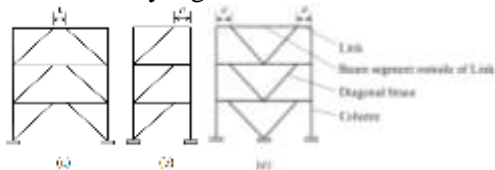
a<sup>1</sup>) T-Connection dengan Peninggian Balok



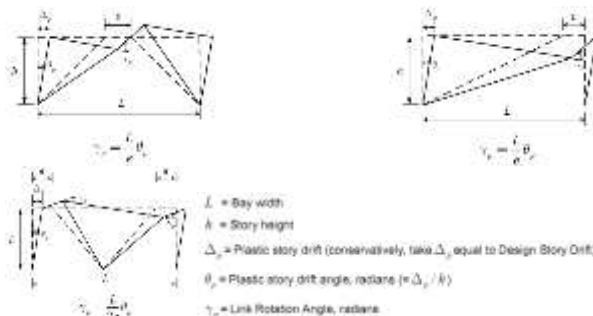
Gambar II.15 Beberapa contoh sambungan jenis *rigid connection* di lapangan

## 2.4 Respon Inelastis dan Mekanisme Keruntuhan

Dalam desain EBF, sangat diperlukan untuk memperkirakan rotasi plastis yang terjadi pada *link*. Hal ini dilakukan dengan menggunakan mekanisme disipasi energi (juga disebut mekanisme keruntuhan), yaitu dengan mengasumsikan perilaku plastis kaku dari setiap elemen struktur EBF (Popov dan Engelhardt, 1992). Mekanisme keruntuhan untuk tipikal sistem EBF pada Gambar 2.16 ditunjukkan dalam Gambar 2.17 di mana  $\theta$  mewakili keseluruhan simpangan dari rangka sistem EBF dan  $\gamma$  mewakili sudut rotasi yang dihasilkan.



Gambar II.16 Tipikal sistem EBF (a) K-braces; (b) D-braces; (c) V-braces (Popov dan Engelhardt, 1988)



Gambar II.17 Sudut rotasi *link* untuk sistem EBF pada Gambar 2.4  
(Popov dan Engelhardt, 1988)

Sebagai elemen kritis yang berpengaruh terhadap perilaku inelastik maka mekanisme kelelahan *link*, kapasitas disipasi energi dan mode kegagalan sangat erat hubungannya dengan faktor panjang *link*. Menurut Ghobarah dan Ramadan (1991), kinerja dari *short link* ( $e < 1.6M_p/V_p$ ) terhadap sudut deformasi maksimum dan duktilitas jauh lebih baik dari pada *long link* ( $e > 2.6M_p/V_p$ ). *Long link* dalam EBF memiliki sudut deformasi yang lebih kecil dari *short link*, di mana sudut deformasi ini berpengaruh terhadap kinerja duktilitas. Peningkatan kinerja dari *long link* sangat dimungkinkan dengan meningkatkan ketebalan *flange* (sayap) dari elemen *link* tersebut sehingga kapasitas momen plastis dari penampang juga bertambah tetapi kapasitas gesernya tidak berubah. Walaupun demikian, modifikasi penampang tersebut dapat berdampak pada persyaratan arsitektural dan ekonomis sehingga sulit diterapkan (Ghobarah dan Ramadan, 1991).

Semakin pendek *link*, maka semakin besar pengaruh gaya geser terhadap perilaku inelastik. Pelelahan geser terjadi seragam sepanjang *link*. Untuk *link* yang sangat pendek, gaya geser *link* mencapai kapasitas geser plastis ( $V_p = 0.6 d t_w f_y$ ) sebelum momen ujung mencapai momen plastis ( $M_p = Z_x f_y$ ), dan *link* akibat geser membentuk sebuah sendi geser. *Link* geser mempunyai sifat sangat duktial dengan kapasitas inelastik yang

melebihi kapasitas geser badan, sehingga kegagalan *buckling* terjadi pada *web* (Yurisman dkk, 2010).

## 2.5 Analisis Statik Nonlinier Pushover

Analisis statik nonlinear *pushover* merupakan analisis yang dilakukan untuk menggambarkan perilaku keruntuhan dan kapasitas dari suatu struktur secara keseluruhan, mulai dari kondisi elastis, plastis, hingga elemen-elemen struktur mengalami keruntuhan akibat beban gempa. Dengan kata lain, analisis *pushover* digunakan sebagai sarana untuk memperlihatkan kondisi/ respon inelastis (nonlinear) suatu bangunan saat mengalami gempa. Analisis ini dilakukan dengan cara memberikan pola beban lateral statik pada struktur yang nilainya terus ditingkatkan secara bertahap hingga mencapai target perpindahan (*displacement*) dari suatu titik acuan. Pada analisis ini yang menjadi titik acuan adalah titik pada lantai atap dan besarnya deformasi maksimum yang boleh terjadi pada struktur ditetapkan terlebih dahulu oleh perencana.

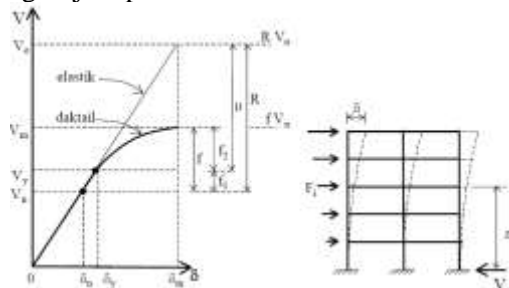
Dalam analisis *pushover*, struktur dikenai beban lateral statik hingga mengalami leleh di satu atau lebih lokasi pada elemen struktur. Urutan terjadinya leleh ini merupakan urutan terjadinya sendi plastis pada struktur. Dari urutan terjadinya sendi plastis ini dapat diketahui lokasi pada elemen struktur yang mengalami keruntuhan terlebih dahulu. Sendi plastis terus berlangsung dan bermunculan hingga batas deformasi pada struktur tercapai. Tahapan dari analisis beban dorong statik adalah sebagai berikut :

- a. Menentukan titik kontrol untuk meninjau besarnya perpindahan struktur. Rekaman besarnya perpindahan titik kontrol dan gaya geser dasar digunakan untuk menyusun kurva *pushover*.
- b. Membuat kurva *pushover* berdasarkan berbagai macam pola distribusi gaya lateral terutama yang ekivalen dengan distribusi dari gaya inersia sehingga diharapkan deformasi yang terjadi hampir sama atau mendekati deformasi yang terjadi akibat

gempa. Oleh karena sifat gempa tidak pasti, maka perlu dibuat beberapa pola pembebanan lateral yang berbeda-beda untuk mendapatkan kondisi yang paling menentukan dan sesuai.

- c. Mengestimasi besarnya perpindahan lateralsaat gempa rencana (target perpindahan). Titik kontrol didorong sampai taraf perpindahan tersebut, mencerminkan perpindahan maksimum yang diakibatkan oleh intensitas gempa rencana yang ditentukan.
- d. Mengevaluasi level kinerja struktur ketika titik kontrol tepat berada pada target perpindahan (*performance point*) : merupakan hal utama dari perencanaan barbasis kinerja (*performance based design*). Komponen struktur dan aksi perlakunya dapat dianggap memuaskan jika memenuhi kriteria yang dari awal sudah ditetapkan, baik terhadap persyaratan deformasi maupun kekuatan. Karena yang dievaluasi adalah komponen maka jumlahnya relatif sangat banyak, oleh karena itu proses ini sepenuhnya harus dikerjakan oleh program komputer.

Analisis beban dorong statik (*pushover*) akan menghasilkan kurva hubungan antara Perpindahan (*displacement*) titik kontrol/ ( $\delta$ ) dan gaya geser dasar (V). Berdasarkan kurva *pushover* dapat ditentukan parameter duktilitas ( $\mu$ ),kekakuan, dan kekuatan. Parameter-parameter tersebut mencerminkan perilaku struktur akibat beban lateral (gempa) yang terjadi pada struktur.



Gambar II.18 Kurva hubungan beban – perpindahan

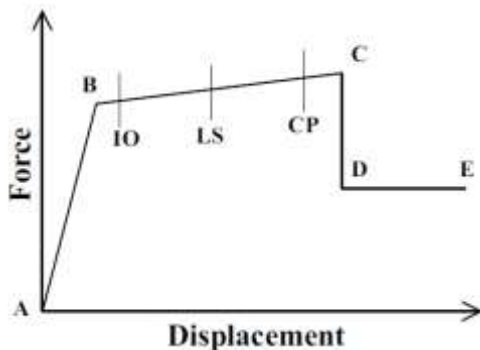
Sumber : SNI 03-1726-2002

## 2.6 Mekanisme Sendi Plastis

Pada Analisis *Pushover*, struktur didorong sampai mengalami keruntuhan dengan pola beban lateral yang menyerupai gaya inersia bangunan. Pada FEMA 356, pola distribusi beban lateral yang digunakan harus berjumlah minimal 2 pola, karena gempa rencana yang terjadi bisa berubah dan menyerupai 2 pola tersebut, dan dari 2 pola tersebut diambil kinerja bangunan yang terburuk, yaitu :

- Besarnya pola distribusi gaya lateral yang kedua adalah proporsional dengan total massa tiap lantai. Pola ini berbentuk beban merata sepanjang tinggi lantai.
- Besarnya pola distribusi gaya lateral yang pertama adalah proporsional dengan distribusi gaya geser hasil analisis respon spektrum gempa rencana. Pola ini berbentuk segitiga yang semakin besar sepanjang tinggi lantai. Pola ini digunakan jika periode fundamental struktur melebihi 1 sekon.

Pola keruntuhan menunjukkan tahapan terjadinya sendi pastis pada elemen-elemen struktur, balok, bressing, dan kolom. Secara umum, pada model struktur yang memiliki bressing, harus terhindar dari tekuk inelastis, dan terhindar dari mekanisme kolom (terjadi sendi plastis pada kolom). Sendi plastis hanya diperbolehkan terjadi pada balok (mekanisme balok) dan ujung bawah kolom lantai dasar atau ujung kolom atas lantai teratas. Oleh karena itu, perlu diterapkan konsep “*strong column weak beam*” agar dipastikan terjadinya sendi plastis hanya pada elemen balok saja (mekanisme balok). Khusus pada model *EBF* yang terdapat elemen balok *link*, maka diharapkan terjadinya sendi plastis dan keruntuhan terlebih dahulu pada elemen balok *link* tersebut. Adapun keterangan mengenai karakteristik sendi plastis adalah sebagai berikut :



Gambar II.19 Gambar 2.16 Kurva hubungan gaya – perpindahan serta karakteristik sendi plastis dan informasi

Sumber : *Analysis Reference Manual CSI for ETABS*

Kurva diatas menunjukkan hubungan gaya – perpindahan yang bergerak dari titik A – B – C – D – kemudian E. titik tersebut merepresentasikan karakteristik sendi plastis yang timbul pada elemen struktur. Titik A adalah titik origin, titik B menandakan leleh pertama, C menandakan kapasitas ultimit, D adalah kekuatan sisa (*residual strength*), dan E menandakan elemen struktur tersebut telah mengalami keruntuhan (*failure*). Level kinerja bangunan (IO, LS, dan CP) terletak di antara sendi plastis leleh pertama sampai mencapai batas ultimitnya. Dan warna yang tertera pada huruf-huruf tersebut merupakan indikator karakteristik sendi plastis pada program ETABS. Leleh pertama (B) ditandai dengan warna merah muda, dan runtuh ditandai dengan warna merah tua (E).

## 2.7 Tingkat Kinerja Bangunan

Tingkat kinerja bangunan ditetapkan berdasarkan aturan tingkat keselamatan yang diberikan kepada penghuni bangunan selama dan sesudah terjadinya gempa serta biaya yang ditimbulkan akibat kerusakan bangunan setelah gempa. Kinerja bangunan sendiri merupakan kombinasi dari kinerja komponen struktural dan nonstruktural. Visualisasi dari rekayasa gempa berbasis kinerja ditunjukkan dalam Gambar 2.20.

Besarnya tingkat kinerja suatu bangunan ditentukan melalui besarnya *drift ratio* dan *damage index* yang terjadi. Dalam FEMA 356 (2000) diatur ketetapan dari tingkat kinerja bangunan ke dalam empat tingkatan, yaitu:

1. Level 1 (Sangat Ringan) – *Operational*

Tidak ada pergeseran permanen. Elemen struktural tetap memiliki kekuatan dankekakuan seperti sebelum terjadi gempa. Kerusakan yang ditimbulkan tidak berpengaruh terhadap elemen struktural maupun nonstruktural, seluruh sistem operasional dapat berfungsi normal.

2. Level 2 (Ringan) – *Immediate Occupancy* (IO)

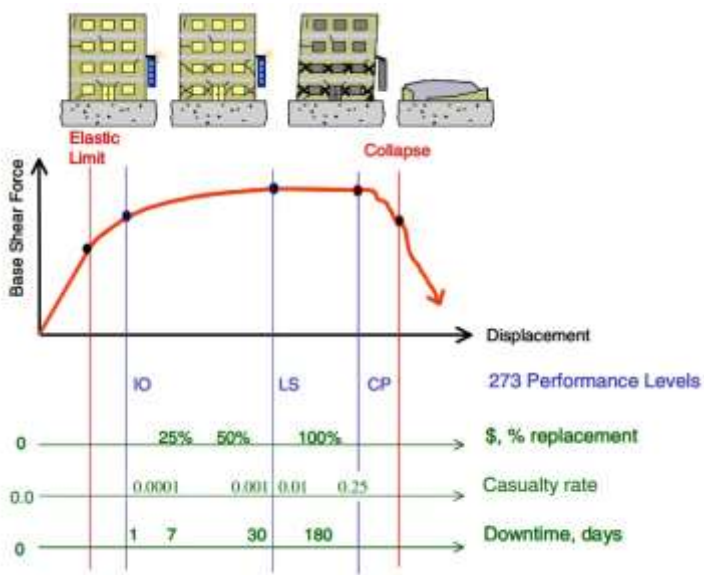
Tidak ada pergeseran permanen. Elemen struktural tetap memiliki kekuatan dankekakuan seperti sebelum terjadi gempa. Kerusakan yang ditimbulkan tidak berpengaruh terhadap elemen struktural sedangkan elemen nonstruktural sebagian besar masih dapat berfungsi. *Drift ratio* maksimum sebesar 0.5% dan *damage index* sebesar 0.1 – 0.333.

3. Level 3 (Sedang) – *Life Safety* (LS)

Terjadi pergeseran permanen. Elemen struktural mengalami kerusakan sehingga kekuatan dankekakuananya berkurang tetapi masih dapat bertahan sedangkan elemen nonstruktural rusak berat sehingga tidak dapat berfungsi. *Drift ratio* maksimum sebesar 1.5% dan *damage index* sebesar 0.333 – 0.5.

4. Level 4 (Berat) – *Collapase Prevention* (CP)

Terjadi pergeseran permanen yang besar. Elemen struktural mengalami kerusakan berat tetapi masih memiliki sedikit kekuatan dankekakuan (bangunan mendekati keruntuhan) dan elemen nonstruktural hancur total. *Drift ratio* maksimum sebesar 2% dan *damage index* sebesar 0.5



Gambar II.20 Visualisasi rekayasa gempa berbasis kinerja  
(FEMA 356, 2000)

## BAB III

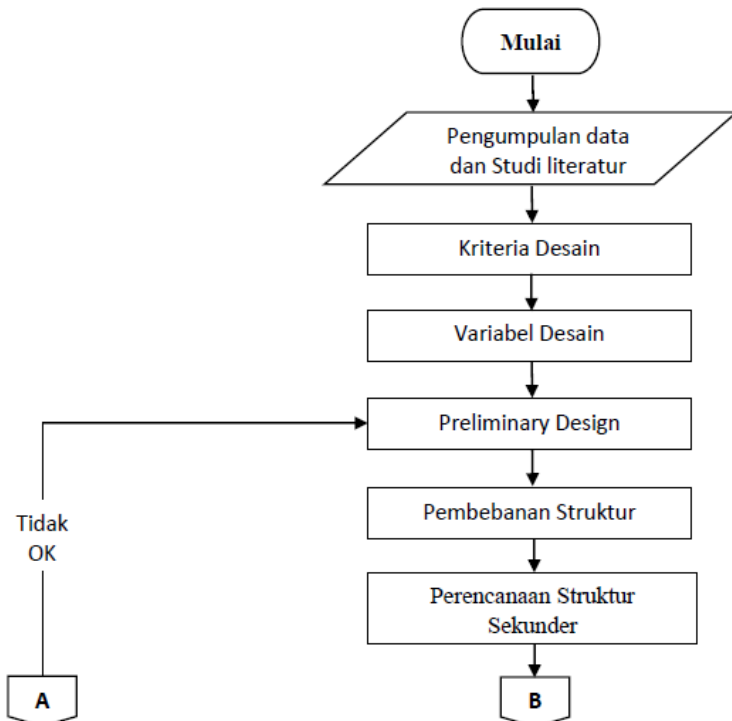
# METODOLOGI

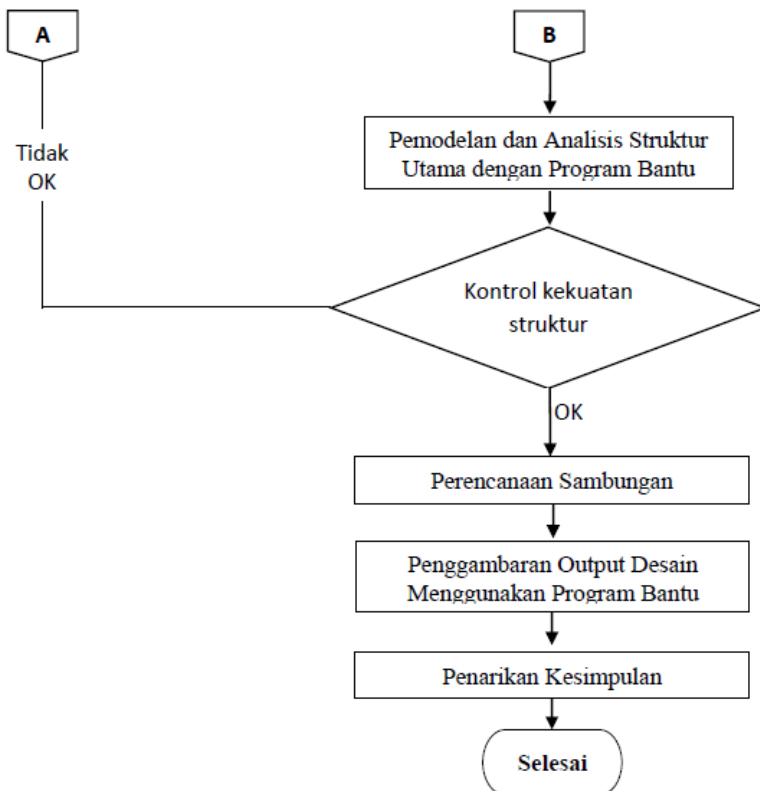
### 3.1 Umum

Sebelum mengerjakan Tugas Akhir ini, maka perlu disusun langkah – langkah pengerjaan sesuai dengan uraian kegiatan yang akan dilakukan. Urutan pelaksanaannya dimulai dari pengumpulan literatur dan pedoman perancangan sampai mencapai tujuan akhir dari analisis struktur yang akan disajikan.

### 3.2 Bagan Alir Penyelesaian Tugas Akhir

Tahapan dalam pengerjaan penelitian ini ditampilkan dalam bentuk diagram alir yang ditunjukkan dalam Gambar 3.1





Gambar III.1 Bagan Alir Metodologi Penyelesaian Tugas Akhir

### 3.3 Penjelasan Diagram Alir Metodologi

Dari diagram alir metodologi pada Gambar 3.1, urutan dalam pengerjaan penelitian ini dijelaskan sebagai berikut:

#### 3.3.1 Studi Literatur

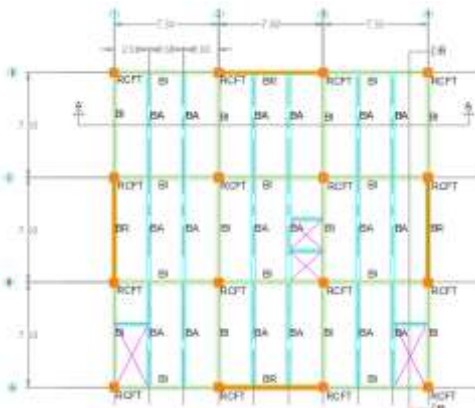
Penelitian di mulai dengan studi literatur terhadap sistem struktur *Eccentrically Braced Frame* (EBF) berdasarkan jurnal, referensi buku maupun peraturan yang berlaku. Adapun beberapa

peraturan yang digunakan sebagai pedoman dalam penyusunan Tugas Akhir ini adalah sebagai berikut:

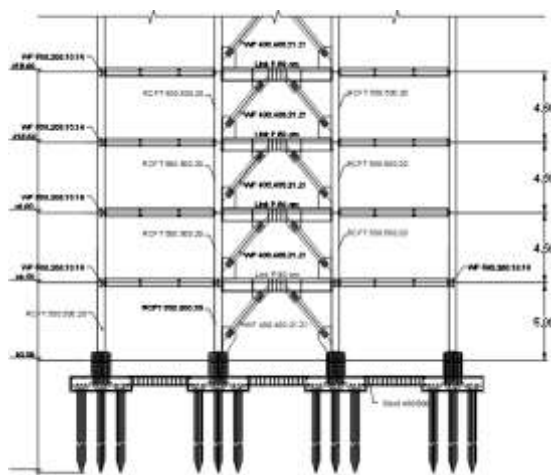
1. ANSI/AISC 360-10 (2010) tentang *specification for structural steel buildings*.
2. ANSI/AISC 341-10 (2010) tentang *seismic provisions for structural steel buildings*.
3. SNI 1726-2002 tentang standar perencanaan ketahanan gempa untuk struktur bangunan gedung.
4. SNI 1726:2012 tentang tata cara perencanaan ketahanan gempa untuk struktur bangunan gedung dan non gedung.
5. Peraturan Pembebasan Indonesia Untuk Gedung (PPIUG) 1983
6. SNI 03-1726-2012 tentang Tata Cara Perencanaan Ketahanan Gempa Untuk Bangunan Gedung
7. SNI 1727:2013 tentang Beban Minimum Untuk Perancangan Bangunan Gedung dan Struktur Lain
8. SNI 03-1729-2012 tentang Tata Cara Perencanaan Struktur Baja Untuk Bangunan Gedung

### **3.3.2 Kriteria Desain**

Bangunan yang ditinjau adalah berupa gedung fiktif dengan pengaku eksentrik sebagai struktur penahan beban lateral gempa. Material yang digunakan adalah baja pada elemen struktur, dengan mutu baja BJ41 ( $F_u = 410 \text{ MPa}$ ,  $F_y = 250 \text{ MPa}$ ,  $E = 200000 \text{ Mpa}$ ). Struktur direncanakan memiliki tiga bentang ke arah sumbu x dan tiga bentang ke arah sumbu y dengan lebar masing-masing bentang adalah 7,5 m. Tinggi total gedung adalah 45 m dengan tinggi setiap lantai adalah 4,5 m, dan jumlah lantai adalah 10 lantai.



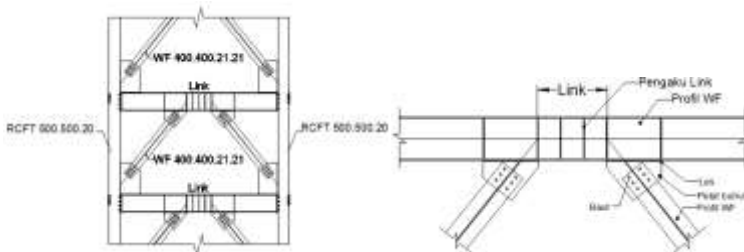
Gambar III.2 Denah Pembalokan & Kolom Lantai 2-10



### Gambar III.3 Potongan Melintang Bangunan

### **3.3.3 Variabel Desain**

Portal K-Split EBF didesain dengan variasi 3 panjang link yang berbeda yaitu *long link*, *intermediate link*, dan *short link* untuk melihat pengaruh dari ketiga tipe link pada perilaku struktur EBF.



Gambar III.4 Model Bracing

### 3.3.4 Preliminary Design

*Preliminary Design* yang dimaksud disini adalah penentuan profil desain struktur. Setelah denah dan dimensi struktur ditentukan, baru kemudian mendesain (*sizing*) dimensi awal profil baja yang digunakan pada tiap elemen/komponen struktur, antara lain; link, balok, bresing, dan kolom. Profil baja ditentukan sedemikian hingga kapasitas yang dimilikinya mampu menahan beban ultimit yang bekerja pada struktur, memenuhi batas layan struktur (*serviceability*), dan juga harus memikirkan aspek ekonomis. Aspek ekonomis penting agar biaya yang dikeluarkan oleh *owner* tidak membengkak diakibatkan borosnya profil yang digunakan. Maka biaya pengeluaran untuk profil baja yang digunakan harus dapat memenuhi kriteria permintaan owner.

### 3.3.5 Perhitungan Beban Struktur

Melakukan perhitungan beban struktur sebagai berikut :

#### 1. Beban Mati

Berdasarkan SNI 1727:2013 pasal 3.1.1 yang dimaksud beban mati adalah berat seluruh bahan konstruksi bangunan gedung yang terpasang, termasuk dinding, lantai, atap, plafon, tangga, dinding partisi tetap, finishing, kulit bangunan gedung dan komponen arsitektural dan struktural lainnya serta peralatan layan terpasang lain termasuk berat keran. Untuk detail pembebanan beban mati akan digunakan peraturan PPIUG 1983.

## 2. Beban Hidup

Berdasarkan SNI 1727:2013 Beban hidup yang digunakan dalam perancangan bangunan gedung dan struktur lainnya harus beban maksimum yang diharapkan terjadi akibat penghunian dan penggunaan bangunan gedung, tetapi tidak boleh kurang dari beban merata minimum yang ditetapkan dalam tabel 4.1. Beban hidup diatur dalam SNI 1727:2013 pasal 4.

## 3. Beban Angin

Berdasarkan SNI 1727:2013 Pasal 27.4.1, tekanan angin desain untuk SPBAU (Sistem Penahan Beban Angin Utama) bangunan gedung dari semua ketinggian harus ditentukan dengan persamaan berikut:

$$p = qGC_p - q_i(GC_{pi}) \left( \frac{lb}{ft^2} \right) \left( \frac{N}{m^2} \right) \quad (3.1)$$

Keterangan :

- q =  $q_z$  untuk dinding di sisi angin datang yang diukur pada ketinggian  $z$  diatas permukaan tanah
- $q_h$  =  $q_h$  untuk dinding di sisi angin pergi, dinding samping, dan atap yang diukur pada ketinggian  $h$
- $q_i$  =  $q_h$  untuk dinding di sisi angin datang, dinding samping, dinding di sisi angin pergi, dan atap bangunan gedung tertutup untuk mengevaluasi tekanan internal negatif pada bangunan gedung tertutup sebagian
- $q_i$  =  $q_z$  untuk mengevaluasi tekanan internal positif pada bangunan gedung tertutup sebagian bila tinggi  $z$  ditentukan sebagai level dari bukaan tertinggi pada bangunan gedung yang dapat mempengaruhi tekanan internal positif. Untuk bangunan gedung yang terletak di wilayah berpartikel terbawa angin, kaca yang tidak tahan impak atau dilindungi dengan penutup tahan

impak harus diperlakukan sebagai bukaan sesuai dengan Pasal 26.10.3. Untuk menghitung tekanan internal positif,  $q_i$  secara konservatif boleh dihitung pada ketinggian  $h$  ( $q_i=q_h$ )

$G$  = faktor efek-tiupan angin

$C_p$  = koefisien tekanan eksternal dari Gambar 27.4-1, 27.4-2, dan 27.4-3

( $GC_{pi}$ ) = koefisien tekanan internal dari Tabel 26.11-1

$q$  dan  $q_i$  harus dihitung dengan menggunakan eksposur yang ditetapkan dalam Pasal 26.7.3. Tekanan harus diterapkan secara bersamaan pada dinding di sisi angin datang dan disisi angin pergi pada permukaan atap seperti ditetapkan dalam SNI 1727:2013 gambar 27.4-1, 27.4-2, dan 27.4-3.

#### 4. Beban Gempa

Struktur gedung yang tidak memenuhi ketentuan menurut SNI 03-1726-2012 ditetapkan sebagai struktur gedung tidak beraturan, untuk itu pengaruh Gempa Rencana harus ditinjau sebagai pengaruh pembebanan gempa dinamik, sehingga analisisnya harus dilakukan berdasarkan analisis respons dinamik.

Perhitungan respons dinamik struktur gedung tidak beraturan terhadap pembebanan gempa nominal akibat pengaruh Gempa Rencana dapat dilakukan dengan metoda analisis ragam spektrum respons dengan memakai Spektrum Respons Gempa Rencana yang nilai ordinatnya dikalikan faktor koreksi  $I/R$ , dimana  $I$  adalah Faktor Keutamaan menurut Tabel 1, sedangkan  $R$  adalah faktor reduksi gempa representatif dari struktur gedung yang bersangkutan. Dalam hal ini, jumlah ragam vibrasi yang ditinjau dalam penjumlahan respons ragam menurut metoda ini harus sedemikian rupa, sehingga partisipasi massa yang menghasilkan respons total harus mencapai sekurang-kurangnya 90%.

Tingkat keutamaan (I) struktur dalam kepentingannya saat masa layan disajikan dalam tabel berikut ini :

**Tabel III.1 Kategori Resiko Bangunan Gedung dan Struktur Lainnya untuk Beban Gempa**  
*(Sumber : SNI 03-1726-2012)*

<b>Jenis Pemanfaatan</b>	<b>Kategori Resiko</b>
<p>Gedung dan struktur lainnya yang memiliki resiko rendah terhadap jiwa manusia pada saat terjadi kegagalan, termasuk, tapi tidak dibatasi untuk :</p> <ul style="list-style-type: none"> <li>- Fasilitas pertanian, perkebunan, peternakan, dan perikanan</li> <li>- Fasilitas sementara</li> <li>- Gudang penyimpanan</li> <li>- Rumah jaga dan struktur kecil lainnya</li> </ul>	I
<p>Semua gedung dan struktur lain, kecuali yang termasuk dalam kategori resiko I, III, IV termasuk, tapi tidak dibatasi untuk :</p> <ul style="list-style-type: none"> <li>- Perumahan</li> <li>- Rumah toko dan rumah kantor</li> <li>- Pasar</li> <li>- Gedung perkantoran</li> <li>- Gedung apartemen / rumah susun</li> <li>- Pusat perbelanjaan / Mall</li> <li>- Bangunan industry</li> <li>- Fasilitas manufaktur</li> <li>- Pabrik</li> </ul>	II
<p>Gedung dan struktur lainnya yang memiliki resiko tinggi terhadap jiwa manusia pada saat terjadi kegagalan, termasuk, tapi tidak dibatasi untuk :</p> <ul style="list-style-type: none"> <li>- Bioskop</li> <li>- Gedung pertemuan</li> </ul>	

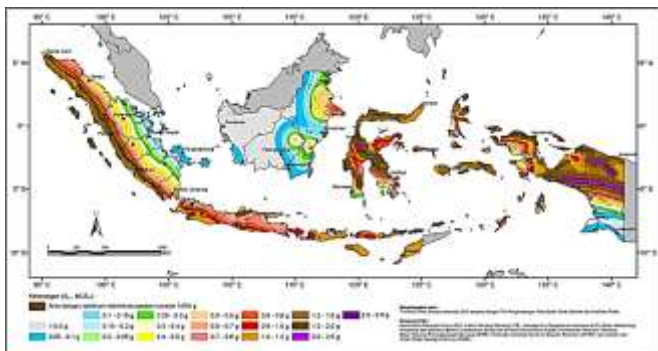
<ul style="list-style-type: none"> <li>- Stadion</li> <li>- Fasilitas kesehatan yang tidak memiliki unit bedah dan unit gawat darurat</li> <li>- Fasilitas penitipan anak</li> <li>- Penjara</li> <li>- Bangunan untuk orang jompo</li> </ul> <p>Gedung dan struktur lainnya, tidak termasuk ke dalam kategori resiko IV, yang memiliki potensi untuk menyebabkan dampak ekonomi yang besar dan atau gangguan missal terhadap kehidupan masyarakat sehari-hari bila terjadi kegagalan, termasuk, tapi tidak dibatasi untuk :</p> <ul style="list-style-type: none"> <li>- Pusat pembangkit listrik biasa</li> <li>- Fasilitas penanganan air</li> <li>- Fasilitas penanganan limbah</li> <li>- Pusat telekomunikasi</li> </ul> <p>Gedung dan struktur lainnya yang tidak termasuk dalam kategori resiko IV, (termasuk, tetapi tidak dibatasi untuk fasilitas manufaktur, proses, penanganan, penyimpanan, penggunaan atau tempat pembuangan bahan bakar berbahaya, bahan kimia yang berbahaya, limbah berbahaya, atau bahan yang mudah meledak) yang mengandung bahan beracun atau peledak dimana jumlah kandungan bahannya melebihi nilai batas yang disyaratkan oleh instansi yang berwenang dan cukup menimbulkan bahaya bagi masyarakat jika terjadi kebocoran.</p>	III
<p>Gedung dan struktur lainnya yang ditunjukkan sebagai fasilitas yang penting, termasuk, tetapi tidak dibatasi untuk :</p> <ul style="list-style-type: none"> <li>- Bangunan-bangunan monumental</li> <li>- Gedung sekolah dan fasilitas pendidikan</li> <li>- Rumah sakit dan fasilitas kesehatan lainnya yang memiliki fasilitas bedan dan unit gawat darurat</li> </ul>	IV

<ul style="list-style-type: none"> <li>- Fasilitas pemadam kebakaran, ambulans, dan kantor polisi, serta garasi kendaraan darurat</li> <li>- Tempat perlindungan terhadap gempa bumi, badai angin, dan tempat perlindungan darurat lainnya</li> <li>- Fasilitas kesiapan darurat, komunikasi, pusat operasi dan fasilitas lainnya untuk tanggap darurat</li> <li>- Struktur tambahan (termasuk menara telekomunikasi, tangki penyimpanan bahan bakar, menara pendingin, struktur stasiun listrik, tangki air pemadam kebakaran atau struktur rumah atau struktur pendukung air atau material atau peralatan pemadam kebakaran) yang disyaratkan untuk beroperasi pada saat keadaan darurat</li> </ul> <p>Gedung dan struktur lainnya yang dibutuhkan untuk mempertahankan fungsi struktur bangunan lain yang masuk ke dalam kategori resiko IV</p>	
--	--

**Tabel III.2 Faktor Keutamaan Gempa**  
*(Sumber : SNI 03-1726-2012)*

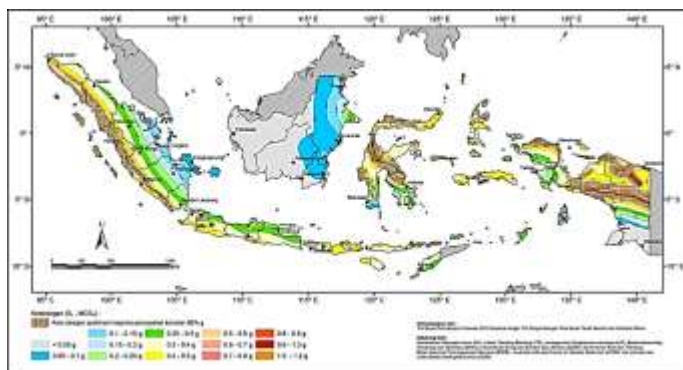
Kategori Resiko	Faktor Keutamaan Gempa, Ie
I atau II	1,0
III	1,25
IV	1,50

Parameter percepatan tanah ( $S_s$ ,  $S_1$ ) :



Gambar III.5 Peta untuk  $S_s$

(Sumber : SNI 03-1726-2012)



Gambar III.6 Peta untuk  $S_1$

(Sumber : SNI 03-1726-2012)

Tabel 3.3 Koefisien Situs, Fa  
(Sumber : SNI 03-1726-2012)

Kelas Situs	Parameter respons spektral percepatan gempa MCEr terpetakan pada perioda pendek, T=0,2 detik, Ss				
	Ss ≤ 0,25	Ss = 0,5	Ss = 0,75	Ss = 1	Ss ≥ 1,25
SA	0.8	0.8	0.8	0.8	0.8
SB	1	1	1	1	1
SC	1,2	1,2	1,1	1	1
SD	1,6	1,4	1,2	1,1	1
SE	2,5	1,7	1,2	0,9	0,9
SF	SSb				

Tabel III.4 Koefisien Situs, Fv  
(Sumber : SNI 03-1726-2012)

Kelas Situs	Parameter respons spektral percepatan gempa MCEr terpetakan pada perioda pendek, T=1,0 detik, S1				
	S1 ≤ 0,1	S1 = 0,2	S1 = 0,3	S1= 0,4	S1 ≥ 0,5
SA	0.8	0.8	0.8	0.8	0.8
SB	1	1	1	1	1
SC	1,7	1,6	1,5	1,4	1,3
SD	2,4	2	1,8	1,6	1,5
SE	3,5	3,2	2,8	2,4	2,4
SF	SSb				

Nilai faktor modifikasi respon (R) ditentukan berdasarkan tipe struktur yang akan direncanakan, yaitu yang tertera pada tabel 9 SNI 03-1726-2012. Berikut ini adalah nilai faktor modifikasi respon untuk berbagai tipe struktur tahan gempa.

**Tabel III.5 Koefisien Modifikasi Respons**  
*(Sumber : SNI 03-1726-2012)*

B.Sistem rangka bangunan:	1	2	3	4	TB	TB	40	40	30
1. Rangka tiang dengan bressing eksentris	0	2	4	4	TB	TB	40	40	30
2. Rangka tiang dengan bressing koncentris khusus	0	2	5	5	TB	TB	40	40	30
3. Rangka tiang dengan bressing koncentris biasa	3%	2	3%	3%	TB	TB	10	10	TB
4. Dinding geser tetapi berfungsi khusus	0	2%	1	1	TB	TB	40	40	30
5. Dinding geser tetapi berfungsi biasa	5	2%	-4%	-4%	TB	TB	11	11	TB
6. Dinding geser tetapi polos detail	2	2%	2	2	TB	TB	11	11	TB
7. Dinding geser tetapi polos biasa	1%	2%	1%	1%	TB	TB	11	11	TB

### 5. Kombinasi Pembebanan

Struktur, komponen, dan fondasi harus dirancang sedemikian rupa sehingga kekuatan desainnya sama atau melebihi efek dari beban terfaktor dalam kombinasi berikut (SNI 1727:2013 pasal 3.2.2) :

$$1,4D$$

$$1,2D + 1,6L + 0,5 (L_r \text{ atau } S \text{ atau } R)$$

$$1,2D + 1,6(L_r \text{ atau } S \text{ atau } R) + (L \text{ atau } 0,5W)$$

$$1,2D + 1,0 W + L + 0,5(L_r \text{ atau } S \text{ atau } R)$$

$$1,2D + 1,0E + L + 0,2S$$

$$0,9D + 1,0W$$

$$0,9D + 1,0E$$

Keterangan :

D = beban mati

L = beban hidup

$L_r$  = beban hidup atap

S = beban salju

R = beban hujan

W = beban angin

E = beban gempa

### 3.3.6 Perencanaan Struktur Sekunder

Melakukan perhitungan terhadap struktur sekunder gedung meliputi perhitungan pelat lantai dan balok anak.

### **3.3.7 Pemodelan dan Analisis Struktur Utama dengan Program Bantu**

Data dan model yang telah ditetapkan ini selanjutnya dimodelkan dan dianalisis dengan bantuan *software* ETABS untuk mendapatkan gaya-gaya dalam yang bekerja pada struktur serta deformasi yang terjadi, sedangkan untuk analisa portal EBF dilakukan dengan bantuan *software* ABAQUS.

### **3.3.8 Kontrol Perencanaan Struktur Utama**

Pada bagian ini, penulis akan melakukan kontrol terhadap kekuatan struktur dengan cara analisis manual.

#### **3.3.8.1 Kontrol Desain**

Analisa struktur terhadap beban gempa dikontrol berdasarkan SNI 03-1726-2012.

##### **1. Kontrol Partisipasi Massa**

Perhitungan respon dinamik struktur harus sedemikian rupa sehingga partisipasi massa dalam menghasilkan respon total harus sekurang-kurangnya 90%

##### **2. Kontrol Nilai Akhir Respon Spektrum**

Perhitungan respon dinamik struktur harus sedemikian rupa sehingga partisipasi massa dalam menghasilkan respon total harus sekurang-kurangnya 90%

##### **3. Kontrol Waktu Getar Alami Fundamental**

Untuk mencegah penggunaan struktur gedung yang terlalu fleksibel, nilai waktu getar alami fundamental ( $T$ ) dari struktur gedung harus dibatasi dengan perumusan,

$$T = C_t \cdot h_n^x \quad (3.2)$$

Dimana nilai parameter untuk SRBE adalah:

$C_t = 0,0731$

$x = 0,75$

$h_n = \text{Tinggi gedung}$

##### **4. Kontrol Kinerja Struktur Gedung**

Pembatasan simpangan antar lantai suatu struktur bertujuan untuk mencegah kerusakan non-struktur dan ketidaknyamanan penghuni berdasarkan SNI 03-1726-2012 Pasal 7.9.3.

### 3.2.8.2 Kontrol perhitungan elemen struktur primer

Desain elemen struktur primer dikontrol berdasarkan SNI 03-1729-2002 agar dapat memikul gaya-gaya yang terjadi. Perencanaan elemen struktur primer meliputi:

1. Kolom

Dalam perencanaan kolom, digunakan kolom komposit jenis *Concrete Filled Steel Tube* (CFT) yang menerima gaya kombinasi normal dan lentur.

- a. Kriteria Untuk Kolom Komposit Bagi Struktur Tekan
  - Kontrol luas penampang minimum profil baja,

$$\frac{As}{Ac + As} \times 100\% \geq 4\% \quad (3.3)$$

- Kontrol tebal minimum penampang baja berongga yang diisi beton,

$$t \geq b \times \sqrt{\frac{f_y}{3e}} \quad (3.4)$$

- b. Kuat Nominal Tekan Kolom Komposit CFT

Batasan rasio lebar terhadap ketebalan untuk elemen baja tekan harus ditentukan sesuai dengan jenis profil nya yaitu:

$$\lambda = \frac{bf}{2tf} \quad (3.5)$$

$$\lambda_p = 2,26 \sqrt{\frac{E}{f_y}} \quad (3.6)$$

$$\lambda_r = 3 \sqrt{\frac{E}{f_y}} \quad (\text{tak kompak}) \quad (3.7)$$

$$\lambda r = 5 \sqrt{\frac{E}{f_y}} \quad (\text{maksimum diijinkan}) \quad (3.8)$$

Untuk komponen struktur komposit yang terisi beton

- Untuk penampang kompak

$$P_{no} = P_p \quad (3.9)$$

Dengan,

$$P_p = f_y A_s + C_2 f'_c (A_c + A_{sr} \frac{E_s}{E_c}) \quad (3.10)$$

- Untuk penampang non kompak

$$P_{no} = P_p - \frac{P_p - P_y}{(\lambda r - \lambda p)^2} (\lambda - \lambda_p)^2 \quad (3.11)$$

Dengan,

$$P_y = f_y A_s + 0,7 f'_c (A_c + A_{sr} \frac{E_s}{E_c}) \quad (3.12)$$

- Untuk penampang langsing

$$P_{no} = f_{cr} A_s + 0,7 f'_c (A_c + A_r \frac{E_s}{E_c}) \quad (3.13)$$

Penampang persegi diisi beton

$$f_{cr} = \frac{9 E_s}{(\frac{b}{t})^2} \quad (3.14)$$

### c. Amplifikasi momen

Kekuatan lentur orde pertama yang diperlukan,  $M_r$ , dan ketentuan aksial  $P_r$ , dari semua komponen struktur harus ditentukan sebagai berikut

$$M_r = B_1 M_{ni} + B_2 M_i \quad (3.15)$$

$$P_r = P_{nt} + B_2 P_t \quad (3.16)$$

Keterangan rumus:

$B_1$  = Pengali untuk menghilangkan efek  $P-\delta$ , ditentukan untuk setiap komponen struktur yang menahan tekan dan lentur.

$B_2$  = Pengali untuk menghilangkan efek  $P-\delta$ , ditentukan untuk setiap tingkat dari struktur.

$M_{lt}$  = Momen orde pertama menggunakan kombinasi beban DFBK

$M_{nt}$  = Momen orde pertama menggunakan kombinasi beban DFBK

$M_r$  = Momen lentur orde kedua yang diperlukan menggunakan kombinasi beban DFBK

$P_{lt}$  = Gaya aksial orde pertama menggunakan kombinasi beban DFBK

$P_{nt}$  = Gaya aksial orde pertama menggunakan kombinasi beban DFBK

$P_r$  = Kekuatan aksial orde kedua yang diperlukan menggunakan kombinasi beban DFBK

- Pengali  $B_1$  untuk efek  $P-\delta$

$$B_1 = \frac{C_m}{1 - \alpha \frac{P_r}{P_{el}}} \geq 1 \quad (3.17)$$

Dengan,

$\alpha = 1$  (DFBK)

$C_m$  = Koefisien dengan asumsi tanpa translasi lateral dari portal yang ditentukan dengan formula:

$$C_m = 0,6 - 0,4 \left( \frac{M_1}{M_2} \right) \quad (3.18)$$

Dengan  $M_1$  dan  $M_2$  dihitung dari analisis orde pertama, adalah momen terkecil dan terbesar pada ujung-ujung bagian komponen

$P_{el}$  = Kekuatan tekuk kritis elastis komponen struktur dalam bidang lentur, dihitung berdasarkan asumsi tanpa translasi pada ujung-ujung komponen struktur

$$P_{el} = \frac{\pi^2 EI}{(K_1 L)^2} \quad (3.19)$$

Keterangan;

$EI$  = kekakuan lentur yang diperlukan yang harus digunakan dalam analisis ( $0,8\tau cEI$ ) bila digunakan dalam metode analisis langsung dengan  $\tau c$  adalah seperti ditetapkan pada bab C SNI 03-1729-2015 untuk panjang efektif dan metode analisis orde pertama

$E$  = Modulus elastisitas baja = 200000 Mpa

$I$  = Momen inersia bidang lentur,  $\text{mm}^4$

$L$  = Panjang komponen struktur, mm

$K_1$  = Faktor panjang efektif dalam bidang lentur, dihitung berdasarkan asumsi translasi lateral pada ujung-ujung komponen struktur

- Pengali B2 untuk efek  $P-\delta$

$$B2 = \frac{1}{(1 - \frac{\alpha P_{story}}{P_{estory}})} \quad (3.20)$$

Dengan,

$\alpha$  = 1 (DFBK)

$P_{story}$  = beban vertikal total didukung oleh tingkat menggunakan kombinasi beban DFBK yang sesuai, termasuk beban-beban dalam kolom-kolom yang bukan merupakan bagian dari sistem penahanan gaya lateral.

$P_{e story}$  = Kekuatan tekuk kritis elastis untuk tingkat pada arah translasi yang diperhitungkan, ditentukan dengan analisis tekuk sidesway, atau dengan rumusan:

$$\text{Dengan, } P_{e story} = RM \frac{HL}{\Delta_H} \quad (3.21)$$

$$RM = 1 - 0,15 \left( \frac{P_{mf}}{P_{story}} \right) \quad (3.22)$$

$L$  = Tinggi tingkat (mm)

$P_{mf}$  = Beban vertikal total pada kolom dalam tingkat yang merupakan bagian dari portal momen

$\Delta H$  = Simpangan tingkat dalam orde pertama

$H$  = Geser tingkat, dalam arah translasi harus diperhitungkan, dihasilkan oleh gaya-gaya lateral yang digunakan untuk menghitung  $\Delta H$  (N)

#### d. Momen Nominal

Momen nominal pada kolom yang diperhitungkan sama dengan balok dengan dua arah sumbu penampang yaitu x dan y

$$M_u \leq \emptyset M_n \quad (3.23)$$

Keterangan:

$M_u$  = Momen lentur terfaktor

$\emptyset$  = Faktor tahanan = 0,9

$M_n$  = Kuat nominal dari momen lentur penampang

Untuk profil HSS yang diisi dengan beton dengan ketebalan profil baja di semua sisi

$$\lambda = \frac{bf}{2tf} \quad (3.24)$$

$$\lambda_p = 1,12 \times \sqrt{\frac{E}{f_y}} \quad (3.25)$$

$$\lambda_r = 1,40 \times \sqrt{\frac{E}{f_y}} \quad (3.26)$$

Untuk komponen struktur berpenampang kotak/persegipanjang

- Untuk penampang kompak

$$M_n = M_p = f_y Z \quad (3.27)$$

- Untuk penampang nonkompak

$$M_n = M_p - (M_p - f_y S) \left[ 3,57 \frac{b}{t_f} \sqrt{\frac{f_y}{E}} - 4 \right] \leq M_u \quad (3.28)$$

- Untuk penampang langsing

$$\text{Dimana, } M_n = fySe \quad (3.29)$$

$Se$  = Modulus penampang efektif yang ditentukan dengan lebar efektif  $be$ , dari sayap yang diambil sebesar:

$$be = 1.92 \cdot tf \sqrt{\frac{E}{fy}} \left(1 - \frac{0,38}{\frac{b}{tf}} \sqrt{\frac{E}{fy}}\right) \leq b \quad (3.30)$$

#### e. Persamaan interaksi aksial momen

Interaksi beban aksial tekan dan lentur pada bidang simetris komponen struktur komposit ditentukan menurut

- Untuk  $\frac{Pu}{\phi Pn} \geq 0,2$  (3.31)

- $\frac{Pu}{\phi Pn} + \frac{8}{9} \left( \frac{M_{rx}}{\phi_b \cdot Mcx} + \frac{M_{ry}}{\phi_b \cdot Mcy} \right) \leq 1$  (3.32)

- Untuk  $\frac{Pu}{\phi Pn} \leq 0,2$  (3.33)

$$\frac{Pu}{2\phi Pn} + \left( \frac{M_{rx}}{\phi_b \cdot Mcx} + \frac{M_{ry}}{\phi_b \cdot Mcy} \right) \leq 1 \quad (3.34)$$

Keterangan:

$P_r$  = kekuatan aksial perlu menggunakan kombinasi beban DFBK, N

$M_r$  = kekuatan momen perlu menggunakan kombinasi beban DFBK, Nmm

$M_c = \phi_c M_n$  = Kekuatan lentur desain, Nmm

$\phi_c$  = faktor ketahanan untuk tekan = 0,9

$\phi_b$  = faktor ketahanan untuk lentur = 0,9

#### 2. Balok

Sebuah balok yang memikul beban lentur murni terfaktor  $M_u$  harus direncanakan sedemikian rupa sehingga selalu terpenuhi hubungan:

$$Mu \leq \phi Mn \quad (3.35)$$

Dimana:

$M_u$  = momen lentur terfaktor

$\phi$  = faktor reduksi = 0,9

$M_n$  = kuat nominal dari momen lentur penampang

- Kontrol penampang

Pengertian penampang kompak, tak kompak, dan langsing suatu komponen struktur yang memikul lentur, ditentukan oleh kelangsungan elemen-elemen tekannya yang ditentukan. Untuk penampang yang digunakan dalam perencanaan struktur baja maka batas kelangsingannya:

Pelat badan

$$\lambda = \frac{h}{tw} \quad (3.36)$$

$$\lambda_p = \frac{1680}{\sqrt{fy}} \quad (3.37)$$

$$\lambda_r = \frac{2550}{\sqrt{fy}} \quad (3.38)$$

Pelat sayap

$$\lambda = \frac{bf}{tf} \quad (3.39)$$

$$\lambda_p = \frac{170}{\sqrt{fy}} \quad (3.40)$$

$$\lambda_r = \frac{370}{\sqrt{fy - fr}} \quad (3.41)$$

Dimana :

$bf$  = lebar sayap

$tf$  = tebal sayap

$h$  = tinggi profilm

$t_w$  = tebal pelat badan

$f_y$  = kuat leleh profil baja

$f_r$  = tegangan tekan residual pada plat sayap

- Kontrol tekuk lateral

Kuat komponen struktur dalam memikul momen lentur tergantung dari panjang bentang antara dua pengekang lateral yang berdekatan,  $L$ . batas-batas bentang pengekang lateral :

Tabel III.6 Batas-batas pengekang lateral

(Sumber: SNI 03-1729-2002)

Profil	$L_p$	$L_r$
Profil I dan kanal ganda	$1,76r_y \sqrt{\frac{E}{f_y}}$ dengan $r_y \sqrt{\frac{I_y}{A}}$ adalah jari-jari girasi terhadap sumbu lemah	$r_y \left[ \frac{X_1}{f_L} \right] \sqrt{1 + \sqrt{1 + X_2 f_{L^2}}}$ dengan $f_L = f_y - f_r$ $X_1 = \frac{\pi}{S} \sqrt{\frac{EGJA}{2}}$ $X_2 = 4 \left( \frac{S}{GJ} \right)^2 \frac{I_w}{I_y}$ $I_w$ adalah konstanta puntir lengkung $J$ adalah konstanta puntir torsi
Profil kotak pejal atau berongga	$0,13E r_y \frac{\sqrt{JA}}{M_p}$	$2E r_y \frac{\sqrt{JA}}{M_r}$

- Bentang Pendek ( $L_b \leq L_p$ )

$$M_n = M_p = Zx.f_y \quad (3.42)$$

- Bentang Menengah ( $L_p \leq L_b \leq L_r$ )

$$M_n = C_b \left( M_r + (M_p - M_r) \frac{L_r - L_b}{L_r - L_p} \right) \leq M_p \quad (3.43)$$

- Bentang Panjang ( $L_r \leq L_b$ )

$$M_n = M_{cr} = C_b \frac{\pi}{L_b} \sqrt{E \cdot I_y \cdot G \cdot J \left( \frac{\pi E}{L_b} \right)^2} \leq M_p \quad (3.44)$$

Dimana :

$Z_x$  = Modulus plastis

$f_y$  = Kuat leleh profil baja

$$C_b = \frac{12.5 M_{\max}}{2.5 M_{\max} + 3M_A + 4M_B + 3M_C} \leq 2.30 \quad (3.45)$$

Keterangan :

$M_{\max}$  adalah momen maksimum dari bentang yang ditinjau

$M_A$  adalah momen pada  $\frac{1}{4}$  bentang yang ditinjau

$M_B$  adalah momen pada  $\frac{1}{2}$  bentang yang ditinjau

$M_C$  adalah momen pada  $\frac{3}{4}$  bentang yang ditinjau

- Kontrol kuat rencana geser  
Kuat komponen struktur dalam memikul momen lentur tergantung dari panjang bentang antara dua

$$V_u \leq \phi V_n \quad (3.46)$$

Dimana :

$V_u$  = kuat geser berfaktor

$V_n$  = kuat geser nominal, hanya oleh plat badan

$\phi$  = faktor reduksi (0,9)

- Leleh pada plat badan (plastik sempurna)  
Jika perbandingan maksimum tinggi terhadap tebal panel  $h/t_w$ , memenuhi :

$$\frac{h}{t_w} \leq 1,1 \sqrt{\frac{k_n E}{f_y w}} \quad (3.47)$$

$$k_n = 5 + \frac{5}{\left(\frac{a}{h}\right)^2} \quad (3.48)$$

Maka kuat geser nominal plat badan harus dihitung sebagai berikut :

$$V_n = 0,6 \times f_y w \times A_w \quad (3.49)$$

Dimana :

$f_y w$  = tegangan leleh plat badan

$A_w$  = luas kotor plat badan

- Tekuk inelastik pada plat badan  
Jika kelangsungan plat badan memenuhi hubungan:

$$1,1 \sqrt{\frac{k_n E}{f_y w}} \leq \frac{h}{t_w} \leq 1,37 \sqrt{\frac{k_n E}{f_y w}} \quad (3.50)$$

Maka kuat geser nominal plat badan harus dihitung sebagai berikut:

$$V_n = 0,6 \times f_y w \times A_w \left[ 1,1 \sqrt{\frac{k_n E}{f_y w}} \right] \frac{1}{h/t_w} \quad (3.51)$$

- Tekuk elastik pada plat badan  
Jika kelangsungan plat badan memenuhi hubungan:

$$\frac{h}{t_w} \geq 1,37 \sqrt{\frac{k_n E}{f_y w}} \quad (3.52)$$

Maka kuat geser nominal plat badan harus dihitung sebagai berikut:

$$V_n = \frac{0,9 \times E \times k_n \times A_w}{\left(\frac{h}{t_w}\right)^2} \quad (3.53)$$

### 3. Link

*Link* adalah bagian dari balok yang direncanakan untuk mendisipasi energi pada saat terjadi gempa kuat. *Link* harus memenuhi perbandingan lebar terhadap tebal sesuai dengan SNI 03-1729-2002 Tabel 15.7-1. Tegangan leleh bahan baja yang digunakan pada *link* tidak boleh melebihi 350 MPa. Pelat badan dari *link* harus berupa pelat tunggal tanpa pelat pengganda dan tanpa penetrasi. Kecuali diatur pada SNI 03-1729-2002 Butir 15.13.2.6, kuat geser rencana *link*,  $\varphi V_n$ , harus lebih besar daripada kuat geser perlu  $V_u$ , dengan:

$V_n$  = kuat geser nominal *Link*, diambil yang terkecil dari  $V_p$   
atau  $2 M_p / e$

$$V_p = 0,6 f_y (d - 2 \cdot t_f) t_w$$

$$\varnothing = 0,9$$

$e$  = panjang *link*

Apabila beban aksial terfaktor pada *Link*,  $N_u$ , tidak melebihi  $0,15 N_y$ , dengan  $N_y = A_g F_y$ , pengaruh gaya aksial pada kuat geser rencana *Link* tidak perlu diperhitungkan. Apabila beban terfaktor pada *Link*,  $N_u$ , melebihi  $0,15 N_y$ , ketentuan tambahan berikut ini harus dipenuhi:

1. Kuat geser rencana *link* harus ditentukan sebagai nilai terkecil dari  $\varnothing V_{pa}$  atau  $2\varnothing M_{pa}/e$ , dengan:

$$V_{pa} = V_p \sqrt{1 - \left(\frac{N_u}{N_y}\right)^2} \quad (3.54)$$

$$M_{pa} = 1,18M_p \left( 1 - \left( \frac{N_u}{N_y} \right)^2 \right) \quad (3.55)$$

$$\emptyset = 0,9 \quad (3.56)$$

2. Panjang *link* tidak boleh melebihi :

- untuk  $p'(A_w/A_g) \geq 0,3$   
 $[1,15 - 0,5p'(A_w/A_g)]1,6M_p/V_p, \quad (3.57)$

- untuk  $p'(A_w/A_g) < 0,3$   
 $1,6M_p/V_p, \quad (3.58)$

Sudut Rotasi *link* adalah sudut inelastis antara *link* dan bagian balok di luar *link* pada saat simpangan antar lantai sama dengan simpangan antar lantai rencana,  $\Delta M$ . Sudut Rotasi *link* tidak boleh melebihi harga-harga berikut:

1. 0,08 radian untuk  $e \leq 1,6M_p/V_p ; \quad (3.59)$

2. 0,02 radian untuk  $e \leq 2,6M_p/V_p; \quad (3.60)$

3. Nilai Sudut Rotasi *link* ditentukan dengan interpolasi linier untuk nilai  $e$  yang berada di antara keduanya.

#### 4. Balok dan Bresing Diluar *Link*

Kuat kombinasi-aksial-dan-lentur perlu batang bresing harus direncanakan berdasarkan gaya aksial dan momen lentur yang ditimbulkan oleh 1,25 kali kuat geser nominal dari link sebesar 1,25.Ry.Vn, dengan Vn ditentukan sesuai dengan SNI 03-1729-2002 Butir 15.13.2. Kuat rencana batang bresing, seperti ditentukan pada Butir 11, harus lebih besar daripada kuat perlu yang disebutkan di atas.

Balok di luar *link* harus direncanakan memenuhi ketentuan sebagai berikut :

1. Kuat perlu balok yang terletak di luar *link* harus ditentukan berdasarkan gaya-gaya yang ditimbulkan oleh paling tidak 1,1 kali kuat geser nominal *link* sebesar  $R_y V_n$ , dengan  $V_n$  ditentukan sesuai dengan SNI 03-1729-2002 Butir 15.13.2. Kuat rencana balok di luar *link* ini dapat ditentukan menggunakan ketentuan kuat rencana yang dihitung berdasarkan Butir 8 dan mengalikannya dengan faktor  $R_y$ ;
2. Bila diperlukan, balok di luar *link* harus direncanakan menggunakan pengekang lateral untuk menjaga kestabilan balok. Pengekang lateral harus direncanakan pada kedua pelat sayap balok (atas dan bawah), dan masing-masing pengekang lateral harus mempunyai kuat perlu sebesar paling sedikit 2% dari kuat nominal pelat sayap balok sebesar  $f_y t_f$ .

Pada sambungan antara batang bresing dan balok diujung *link*, pertemuan as batang bresing dan as balok harus terletak di ujung *link* atau di dalam *link*. Kuat perlu sambungan batang bresing-ke-balok, pada ujung *link* dari batang bresing, harus ditentukan lebih besar atau sama dengan kuat nominal batang bresing seperti yang ditentukan pada SNI 03-1729-2002 Butir 15.13.6.1. Tidak ada bagian dari sambungan ini yang boleh melampaui panjang *link*. Apabila batang bresing memikul sebagian momen ujung *link* maka sambungan harus direncanakan sebagai sambungan kaku.

### 3.3.9 Perencanaan Sambungan

Pada bagian ini, penulis akan melakukan kontrol terhadap kekuatan struktur dengan cara analisis manual.

Perencanaan sambungan dalam Tugas Akhir ini berdasarkan SNI 03-1729-2002

- Sambungan baut

Kuat geser:

$$V_d = \phi_f \cdot V_n = \phi_f \cdot r_1 \cdot f_u^b \cdot A_b \quad (3.61)$$

Kuat tumpu:

$$R_d = \emptyset_f \cdot V_n = 2,4 \emptyset_f \cdot d_b \cdot t_r \cdot f_u \quad (3.62)$$

“Dari nilai  $V_d$  dan  $R_d$  dipilih nilai terkecil”

Jumlah baut (n):

$$n = \frac{V_u}{\emptyset R_n} \quad (3.63)$$

Dimana:

$\emptyset_f$  = Faktor reduksi kekuatan fraktur (0,85)

$r_1$  = 0,5 untuk baut tanpa ulir pada bidang geser

= 0,4 untuk baut ada ulir pada bidang geser

$f_u^b$  = Tegangan tarik putus baut

$A_b$  = Luas bruto penampang baut

$f_u$  = Tegangan tarik putus yang terendah dari baut dan pelat

$t_p$  = Tebal tertipis pelat

- Kontrol jarak baut

Jarak tepi minimum = 1,5 db

Jarak tepi maksimum =  $(4t_p + 100 \text{ mm})$  atau

200 mm

Jarak minimum antar baut = 3 db

Jarak maksimum antar baut = 15 tp atau 200 mm

Kontrol kekuatan pelat:

$$\emptyset P_n = 0,75 \times 0,6 \times A_nv \quad (3.64)$$

$$\emptyset P_n > V_n \quad (3.65)$$

### 3.3.10 Penggambaran Output Desain Menggunakan Program Bantu

Setelah pemodelan portal EBF dimodelkan dengan menggunakan *software* ABAQUS 6.14, dilakukan proses running atau eksekusi proses pembebanan. Hasil eksekusi pembebanan tersebut akan dianalisis, baik perilaku kerusakan sambungan, tegangan, regangan, dan daktilitas dari model portal EBF yang direncanakan. Analisis gaya dilakukan untuk mengetahui beban maksimum yang bekerja pada sistem portal EBF serta menetapkan batasan-batasannya sesuai dengan peraturan yang berlaku. Proses

running dan analisis gaya pada model portal EBF tersebut dilakukan dengan iterasi berulang untuk mendapatkan konfigurasi portal EBF yang daktail.

### **3.3.11 Penarikan Kesimpulan Penelitian**

Berdasarkan analisis hasil pemodelan yang dilakukan pada masing-masing tipe struktur EBF menggunakan bantuan *software* (ETABS dan ABAQUS) maka dapat ditarik kesimpulan dengan meninjau perilaku kerusakan sambungan, tegangan, regangan, dan daktilitas dari seluruh studi yang telah dilakukan.

*“Halaman ini sengaja dikosongkan”*

## BAB IV

### HASIL PERENCANAAN

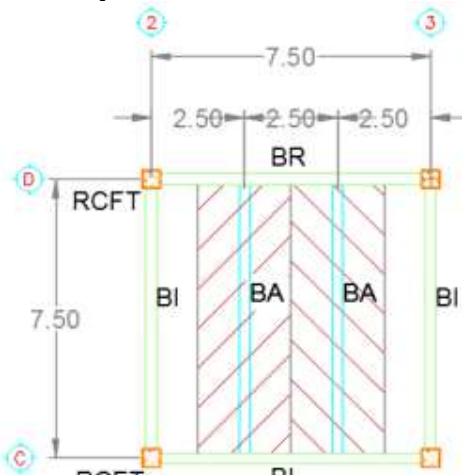
#### 4.1 Perencanaan Struktur Sekunder

##### 4.1.1 Perencanaan dimensi pelat lantai gedung

Perencanaan pelat lantai pada gedung ini menggunakan bantuan tabel perencanaan praktis dari PT SUPER FLOOR DECK®. Spesifikasi yang digunakan adalah sebagai berikut:

- Beban mati (berat sendiri bondek dan pelat beton) sudah diperhitungkan
- Berat berguna yang digunakan adalah jumlah beban hidup dan beban-beban finishing lainnya
- Beton menggunakan mutu K-350 kg/cm<sup>2</sup>
- Bondex menggunakan tebal 0,75 mm
- Mutu baja tulangan u-48 ( $f_y = 4800 \text{ kg/cm}^2$ )
- Bondex dengan satu baris penyangga.

###### 4.1.1.1 Pelat lantai atap



Gambar IV.1 Pelat Lantai Atap

Peraturan pembebanan pada struktur pelat lantai atap ini menggunakan PPIUG 1983 dan SNI 1727-2013.

### Beban Mati:

$$\begin{aligned}
 - \text{ Berat aspal (2 cm)} &: 2 \times 14 & = 28 \text{ kg/m}^2 \\
 - \text{ Berat plafon + penggantung} &: 11 + 7 & = 18 \text{ kg/m}^2 \\
 - \text{ Berat Spesi (1 cm)} &: 1 \times 21 & = 21 \text{ kg/m}^2 \\
 - \text{ Berat ducting dan plumbing} & & = 10 \text{ kg/m}^2 + \\
 & q_D & = 77 \text{ kg/m}^2
 \end{aligned}$$

Beban Hidup (SNI 1727-2013):

- Lantai atap  $q_L = 97,9 \text{ kg/m}^2 \approx 100 \text{ kg/m}^2$

### Beban Berguna :

$$- Q_u = q_D + q_L = 77 + 100 = 177 \text{ kg/m}^2 \approx 200 \text{ kg/m}^2$$

## Data-data perencanaan pelat bondex

- bentang = 2,50 m
- beban berguna =  $200 \text{ kg/m}^2$

Bentang menerus dengan tulangan negatif, didapatkan tebal pelat 9 cm, dan tulangan negatif As=1,71 cm<sup>2</sup>/m tanpa penyangga.

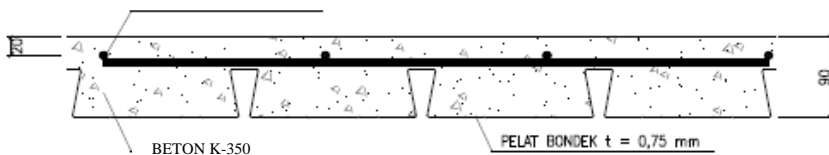
Digunakan tulangan dengan Ø 8 (As = 0,503 cm<sup>2</sup>)

$$n = \frac{1,71}{0,503} = 3,4 \approx 4 \text{ buah}$$

- Jarak antar tulangan s =  $\frac{1000}{4} = 250$  mm

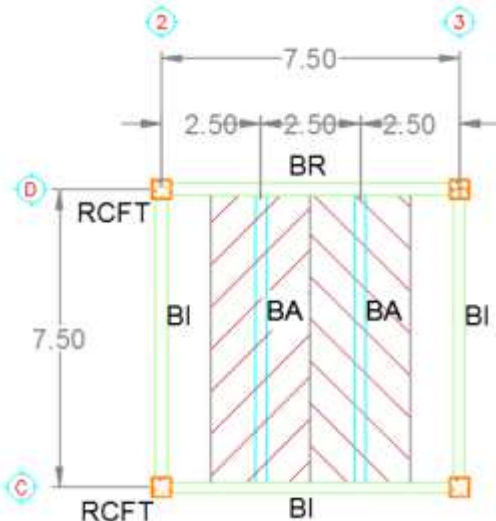
- Jadi dipasang tulangan negatif Ø 8–250

Tulangan Negatif Ø 8 – 250



#### Gambar IV.2 Penulangan Pelat Atap

#### 4.1.1.2 Pelat lantai apartemen



Gambar IV.3 Pelat Lantai Apartemen

Peraturan pembebatan pada struktur pelat lantai ruangan apartemen ini menggunakan PPIUG 1983.

Beban Mati :

- Berat spesi (2 cm) :  $2 \times 21 = 42 \text{ kg/m}^2$
- Berat keramik 1 cm  $1 \times 24 = 24 \text{ kg/m}^2$
- Berat plafon + penggantung  $11 + 7 = 18 \text{ kg/m}^2$
- Berat ducting dan plumbing  $\frac{= 10 \text{ kg/m}^2}{q_D} +$

$$q_D = 94 \text{ kg/m}^2$$

Beban Hidup :

- Lantai apartemen  $q_L = 200 \text{ kg/m}^2$

Beban Berguna :

- $Q_u = q_D + q_L = 94 + 200 = 294 \text{ kg/m}^2 \approx 300 \text{ kg/m}^2$

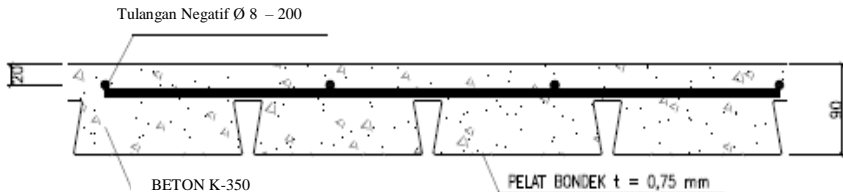
Data-data perencanaan pelat bondek

- Bentang  $= 2.5 \text{ m}$
- Beban berguna  $= 300 \text{ kg/m}^2$

Bentang menerus dengan tulangan negatif, didapatkan tebal pelat 9 cm, dan tulangan negatif  $2,09 \text{ cm}^2/\text{m}$  tanpa penyangga.

Digunakan tulangan  $\varnothing 8$  ( $A_s = 0,503 \text{ cm}^2$ )

- $n = \frac{2,48}{0,503} = 4,93 \approx 5$  buah
- Jarak antar tulangan  $s = \frac{1000}{5} = 200 \text{ mm}$
- Jadi dipasang tulangan negatif  $\varnothing 8 - 200$



Gambar IV.4 Penulangan Lantai Apartemen

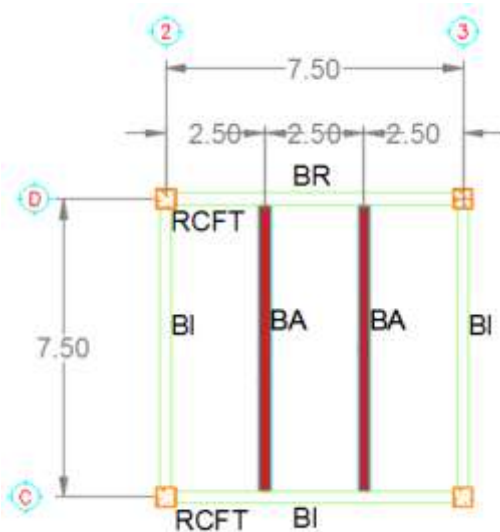
#### 4.1.2 Perencanaan balok anak

Fungsi dari balok anak adalah meneruskan serta membagi beban yang dipikul pelat lantai ke balok induk. Balok anak didesain sebagai struktur sekunder sehingga dalam perhitungan tidak menerima beban lateral yang diakibatkan oleh gempa.

##### 4.1.2.1 Balok anak lantai atap

Menggunakan profil WF 350 x 250 x 8 x 12

W	69.2	(kg/m)	ix	14.5	(cm)
A	88.15	(cm <sup>2</sup> )	iy	5.92	(cm)
d	336	(mm)	Sx	1100	(cm <sup>3</sup> )
bf	249	(mm)	Sy	248	(cm <sup>3</sup> )
tw	8	(mm)	Zx	1163	(cm <sup>3</sup> )
tf	12	(mm)	Zy	377	(cm <sup>3</sup> )
r	20	(mm)	BJ 41	Lp (cm)	294.699 (cm)
I <sub>x</sub>	18500	(cm <sup>4</sup> )		Lr (cm)	868.078 (cm)
I <sub>y</sub>	3090	(cm <sup>4</sup> )		fu	4100 kg/cm <sup>2</sup>
h	272	(mm)		fy	2500 kg/cm <sup>2</sup>



Gambar IV.5 Balok Anak Lantai Atap

Pembebanan pada balok anak lantai atap

- Beban mati
 

Berat pelat bondek	=	10,1	kg/m <sup>2</sup>
Berat aspal (2cm) 2 x 14	=	28	kg/m <sup>2</sup>
Berat beton (9 cm) 0,09 x 2400	=	216	kg/m <sup>2</sup>
Berat plafond + penggantung 11 + 7	=	18	kg/m <sup>2</sup>
Berat ducting dan plumbing	=	10	kg/m <sup>2</sup>
		=	282,1 kg/m <sup>2</sup>

Berat perhitungan pelat lantai  
 $282,1 \text{ kg/m}^2 \times 2,5 \text{ m}$  = 705,25 kg/m  
 Berat profil  
 $q_D$  = 69,2 kg/m +  
 $q_D$  = 774,45 kg/m

- Beban hidup
 

$q_L = 2,5 \text{ m} \times 100 \text{ kg/m}^2$	= 250	kg/m
---	-------	------
- Beban berfaktor :
 

$q_U = 1,2 \cdot q_D + 1,6 \cdot q_L$	= 1329,3 kg/m
$= 1,2 \cdot 774,45 + 1,6 \cdot 250$	

- a. Gaya dalam pada balok anak lantai atap

- Momen yang terjadi

$$M_U = \frac{1}{8} \times q_U \times L^2 = \frac{1}{8} \times 1329,3 \times 7,5^2 \\ = 9346,9 \text{ kg.m}$$

- Gaya geser yang terjadi

$$V_U = \frac{1}{2} \times q_U \times L = \frac{1}{2} \times 1329,3 \times 7,5 \\ = 4985 \text{ kg}$$

- b. Kontrol penampang profil terhadap gaya lentur

- Kontrol terhadap tekuk lokal

Pelat sayap

$$\lambda = \frac{b_f}{2t_f} = \frac{249}{2(12)} = 10,375$$

$$\lambda_p = \frac{170}{\sqrt{f_y}} = \frac{170}{\sqrt{250}} = 10,752$$

$\lambda \leq \lambda_p \rightarrow 10,375 < 10,752 \rightarrow$  penampang kompak

Pelat badan

$$\lambda = \frac{h}{t_w} = \frac{272}{8} = 34$$

$$\lambda_p = \frac{1680}{\sqrt{f_y}} = \frac{1680}{\sqrt{250}} = 106,25$$

$\lambda \leq \lambda_p \rightarrow 34 < 106,25 \rightarrow$  penampang kompak

- Karena penampang kompak, maka  $M_n = M_p$

$$M_p = f_y \cdot Z_x = 2500 \cdot 1163 = 2907500 \text{ kg.cm} \\ = 29075 \text{ kg.m}$$

- Cek kemampuan penampang

$$\emptyset_b \cdot M_n \geq M_u$$

$$\emptyset_b \cdot M_n = 0,9 \cdot 29075$$

$$= 26167,5 \text{ kg.m} > 9346,922 \text{ kg.m} \dots \mathbf{OK !}$$

- Kontrol terhadap tekuk lateral

Jarak pengaku lateral ( $L_b$ ) = 20 cm.

$$L_p = 294,70 \text{ cm}$$

$$L_r = 868,08 \text{ cm}$$

$L_b < L_p < L_r \rightarrow$  Bentang Pendek.

- Karena bentang pendek, maka  $M_n = M_p$

$$M_{nx} = M_{px} = Z_x \cdot f_y$$

$$= 1163 \times 2500$$

$$= 2907500 \text{ kgcm} = 29075 \text{ kgm}$$

$$M_{ny} = M_{py} = Z_y \cdot f_y$$

$$= 377 \times 2500$$

$$= 942500 \text{ kgcm} = 9425 \text{ kgm}$$

- Persamaan Interaksi

$$\frac{M_{ux}}{\phi_b M_{nx}} + \frac{M_{uy}}{\phi_b M_{ny}} \leq 1,0$$

$$\frac{9346,92}{0,9.29075} + \frac{0}{0,9.9425} \leq 1,0 \rightarrow 0,357 \leq 1,0 \rightarrow OK$$

- c. Kontrol penampang profil terhadap gaya geser

$$\frac{h}{t_w} = 34 : \frac{1100}{\sqrt{250}} = 69,57$$

$$\text{karena } \frac{h}{t_w} \leq \frac{1100}{\sqrt{f_y}} \rightarrow 34 < 69,57 \rightarrow \text{Plastis}$$

$$\text{maka } V_n = 0,6 f_y A_w$$

$$= 0,6 \cdot 2500 \cdot 33,6 \cdot 0,8$$

$$= 40320 \text{ kg}$$

$$\phi V_n \geq V_u$$

$$\phi V_n = 0,9 \cdot 40320 \text{ kg}$$

$$= 36288 \text{ kg} > 4985,025 \text{ kg} \rightarrow OK !$$

d. Kontrol lendutan

$$L = 750 \text{ cm}$$

$$f_{ijin} = \frac{L}{360} = \frac{750}{360} = 2,083 \text{ cm}$$

$$f^0 = \frac{5}{384} \times \frac{(q_D + q_L) \cdot L^4}{E \cdot I_x} = \frac{5}{384} \times \frac{10,24 \times 750^4}{2000000 \times 18500}$$

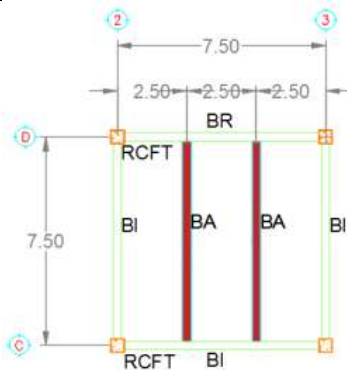
$$= 1,14 \text{ cm}$$

$$f^0 < f_{ijin} \rightarrow 1,141 \text{ cm} < 2,083 \text{ cm} \rightarrow \text{OK !}$$

#### 4.1.2.2 Balok anak lantai apartemen

Menggunakan profil WF 350 x 250 x 8 x 12

W	69.2	(kg/m)		ix	14.5	(cm)
A	88.15	(cm <sup>2</sup> )		iy	5.92	(cm)
d	336	(mm)		Sx	1100	(cm <sup>3</sup> )
bf	249	(mm)		Sy	248	(cm <sup>3</sup> )
tw	8	(mm)		Zx	1163	(cm <sup>3</sup> )
tf	12	(mm)		Zy	377	(cm <sup>3</sup> )
r	20	(mm)	BJ 41	Lp (cm)	294.699	(cm)
I <sub>x</sub>	18500	(cm <sup>4</sup> )		Lr (cm)	868.078	(cm)
I <sub>y</sub>	3090	(cm <sup>4</sup> )		fu	4100	kg/cm <sup>2</sup>
h	272	(mm)		fy	2500	kg/cm <sup>2</sup>



Gambar IV.6 Denah Balok Anak Lantai Apartemen

a. Pembebanan pada balok anak lantai apartemen

- Beban mati

Berat pelat bondek	=	10,1	kg/m <sup>2</sup>
Berat spesi 2 cm (0,02 x 2100)	=	42	kg/m <sup>2</sup>
Berat beton 0,09 x 2400	=	216	kg/m <sup>2</sup>
Berat plafon + penggantung 11 + 7	=	18	kg/m <sup>2</sup>
Berat ducting dan plumbing	=	10	kg/m <sup>2</sup>
Berat Keramik 1cm	=	<u>24</u>	kg/m <sup>2</sup> +
	=	320,1	kg/m <sup>2</sup>

Berat perhitungan pelat lantai

320,1 kg/m <sup>2</sup> x 2,5 m	=	800,25 kg/m
Berat Profil	=	<u>69,2</u> kg/m +
q <sub>D</sub>	=	869,45 kg/m

- Beban hidup lantai

$$q_L = 2,5 \text{ m} \times 200 \text{ kg/m}^2 = 500 \text{ kg/m}$$

- Beban berfaktor :

$$\begin{aligned} q_U &= 1,2 \cdot q_D + 1,6 \cdot q_L \\ &= 1,2 \cdot 869,45 + 1,6 \cdot 500 \\ &= 1843,34 \text{ kg/m} \end{aligned}$$

b. Gaya dalam pada balok anak lantai apartemen

- Momen yang terjadi

$$\begin{aligned} M_U &= \frac{1}{8} \times q_U \times L^2 = \frac{1}{8} \times 1843,34 \times 7,5^2 \\ &= 12960,98 \text{ kg.m} \end{aligned}$$

- Gaya geser yang terjadi

$$\begin{aligned} V_U &= \frac{1}{2} \times q_U \times L = \frac{1}{2} \times 1843,34 \times 7,5 \\ &= 6912,525 \text{ kg} \end{aligned}$$

e. Kontrol penampang profil terhadap gaya lentur

- Kontrol terhadap tekuk lokal

Pelat sayap

$$\lambda = \frac{b_f}{2t_f} = \frac{249}{2(12)} = 10,375$$

$$\lambda_p = \frac{170}{\sqrt{f_y}} = \frac{170}{\sqrt{250}} = 10,752$$

$$\lambda \leq \lambda_p \rightarrow 10,375 < 10,752 \rightarrow \text{penampang kompak}$$

Pelat badan

$$\lambda = \frac{h}{t_w} = \frac{272}{8} = 34$$

$$\lambda_p = \frac{1680}{\sqrt{f_y}} = \frac{1680}{\sqrt{250}} = 106,25$$

$$\lambda \leq \lambda_p \rightarrow 34 < 106,25 \rightarrow \text{penampang kompak}$$

- Karena penampang kompak, maka  $M_n = M_p$

$$M_p = f_y \cdot Z_x = 2500 \cdot 1163 = 2907500 \text{ kg.cm}$$

$$= 29075 \text{ kg.m}$$

- Cek kemampuan penampang

$$\emptyset_b \cdot M_n \geq M_u$$

$$\emptyset_b \cdot M_n = 0,9 \cdot 29075$$

$$= 26167,5 \text{ kg.m} > 12960,98 \text{ kg.m} \dots \text{OK !}$$

- Kontrol terhadap tekuk lateral

Jarak pengaku lateral ( $L_b$ ) = 20 cm.

$$L_p = 294,70 \text{ cm}$$

$$L_r = 868,08 \text{ cm}$$

$L_b < L_p < L_r \rightarrow$  Bentang Pendek.

- Karena bentang pendek, maka  $M_n = M_p$

$$M_{nx} = M_{px} = Z_x \cdot f_y$$

$$= 1163 \times 2500$$

$$= 2907500 \text{ kgcm} = 29075 \text{ kgm}$$

$$M_{ny} = M_{py} = Z_y \cdot f_y$$

$$= 377 \times 2500$$

$$= 942500 \text{ kgcm} = 9425 \text{ kgm}$$

- Persamaan Interaksi

$$\frac{M_{ux}}{\emptyset_b \cdot M_{nx}} + \frac{M_{uy}}{\emptyset_b \cdot M_{ny}} \leq 1,0$$

$$\frac{12960,98}{0,929075} + \frac{0}{0,99425} \leq 1,0 \rightarrow 0,49 \leq 1,00 \rightarrow OK$$

f. Kontrol penampang profil terhadap gaya geser

$$\frac{h}{t_w} = 34 : \frac{1100}{\sqrt{250}} = 69,57$$

$$\text{karena } \frac{h}{t_w} \leq \frac{1100}{\sqrt{f_y}} \rightarrow 34 < 69,57 \rightarrow \text{Plastis}$$

$$\begin{aligned} \text{maka } V_n &= 0,6 f_y A_w \\ &= 0,6 \cdot 2500 \cdot 33,6 \cdot 0,8 \\ &= 40320 \text{ kg} \end{aligned}$$

$$\emptyset V_n \geq V_u$$

$$\emptyset V_n = 0,9 \cdot 40320 \text{ kg}$$

$$= 36288 \text{ kg} > 6912,525 \text{ kg} \rightarrow OK !$$

g. Kontrol lendutan

$$L = 750 \text{ cm}$$

$$f_{ijin} = \frac{L}{360} = \frac{750}{360} = 2,083 \text{ cm}$$

$$f^0 = \frac{5}{384} \times \frac{(q_D + q_L)L^4}{E \cdot I_x} = \frac{5}{384} \times \frac{13,69 \times 750^4}{2000000 \times 18500}$$

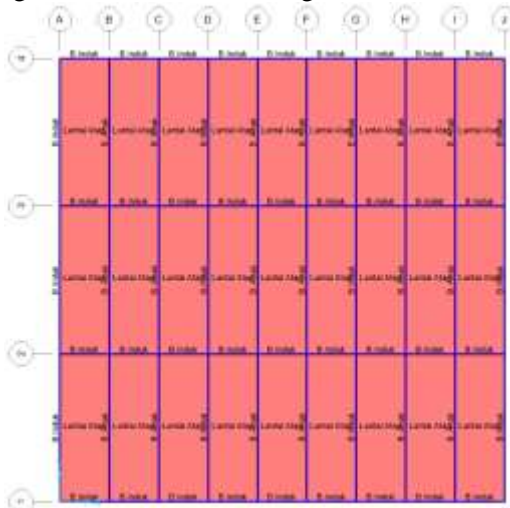
$$= 1,525 \text{ cm}$$

$$f^0 < f_{ijin} \rightarrow 1,525 \text{ cm} < 2,083 \text{ cm} \rightarrow OK !$$

## 4.2 Permodelan Struktur

### 4.2.1 Penjelasan umum

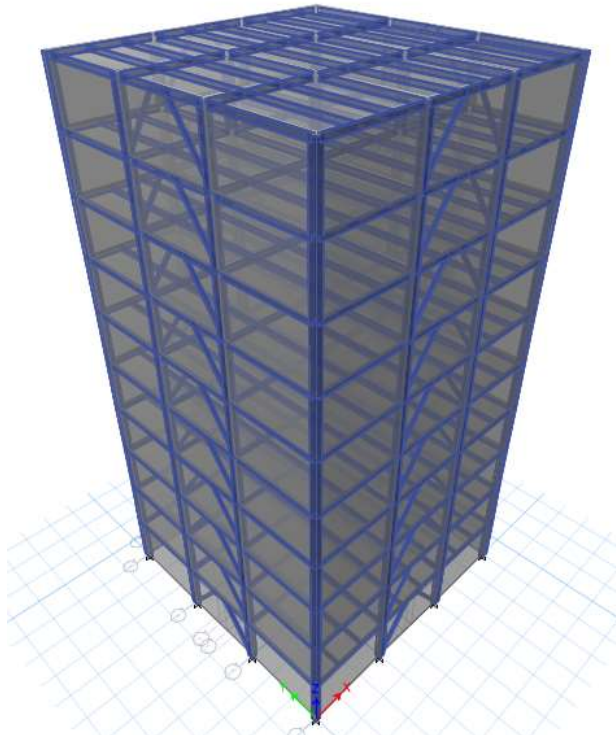
Pemodelan struktur atas pada tugas akhir ini menggunakan sistem *eccentrically braced frames* (EBF). Sistem struktur EBF ini berfungsi sebagai penahan gaya lateral yang terjadi akibat beban gempa. Struktur yang akan direncanakan merupakan bangunan apartemen 10 lantai dengan total tinggi struktur 41 meter. Denah rencana struktur dalam permodelan tugas akhir ini adalah sebagai berikut:



Gambar IV.7 Denah Struktur Gedung Permodelan

Pada **Gambar 4.7** arah vertikal mengikuti arah sumbu Y global (sumbu model) dan arah horizontal mengikuti arah sumbu X. Sistem rangka baja yang direncanakan pada tugas akhir ini menggunakan *Inverted-V brace* EBF. Analisis yang dilakukan pada struktur gedung permodelan ini tanpa menggunakan dilatasi. Bentuk struktur yang tidak simetris akan memungkinkan struktur tersebut memiliki respon yang tidak beraturan. Ketidakberaturan respon tentunya dapat menimbulkan torsi pada elemen struktur. Hal tersebut bisa diatasi dengan mengatur penempatan bresing sebagai penahan beban lateral.

Permodelan struktur apartemen dilakukan menggunakan program bantu ETABS 2016. Pada program ETABS 2016, struktur apartemen akan dimodelkan sesuai dengan kondisi sebenarnya, sehingga dapat dijadikan acuan dalam perencanaan agar memenuhi persyaratan yang berada di SNI-1729-2015 dan SNI-1726-2012. Berikut adalah gambar permodelan yang dilakukan dalam program ETABS 2016:



Gambar IV.8 Pemodelan Struktur Gedung

#### 4.2.2 Pembebatan struktur utama

Pembebatan struktur didasarkan pada acuan Peraturan Pembebatan Indonesia Untuk Gedung (PPIUG 1983) dengan penjelasan sebagai berikut:

##### 1. Beban mati (*Dead Load*)

Beban mati adalah seluruh bagian bangunan yang bersifat tetap dan tidak terpisahkan dari bangunan selama masa layannya. Beban mati yang dihitung pada struktur ini antara lain:

- Berat beton bertulang yang memiliki berat jenis 2400 kg/m<sup>3</sup>
- Berat pelat bondek 10,1 kg/ m<sup>2</sup>
- Berat profil baja yang terpasang sebagai rangka baja berupa balok, kolom, tangga, bressing dll memiliki berat jenis 7850 kg/m<sup>3</sup>
- Berat dinding bata ringan sebesar 100 kg/ m<sup>2</sup>
- Berat spesi sebesar 21 kg/ m<sup>2</sup> untuk setiap ketebalan 1 cm
- Berat keramik sebesar 24 kg/ m<sup>2</sup> untuk setiap ketebalan 1cm
- Berat *ducting* dan *plumbing* sebesar 10 kg/m<sup>2</sup>
- Berat plafond dan penggantung sebesar 18 kg/ m<sup>2</sup>

Dengan rincian pembebatan sebagai berikut :

##### a. Pelat Atap

Berat Pelat Bondek	= 10,1 kg/m <sup>2</sup>
Berat Beton 0,09 x 2400	= 216 kg/m <sup>2</sup>
Beban Aspal,t = 2cm = 2 x 14	= 28 kg/m <sup>2</sup>
Beban rangka dan Plafon = (11+7)	= 18 kg/m <sup>2</sup>
Ducting Plumbing	<u>= 10 kg/m<sup>2</sup></u>
	= 282,1 kg/m <sup>2</sup>

##### b. Pelat Lantai Gedung

Berat Pelat Bondek	= 10,1 kg/m <sup>2</sup>
Berat Beton 0,09 x 2400	= 216 kg/m <sup>2</sup>
Beban Spesi,t = 2 cm = 2 x 21	= 42 kg/m <sup>2</sup>
Beban Keramik,t = 1 cm = 1 x 24	= 24 kg/m <sup>2</sup>
Beban Plafon dan Penggantung= (11+7) =	18 kg/m <sup>2</sup>
Ducting Plumbing	<u>= 10 kg/m<sup>2</sup></u>
	= 320,1 kg/m <sup>2</sup>

## 2. Beban hidup (*Live Load*)

Beban hidup adalah beban yang bertumpu pada bangunan yang memiliki kemungkinan untuk lepas dari bangunan tersebut. Beban hidup sudah termasuk perlengkapan ruangan dan dinding pemisah ringan (dinding partisi) yang beratnya tidak melebihi  $100 \text{ kg/m}^2$ . Beban hidup yang bekerja pada perkantoran dan *mall* ini adalah sebagai berikut:

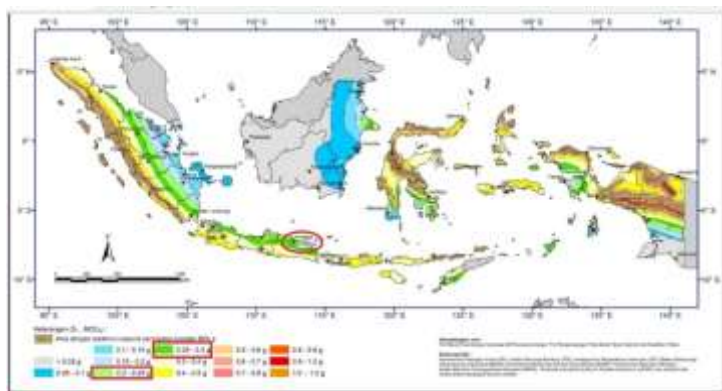
- Lantai atap  $= 100 \text{ kg/m}^2$
- Lantai apartemen  $= 200 \text{ kg/m}^2$

## 3. Beban gempa (*Earthquake Load*)

Berdasarkan wilayah gempa, kota Surabaya termasuk dalam wilayah gempa zona tinggi. Jenis tanah termasuk kedalam kelas SD. Perhitungan beban gempa pada bangunan ini dilakukan dengan menganalisa beban gempa dinamik dan parameter gempa yang digunakan diambil dari desain Spectra Indonesia.

### 4.2.3 Pembebatan gempa dinamis

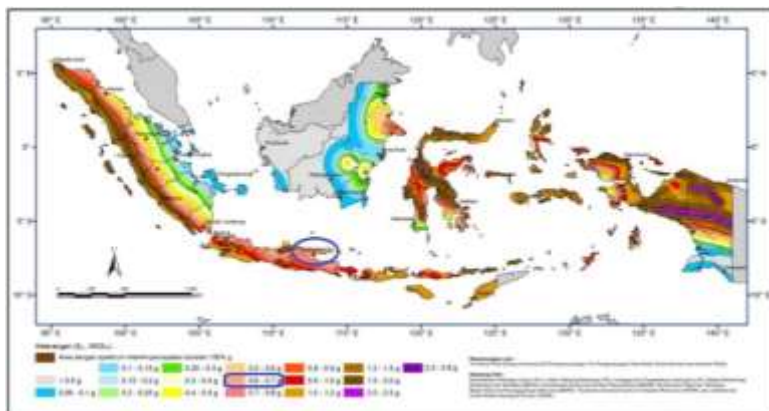
Perhitungan beban gempa pada struktur ini ditinjau dengan pengaruh gempa dinamik sesuai SNI 03-1726-2012. Analisis dilakukan berdasarkan analisis respons dinamik dengan parameter-parameter yang sudah ditentukan.



Gambar IV.9 S<sub>1</sub>, Gempa maksimum yang dipertimbangkan risiko-tertarget(MCER),kelas situs SB

Sumber: SNI 1726:2012

Didapat S<sub>1</sub>=0,25



Gambar IV.10 S<sub>s</sub>, Gempa maksimum yang dipertimbangkan risiko-tertarget(MCER),kelas situs SB

Sumber: SNI 1726:2012

Didapat S<sub>s</sub>=0,6

#### **4.2.3.1 Arah pembebanan**

Arah pembebanan gempa dalam kenyataannya adalah bebas, sehingga pada umumnya selalu terdapat 2 komponen beban gempa dalam arah masing-masing sumbu koordinat ortogonal yang bekerja bersamaan pada struktur gedung. Kondisi ini disimulasikan dengan meninjau pembebanan gempa dalam suatu arah sumbu koordinat yang ditinjau 100%, yang bekerja bersamaan dengan pembebanan gempa dalam arah tegak lurus dengan peninjauan sebesar 30%.

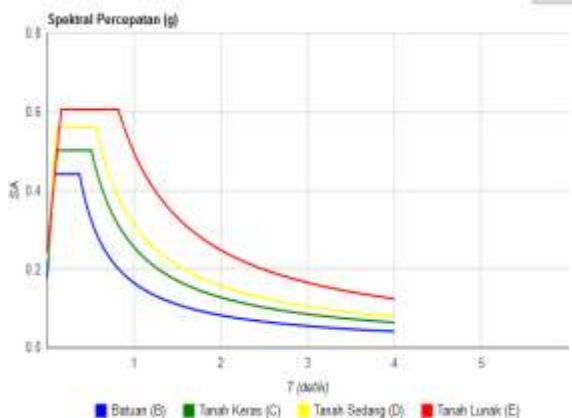
#### **4.2.3.2 Parameter respon spektrum rencana**

Dalam perencanaan bangunan tahan gempa, ada beberapa metode perhitungan pengaruh gempa, satu di antaranya adalah *response spectrum*. Gempa merupakan getaran yang memiliki parameter-parameter sebuah getaran, seperti frekuensi, periode, spektrum dan parameter lainnya. Dalam hal ini informasi *response spectrum* merupakan fungsi spektra percepatan gempa (S) terhadap rentang waktu selama periode gempa berlangsung (T). Perhitungan gaya gempa menggunakan analisis dinamik sesuai persyaratan SNI 03-1726-2012. Berikut adalah nilai parameter respon spektrum untuk wilayah Surabaya dengan kelas situs E.

Tabel IV.1 Parameter Respon Gempa Wilayah Surabaya untuk Kelas Situs E (Tanah Lunak)

PGA (g)	0.326
SS (g)	0.663
S1 (g)	0.248
CRS	0.992
CR1	0.929
FPGA	1.123
FA	1.373
FV	3.009
PSA (g)	0.366
SMS (g)	0.911
SM1 (g)	0.746
SDS (g)	0.607
SD1 (g)	0.497

T0 (detik)	0.164
TS (detik)	0.819



Gambar IV.11 Grafik Spektral Percepatan Gempa Wilayah Surabaya

#### 4.2.3.3 Faktor reduksi gempa (R)

Pada tugas akhir ini, gedung perkantoran direncanakan menggunakan sistem rangka baja dengan sistem pengaku eksentris. Berdasarkan tabel 4.2 berikut (tabel 9 SNI 03-1726-2012) diperoleh nilai-nilai batasan yaitu:

Tabel IV.2 Faktor  $R^a$ ,  $C_d^b$ , dan  $\Omega_0$  untuk sistem penahan gaya gempa

Sistem Rangka Bangunan	$R^a$	$\Omega_0$	$C_d^b$	B	C	D	E	F
Rangka baja dengan bresing eksentris	8	2	4	TB	TB	48	48	30

#### 4.2.3.4 Faktor keutamaan (I)

Untuk berbagai kategori risiko struktur bangunan gedung dan non gedung, pengaruh gempa rencan harus dikalikan dengan suatu faktor kemanan  $I_c$ . Gedung ini direncanakan sebagai bangunan perkantoran. Pada tabel 1 SNI 03-1726-2012, bangunan ini termasuk kategori II sehingga didapat nilai  $I = 1$ .

Dalam input baban gempa dinamis dalam ETABS 2015 dengan menggunakan fungsi *respon spectrum* yang dapat dilihat pada gambar 4.13 dan input load cases pembebahan gempa dengan meninjau faktor reduksi gempa, faktor keutamaan, dan arah pembebahan yang dikalikan dengan faktor skala. Faktor skala di dapat dari rumus

- $100\% \times 9,81 \times \frac{I}{R}$
- $30\% \times 9,81 \times \frac{I}{R}$

Tabel IV.3 Faktor keutamaan gempa

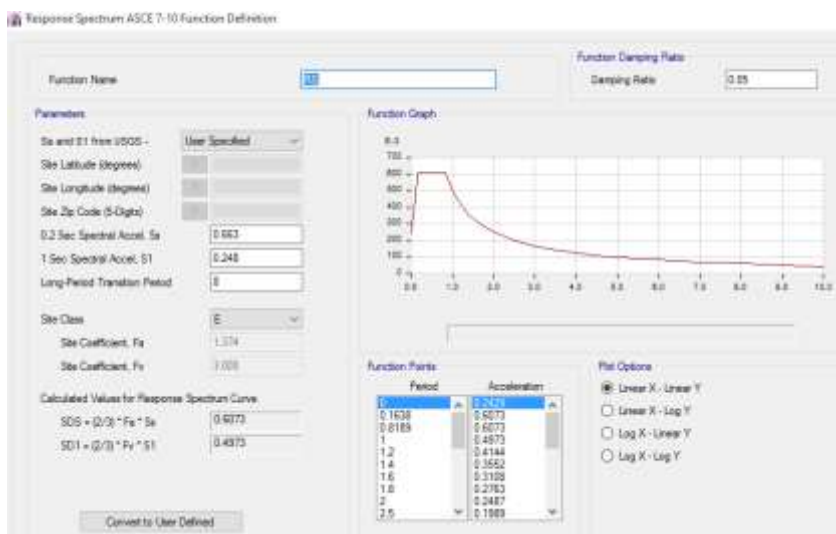
Kategori risiko	Faktor keutamaan gempa, $I_e$
I atau II	1,0
III	1,25
IV	1,50

Didapat nilai  $I_e = 1,00$  untuk gedung apartemen yang tergolong kategori reiko I

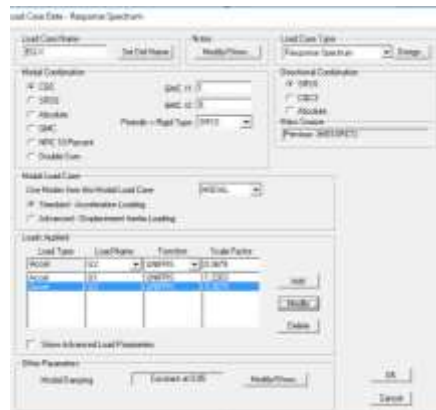
Tabel IV.4 Faktor R , C<sub>d</sub> , dan Ω<sub>0</sub> untuk sistem penahan gaya gempa

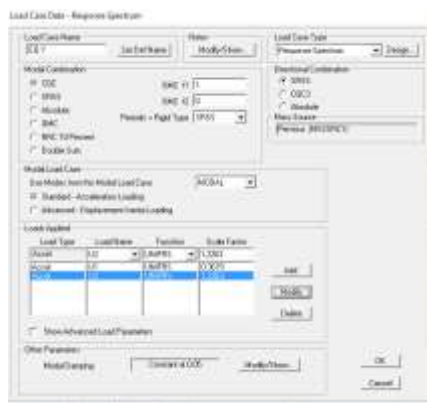
Sifat penahanan gaya maksimal	Konstanta frekuensi respon, $R^2$	Faktor pembenaran amplitudo, $\Omega_C^2$	Faktor pembenaran periodik, $C_A^2$	Bilangan sistem struktural dan faktor pengurangan, $k_0$ , dan $\beta$				
				B	C	D	E	F
18. Dinding gempa beton batu pasir direduksi	2	2%	1%	78	71	71	71	71
11. Dinding gempa batu batu pasir basah	7%	2%	1%	78	71	71	71	71
12. Dinding gempa batu batu pasir basah	7%	2%	1%	78	71	71	71	71
13. Dinding gempa batu batu pasir basah (AAC) berlantai	2	2%	2%	80	71	71	71	71
14. Dinding gempa batu batu pasir (AAC) tanpa lantai	7%	2%	1%	78	71	71	71	71
15. Dinding rangka ringan (baja) dengan panel sifat rangka kayu yang dilakukan untuk tetapan panjang atau tetapan lamanya	8%	3	4	78	79	20	28	
16. Dinding rangka ringan (baja) tetapi dengan panel sifat rangka kayu yang dilakukan untuk tetapan panjang atau tetapan lamanya	8%	3	4	78	79	20	28	
17. Dinding rangka ringan dengan panel gesek rintik sifat rangka lamanya	2	2%	2	78	79	79	71	71
18. Sifat rangka ringan dengan panel gesek rintik sifat rangka lamanya	4	2	3%	78	79	20	28	
<b>B. Sifat rangka kerangka</b>								
1. Rangka baja dengan bressing eksentris	8	2	4	78	79	80	80	80
2. Rangka baja dengan bressing konstan atau tetap	8	2	3	78	79	80	80	80
3. Rangka baja dengan bressing konstan atau tetap	3%	3	3%	78	79	79	79	79
4. Dinding gempa beton bertulang khusus	8	2%	5	78	79	80	80	80
5. Dinding gempa beton bertulang AAC	9	2%	6%	78	79	71	71	71
6. Dinding gempa beton prakonstruksi	2	2%	2	78	71	71	71	71
7. Dinding gempa beton prakonstruksi	7%	2%	1%	78	71	71	71	71
8. Dinding gempa prakonstruksi AAC	5	2%	4%	78	79	72	72	72
9. Dinding gempa prakonstruksi AAC	4	2%	4	78	71	71	71	71
10. Rangka baja dan beton komposit dengan bressing eksentris	8	2	4	78	79	80	80	80
11. Rangka baja dan beton komposit dengan bressing eksentris	5	2	4%	78	79	80	80	80
12. Rangka baja dan beton komposit dengan bressing eksentris	5	2	3	78	79	71	71	71

Didapat nilai  $R = 8$  untuk struktur rangka baja dengan bressing eksentris



Gambar IV.12 Grafik Respon Spektrum Situs E Surabaya





Gambar IV.14 Pembebatan Gempa Dinamis Arah Y

#### 4.2.4 Kombinasi pembebatan

Setelah memperhitungkan beban akibat gempa dan gravitasi, maka seluruh beban tersebut dihitung dengan faktor kombinasi yang mengacu pada SNI 03-1726-2012 sebagai berikut::

- 1,4 DL
- 1,2 DL + 1,6 LL + 0,5 (L<sub>r</sub> atau R)
- 1,2 DL + 1,6 (L<sub>r</sub> atau R) + (L atau 0,5W)
- 1,2 D + 1,0W + L + 0,5 (L<sub>r</sub> atau R)
- 1,2 D + 1,0 E + 1/0,5 LL
- 0,9 D + 1,0 W
- 0,9 D + 1,0 E

Keterangan :

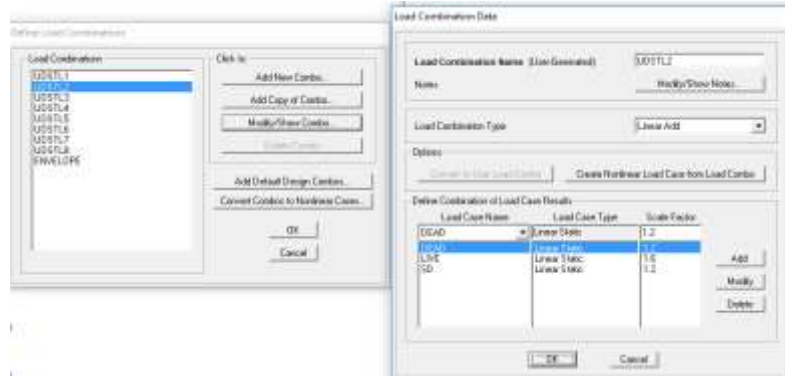
DL : Beban mati

LL : Beban hidup

E : Beban gempa yang dinyatakan dalam 2 arah

Perencanaan struktur yang akan dianalisa pada bagian elemen struktur baja maupun komposit tidak diperkenankan mengalami plastis saat terjadi gempa kuat didasarkan pada nilai gaya maksimum yang terjadi pada elemen-elemen struktur tersebut setelah melalui analisis pembebatan gempa dengan koefisien beban gempa sebesar 1 dan beban hidup dapat direduksi menjadi 0,5 kali.

Dalam input kombinasi pembebanan dalam ETABS dengan menggunakan *define load combination* dapat dilihat pada Gambar 4.15 berikut ini.



Gambar IV.15 Kombinasi Pembebanan pada ETABS

#### 4.2.5 Kontrol desain

Setelah dilakukan pemodelan struktur 3 dimensi dengan program bantu ETABS, hasil analisis struktur harus dikontrol terhadap suatu batasan-batasan tertentu sesuai dengan peraturan SNI 03-1726-2012 untuk menentukan kelayakan sistem struktur tersebut. Adapun hal-hal yang harus dikontrol adalah sebagai berikut :

- Kontrol Permodelan Struktur
- Kontrol partisipasi massa.
- Kontrol periode getar struktur.
- Kontrol nilai akhir respon spektrum.
- Kontrol batas simpangan (*drift*)

Dari analisis tersebut juga diambil gaya dalam yang terjadi pada masing-masing elemen struktur untuk dilakukan pengecekan kapasitas penampang.

##### 4.2.5.1 Kontrol berat struktur

Karena besarnya beban gempa sangat dipengaruhi oleh berat dari struktur bangunan, maka perlu diketahui berat total bangunan untuk menentukan gaya geser statik. Berat dari bangunan berasal dari beban

mati yang terdiri dari berat sendiri material-material bangunan dan elemen-elemen struktur, serta beban hidup yang diakibatkan oleh hunian atau penggunaan bangunan.

Pada perencanaan tugas akhir ini akan dilakukan perbandingan perhitungan berat struktur yang diambil dari analisis menggunakan program ETABS 2016 untuk kombinasi 1D +1L dan perhitungan berat secara manual. Hasil perbandingan tersebut tidak boleh melebihi batasan 5%.

Hasil perhitungan beban mati dan beban hidup (1D+1L) dari permodelan ETABS 2016 dan secara manual tersaji pada tabel berikut.

Tiap Tabel IV.5 Perhitungan Berat Struktur Tiap Lantai Lantai

Lantai ke-	Beban Mati (kN)	Beban Hidup (kN)	Beban Mati Tambahan (kN)	Berat (kN)
1	813.99	1012.5	1620.51	3446.99
2	813.99	1012.5	1620.51	3446.99
3	813.99	1012.5	1620.51	3446.99
4	813.99	1012.5	1620.51	3446.99
5	813.99	1012.5	1620.51	3446.99
6	813.99	1012.5	1620.51	3446.99
7	813.99	1012.5	1620.51	3446.99
8	813.99	1012.5	1620.51	3446.99
9	813.99	1012.5	1620.51	3446.99
10	813.99	506	1428.13	2748.37
Total				33771.31

Tabel IV.6 Rekapitulasi Berat Struktur Berdasarkan Program Bantu Analisa Struktur

<b>1D + 1L</b>	TABLE: Base Reactions					
	<b>FX</b> <b>kN</b>	<b>FY</b> <b>kN</b>	<b>FZ</b> <b>kN</b>	<b>Selisih</b> <b>(kN)</b>	<b>Persentae (%)</b>	<b>Kontrol</b>
Short	0	0	33591.068	180.25	0.534	OK
Intermediate	0	0	33607.9553	163.36	0.484	OK
Long	0	0	33573.8527	197.46	0.585	OK

Berdasarkan tabel 4.6, maka dapat diketahui bahwa ketiga model struktur EBF yang dimodelkan dengan bantuan program bantu memiliki selisih berat dari 5% dengan berat hasil perhitungan manual, sehingga dapat dikatakan bahwa analisa permodelan tersebut telah sesuai dengan kondisi aslinya.

#### 4.2.5.2 Kontrol partisipasi massa

Besaran massa elemen struktur (mass source) adalah massa struktur pada ETABS yang digunakan pada perhitungan massa untuk analisa modal. Dalam peninjauan pembebanan gempa massa total struktur terdiri dari berat sendiri struktur dan beban hidup yang dikalikan dengan faktor reduksi 0,5.

Perhitungan respon dinamik struktur harus sedemikian agar partisipasi massa terkombinasi paling sedikit sebesar 90% dari massa asli dari masing-masing arah. Karenanya digunakan bantuan program ETABS 2015 untuk mengeluarkan partisipasi massa seperti Tabel 4.7 berikut ini:

Tabel IV.7 Rasio Partisipasi Massa

TABLE: Modal Participating Mass Ratios

Mode	Short Link		Intermediate Link		Long Link	
	Sum UX	Sum UY	Sum UX	Sum UY	Sum UX	Sum UY
1	0.8209	0	0.7997	0	0.8025	0
2	0.8209	0.8209	0.7997	0.7997	0.8025	0.8025
3	0.8209	0.8209	0.7997	0.7997	0.8025	0.8025
4	0.9422	0.8209	0.9073	0.7997	0.9035	0.8025
5	0.9422	0.9422	0.9073	0.9073	0.9035	0.9035
6	0.9422	0.9422	0.9073	0.9073	0.9035	0.9035
7	0.9743	0.9422	0.945	0.9073	0.9418	0.9035
8	0.9743	0.9743	0.945	0.945	0.9418	0.9418
9	0.9743	0.9743	0.945	0.945	0.9418	0.9418
10	0.9874	0.9743	0.9654	0.945	0.963	0.9418
11	0.9874	0.9874	0.9654	0.9654	0.963	0.963
12	0.9937	0.9874	0.9654	0.9654	0.963	0.963

Dari tabel di atas didapat partisipasi massa untuk arah X terjadi pada modal ke 4 dan partisipasi massa arah Y sebesar terjadi pada modal ke 5. Maka dapat disimpulkan analisis struktur yang sudah dilakukan

telah memenuhi syarat yang terdapat pada SNI-03-1726-2012 pasal 7.9.1 yaitu partisipasi massa ragam terkombinasi paling sedikit sebesar 90%.

#### 4.2.5.2 Kontrol waktu getar alami fundamental

Perkiraan periode alami fundamental ( $T_a$ ) dalam detik, harus ditentukan dengan persamaan berikut:

$$T_a = C_t \cdot h_n^x$$

(nilai  $C_t$  dan  $x$  diambil dari tabel 15 SNI 03-1726-2012 dan  $h_n$  adalah tinggi total gedung)

Tabel IV.8 Koefisien untuk batas atas pada periода yang dihitung

Parameter percepatan respons spektral desain pada 1 detik, $S_{D1}$	Koefisien $C_t$
$\geq 0,4$	1,4
0,3	1,4
0,2	1,5
0,15	1,6
$\leq 0,1$	1,7

Tabel IV.9 Nilai parameter perioda pendekatan  $C_t$  dan  $x$

Tipe struktur	$C_t$	$x$
Sistem rangka pemikul momen di mana rangka memikul 100 persen gaya gempa yang disyaratkan dan tidak dilingkupi atau dihubungkan dengan komponen yang lebih kaku dan akan mencegah rangka dari defeksji jika dikenai gaya gempa.		
Rangka baja pemikul momen	0,0724 <sup>a</sup>	0,8
Rangka beton pemikul momen	0,0466 <sup>a</sup>	0,9
Rangka baja dengan bresing eksentris	0,0731 <sup>a</sup>	0,75
Rangka baja dengan bresing terikang terhadap teukik	0,0731 <sup>a</sup>	0,75
Se semua sistem struktur lainnya	0,0488 <sup>a</sup>	0,75

$$C_t = 0,0731 \quad x = 0,75 \quad h_n = 45 \text{ m}$$

$$T_a = 0,0731 \cdot 45^{0,75} = 1,27 \text{ detik}$$

Dengan nilai  $S_{D1} = 0,497$ , maka  $C_u = 1,4$

Sehingga periode struktur yang diijinkan adalah :

$$T = T_a \cdot C_u = 1,27 \cdot 1,4 = 1,7781 \text{ detik.}$$

Tabel IV.10 Perioda dan Frekuensi Struktur

Case	Mode	Short Link		Intermediate Link		Long Link	
		Period	Frequency	Period	Frequency	Period	Frequency
		sec	cyc/sec	sec	cyc/sec	sec	cyc/sec
Modal	1	1.216	0.822	1.342	0.745	1.505	0.664
Modal	2	1.216	0.822	1.342	0.745	1.505	0.664
Modal	3	0.844	1.184	0.978	1.023	1.142	0.876
Modal	4	0.404	2.477	0.44	2.274	0.49	2.041
Modal	5	0.404	2.477	0.44	2.274	0.49	2.041
Modal	6	0.282	3.545	0.324	3.084	0.376	2.661
Modal	7	0.222	4.509	0.247	4.045	0.276	3.622
Modal	8	0.222	4.509	0.247	4.045	0.276	3.622
Modal	9	0.156	6.391	0.185	5.415	0.215	4.65
Modal	10	0.152	6.578	0.168	5.956	0.185	5.413
Modal	11	0.152	6.578	0.168	5.956	0.185	5.413
Modal	12	0.113	8.823	0.128	7.841	0.146	6.845

Dari Tabel 4.10 di atas didapat  $T_c = 1,216$  detik untuk model struktur EBF-S,  $T_c = 1,3142$  detik untuk model struktur EBF-I, dan  $T_c = 1,505$  detik untuk model struktur EBF-L. Berdasarkan kontrol waktu getar alami fundamental, nilai  $T_c$  masih lebih kecil dari  $C_u \cdot T$ . Jadi analisis struktur masih memenuhi syarat SNI 03-1726-2012 Pasal 7.8.2.

#### 4.2.5.3 Kontrol nilai akhir respon spektrum

Jika kombinasi respons untuk gaya geser dasar ragam dinamik ( $V_t$ ) lebih kecil 85% dari gaya geser dasar statik ( $V$ ) menggunakan prosedur gaya lateral ekivalen, maka gaya gempa harus dikalikan dengan  $0,85V/V_t$  (SNI 1726-2012 Pasal 7.9.4.1)

Rumus geser statik adalah:

$$V = C_s \cdot W \quad (\text{SNI 03-1726-2012 Pasal 7.8.1})$$

Mencari Perioda  $T_a$  dan  $T$ :

$$T_a = 0,0731 \cdot 45^{0,75} = 1,27 \text{ detik}$$

Karena  $S_{DI} = 0,497$ , maka  $C_u = 1,4$   
 $T = Cu \cdot Ta = 1,4 \cdot 1,27 = 1,778$  detik  
Mencari nilai  $C_s$

$$C_s = \frac{S_{DS}}{R/I} = \frac{0,607}{8/1} = 0,759$$

Nilai tidak boleh lebih dari:

$$C_{s\ max} = \frac{S_{D1}}{T \cdot \left(\frac{R}{I}\right)} = \frac{0,497}{1,778 \left(\frac{8}{1}\right)} = 0,035$$

Dan tidak boleh kurang dari:

$$\begin{aligned} C_{s\ min} &= 0,044 \cdot S_{DS} \cdot I_e > 0,01 \\ &= 0,044 \cdot 0,607 \cdot 1 > 0,01 \\ &= 0,027 > 0,01 \rightarrow (OK) \end{aligned}$$

Maka:  $C_{s\ min} < C_s > C_{s\ max}$   
 $0,027 < 0,076 > 0,035$

Maka yang dipakai  $C_{s\ max} = 0,035$

Tabel IV.11 Kontrol Nilai Gaya Geser Dasar Ragam Dinamik Terhadap Gaya Geser Dasar Statik

TABLE: Base Reactions

Model Struktur	V dinamik		Berat	V statik	85% Vstatik	Kontrol $Vd \geq 85\% Vs$
	kN		kN	kN	kN	
EBF-S	Arah X	2553.678	33591.07	1173.64	997.5951787	OK
	Arah Y	2553.532				OK
EBF-I	Arah X	2483.0545	33607.96	1174.23	998.0967016	OK
	Arah Y	2483.0544				OK
EBF-L	Arah X	2487.8103	33573.85	1173.04	997.0839148	OK
	Arah Y	2487.8103				OK

Dari perhitungan diatas diperoleh bahwa gaya geser dasar ragam (Vt) lebih besar dari gaya geser dasar (V), sehingga analisis selanjutnya menggunakan gaya gempa respon spektrum.

#### 4.2.5.3 Kontrol nilai eksentrisitas

Antara pusat massa dan pusat rotasi lantai tingkat harus ditinjau suatu eksentrisitas rencana ***ed*** sesuai dengan ketentuan SNI 1726:2012 pasal 7.8.4.2 dengan jarak sama dengan 5% dimensi struktur tegak lurus terhadap arah gaya yang diterapkan.

- $e_x = e_{0x} + (0.05 Bx)$
- $e_y = e_{0y} + (0.05 By)$

dimana:

- $e_{0x}$  dan  $e_{0y}$  adalah eksentrisitas bawaan gedung
- 0.05 Bx dan 0.05 By adalah eksentrisitas tak terduga
- Bx adalah panjang gedung arah x
- By adalah panjang gedung arah y

Berdasarkan hasil dari ETABS maka didapatkan eksentrisitas pada Tabel 4.12

Tabel 4.12 Perhitungan Eksentrisitas Aktual terhadap Pusat Massa dan Pusat Rotasi

TABLE: Centers of Mass and Rigidity												
Story	Diaphragm	XCCM	YCCM	XCR	YCR	ex	ey	0.05 Bx	0.05 By	Kontrol	x	y
		m	m	m	m	m	m	m	m	x	OK	OK
Story10	D1	11.25	11.25	11.25	11.25	0	0	1.125	1.125	OK	OK	OK
Story9	D1	11.25	11.25	11.25	11.25	0	0	1.125	1.125	OK	OK	OK
Story8	D1	11.25	11.25	11.25	11.25	0	0	1.125	1.125	OK	OK	OK
Story7	D1	11.25	11.25	11.25	11.25	0	0	1.125	1.125	OK	OK	OK
Story6	D1	11.25	11.25	11.25	11.25	0	0	1.125	1.125	OK	OK	OK
Story5	D1	11.25	11.25	11.25	11.25	0	0	1.125	1.125	OK	OK	OK
Story4	D1	11.25	11.25	11.25	11.25	0	0	1.125	1.125	OK	OK	OK
Story3	D1	11.25	11.25	11.25	11.25	0	0	1.125	1.125	OK	OK	OK
Story2	D1	11.25	11.25	11.25	11.25	0	0	1.125	1.125	OK	OK	OK
Story1	D1	11.25	11.25	11.25	11.25	0	0	1.125	1.125	OK	OK	OK

Keterangan :

- Xcm : Koordinat Pusat Massa arah X
- Ycm : Koordinat Pusat Massa arah Y
- Xcr : Koordinat Pusat Kekakuan arah X
- Ycr : Koordinat Pusat Kekakuan arah Y
- ex : Eksentrisitas aktual arah X
- ey : Eksentrisitas aktual arah Y

Dari hasil perhitungan dan kontrol eksentrisitas aktual akibat eksentrisitas tak terduga berdasarkan SNI 1726:2012 diatas, didapatkan bahwa seluruh eksentrisitas telah memenuhi syarat  $exy > 0.05 Bxy$ . Maka tidak perlu ada pergeseran pusat massa baru.

#### 4.2.5.4 Kontrol simpangan antar lantai (*drift*)

Perhitungan simpangan antar lantai ( $\Delta$ ) harus dihitung sebagai perbedaan defleksi pada pusat massa di tingkat teratas dan terbawah yang ditinjau. Apabila pusat massa tidak terletak segaris dalam arah vertikal, diijinkan untuk menghitung defleksi didasar tingkat berdasarkan proyeksi vertikal dari pusat massa tingkat diatasnya.

$\Delta_s$  dihitung sebagai selisih terbesar dari defleksi titik diatas dan dibawah tingkat yang letaknya segaris secara vertikal. Defleksi pusat massa di tingkat x ( $\delta_x$ ) ditentukan dengan persamaan berikut:

$$\delta_x = \frac{C_d \delta_{xe}}{I_e} \leq \Delta_a$$

Dimana:

$\delta_{xe}$  = defleksi pada lantai ke-x yang ditentukan dengan analisis elastis

$C_d$  = faktor pembesaran defleksi (4)

$I_e$  = faktor keutamaan gedung (1,0)

$\Delta_a$  =  $0,020h_{sx}$

$\rho$  = Faktor redundansi (1,0)

Tabel IV.13 Kontrol Simpangan antar lantai model EBF-S akibat gempa X

Story	hi	$\delta_{xe}$	$\delta_x$	$\Delta$	$\Delta_a$	$\Delta a/p$	$\Delta \leq \Delta a/p$
		(mm)	(mm)	(mm)	(mm)	(mm)	(mm)
Story10	4500	56.68	2.90	11.60	90	90	OK
Story9	4500	53.78	4.00	16.00	90	90	OK
Story8	4500	49.78	4.97	19.88	90	90	OK
Story7	4500	44.81	5.81	23.22	90	90	OK
Story6	4500	39.01	6.47	25.86	90	90	OK
Story5	4500	32.54	6.93	27.72	90	90	OK
Story4	4500	25.61	7.19	28.76	90	90	OK
Story3	4500	18.42	7.22	28.87	90	90	OK
Story2	4500	11.20	6.85	27.41	90	90	OK
Story1	4500	4.35	4.35	17.40	90	90	OK
Base	0	0.00	0.00	0.00	0	0	OK

Tabel IV.14 Kontrol Simpangan antar lantai model EBF-S akibat gempa Y

Story	hi	$\delta_{xe}$	$\delta_x$	$\Delta$	$\Delta_a$	$\Delta a/p$	$\Delta \leq \Delta a/p$
		(mm)	(mm)	(mm)	(mm)	(mm)	(mm)
Story10	4500	56.68	2.90	11.60	90	90	OK
Story9	4500	53.78	4.00	16.00	90	90	OK
Story8	4500	49.78	4.97	19.88	90	90	OK
Story7	4500	44.81	5.81	23.22	90	90	OK
Story6	4500	39.01	6.47	25.86	90	90	OK
Story5	4500	32.54	6.93	27.72	90	90	OK
Story4	4500	25.61	7.19	28.76	90	90	OK
Story3	4500	18.42	7.22	28.87	90	90	OK
Story2	4500	11.20	6.85	27.41	90	90	OK
Story1	4500	4.35	4.35	17.40	90	90	OK
Base	0	0.00	0.00	0.00	0	0	OK

Tabel IV.15 Kontrol Simpangan antar lantai model EBF-I akibat gempa X

Story	hi	$\delta_{xe}$	$\delta_x$	$\Delta$	$\Delta_a$	$\Delta a/p$	$\Delta \leq \Delta a/p$
		(mm)	(mm)	(mm)	(mm)	(mm)	(mm)
Story10	4500	73.03	2.81	11.25	90	90	OK
Story9	4500	70.21	4.30	17.19	90	90	OK

Story8	4500	65.92	5.78	23.11	90	90	OK
Story7	4500	60.14	7.11	28.44	90	90	OK
Story6	4500	53.03	8.25	33.00	90	90	OK
Story5	4500	44.78	9.17	36.66	90	90	OK
Story4	4500	35.61	9.83	39.32	90	90	OK
Story3	4500	25.78	10.15	40.60	90	90	OK
Story2	4500	15.63	9.72	38.88	90	90	OK
Story1	4500	5.91	5.91	23.65	90	90	OK
Base	0	0.00	0.00	0.00	0	0	OK

Tabel IV.16 Kontrol Simpangan antar lantai model EBF-I akibat gempa Y

Story	hi	$\delta_{xe}$	$\delta_x$	$\Delta$	$\Delta_a$	$\Delta_a/\rho$	$\frac{\Delta}{\Delta_a/\rho}$
		(mm)	(mm)	(mm)	(mm)	(mm)	(mm)
Story10	4500	73.03	2.81	11.25	90	90	OK
Story9	4500	70.21	4.30	17.19	90	90	OK
Story8	4500	65.92	5.78	23.11	90	90	OK
Story7	4500	60.14	7.11	28.44	90	90	OK
Story6	4500	53.03	8.25	33.00	90	90	OK
Story5	4500	44.78	9.17	36.66	90	90	OK
Story4	4500	35.61	9.83	39.32	90	90	OK
Story3	4500	25.78	10.15	40.60	90	90	OK
Story2	4500	15.63	9.72	38.88	90	90	OK
Story1	4500	5.91	5.91	23.65	90	90	OK
Base	0	0.00	0.00	0.00	0	0	OK

Tabel IV.17 Kontrol Simpangan antar lantai model EBF-L akibat gempa X

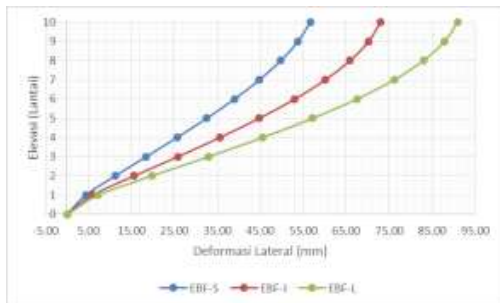
Story	hi	$\delta_{xe}$	$\delta_x$	$\Delta$	$\Delta_a$	$\Delta_a/\rho$	$\frac{\Delta}{\Delta_a/\rho}$
		(mm)	(mm)	(mm)	(mm)	(mm)	(mm)
Story10	4500	90.95	3.04	12.16	90	90	OK
Story9	4500	87.91	4.88	19.53	90	90	OK
Story8	4500	83.03	6.85	27.40	90	90	OK
Story7	4500	76.18	8.68	34.73	90	90	OK

Story6	4500	67.49	10.29	41.17	90	90	OK
Story5	4500	57.20	11.64	46.55	90	90	OK
Story4	4500	45.56	12.65	50.60	90	90	OK
Story3	4500	32.91	13.16	52.66	90	90	OK
Story2	4500	19.75	12.47	49.88	90	90	OK
Story1	4500	7.28	7.28	29.10	90	90	OK
Base	0	0.00	0.00	0.00	0	0	OK

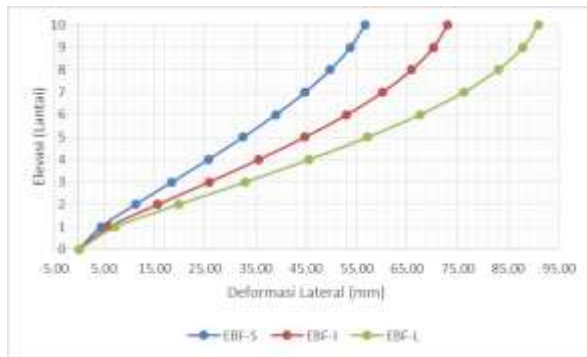
Tabel IV.18 Kontrol Simpangan antar lantai model EBF-L akibat gempa Y

Story	hi	$\delta_{xe}$	$\delta_x$	$\Delta$	$\Delta_a$	$\Delta_a/\rho$	$\frac{\Delta \leq}{\Delta a/\rho}$
		(mm)	(mm)	(mm)	(mm)	(mm)	(mm)
Story10	4500	90.95	3.04	12.16	90	90	OK
Story9	4500	87.91	4.88	19.53	90	90	OK
Story8	4500	83.03	6.85	27.40	90	90	OK
Story7	4500	76.18	8.68	34.73	90	90	OK
Story6	4500	67.49	10.29	41.17	90	90	OK
Story5	4500	57.20	11.64	46.55	90	90	OK
Story4	4500	45.56	12.65	50.60	90	90	OK
Story3	4500	32.91	13.16	52.66	90	90	OK
Story2	4500	19.75	12.47	49.88	90	90	OK
Story1	4500	7.28	7.28	29.10	90	90	OK
Base	0	0.00	0.00	0.00	0	0	OK

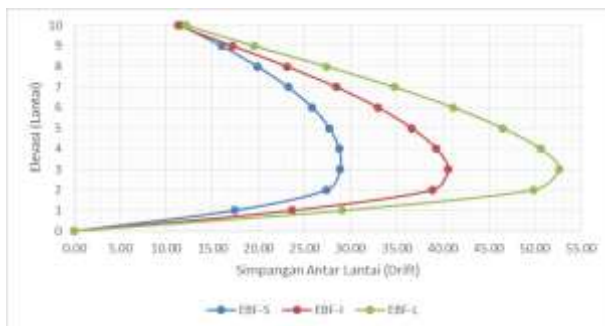
Dari hasil kontrol pada Tabel 4.14 sampai Tabel 4.17 terhadap simpangan arah X dan Y didapatkan hasil analisis memenuhi persyaratan sesuai SNI 1726-2012 Pasal 7.9.3 dan Pasal 7.12.1.



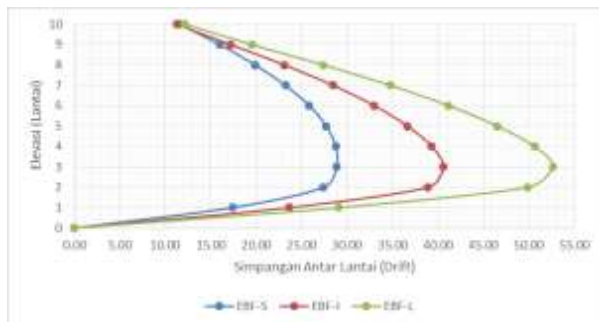
Gambar IV.16 Simpangan gedung arah sumbu X



Gambar IV.17 Simpangan gedung arah sumbu Y



Gambar IV.18 Drift gedung arah sumbu X



Gambar IV.19 Drift gedung arah sumbu Y

Dari **Gambar 4.16** sampai **Gambar 4.19** dapat diketahui bahwa simpangan lateral yang dihasilkan pada model gedung EBF-S lebih kecil dibandingkan dengan dua model yang lain, dan Model gedung EBF-L memiliki nilai simpangan deck terbesar.

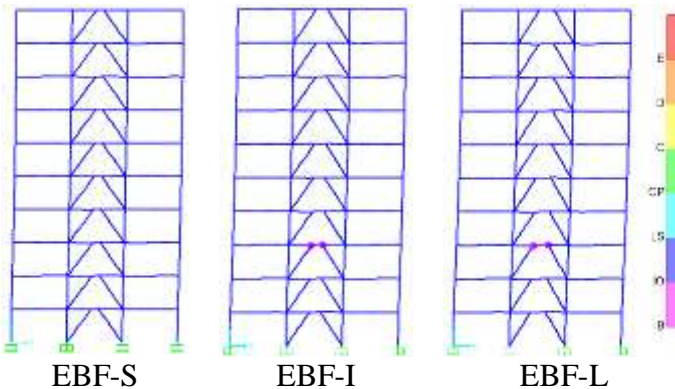
### 4.3 Analisa Pushover

Analisis beban dorong *pushover* dilakukan dengan menentukan titik kontrol pada puncak atap, yaitu pada titik 1-A (lihat denah struktur Bab 3 Modelisasi Struktur) pada masing-masing puncak bangunan ketinggian 6, 12, dan 18 lantai. Struktur di dorong dengan beban gempa statik bertahap baik arah X maupun arah Y, sampai bangunan mencapai kinerjanya dan terjadi keruntuhan bangunan. Masing-masing arah dikenakan 2 pola gempa berdasarkan FEMA 356, yang mana pola distribusi gaya lateral yang pertama adalah besarnya proporsional dengan gaya geser lantai berdasarkan analisis respon spektrum. Dan pola distribusi gaya lateral yang kedua adalah besarnya proporsional dengan massa tiap lantai ( $F_i = W_i / W_{total} \times V_b$ ).

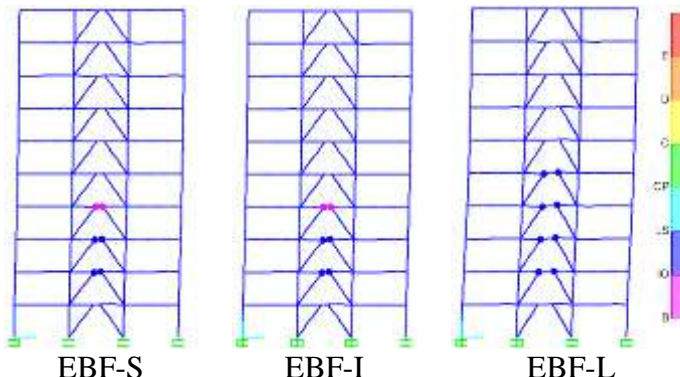
#### 4.3.1 Mekanisme Sendi Plastis

Berikut ini ditampilkan mekanisme sendi plastis yang terjadi pada ketiga model EBF-S, EBF-I, dan EBF-L. Mekanisme sendi plastis ini dapat memperlihatkan keadaan saat terjadinya leleh pertama dan keruntuhan pertama pada masing-masing model EBF. Leleh pertama

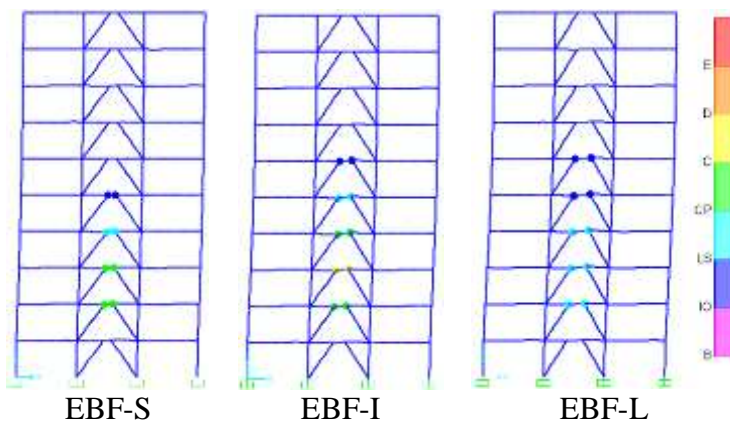
ditandai dengan timbulnya pertama kali sendi plastis warna merah muda pada elemen struktur (*link beam*), dan keruntuhan pertama terjadi ditandai dengan timbulnya pertama kali sendi plastis warna merah tua pada *link beam*. Adapun portal yang ditinjau adalah portal 1 (portal X) dan portal A (portal Y). Lihat denah struktur untuk lebih jelasnya pada Subbab 3.3.2 Kriteria Desain.



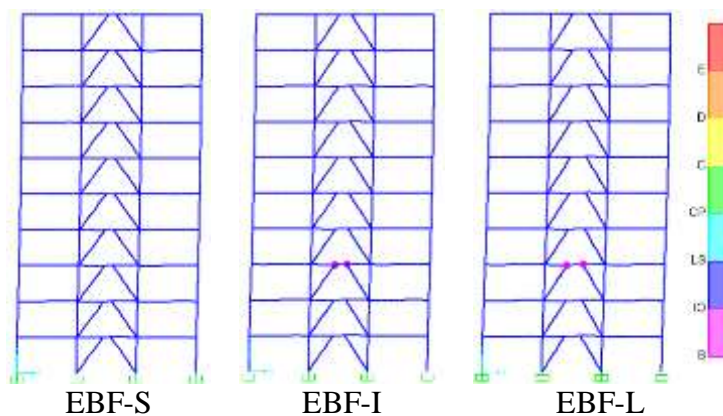
Gambar IV.20 Kondisi Sendi Plastis Pada Step – 3 Akibat Gempa X



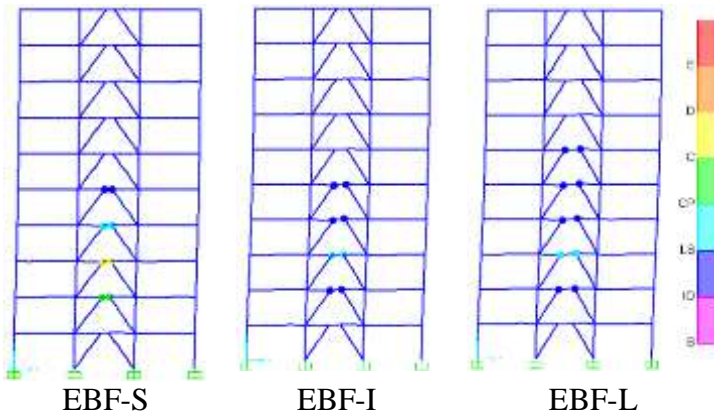
Gambar IV.21 Kondisi Sendi Plastis Pada Step – 4 Akibat Gempa X



Gambar IV.22 Kondisi Sendi Plastis Pada Step – 5 Akibat Gempa X



Gambar IV.23 Kondisi Sendi Plastis Pada Step – 3 Akibat Gempa Y



Gambar IV.24 Kondisi Sendi Plastis Pada Step – 5 Akibat Gempa Y

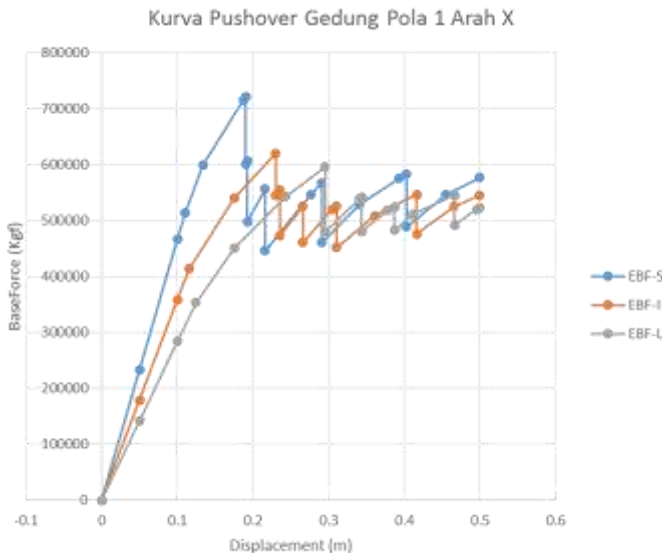
Terdapat persamaan dan perbedaan pada mekanisme timbulnya sendi plastis ketiga model EBF dengan panjang *link* 0,9 m, 1,5 m dan 2,1 meter. Persamaan ketiga model terdapat pada munculnya sendi plastis pertama atau lelehnya pertama elemen *link beam*. Leleh pertama pada elemen *link beam* kedua model terjadi pada langkah awal pushover, yaitu langkah ke-3 dan ke-4, dan elemen *link beam* yang mengalami leleh pertama yaitu terdapat pada lantai bawah (lantai 3).

Perbedaan kedua model terlihat jelas pada saat bangunan mencapai kinerjanya dan saat terjadi keruntuhan pertama pada elemen *link beam*. Perbedaan antara kedua model pada saat tercapai kinerja bangunan yaitu terletak pada jenis atau warna sendi plastis yang timbul pada *link beam* yang menandakan kerusakan yang terjadi pada elemen *link beam*. Kerusakan pada elemen *link beam* mewakili secara keseluruhan level kinerja bangunan. Karena pada Bab II Dasar Teori sebelumnya telah dijelaskan mengenai ciri khas dari EBF yang mana elemen *link beam* adalah sebagai elemen yang berfungsi menyerap energi gempa sehingga kerusakan terlebih dahulu terjadi pada elemen *link beam* ketimbang pada elemen kolom, bressing, atau balok lain. Pada **Gambar 4.24**, sendi plastis yang

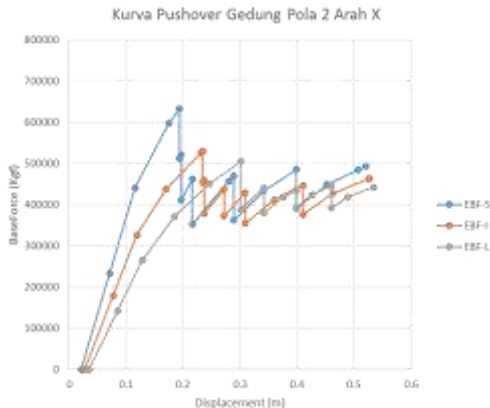
muncul pada ketiga model EBF sudah mencapai warna biru telur asin yang menandakan bahwa model struktur sudah mencapai level kinerja LS (*Life Safety*).

#### 4.3.2 Analisis Kurva *Pushover* (Gaya Geser Dasar – Perpindahan Titik Kontrol).

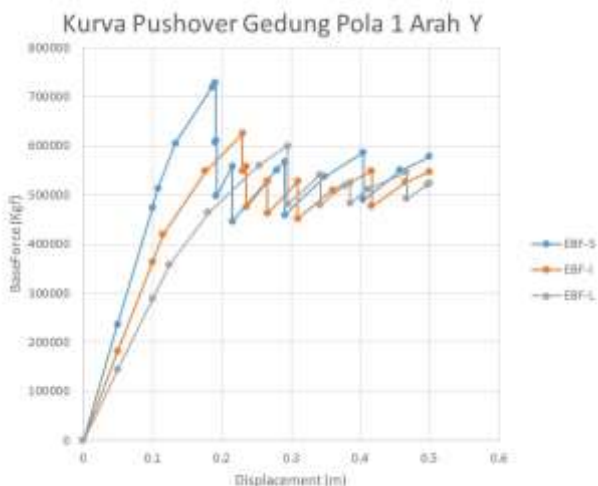
Dari analisis statik nonlinier *pushover* menggunakan program ETABS, didapatkan kurva hubungan gaya geser dasar dan perpindahan titik kontrol untuk ketiga model *link EBF* (*Short*, *Intermediate*, dan *Long*) untuk masing-masing pola beban lateral dan arah gempa yang ditinjau.



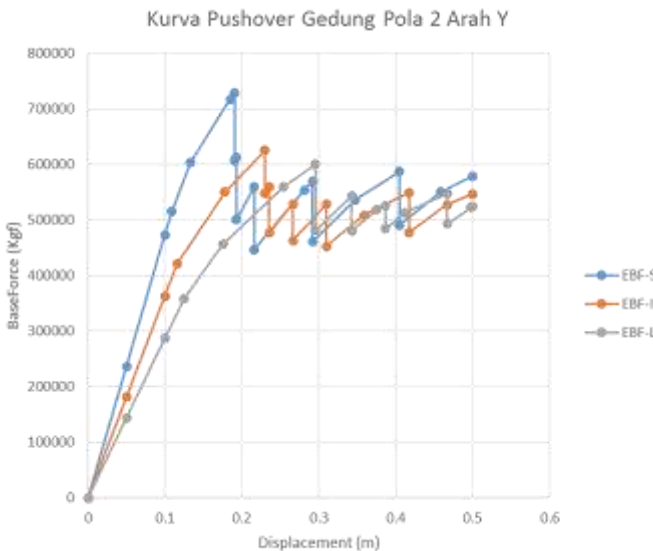
Gambar IV.25 Perbandingan Kurva Pushover EBF Tipe Short, Intermediate, dan Long Akibat Beban Pola 1 Pushover Arah X



Gambar IV.26 Perbandingan Kurva Pushover EBF Tipe Short, Intermediate, dan Long Akibat Beban Pola 2 Pushover Arah X



Gambar IV.27 Perbandingan Kurva Pushover EBF Tipe Short, Intermediate, dan Long Akibat Beban Pola 1 Pushover Arah Y



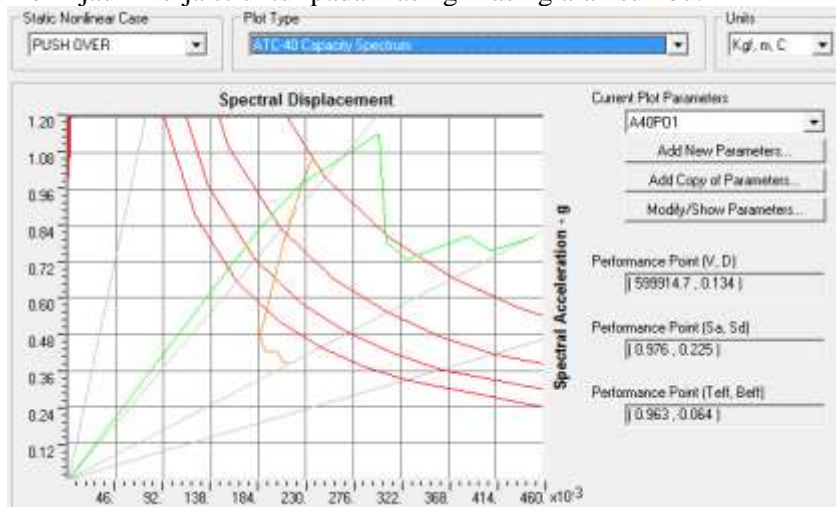
Gambar IV.28 Perbandingan Kurva Pushover EBF Tipe Short, Intermediate, dan Long Akibat Beban Pola 2 Pushover Arah Y

Grafik di atas menunjukkan bahwa terjadi perbedaan kurva *pushover* pada ketiga model *EBF* dengan panjang *link beam* 0,9 meter, 1,5 meter dan 2,1 meter. Berdasarkan grafik tersebut, maka dapat diketahui bahwa model struktur dengan *link* 0,9 meter memiliki *strength* atau kekuatan yang lebih besar dalam menahan beban gempa dibandingkan dengan model dengan *link* 1,5 meter dan 2,1 meter. Hal ini dikarenakan gaya geser dasar ultimit yang terjadi (yaitu gaya geser dasar maksimum yang dapat ditahan oleh struktur sebelum terjadi penurunan kekuatan) pada model struktur dengan *link* 0,9 meter lebih besar dibandingkan dengan model struktur lainnya. Besarnya gaya geser dasar ultimit beserta perpindahannya tertera pada setiap kurva *pushover* di atas. Sebagai contoh, besarnya gaya geser dasar ultimit dan perpindahan yang terjadi pada model EBF-S pola gempa 1 arah X (Gambar 4.25) adalah sebesar 721443,45 Kg dan 0,190148 meter. Sedangkan pada model EBF-I, terjadi gaya geser dasar ultimit sebesar

620428,7 Kg dan perpindahan sebesar 0,229935 meter. sementara itu pada model EBF-L, terjadi gaya geser dasar ultimit sebesar 596468,68 Kg dan perpindahan sebesar 0,294959 meter.

#### 4.3.3 Analisis Kurva *Pushover* {Capacity Spectrum Method /CSM (Metode Spektrum Kapasitas)}

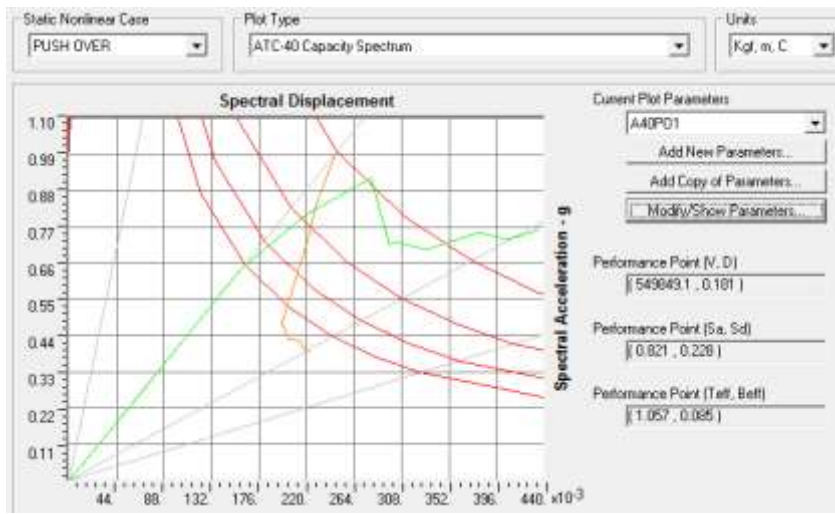
Untuk dapat mengevaluasi kinerja dari struktur bangunan, kita perlu membandingkan antara parameter desain berdasarkan kebutuhan (*demand*) dengan kapasitas (*capacity*). Kurva kapasitas (capacity curve) didapat secara otomatis dari output ETABS berdasarkan proses pushover dengan mereduksi respon spektrum sesuai dengan damping ratio yang terjadi karena adanya plastifikasi akibat pembebahan yang diberikan. Kemudian dapat diperoleh *performance point* serta pada langkah (*step*) ke berapa *performance point* tersebut tercapai. Setelah itu, penulis dapat meninjau kinerja struktur dengan memanfaatkan simpangan antar lantai dan perbandingan parameter kapasitas desain dengan parameter kebutuhan (*demand*). Namun, penulis juga perlu meninjau kinerja struktur pada masing-masing arah sumbu.



Gambar IV.29 Kurva CSM EBF-S

Tabel IV.19 Tabel Pushover EBF-S (Gaya Geser Dasar – Perpindahan Titik Kontrol)

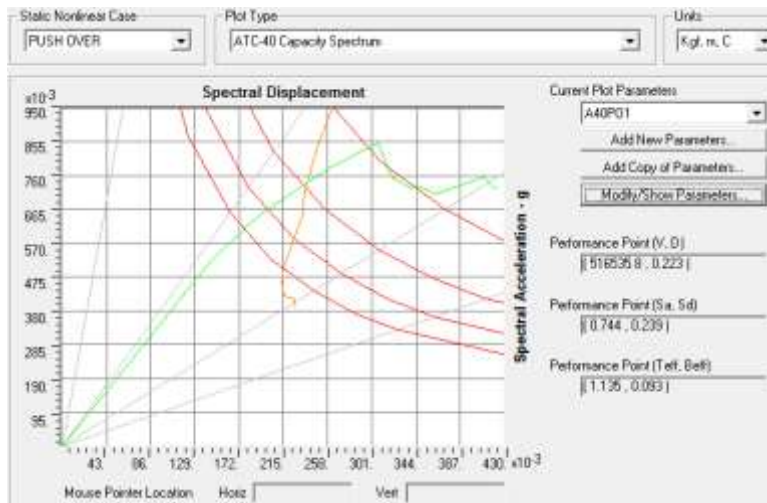
Step	Displacement	BaseForce	AtoB	BtoIO	IOtoLS	LStoCP	CPtoC	CtoD	DtoE	BeyondE	Total
	m	Kgf									
0	-0.000012	0	1680	0	0	0	0	0	0	0	1680
1	0.049988	233285.49	1680	0	0	0	0	0	0	0	1680
2	0.099988	466570.99	1680	0	0	0	0	0	0	0	1680
3	0.110365	514986.93	1674	6	0	0	0	0	0	0	1680
4	0.133314	598937.22	1618	40	22	0	0	0	0	0	1680
5	0.18702	715427.14	1590	16	50	8	16	0	0	0	1680
6	0.190148	721443.45	1588	18	50	8	12	4	0	0	1680
7	0.190153	601327.17	1588	18	50	0	16	0	0	8	1680
8	0.192226	606697.58	1588	18	50	0	8	8	0	8	1680
9	0.192231	497568.6	1582	24	50	0	8	0	0	16	1680
10	0.215552	556803.47	1572	24	60	0	0	8	0	16	1680
11	0.215557	446224.59	1564	32	60	0	0	0	0	24	1680
12	0.276192	546072.11	1560	22	66	0	8	0	0	24	1680
13	0.290898	567956.02	1556	26	66	0	0	8	0	24	1680
14	0.290903	461333.63	1548	22	78	0	0	0	0	32	1680
15	0.341122	529580.74	1548	16	76	8	0	0	0	32	1680
16	0.392915	575587.9	1528	26	86	0	8	0	0	32	1680
17	0.40276	583397.21	1524	30	86	0	0	8	0	32	1680
18	0.402765	489277.85	1516	22	102	0	0	0	0	40	1680
19	0.454652	546589.47	1510	24	106	0	0	0	0	40	1680
20	0.499988	577148.89	1500	26	98	16	0	0	0	40	1680



Gambar IV.30 Kurva CSM EBF-I

Tabel IV.20 Tabel Pushover EBF-I (Gaya Geser Dasar – Perpindahan Titik Kontrol)

Step	Displacement m	BaseForce Kgf	AtoB	BtoIO	IOtoLS	LStoCP	CPttoC	CtoD	DtoE	BeyondE	Total
0	-0.000013	0	1360	0	0	0	0	0	0	0	1360
1	0.049987	179326.27	1360	0	0	0	0	0	0	0	1360
2	0.099987	358652.54	1360	0	0	0	0	0	0	0	1360
3	0.115578	414567.47	1352	8	0	0	0	0	0	0	1360
4	0.174725	540134.83	1298	30	24	8	0	0	0	0	1360
5	0.229935	620428.7	1266	12	50	8	16	8	0	0	1360
6	0.22994	544614.99	1258	20	50	8	16	0	0	8	1360
7	0.235279	555159.08	1258	20	50	8	8	8	0	8	1360
8	0.235284	473824.74	1254	24	50	8	8	0	0	16	1360
9	0.265773	525785.47	1246	24	58	0	8	8	0	16	1360
10	0.265778	461238	1238	28	62	0	8	0	0	24	1360
11	0.304534	520542.53	1234	20	74	0	8	0	0	24	1360
12	0.310554	526304.35	1234	20	74	0	0	8	0	24	1360
13	0.310559	452267.82	1234	14	80	0	0	0	0	32	1360
14	0.361054	508750.95	1230	12	78	8	0	0	0	32	1360
15	0.416231	546853.31	1200	22	98	0	0	8	0	32	1360
16	0.416236	476201.86	1200	18	102	0	0	0	0	40	1360
17	0.465783	525549.01	1194	24	94	8	0	0	0	40	1360
18	0.499987	545874.99	1176	36	100	8	0	0	0	40	1360
19	0.842151	579437.7	1288	8	132	36	0	0	0	56	1520
20	0.887258	615621.33	1282	14	114	54	0	0	0	56	1520
21	1.081467	673189.22	1256	8	100	92	0	8	0	56	1520
22	0.835593	387728.93	1256	8	100	92	0	8	0	56	1520



Gambar IV.31 Kurva CSM EBF-L

Tabel IV.21 Tabel Pushover EBF-L (Gaya Geser Dasar – Perpindahan Titik Kontrol)

Step	Displacement m	BaseForce Kgf	AtoB	BtoIO	ItoLS	LStoCP	CptoC	CtoD	DtoE	BeyondE	Total
0	-0.000013	0	1520	0	0	0	0	0	0	0	1520
1	0.049987	142133.37	1520	0	0	0	0	0	0	0	1520
2	0.099987	284266.73	1520	0	0	0	0	0	0	0	1520
3	0.124521	354007.82	1512	8	0	0	0	0	0	0	1520
4	0.174745	450420.11	1482	6	32	0	0	0	0	0	1520
5	0.24308	543346.86	1432	30	34	24	0	0	0	0	1520
6	0.294959	596468.68	1390	40	58	16	8	8	0	0	1520
7	0.294964	479929.73	1386	36	66	8	8	0	0	16	1520
8	0.341113	539405.2	1386	20	82	0	16	0	0	16	1520
9	0.343667	541560.87	1384	16	88	0	8	8	0	16	1520
10	0.343672	480679.44	1376	24	80	8	8	0	0	24	1520
11	0.377871	518264.16	1372	28	80	8	8	0	0	24	1520
12	0.386869	524357.37	1372	24	84	0	8	8	0	24	1520
13	0.386874	483219.52	1372	16	92	0	8	0	0	32	1520
14	0.411829	511694.95	1362	24	94	0	8	0	0	32	1520
15	0.466432	545661.54	1350	24	106	0	0	8	0	32	1520
16	0.466437	491705.1	1346	28	106	0	0	0	0	40	1520
17	0.495845	520473.33	1334	38	100	8	0	0	0	40	1520
18	0.499987	523123.56	1334	38	100	8	0	0	0	40	1520

Jika meninjau dari evaluasi terhadap desain struktur, semua model bangunan dalam penelitian kali ini memenuhi kriteria *Life Safety (LS)*.

#### 4.3.5 Analisis Kekuatan Struktur

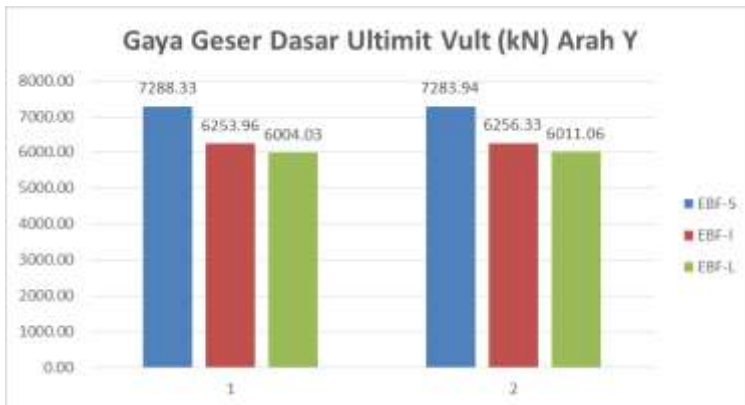
Berdasarkan nilai gaya geser dasar ultimit yang didapat dari analisis *pushover* maka akan dapat dilakukan perbandingan kekuatan pada ketiga model EBF tersebut. Gaya geser dasar ultimit ( $V_{ult}$ ) diambil saat gaya geser dasar  $V = V_{maks}$  atau saat  $V \leq 85\%V_{maks}$ . Besarnya  $V_{ult} = V \geq 85\%V_{maks}$  diambil jika setelah mencapai  $V_{maks}$ , masih ada nilai  $V$  yang lebih besar atau sama dengan 85% dari nilai  $V_{maks}$ . Adapun perbandingan kekuatan ketiga model antara EBF-S, EBF-I, dan EBF-L adalah sebagai berikut:



Gambar IV.32 Perbandingan Kekakuan Elastis Model EBF Tipe Pendek (EBF-S), Menengah (EBF-I) dan Panjang (EBF-L) Arah X

Berdasarkan grafik perbandingan kekakuan struktur ketiga model di atas (Gambar 4.32), dapat dianalisis bahwa :

- Model struktur tipe EBF-S memiliki gaya geser dasar ultimate yang jauh lebih besar dibandingkan model EBF-I dan EBF-L.
- Nilai gaya geser dasar ultimate terbesar dicapai pada model EBF-S pola *pushover* 1, yaitu sebesar 7214,4345 kN. Sedangkan nilai gaya geser dasar ultimate terkecil terdapat pada model EBF-L pola *pushover* 2, yaitu sebesar 5051,6504 kN.



Gambar IV.33 Perbandingan Kekakuan Elastis Model EBF Tipe Pendek (EBF-S), Menengah (EBF-I) dan Panjang (EBF-L) Arah Y

Berdasarkan grafik perbandingan kekakuan struktur ketiga model di atas (Gambar 4.33), dapat dianalisis bahwa :

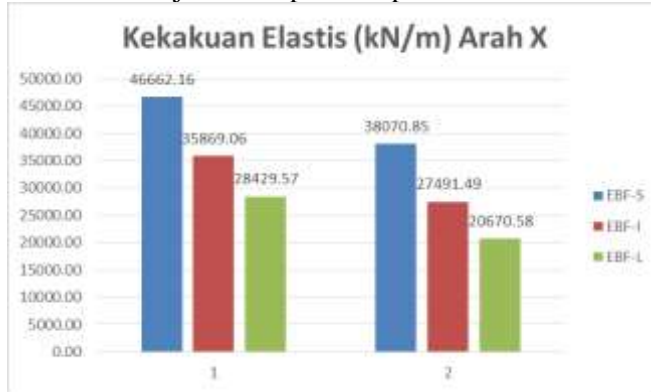
- Model struktur tipe EBF-S memiliki gaya geser dasar ultimate yang jauh lebih besar dibandingkan model EBF-I dan EBF-L.
- Nilai gaya geser dasar ultimate terbesar dicapai pada model EBF-S pola *pushover* 1, yaitu sebesar 7288,3257 kN. Sedangkan nilai gaya geser dasar ultimate terkecil terdapat pada model EBF-L pola *pushover* 1, yaitu sebesar 6004,0284kN.

#### 4.3.5 Analisis Kekakuan Struktur

Kekakuan model struktur EBF sangat ditentukan oleh jenis *link* atau panjang *link beam* yang digunakan. Berdasarkan Bab II Dasar Teori dikatakan bahwa kekakuan struktur EBF adalah fungsi dari rasio  $e/L$ , dimana  $e$  adalah panjang *link beam*, dan  $L$  adalah lebar bentang sehingga semakin pendek *link beam* maka kekakuan struktur akan semakin besar, dan semakin panjang *link beam* maka kekakuan struktur akan semakin kecil.

Berikut ini adalah grafik perbandingan kekakuan elastis ketiga model EBF yang dihitung berdasarkan rasio antara gaya geser dasar leleh ( $V_y$ ), yaitu gaya geser dasar yang menyebabkan leleh pertama

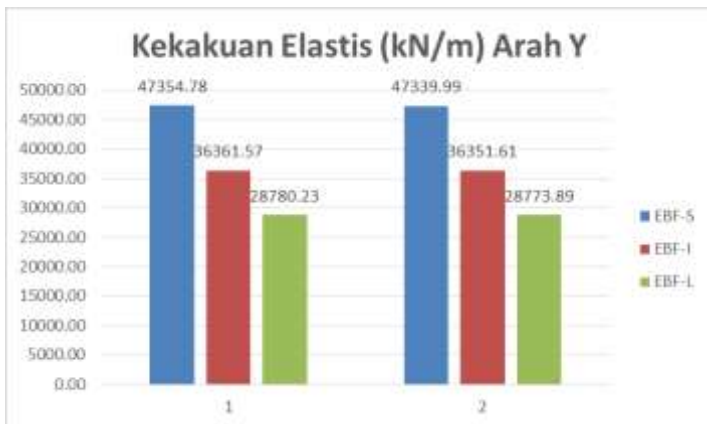
pada elemen struktur (*link beam*) dengan perpindahan titik kontrol model struktur saat terjadi leleh pertama pada elemen *link beam* ( $\delta_y$ ).



Gambar IV.34 Perbandingan Kekakuan Elastis Model EBF Tipe Pendek (EBF-S), Menengah (EBF-I) dan Panjang (EBF-L) Arah X

Berdasarkan grafik perbandingan kekakuan struktur ketiga model di atas (Gambar 4.34), dapat dianalisis bahwa :

- Model struktur tipe EBF-S memiliki kekakuan elastis yang jauh lebih besar dibandingkan model EBF-I dan EBF-L.
- Kekakuan terbesar dicapai pada model EBF-S pola *pushover* 1, yaitu sebesar 46662,1601 kN/m. Sedangkan kekakuan terkecil terdapat pada model EBF-L pola *pushover* 2, yaitu sebesar 20670,5846 kN/m



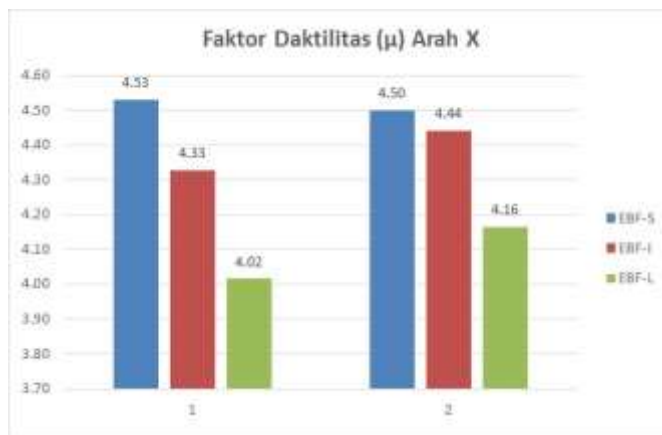
Gambar IV.35 Perbandingan Kekakuan Elastis Model EBF Tipe Pendek (EBF-S), Menengah (EBF-I) dan Panjang (EBF-L) Arah Y

Berdasarkan grafik perbandingan kekakuan struktur ketiga model di atas (Gambar 4.35), dapat dianalisis bahwa :

- Model struktur tipe EBF-S memiliki kekakuan elastis yang jauh lebih besar dibandingkan model EBF-I dan EBF-L.
- Kekakuan terbesar dicapai pada model EBF-S pola *pushover* 1, yaitu sebesar 47354,7791 kN/m. Sedangkan kekakuan terkecil terdapat pada model EBF-L pola *pushover* 2, yaitu sebesar 28773,8859 kN/m

#### 4.3.6 Analisis Daktilitas Struktur

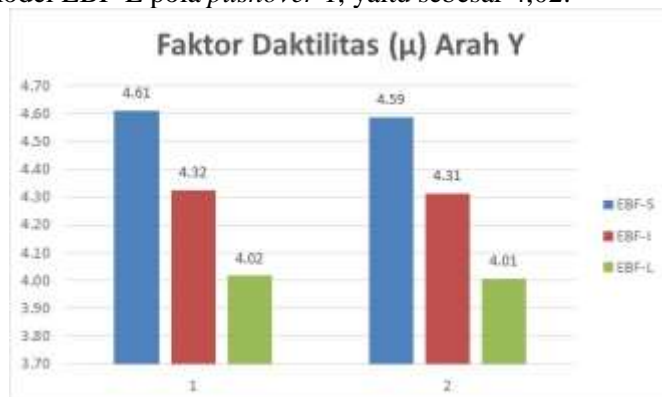
Besarnya faktor daktilitas ( $\mu$ ) diperoleh dari rasio perbandingan perpindahan titik kontrol saat mencapai batas ultimit dengan perpindahan titik kontrol saat terjadi leleh pertama pada *link beam*. Grafik berikut menunjukkan daktilitas dari ketiga model *link* pada struktur EBF.



Gambar IV.36 Perbandingan Nilai Daktilitas Model EBF Tipe Pendek (EBF-S), Menengah (EBF-I) dan Panjang (EBF-L) Arah X

Berdasarkan grafik perbandingan kekakuan struktur ketiga model di atas (Gambar 4.36) dapat dianalisis bahwa :

- Model struktur tipe EBF-S memiliki daktilitas yang lebih besar dibandingkan model EBF-I dan EBF-L.
- Kekakuan terbesar dicapai pada model EBF-S pola *pushover* 1, yaitu sebesar 4,53. Sedangkan kekakuan terkecil terdapat pada model EBF-L pola *pushover* 1, yaitu sebesar 4,02.



Gambar IV.37 Perbandingan Nilai Daktilitas Model EBF Tipe Pendek (EBF-S), Menengah (EBF-I) dan Panjang (EBF-L) Arah Y

Berdasarkan grafik perbandingan kekakuan struktur ketiga model di atas (Gambar 4.37) dapat dianalisis bahwa :

- Model struktur tipe EBF-S memiliki daktilitas yang lebih besar dibandingkan model EBF-I dan EBF-L.
- Kekakuan terbesar dicapai pada model EBF-S pola *pushover* 1, yaitu sebesar 4,61. Sedangkan kekakuan terkecil terdapat pada model EBF-L pola *pushover* 2, yaitu sebesar 4,01.

## 4.4 Analisa Portal EBF dengan ABAQUS

### 4.4.1 Pemodelan Portal EBF dengan ABAQUS

Setelah desain setiap elemen penampang terpenuhi, model struktur EBF-S, EBF-I dan EBF-L yang telah dianalisis dengan ETABS dimodelkan kembali dengan ABAQUS 6.14 dengan meninjau satu portal EBF pada lantai terbawah dari masing-masing model tersebut. Pemodelan ini bertujuan untuk mendapatkan respon dari sistem portal EBF secara satu kesatuan sistem.

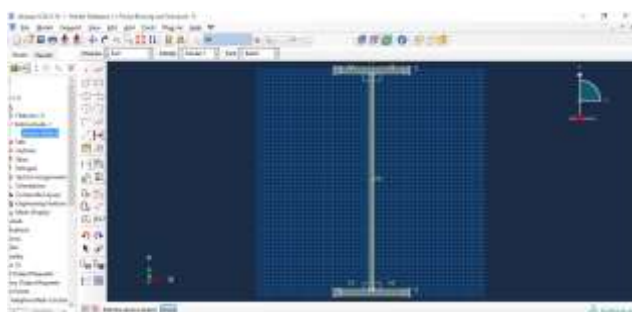
Untuk pemodelan dan analisis dengan ABAQUS 6.14 dibagi dalam tiga tahapan utama, yaitu:

#### 1. *Preprocessing*

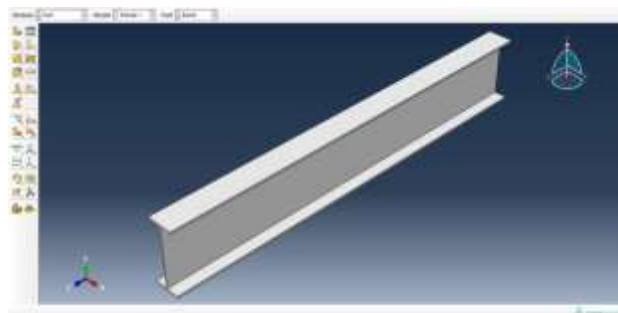
Merupakan tahapan *input* data material serta *modeling* berdasarkan model yang telah ditetapkan. Dalam ABAQUS 6.14 untuk tahapan ini dibagi dalam beberapa urutan langkah yang harus dilakukan meliputi:

##### a. *Part*

Menentukan *Modeling Space*, *Type*, *Base Feature* yang akan diterapkan dalam pemodelan sekaligus melakukan penggambaran masing-masing elemen dari model yang telah ditentukan. Setiap elemen dimodelkan sebagai elemen *solid*. Elemen yang dimodelkan adalah: Kolom RCFT, Balok luar *link* WF, Balok *link* WF, *Bracing* WF, *Stiffeners*.



Gambar IV.38 Membuat Model Profil WF

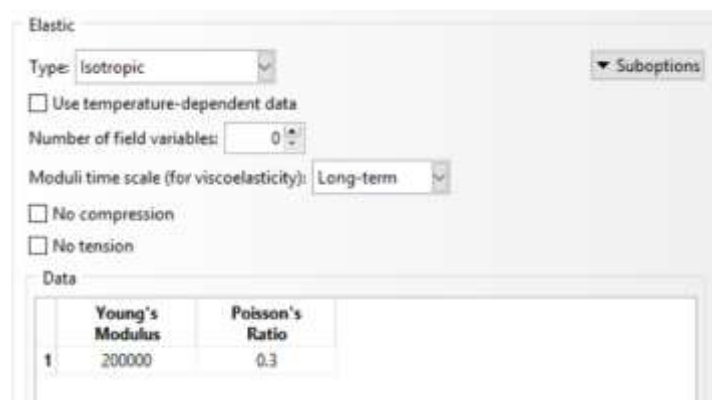


Gambar IV.39 Pemodelan Profil WF 3D

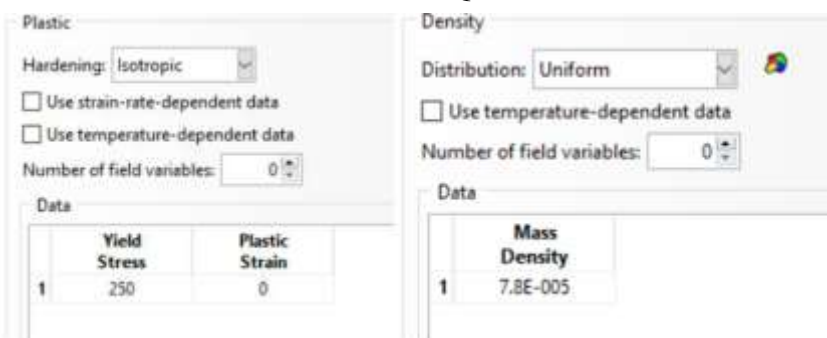
*b. Property*

Setelah elemen struktural dimodelkan, selanjutnya dilakukan *input* data serta karakteristik dari material yang digunakan. Untuk material yang digunakan adalah baja BJ 41 dengan spesifikasi:

- Modulus elastisitas : 200000 MPa
- Poisson ratio : 0.3
- Tegangan leleh : 250 MPa
- Berat jenis : 7800 kg/m<sup>3</sup>



Gambar IV.40 Input Modulus Elastisitas Dan Poisson Ratio Pada ABAQUS



Gambar IV.41 Input Tegangan Leleh Dan Berat Jenis Material Pada ABAQUS

### c. Assembly

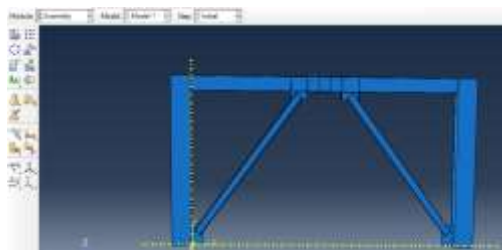
Mengaplikasi *property* yang telah dibuat ke dalam model yang ada. Untuk struktur portal, setiap elemen pembentuk sistem EBF yaitu kolom, balok dan *bracing* akan digabungkan menjadi satu kesatuan pada tahapan ini.

Tabel IV.22 Klasifikasi jarak pengaku antara (intermediate stiffeners) dan kapasitas rotasi link (AISC, 2010)

No.	Panjang Link	Jenis Link	Rotasi	Jarak Pengaku Maksimum
1	$1.6 M_p/V_p$	Geser murni	0,08	$30 t_w - d/5$
			$< 0,02$	$52 t_w - d/5$
2	$1.6 M_p/V_p \leq e \leq 2.6 M_p/V_p$	Dominan geser		Dapat menggunakan syarat 1 dan 3
3	$2.6 M_p/V_p \leq e \leq 5 M_p/V_p$	Dominan lentur	0,02	1,5 bf dari tiap ujung link

Tabel IV.23 Penentuan Jarak Pengaku Badan (*Web Stiffeners*) Berdasarkan AISC 3610-10

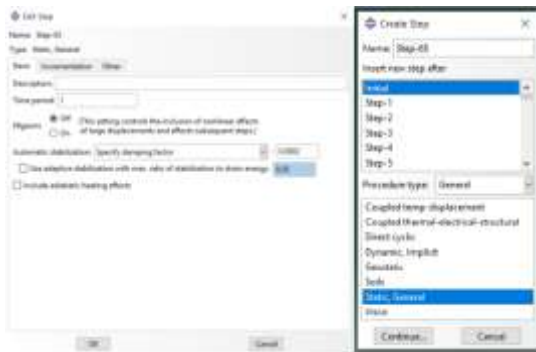
Tipe Link	Panjang Link	Panjang Link Pakai	Rotasi	Jarak Pengaku Max	Jarak Pengaku Pakai
	cm	cm		cm	cm
Short	< 114,62	90	0,08	16	30
			$< 0,02$	33,6	
Intermediate	114,62 - 186,25	150		Dapat menggunakan syarat <i>Short</i> dan <i>Long Link</i>	
Long	186,25 – 358,18	210	0,02	30	30 dari tiap ujung link



#### d. Step

Terdapat dua jenis step yaitu *initial* yang digunakan untuk memberikan kondisi perletakan pada model dan *step-1* yang

digunakan untuk memberikan beban pada model. Pada pangkal kolom diberikan perletakan jepit.



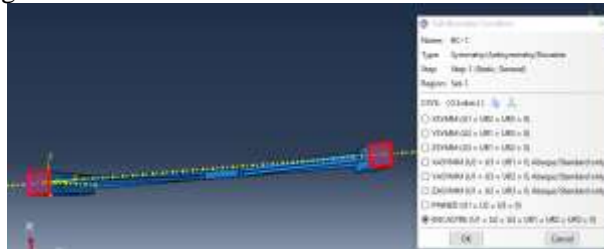
Gambar IV.42 Input Step Pada Model

#### e. Interaction

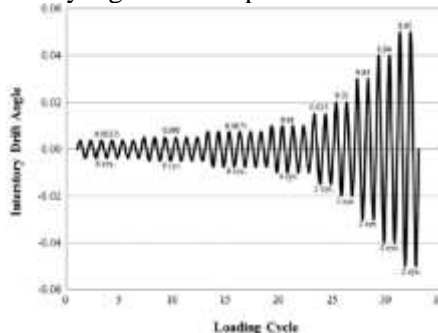
Portal yang telah dibentuk kemudian diberikan *input* hubungan antar elemen strukturnya sehingga dapat menjadi satu kesatuan struktur saat diberikan pembebanan. Untuk hubungan antar elemen diberikan pilihan *Tie Constraints*.

#### f. Load

Dengan selesainya pemberian *interaction*, maka pembebanan pada portal telah dapat diberikan. Dalam tahap diberikan *boundary condition* pada model yang ada berupa jenis perletakan dan beban *displacement*. Tipe perletakan yang digunakan adalah perletakan jepit yang diberikan pada setiap ujung bawah dari kolom.



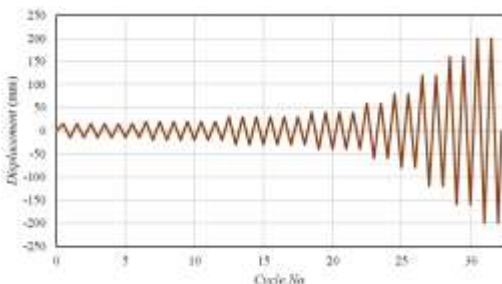
Untuk beban siklik diberikan *boundary condition* pada kedua joint kolombalok dengan besarnya sesuai dengan *cyclic loading protocol* pada Gambar 3.19 yaitu berupa besaran *displacement* yang diberikan pada Tabel 3.3 dan Gambar 3.20.



Gambar IV.43 Cyclic Loading Protocol (AISC-2005)

Tabel IV.24 Input Beban Siklik Pada Portal EBF

Step	Drift Angle (radian)	Displacement (mm)	Step	Drift Angle (radian)	Displacement (mm)
0	0	0	33	-0.0075	30.00
1	0.00375	15.00	34	-0.0075	-30.00
2	-0.00375	-15.00	35	0.0075	30.00
3	0.00375	15.00	36	-0.0075	-30.00
4	-0.00375	-15.00	37	0.01	40.00
5	0.00375	15.00	38	-0.01	-40.00
6	-0.00375	-15.00	39	0.01	40.00
7	0.00375	15.00	40	-0.01	-40.00
8	-0.00375	-15.00	41	0.01	40.00
9	0.00375	15.00	42	-0.01	-40.00
10	-0.00375	-15.00	43	0.01	40.00
11	0.00375	15.00	44	-0.01	-40.00
12	-0.00375	-15.00	45	0.015	60.00
13	0.005	20.00	46	-0.015	-60.00
14	-0.005	-20.00	47	0.015	60.00
15	0.005	20.00	48	-0.015	-60.00
16	-0.005	-20.00	49	0.02	80.01
17	0.005	20.00	50	-0.02	-80.01
18	-0.005	-20.00	51	0.02	80.01
19	0.005	20.00	52	-0.02	-80.01
20	-0.005	-20.00	53	0.03	120.04
21	0.005	20.00	54	-0.03	-120.04
22	-0.005	-20.00	55	0.03	120.04
23	0.005	20.00	56	-0.03	-120.04
24	-0.005	-20.00	57	0.04	160.09
25	0.0075	30.00	58	-0.04	-160.09
26	-0.0075	-30.00	59	0.04	160.09
27	0.0075	30.00	60	-0.04	-160.09
28	-0.0075	-30.00	61	0.05	200.17
29	0.0075	30.00	62	-0.05	-200.17
30	-0.0075	-30.00	63	0.05	200.17
31	0.0075	30.00	64	-0.05	-200.17
32	-0.0075	-30.00			



Gambar IV.44 Pembebanan Siklik Berupa *Displacement Control*

#### *g. Mesh*

Se semua elemen struktur yang telah dibuat dalam *part* diberikan *meshing* yang bertujuan untuk membagi setiap elemen tersebut kedalam potonganpotongan yang lebih kecil sehingga dapat dianalisis dengan ABAQUS. Setiap elemen diberikan jarak *meshing* sebesar 50 mm, yang bertujuan agar hasil perhitungan lebih teliti.

#### *2. Analysis*

Setelah seluruh prosedur *modeling* selesai dibuat, selanjutnya dengan memilih *Job* maka proses analisis pada ABAQUS telah dapat dilakukan.

#### *3. Post-processing*

Pada tahapan ini akan dihasilkan tampilan grafis yang menunjukkan tingkatan serta besaran tegangan dan perpindahan dan juga pola deformasi yang terjadi akibat pembebahan yang diberikan. Tampilan grafis dari model yang telah dianalisis disimbolkan dalam gradasi warna dengan memilih pilihan *Visualization* terhadap data hasil analisis.

#### **4.4.2 Analisa Perilaku Portal EBF dengan ABAQUS**

Perilaku dari model EBF-S, EBF-I dan EBF-L dibahas dengan mengambil masing-masing portal EBF pada lantai terbawah dari ketiga model model gedung dengan menggunakan *software* ABAQUS versi

6.14 dengan diberikan pembebanan siklik untuk mendapatkan perilaku dari masing-masing portal. *Output* yang dihasilkan yaitu berupa kontur tegangan serta perilaku elemen pada portal EBF.



Gambar IV.45 Kontur Tegangan EBF-S Step-1



Gambar IV.46 Kontur Tegangan EBF-S Step-3



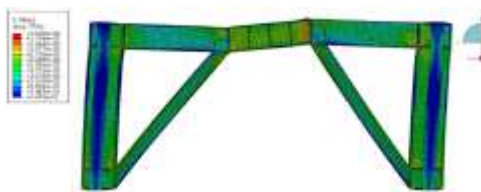
Gambar IV.47 Kontur Tegangan EBF-S Step-15

Perilaku serta tegangan yang terjadi pada portal EBF-S akibat diberi beban siklik ditunjukkan dalam Gambar 4.7 sampai Gambar 4.9 diatas. Pada step-1 yaitu dengan pemberian *displacement* sebesar 15 mm menunjukkan bahwa mekanisme keruntuhan pada elemen *link* telah terlihat, ditandai dengan perubahan bentuk balok *link* menjadi elastis dengan tegangan maksimum yang terjadi pada bagian *web* sebesar 266.25 N/mm<sup>2</sup>. Tanda-tanda awal keruntuhan pada *link* mulai terlihat

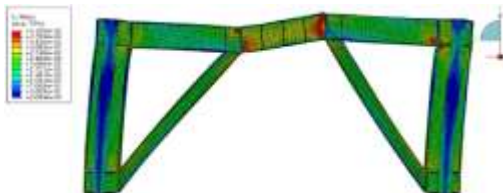
pada step-3 yang ditandai dengan gradasi warna kontur tegangan yang cukup signifikan di bagian *web* dengan tegangan maksimumnya sebesar  $349.62 \text{ N/mm}^2$ . Seluruh bidang *web* akhirnya mencapai nilai tegangan putus ( $f_u$ )  $410 \text{ N/mm}^2$  pada step-13 yaitu saat *displacement load* dinaikkan menjadi 20 mm. Pada kondisi ini dapat dipastikan bahwa *link* telah mencapai batas plastik sehingga konsentrasi tegangan yang terjadi mulai bergeser ke arah balok luar *link*, *bracing* dan kolom. Hal ini ditunjukkan dengan perbedaan gradasi warna yang semakin meningkat terutama pada titik sambungan antara balok dan kolom. Selain itu bagian *flange* dari balok *link* di daerah sambungan *link* dan balok mengalami perubahan bentuk diakibatkan pengaruh *local buckling*.



Gambar IV.48 Kontur Tegangan EBF-I Step-1



Gambar IV.49 Kontur Tegangan EBF-I Step-17



Gambar IV.50 Kontur Tegangan EBF-I Step-25

Gambar 4.10 sampai 4.12 diatas menampilkan perilaku dan tegangan pada portal EBF-I. Pada step-1 dengan pemberian *displacement* sebesar 15 mm, tegangan maksimum yang terjadi pada bagian *web* adalah sebesar  $250.46 \text{ N/mm}^2$ . Tanda keruntuhan pada *link*

dimulai pada bagian ujung *link* yang berhubungan dengan balok. Hal ini terlihat dengan perubahan gradasi warna kontur tegangan pada step-17 yaitu dengan *displacement* sebesar 20 mm dimana tegangan maksimum yang terjadi pada bagian *web* balok *link* adalah sebesar 367.96 N/mm<sup>2</sup>. Dengan penambahan step terutama peningkatan nilai *displacement* menjadi 30 mm pada step-25, tegangan pada bagian *web* balok *link* telah mencapai tegangan putus (*fu*) 410 N/mm<sup>2</sup>. Konsentrasi tegangan yang terjadi mulai beralih ke arah balok luar *link*, *bracing* dan kolumn seiring dengan peningkatan *displacement* pada beban siklik yang diberikan. Bagian *flange* dari balok *link* di daerah sambungan *link* dan balok juga mengalami perubahan bentuk diakibatkan pengaruh *local buckling*.



Gambar IV.51 Kontur Tegangan EBF-L Step-1



Gambar IV.52 Kontur Tegangan EBF-L Step-19



Gambar IV.53 Kontur Tegangan EBF-L Step-37

Model portal EBF-L yang ditampilkan Gambar 4.13 menunjukkan tegangan yang terjadi pada *link* cenderung lebih besar pada bagian ujung yang berhubungan dengan balok yang ditandai dengan perbedaan warna kontur tegangan. Saat step-1 dengan pemberian *displacement* awal sebesar 15 mm, nilai tegangan maksimum pada bagian *web* dari balok *link* di bagian ujung adalah sebesar 250.25 N/mm<sup>2</sup>. Dengan peningkatan beban siklik pada step-19 dalam Gambar 4.14 dengan pemberian *displacement* sebesar 20 mm, tegangan yang dihasilkan pada bagian ujung juga mengalami peningkatan menjadi 379.41 N/mm<sup>2</sup>. Saat *displacement* bertambah menjadi 40 mm yaitu di step-37 dalam Gambar 4.15, bagian *web* balok *link* pada bagian ujung telah mencapai tegangan putus (*fu*) 410 N/mm<sup>2</sup>. *Local buckling* juga terjadi pada bagian *flange* dari balok *link* di daerah sambungan dengan balok. Sama seperti dua model EBF sebelumnya, konsentrasi tegangan juga bergeser ke arah balok luar *link*, *bracing* dan kolom akan tetapi pada model EBF-L ini memperlihatkan perilaku yang lebih signifikan terjadi pada daerah sambungan balok-kolom, serta balok-*link*. Dengan peningkatan tegangan pada daerah sambungan ini menyebabkan peleahan tidak hanya terjadi pada *link* tetapi juga elemen balok dan kolom.

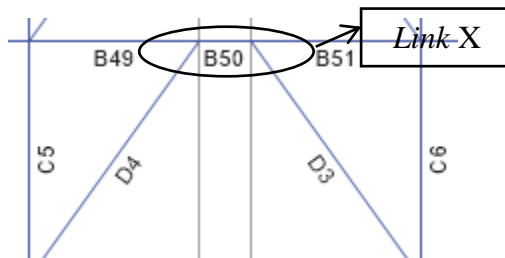
### 4.3 Perencanaan Struktur Primer

Setelah dilakukan pemodelan struktur 3 dimensi dengan menggunakan program bantu ETABS 2016, maka tahap selanjutnya adalah dengan melakukan analisis struktur melalui kontrol terhadap struktur utama dengan menggunakan peraturan berlaku yaitu SNI 1729-2015.

#### 4.3.1 Perencanaan *link*

##### 4.3.1.1 Perencanaan *link* arah X

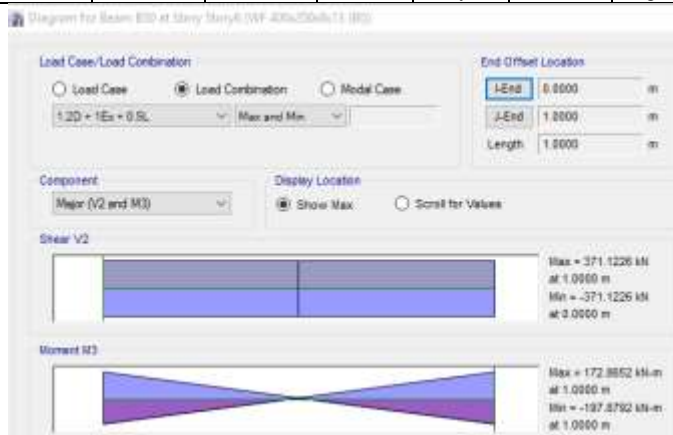
Pada perhitungan *link* arah X diambil *link* pada lantai Transfer yang memiliki gaya dalam maksimum yaitu *frame element* B50.



Gambar IV.54 Element Balok Diluar Link Arah X

Balok *link* arah X direncanakan menggunakan profil WF 400 x 200 x 8 x 13 dengan data-data sebagai berikut:

W	106	(kg/m)	BJ 41	ix	16.8	(cm)
A	134.4	(cm <sup>2</sup> )		iy	4.54	(cm)
d	600	(mm)		Sx	1190	(cm <sup>3</sup> )
bf	200	(mm)		Sy	174	(cm <sup>3</sup> )
tw	11	(mm)		Zx	1286	(cm <sup>3</sup> )
tf	17	(mm)		Zy	266	(cm <sup>3</sup> )
r	22	(mm)		Lp	226.003	(cm)
Ix	77600	(cm <sup>4</sup> )		Lr	658.357	(cm)
Iy	2280	(cm <sup>4</sup> )		fu	4100	(kg/cm <sup>2</sup> )
h	522	(mm)		2500	(kg/cm <sup>2</sup> )	

Gambar IV.55 Gaya Dalam *Link* Arah X

$$\begin{aligned}
 \text{Nu} &= 0 \text{ kg} \\
 \text{Vu} &= 37112,26 \text{ kg} \\
 \text{Mu} &= 19787,92 \text{ kgm} \\
 \Delta e &= 4,35 \text{ mm}
 \end{aligned}$$

- Penentuan jenis *link*

$$\begin{aligned}
 M_p &= Zx \cdot f_y = 1286 \cdot 2500 \\
 &= 3215000 \text{ kgcm} \\
 V_p &= 0,6 \cdot f_y \cdot (d - 2 \cdot t_f) \cdot t_w \\
 &= 0,6 \cdot 2500 \cdot 29,92 \\
 &= 44880 \text{ kg}
 \end{aligned}$$

$$e = \frac{1,6 \times M_p}{V_p} = \frac{1,6 \times 3215000}{44880} = 114,62 \text{ cm}$$

Termasuk *Link Geser*,  $e = 100 \text{ cm} < 114,62 \text{ cm}$

- Kontrol penampang  
Pelat sayap

$$\begin{aligned}
 \lambda &= \frac{bf}{2tf} = \frac{200}{2 \times 17} = 7,69 \\
 \lambda_p &= \frac{135}{\sqrt{(Fy)}} = 8,54 \\
 \lambda &< \lambda_p \rightarrow \text{Penampang Kompak}
 \end{aligned}$$

Pelat badan

$$\begin{aligned}
 N_y &= A_g \times f_y \\
 &= 84,12 \text{ cm}^2 \times 2500 \text{ kg/cm}^2 \\
 &= 210300 \text{ kg}
 \end{aligned}$$

$$0,15 N_y = 0,15 \cdot 210300 \text{ kg} = 31545 \text{ kg}$$

$$N_u = 0$$

$$\frac{N_u}{\emptyset N_y} = \frac{0}{0,9 \cdot 336000} = 0$$

$$\lambda = \frac{h}{tw} = \frac{342}{8} = 42,75$$

$$\lambda_p = \frac{1365}{\sqrt{(Fy)}} \left[ 1 - 1,54 \frac{Nu}{\phi Ny} \right] = 86,33$$

$\lambda < \lambda_p \rightarrow \text{Penampang Kompak}$

Karena penampang kompak, maka:

$$0,15Ny > Nu$$

$$31545 > 0$$

Karena  $0,15 Ny > Nu$ , maka berdasarkan acuan SNI 03-1729-2002 Pasal 15.13.2.5, pengaruh gaya aksial pada kuat geser rencana *link* tidak diperhitungkan.

- Kapasitas momen penampang

$$Lb = 90 \text{ cm}$$

$$Lp = 226,003 \text{ cm (dari tabel)}$$

$$Lr = 658,357 \text{ cm (dari tabel)}$$

$$Lb < Lp = \text{bentang pendek, sehingga :}$$

$$Mn = Mp = 1286 \cdot 2500 = 3215000 \text{ kgcm}$$

$$\begin{aligned} \phi_b \cdot M_n &= 0,9 \times 321500 \text{ kgcm} \\ &= 2893500 \text{ kg.cm} \end{aligned}$$

Kontrol

$$\begin{array}{ccc} \phi_b \cdot M_n & > & Mu \\ 2893500 \text{ kgcm} & > & 19787,92 \text{ kgcm} \end{array}$$

- Kontrol kuat geser

Berdasarkan acuan peraturan SNI 03-1729-2002 pasal 15.13.2.4, kuat geser nominal *link* diambil yang terkecil dari  $Vp$  atau  $2 Mp/e$

$$\begin{aligned} Vp &= 0,6 \cdot fy \cdot (d - 2 \cdot tf) \cdot tw \\ &= 0,6 \cdot 2500 \cdot (37,4) \cdot 0,8 \\ &= 44880 \text{ kg (menentukan)} \end{aligned}$$

$$\frac{2 \times Mp}{e} = \frac{2 \times 3215000}{114,62} = 56100 \text{ kg}$$

Kontrol

$$\begin{aligned} V_u &\leq \phi V_n \\ 37112,26 \text{ kg} &\leq 0,9 \cdot 44880 \text{ kg} \\ 37112,26 \text{ kg} &\leq 40392 \text{ kg} \dots (\text{OK}) \end{aligned}$$

- Kontrol sudut rotasi *link*

Rumus *link*

Berdasarkan SNI 03-1729-2002 pasal 15.13.2.7

$$e = \frac{1,6 \times Mp}{V_p}$$

$\alpha$  maks = 0,08 radian

$$\Delta p = Cd \cdot \Delta e = 4 \cdot 4,35 = 17,4 \text{ mm}$$

$$\emptyset = \frac{\Delta p}{h} = \frac{17,4}{342} = 0,051$$

$$\alpha = \left( \frac{L}{e} \right) \cdot \emptyset = \left( \frac{750}{100} \right) \cdot (0,051) = 0,038 \text{ radian}$$

Kontrol

$\alpha < \alpha$  maks

0,038 < 0,08 ... (OK)

#### 4.3.1.2 Perencanaan pengaku *link* arah X

Pada pertemuan batan bresing dengan *link* harus didasarkan peraturan SNI 03-1729-2002 pasal 15.13.3.1 yaitu pada *link* dipasang pengaku setinggi badan *link* dan berada di kedua sisi pelat badan *link*. Pengaku harus memiliki lebar total tidak kurang dari (bf – 2tw) dan ketebalan yang tidak kurang dari nilai terbesar antara 0,75tw atau 10 mm, dengan bf dan tw merupakan lebar pelat sayap dan tebal pelat badan *link*.

Untuk pengaku dengan panjang  $link < 1,6 \cdot V_p$ , harus memiliki pengaku dengan spasi tidak kurang atau lebih dari harga-harga berikut:

Untuk  $\alpha = 0,08$  radian

$$S = 30 \cdot tw - d/5 = 24 - 40/5 = 16 \text{ cm}$$

Untuk  $\alpha = 0,02$  radian

$$S = 52 \cdot tw - d/5 = 52 \cdot 0,8 - 40/5 = 33,6 \text{ cm}$$

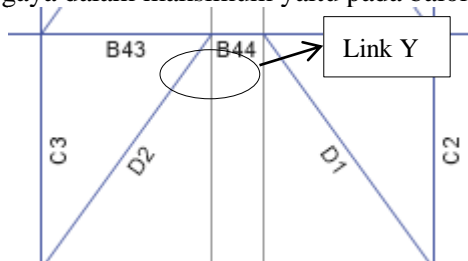
Untuk  $\alpha = 0,038$  radian, maka harus diinterpolasi

$$S = 45,2 - \left( \frac{0,038 - 0,02}{0,08 - 0,02} \right) \cdot (33,6 - 16) = 28,27 \text{ cm}$$

Dipasang pengaku antara dengan jarak 30 cm.

#### 4.3.1.3 Perencanaan link arah Y

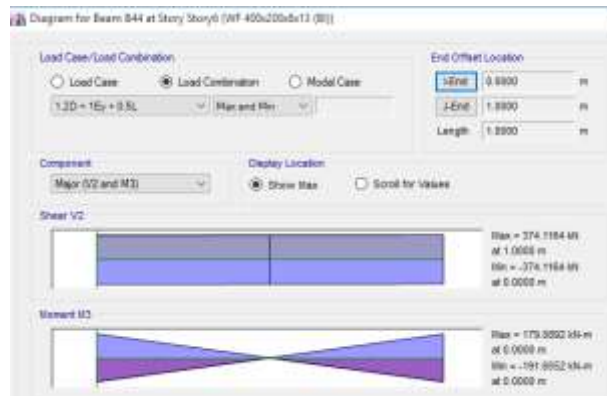
Pada perhitungan *link* arah Y diambil *link* pada lantai Transfer yang memiliki gaya dalam maksimum yaitu pada balok elemen B44.



Gambar IV.56 Frame Element Link Arah Y

Balok *link* arah Y direncanakan menggunakan profil WF 400 x 200 x 8 x 13 dengan data-data sebagai berikut:

W	106	(kg/m)	BJ 41	i <sub>x</sub>	16.8	(cm)
A	134.4	(cm <sup>2</sup> )		i <sub>y</sub>	4.54	(cm)
d	600	(mm)		S <sub>x</sub>	1190	(cm <sup>3</sup> )
b <sub>f</sub>	200	(mm)		S <sub>y</sub>	174	(cm <sup>3</sup> )
t <sub>w</sub>	11	(mm)		Z <sub>x</sub>	1286	(cm <sup>3</sup> )
t <sub>f</sub>	17	(mm)		Z <sub>y</sub>	266	(cm <sup>3</sup> )
r	22	(mm)		L <sub>p</sub>	226.003	(cm)
I <sub>x</sub>	77600	(cm <sup>4</sup> )		L <sub>r</sub>	658.357	(cm)
I <sub>y</sub>	2280	(cm <sup>4</sup> )		f <sub>u</sub>	4100	(kg/cm <sup>2</sup> )
h	522	(mm)		f <sub>y</sub>	2500	(kg/cm <sup>2</sup> )

Gambar IV.57 Gaya Dalam *Link* Arah Y

$$\begin{aligned} \text{Nu} &= 0 \text{ kg} \\ \text{Vu} &= 37411,64 \text{ kg} \\ \text{Mu} &= 191165,52 \text{ kgm} \\ \Delta e &= 4,35 \text{ mm} \end{aligned}$$

- Penentuan jenis *link*
- $$\begin{aligned} M_p &= Zx \cdot f_y = 1286 \cdot 2500 \\ &= 3215000 \text{ kgcm} \\ V_p &= 0,6 \cdot f_y \cdot (d - 2 \cdot tf) \cdot tw \\ &= 0,6 \cdot 2500 \cdot 29,92 \\ &= 44880 \text{ kg} \end{aligned}$$
- $$e = \frac{1,6 \times M_p}{V_p} = \frac{1,6 \times 3215000}{44880} = 114,62 \text{ cm}$$

Termasuk *Link* Geser,  $e = 100 \text{ cm} < 114,62 \text{ cm}$

- Kontrol penampang  
Pelat sayap

$$\lambda = \frac{bf}{2tf} = \frac{200}{2 \times 17} = 7,69$$

$$\lambda_p = \frac{135}{\sqrt{(Fy)}} = 8,54$$

$\lambda < \lambda_p \rightarrow \text{Penampang Kompak}$

Pelat badan

$$\begin{aligned} Ny &= Ag \times fy \\ &= 84,12 \text{ cm}^2 \times 2500 \text{ kg/cm}^2 \\ &= 210300 \text{ kg} \end{aligned}$$

$$0,15 Ny = 0,15 \cdot 210300 \text{ kg} = 31545 \text{ kg}$$

$$Nu = 0$$

$$\frac{Nu}{\phi Ny} = \frac{0}{0,9 \cdot 336000} = 0$$

$$\lambda = \frac{h}{tw} = \frac{342}{8} = 42,75$$

$$\lambda_p = \frac{1365}{\sqrt{(Fy)}} \left[ 1 - 1,54 \frac{Nu}{\phi Ny} \right] = 86,33$$

$$\lambda < \lambda_p \rightarrow \text{Penampang Kompak}$$

Karena penampang kompak, maka:

$$0,15Ny > Nu$$

$$31545 > 0$$

Karena  $0,15 Ny > Nu$ , maka berdasarkan acuan SNI 03-1729-2002 Pasal 15.13.2.5, pengaruh gaya aksial pada kuat geser rencana *link* tidak diperhitungkan.

- Kapasitas momen penampang

$$Lb = 90 \text{ cm}$$

$$Lp = 226,003 \text{ cm} \text{ (dari tabel)}$$

$$Lr = 658,357 \text{ cm} \text{ (dari tabel)}$$

$Lb < Lp$  = bentang pendek, sehingga :

$$Mn = Mp = 1286 \cdot 2500 = 3215000 \text{ kgcm}$$

$$\phi_b \cdot M_n = 0,9 \times 321500 \text{ kgcm}$$

$$= 2893500 \text{ kg.cm}$$

Kontrol

$$\begin{array}{ccc} \emptyset_b \cdot M_n & > & Mu \\ 2893500 \text{ kgcm} & > & 1916552 \text{ kgcm} \rightarrow \text{OK} \end{array}$$

- Kontrol kuat geser

Berdasarkan acuan peraturan SNI 03-1729-2002 pasal 15.13.2.4, kuat geser nominal *link* diambil yang terkecil dari  $V_p$  atau  $2 Mp/e$

$$\begin{aligned} V_p &= 0,6 \cdot f_y \cdot (d - 2 \cdot tf) \cdot tw \\ &= 0,6 \cdot 2500 \cdot (37,4) \cdot 0,8 \\ &= 44880 \text{ kg (menentukan)} \end{aligned}$$

$$\frac{2 \times Mp}{e} = \frac{2 \times 3215000}{114,62} = 56100 \text{ kg}$$

Kontrol

$$\begin{array}{ccc} V_u & \leq & \phi V_n \\ 37411,64 \text{ kg} & \leq & 0,9 \cdot 44880 \text{ kg} \\ 37411,64 \text{ kg} & \leq & 40392 \text{ kg ... (OK)} \end{array}$$

- Kontrol sudut rotasi *link*

Rumus *link*

Berdasarkan SNI 03-1729-2002 pasal 15.13.2.7

$$e = \frac{1,6 \times Mp}{V_p}$$

$$\alpha \text{ maks} = 0,08 \text{ radian}$$

$$\Delta p = C_d \cdot \Delta e = 4 \cdot 4,35 = 17,4 \text{ mm}$$

$$\emptyset = \frac{\Delta p}{h} = \frac{17,4}{342} = 0,051$$

$$\alpha = \left( \frac{L}{e} \right) \cdot \emptyset = \left( \frac{750}{100} \right) \cdot (0,051) = 0,038 \text{ radian}$$

Kontrol

$$\alpha < \alpha \text{ maks}$$

$$0,038 < 0,08 \dots (\text{OK})$$

#### 4.3.1.2 Perencanaan pengaku link arah Y

Pada pertemuan batan bresing dengan *link* harus didasarkan peraturan SNI 03-1729-2002 pasal 15.13.3.1 yaitu pada *link* dipasang pengaku setinggi badan *link* dan berada di kedua sisi pelat badan *link*. Pengaku harus memiliki lebar total tidak kurang dari ( $bf - 2tw$ ) dan ketebalan yang tidak kurang dari nilai terbesar antara 0,75 $tw$  atau 10 mm, dengan  $bf$  dan  $tw$  merupakan lebar pelat sayap dan tebal pelat badan *link*.

Untuk pengaku dengan panjang  $link < 1,6 \cdot Mp / Vp$ , harus memiliki pengaku dengan spasi tidak kurang atau lebih dari harga-harga berikut:

Untuk  $\alpha = 0,08$  radian

$$S = 30 \cdot tw - d/5 = 24 - 40/5 = 16 \text{ cm}$$

Untuk  $\alpha = 0,02$  radian

$$S = 52 \cdot tw - d/5 = 52 \cdot 0,8 - 40/5 = 33,6 \text{ cm}$$

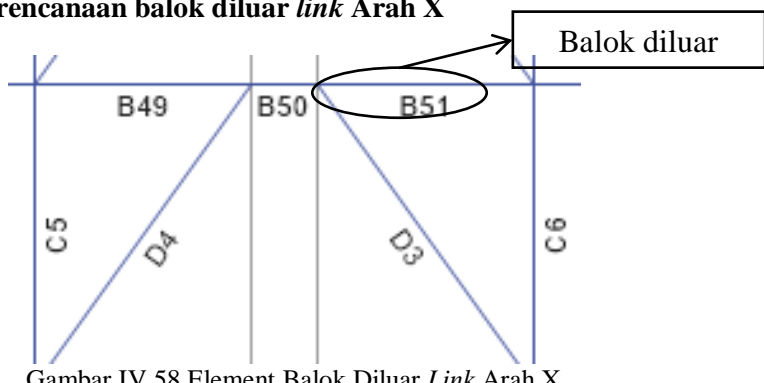
Untuk  $\alpha = 0,038$  radian, maka harus diinterpolasi

$$S = 45,2 - \left( \frac{0,038 - 0,02}{0,08 - 0,02} \right) \cdot (33,6 - 16) = 28,27 \text{ cm}$$

Dipasang pengaku antara dengan jarak 25 cm.

#### 4.3.2 Perencanaan balok diluar *link*

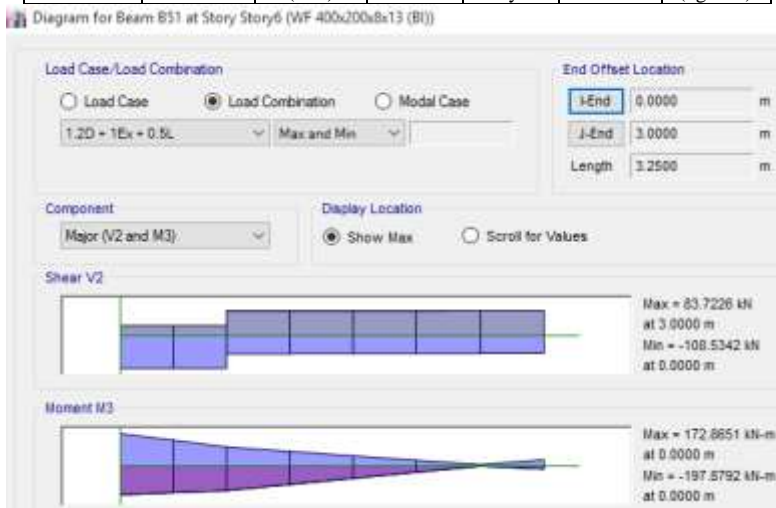
##### 4.3.2.1 Perencanaan balok diluar *link* Arah X



Gambar IV.58 Element Balok Diluar *Link* Arah X

Balok diluar *link* arah X direncanakan menggunakan profil WF 400 x 200 x 8 x 13 dengan data- data sebagai berikut:

W	106	(kg/m)	BJ 41	ix	16.8	(cm)
A	134.4	(cm <sup>2</sup> )		iy	4.54	(cm)
d	600	(mm)		Sx	1190	(cm <sup>3</sup> )
bf	200	(mm)		Sy	174	(cm <sup>3</sup> )
tw	11	(mm)		Zx	1286	(cm <sup>3</sup> )
tf	17	(mm)		Zy	266	(cm <sup>3</sup> )
r	22	(mm)		Lp	226.003	(cm)
I <sub>x</sub>	77600	(cm <sup>4</sup> )		Lr	658.357	(cm)
I <sub>y</sub>	2280	(cm <sup>4</sup> )		fu	4100	(kg/cm <sup>2</sup> )
h	522	(mm)		f <sub>y</sub>	2500	(kg/cm <sup>2</sup> )



Gambar IV.59 Gaya Dalam Balok di Luar *Link* Arah X

Output ETABS 2016

M<sub>u</sub> = 19787,92 kgm

V<sub>u</sub> = 10853,24 kg

N<sub>u</sub> = 0 kg

Berdasarkan peraturan SNI 03-1729-2002 Pasal 15.13.6.2, kuat perlu balok diluar *link* harus ditentukan berdasarkan gaya- gaya yang ditimbulkan paling tidak 1,1 kali kuat geser nominal *link* sebesar R<sub>y</sub>.V<sub>n</sub> dan kuat rencana balok diluar link dapat ditentukan menggunakan

ketentuan kuat rencana yang dihitung berdasarkan poin 8 dan mengalikannya dengan faktor Ry.

$$V_u = 1,1 \times R_y \times V_n$$

$V_n$  = Kuat geser nominal *link*, diambil yang terkecil dari  $V_p$  atau  $2M_p/e$

$$\begin{aligned} V_p &= 0,6 \cdot f_y \cdot (d - 2 \cdot t_f) \cdot t_w \\ &= 0,6 \cdot 2500 \cdot (40 - 2 \cdot 1,3) \cdot 0,8 \\ &= 44880 \text{ kg} \end{aligned}$$

$$M_p = Zx \cdot F_y = 1286 \cdot 2500 = 3215000 \text{ kgcm}$$

$$\frac{2 \times M_p}{e} = \frac{2 \times 3215000}{100} = 64300 \text{ kg}$$

$V_p$  menentukan = 44880 kg

$$\begin{aligned} \text{Maka, } V_u &= 1,1 \cdot R_y \cdot V_n \\ &= 1,1 \cdot 1,5 \cdot 44880 \\ &= 74052 \text{ kg} \end{aligned}$$

- Kontrol penampang

Pelat sayap

$$\lambda = \frac{bf}{2tf} = \frac{200}{2 \times 13} = 7,69$$

$$\lambda_p = 0,38\sqrt{(E/F_y)} = 10,75$$

$\lambda < \lambda_p \rightarrow \text{Penampang Kompak}$

Pelat badan

$$\lambda = \frac{h}{tw} = \frac{342}{8} = 42,75$$

$$\lambda_p = 3,76 \sqrt{\frac{E}{F_y}} = 106,35$$

$\lambda < \lambda_p \rightarrow \text{Penampang Kompak}$

Karena penampang kompak, maka  $M_n = M_p$   
 $M_n = Zx \cdot f_y$

$$= 1286 \cdot 2500 = 3215000 \text{ kgcm}$$

- Kapasitas momen penampang  
 $L_b = 200 \text{ cm}$   
 $L_p = 226,003 \text{ cm} (\text{dari tabel})$   
 $L_r = 658,375 \text{ cm} (\text{dari tabel})$   
 $L_b < L_p = \text{bentang pendek, sehingga :}$   
 $M_n = M_p = 3215000 \text{ kgcm}$   
 $\phi_b \cdot M_n = 0,9 \times 3215000 \text{ kgcm}$   
 $= 2893500 \text{ kg.cm}$

Kontrol

$$\begin{array}{ccc} \phi_b \cdot M_n & > & M_u \\ 2893500 \text{ kgcm} & > & 1978792 \text{ kgcm} \end{array} \rightarrow \text{OK}$$

- Kapasitas geser penampang

$$\lambda = \frac{h}{t_w} = \frac{342}{8} = 42,75$$

$$a = \frac{L - e}{2} = \frac{7500 - 1000}{2} = 3250 \text{ mm}$$

$$k_n = 5 + \frac{5}{(a/h)^2} = 5 + \frac{5}{(3250/522)^2} = 5,00$$

$$1,1 \cdot \sqrt{\frac{k_n \cdot E}{f_y}} = 1,1 \cdot \sqrt{\frac{5 \cdot 2000000}{2500}} = 69,57$$

Kontrol

$$\lambda \leq 1,1 \cdot \sqrt{\frac{k_n \cdot E}{f_y}}$$

$$42,75 \leq 69,57 \rightarrow \text{Plastis}$$

$$\begin{aligned} V_n &= 0,6 f_y A_w R_y \\ &= 0,6 \times 2500 \times (29,92) \times 1,5 \\ &= 67320 \text{ kg} \end{aligned}$$

$$\phi V_n = 0,9 \cdot 67320 \text{ kg} = 60588 \text{ kg}$$

- Kontrol interaksi geser lentur

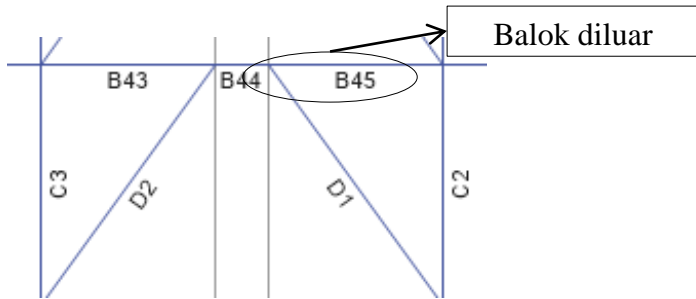
Pada perhitungan balok diluar *link* arah X dipilih balok pada elemen B293 kiri dengan  $M_u = 3307970 \text{ kg.cm}$  (hasil analisa dari ETABS 2016)

$$\frac{M_u}{\phi \cdot M_n} + 0,625 \frac{V_u}{\phi \cdot V_n} \leq 1,375$$

$$\frac{19787,92}{2893500} + 0,625 \frac{10853,24}{60588} \leq 1,375$$

$$0,119 \leq 1,375 \dots (\text{OK})$$

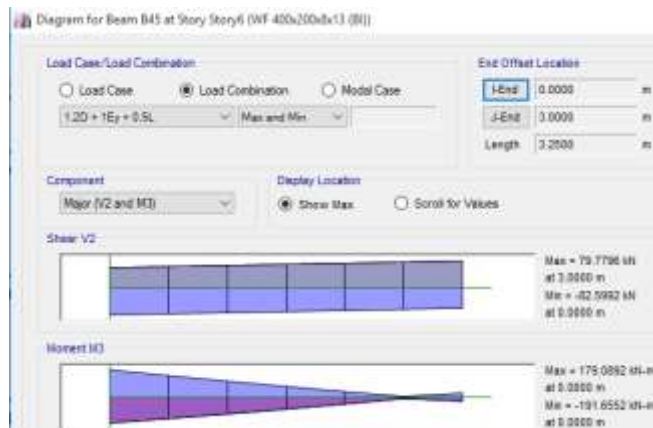
#### 4.3.2.2 Perencanaan balok diluar *link* arah Y



Gambar IV.60 Elemen Balok Diluar *Link* Arah Y

Balok diluar *link* arah X direncanakan menggunakan profil WF 400 x 200 x 8 x 13 dengan data-data sebagai berikut:

W	106	(kg/m)	ix	16.8	(cm)
A	134.4	(cm <sup>2</sup> )	i <sub>y</sub>	4.54	(cm)
d	600	(mm)	S <sub>x</sub>	1190	(cm <sup>3</sup> )
bf	200	(mm)	S <sub>y</sub>	174	(cm <sup>3</sup> )
tw	11	(mm)	Z <sub>x</sub>	1286	(cm <sup>3</sup> )
tf	17	(mm)	Z <sub>y</sub>	266	(cm <sup>3</sup> )
r	22	(mm)	BJ 41	L <sub>p</sub>	226.003 (cm)
I <sub>x</sub>	77600	(cm <sup>4</sup> )		L <sub>r</sub>	658.357 (cm)
I <sub>y</sub>	2280	(cm <sup>4</sup> )		f <sub>u</sub>	4100 (kg/cm <sup>2</sup> )
h	522	(mm)		f <sub>y</sub>	2500 (kg/cm <sup>2</sup> )

Gambar IV.61 Gaya Dalam Balok di Luar *Link* Arah X

Output ETABS 2016

$$M_u = 19165,52 \text{ kgm}$$

$$V_u = 8259,92 \text{ kg}$$

$$N_u = 0 \text{ kg}$$

Berdasarkan peraturan SNI 03-1729-2002 Pasal 15.13.6.2, kuat perlu balok diluar *link* harus ditentukan berdasarkan gaya-gaya yang ditimbulkan paling tidak 1,1 kali kuat geser nominal *link* sebesar  $R_y \cdot V_n$  dan kuat rencana balok diluar link dapat ditentukan menggunakan ketentuan kuat rencana yang dihitung berdasarkan poin 8 dan mengalikannya dengan faktor  $R_y$ .

$$V_u = 1,1 \times R_y \times V_n$$

$V_n$  = Kuat geser nominal *link*, diambil yang terkecil dari  $V_p$  atau  $2M_p/e$

$$\begin{aligned} V_p &= 0,6 \cdot f_y \cdot (d - 2 \cdot t_f) \cdot tw \\ &= 0,6 \cdot 2500 \cdot (40 - 2 \cdot 1,3) \cdot 0,8 \\ &= 44880 \text{ kg} \end{aligned}$$

$$M_p = Z_x \cdot F_y = 1286 \cdot 2500 = 3215000 \text{ kgcm}$$

$$\frac{2 \times M_p}{e} = \frac{2 \times 3215000}{100} = 64300 \text{ kg}$$

$V_p$  menentukan = 44880 kg

$$\begin{aligned} \text{Maka, } V_u &= 1,1 \cdot R_y \cdot V_n \\ &= 1,1 \cdot 1,5 \cdot 44880 \\ &= 74052 \text{ kg} \end{aligned}$$

- Kontrol penampang

Pelat sayap

$$\lambda = \frac{bf}{2tf} = \frac{200}{2 \times 13} = 7,69$$

$$\lambda_p = 0,38\sqrt{\frac{E}{F_y}} = 10,75$$

$\lambda < \lambda_p \rightarrow \text{Penampang Kompak}$

Pelat badan

$$\lambda = \frac{h}{tw} = \frac{342}{8} = 42,75$$

$$\lambda_p = 3,76 \sqrt{\frac{E}{F_y}} = 106,35$$

$\lambda < \lambda_p \rightarrow \text{Penampang Kompak}$

Karena penampang kompak, maka  $M_n = M_p$

$M_n = Z_x \cdot f_y$

$$= 1286 \cdot 2500 = 3215000 \text{ kgcm}$$

- Kapasitas momen penampang

$$L_b = 200 \text{ cm}$$

$$L_p = 226,003 \text{ cm (dari tabel)}$$

$$L_r = 658,375 \text{ cm (dari tabel)}$$

$L_b < L_p = \text{bentang pendek, sehingga :}$

$$M_n = M_p = 3215000 \text{ kgcm}$$

$$\begin{aligned} \emptyset_b \cdot M_n &= 0,9 \times 3215000 \text{ kgcm} \\ &= 2893500 \text{ kg.cm} \end{aligned}$$

Kontrol

$$\begin{array}{ccc} \emptyset_b \cdot M_n & > & M_u \\ 2893500 \text{ kgcm} & > & 1916552 \text{ kgcm} \rightarrow \text{OK} \end{array}$$

- Kapasitas geser penampang

$$\lambda = \frac{h}{tw} = \frac{342}{8} = 42,75$$

$$a = \frac{L - e}{2} = \frac{7500 - 1000}{2} = 3250 \text{ mm}$$

$$k_n = 5 + \frac{5}{(a/h)^2} = 5 + \frac{5}{(3250/522)^2} = 5,00$$

$$1,1 \cdot \sqrt{\frac{k_n \cdot E}{f_y}} = 1,1 \cdot \sqrt{\frac{5 \cdot 2000000}{2500}} = 69,57$$

Kontrol

$$\lambda \leq 1,1 \cdot \sqrt{\frac{k_n \cdot E}{f_y}}$$

$$42,75 \leq 69,57 \rightarrow \text{Plastis}$$

$$\begin{aligned} V_n &= 0,6 f_y A_w R_y \\ &= 0,6 \times 2500 \times (29,92) \times 1,5 \\ &= 67320 \text{ kg} \end{aligned}$$

$$\emptyset V_n = 0,9 \cdot 67320 \text{ kg} = 60588 \text{ kg}$$

- Kontrol interaksi geser lentur

Pada perhitungan balok diluar *link* arah X dipilih balok pada elemen B293 kiri dengan  $M_u = 3307970 \text{ kg.cm}$  (hasil analisa dari ETABS 2016)

$$\frac{M_u}{\emptyset \cdot M_n} + 0,625 \frac{V_u}{\emptyset \cdot V_n} \leq 1,375$$

$$\frac{19165,52}{2893500} + 0,625 \frac{8259,92}{60588} \leq 1,375$$

$$0,092 \leq 1,375 \dots (\text{OK})$$

### 4.3.3 Perencanaan bresing

#### 4.3.3.1 Perencanaan bresing arah X

Berdasarkan peraturan SNI03-1729-2002 Pasal 15.13.6.1, kuat kombinasi aksial dan lentur perlu pada batang bresing harus direncanakan berdasarkan gaya aksial dan momen lentur yang ditimbulkan oleh 1,25 kali kuat geser nominal dari *link* sebesar 1,25 Ry Vn. Kuat rencana batang bresing harus lebih besar dari pada kuat perlu element *link*.

Bresing arah X direncanakan menggunakan profil WF 200 x 200 x 12 x 12, dengan data-data sebagai berikut:

W	56.2	(kg/m)	BJ 41	ix	8.35	(cm)
A	71.53	(cm <sup>2</sup> )		iy	4.88	(cm)
d	200	(mm)		Sx	498	(cm <sup>3</sup> )
bf	204	(mm)		Sy	167	(cm <sup>3</sup> )
tw	12	(mm)		Zx	553	(cm <sup>3</sup> )
tf	12	(mm)		Zy	256	(cm <sup>3</sup> )
r	13	(mm)		Lp (cm)	242.928	(cm)
Ix	4980	(cm <sup>4</sup> )		Lr (cm)	1107.881	(cm)
Iy	1700	(cm <sup>4</sup> )		fu	4100	(kg/cm <sup>2</sup> )
h	150	(mm)		fy	2500	(kg/cm <sup>2</sup> )

Berdasarkan hasil analisa ETABS 2016, didapat nilai:

$$P_u \text{ tekan} = 70664,90 \text{ kg}$$

$$P_u \text{ tarik} = 80903,80 \text{ kg}$$

- Kontrol penampang

Pelat sayap

$$\lambda = \frac{bf}{2tf} = \frac{204}{2 \times 12} = 8,50$$

$$\lambda_R = \frac{250}{\sqrt{fy}} = \frac{250}{\sqrt{250}} = 15,81$$

$\lambda < \lambda_R \rightarrow$  Penampang tidak langsing

Pelat badan

$$\lambda = \frac{h}{tw} = \frac{150}{12} = 12,50$$

$$\lambda_R = \frac{665}{\sqrt{fy}} = \frac{665}{\sqrt{250}} = 42,06$$

$\lambda < \lambda_R \rightarrow$  Penampang tidak langsing

- Kontrol kuat aksial bresing

Panjang bresing  $L = 558,03$  cm

$$\text{Arah } X \rightarrow \lambda_x = \frac{L_{kx}}{i_x} = \frac{558,03}{8,35} = 66,83$$

$$\text{Arah } Y \rightarrow \lambda_y = \frac{L_{kx}}{i_y} = \frac{558,03}{4,88} = 114,35$$

$$\lambda \rightarrow \lambda_y = 114,35$$

$$\lambda_c = \frac{\lambda}{\pi} \cdot \sqrt{\frac{fy}{E}} = \frac{114,35}{\pi} \cdot \sqrt{\frac{250}{200000}} = 1,29$$

Karena  $\lambda > 1,2$  maka berdasarkan SNI 1729:2002 Pasal 7.6.2:

$$\omega = 1,25 \cdot \lambda_c^2 = 1,25 \cdot 1,29^2 = 2,07$$

- Bresing tekan

$$\begin{aligned} P_{max} &= 1,1 \cdot R_y \cdot Ag / F_{cr} \\ &= \frac{1,1 \cdot 1,5 \cdot 2500 \cdot 71,53}{2,07} \\ &= 142532,18 \text{ kg} \end{aligned}$$

$$\phi_c P_n = 0,85 \times 142532,18 \text{ kg} = 121152,35 \text{ kg}$$

$$\phi_c P_n > Pu$$

$$121152,35 \text{ kg} > 70664,9 \text{ kg} \rightarrow (\text{OK})$$

- Bresing tarik

$$\begin{aligned} P_{max} &= R_y \cdot F_y \cdot Ag \\ &= 1,5 \cdot 2500 \cdot 71,53 = 268237,5 \text{ kg} \end{aligned}$$

$$\phi_c P_n = 0,90 \times 268237,5 \text{ kg} = 241413,8 \text{ kg}$$

$$\phi_c P_n > Pu \rightarrow 241413,8 \text{ kg} > 80903,8 \text{ kg} (\text{OK})$$

#### 4.3.3.2 Perencanaan bresing arah Y

Berdasarkan peraturan SNI 03-1729-2002 Pasal 15.13.6.1, kuat kombinasi aksial dan lentur perlu pada batang bresing harus direncanakan berdasarkan gaya aksial dan momen lentur yang ditimbulkan oleh 1,25 kali kuat geser nominal dari *link* sebesar 1,25 Ry Vn. Kuat rencana batang bresing harus lebih besar dari pada kuat perlu elemen *link*.

Bresing arah Y direncanakan menggunakan profil WF 200 x 200 x 12 x 12, dengan data- data sebagai berikut:

W	56.2	(kg/m)		Ix	8.35	(cm)
A	71.53	(cm <sup>2</sup> )		Iy	4.88	(cm)
d	200	(mm)		Sx	498	(cm <sup>3</sup> )
bf	204	(mm)		Sy	167	(cm <sup>3</sup> )
tw	12	(mm)		Zx	553	(cm <sup>3</sup> )
tf	12	(mm)		Zy	256	(cm <sup>3</sup> )
r	13	(mm)	BJ 41	Lp (cm)	242.928	(cm)
Ix	4980	(cm <sup>4</sup> )		Lr (cm)	1107.881	(cm)
Iy	1700	(cm <sup>4</sup> )		fu	4100	(kg/cm <sup>2</sup> )
h	150	(mm)		fy	2500	(kg/cm <sup>2</sup> )

Berdasarkan hasil analisa ETABS 2016, didapat nilai:

$$P_u \text{tekan} = 70664,90 \text{ kg}$$

$$P_u \text{tarik} = 80903,80 \text{ kg}$$

- Kontrol penampang

Pelat sayap

$$\lambda = \frac{bf}{2tf} = \frac{204}{2 \times 12} = 8,50$$

$$\lambda_R = \frac{250}{\sqrt{fy}} = \frac{250}{\sqrt{250}} = 15,81$$

$\lambda < \lambda_R \rightarrow$  Penampang tidak langsing

Pelat badan

$$\lambda = \frac{h}{tw} = \frac{150}{12} = 12,50$$

$$\lambda_R = \frac{665}{\sqrt{fy}} = \frac{665}{\sqrt{250}} = 42,06$$

$\lambda < \lambda_R \rightarrow$  Penampang tidak langsing

- Kontrol kuat aksial bresing

Panjang bresing  $L = 558,03$  cm

$$Arah X \rightarrow \lambda_x = \frac{L_{kx}}{i_x} = \frac{558,03}{8,62} = 66,83$$

$$Arah Y \rightarrow \lambda_y = \frac{L_{kx}}{i_y} = \frac{558,03}{5,02} = 114,35$$

$$\lambda \rightarrow \lambda_y = 114,35$$

$$\lambda_c = \frac{\lambda}{\pi} \cdot \sqrt{\frac{fy}{E}} = \frac{114,35}{\pi} \cdot \sqrt{\frac{250}{200000}} = 1,29$$

Karena  $\lambda > 1,2$  maka berdasarkan SNI 1729:2002 Pasal 7.6.2:

$$\omega = 1,25 \cdot \lambda_c^2 = 1,25 \cdot 1,29^2 = 2,07$$

- Bresing tekan

$$\begin{aligned} P_{max} &= 1,1 \cdot R_y \cdot Ag / F_{cr} \\ &= \frac{1,1 \cdot 1,5 \cdot 2500 \cdot 63,53}{2,07} \\ &= 142532,18 \text{ kg} \end{aligned}$$

$$\phi_c P_n = 0,85 \times 142532,18 \text{ kg} = 121152,35 \text{ kg}$$

$$\phi_c P_n > P_u$$

$$121152,35 \text{ kg} > 73520,63 \text{ kg} \rightarrow (\text{OK})$$

- Bresing tarik

$$\begin{aligned} P_{max} &= R_y \cdot F_y \cdot Ag \\ &= 1,5 \cdot 2500 \cdot 63,53 = 238237,5 \text{ kg} \end{aligned}$$

$$\phi_c P_n = 0,90 \times 238237,5 \text{ kg} = 214413,8 \text{ kg}$$

$$\phi_c P_n > P_u \rightarrow 214413,75 \text{ kg} > 78048,07 \text{ kg} (\text{OK})$$

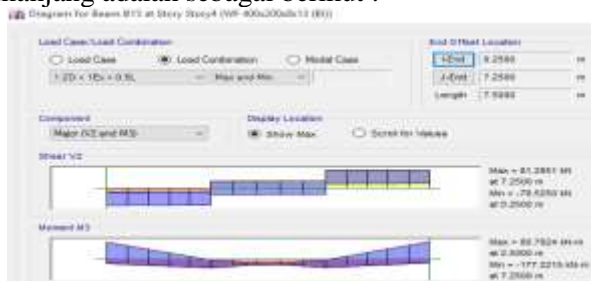
#### 4.3.4 Perencanaan balok induk

##### 4.3.4.1 Perencanaan balok induk arah X

Balok induk arah X direncanakan menggunakan profil WF 400x200x8x13, dengan data sebagai berikut :

W	66	(kg/m)	BJ 41	ix	16.8	(cm)
A	84.12	(cm <sup>2</sup> )		iy	4.54	(cm)
d	400	(mm)		Sx	1190	(cm <sup>3</sup> )
bf	200	(mm)		Sy	174	(cm <sup>3</sup> )
tw	8	(mm)		Zx	1286	(cm <sup>3</sup> )
tf	13	(mm)		Zy	266	(cm <sup>3</sup> )
r	16	(mm)		Lp	226.003	(cm)
Ix	23700	(cm <sup>4</sup> )		Lr	658.357	(cm)
Iy	1740	(cm <sup>4</sup> )		fu	4100	(kg/cm <sup>2</sup> )
h	342	(mm)		fy	2500	(kg/cm <sup>2</sup> )
Aw	29.92	(cm <sup>2</sup> )		fr	700	(kg/cm <sup>2</sup> )
			Beton	fc'	350	(kg/cm <sup>2</sup> )
				hr	5.4	(cm)
				t pelat	9	(cm)

Dari analisis ETABS, didapatkan gaya dalam yang terjadi pada balok induk memanjang adalah sebagai berikut :



Gambar IV.62 Gaya Dalam Balok Induk Arah X

Berdasarkan hasil analisa ETABS 2016, didapat nilai:

$$M_{\max} = 8079,24 \text{ kg.m}$$

$$M_{\min} = -17722,15 \text{ kg.m}$$

$$V_u = 8129,51 \text{ kg}$$

- a. Kontrol penampang profil terhadap gaya lentur
- Kontrol penampang terhadap tekuk lokal

Pelat sayap

$$\lambda = \frac{bf}{2tf} = \frac{200}{2 \times 13} = 7,69$$

$$\lambda_p = \frac{170}{\sqrt{fy}} = \frac{170}{\sqrt{250}} = 10,75$$

$$\lambda < \lambda_p \quad (\text{penampang sayap kompak})$$

Pelat badan

$$\lambda = \frac{h}{tw} = \frac{342}{8} = 42,75$$

$$\lambda_p = \frac{1680}{\sqrt{fy}} = \frac{1680}{\sqrt{250}} = 106,25$$

$$\lambda < \lambda_p \quad (\text{penampang badan kompak})$$

Karena penampang kompak, maka  $M_n = M_p$

$$\begin{aligned} M_p &= Zx \cdot fy = 1286 \times 2500 \\ &= 3215000 \text{ kg.cm} \end{aligned}$$

Cek kemampuan penampang

$$\begin{array}{ccc} \emptyset_b \cdot M_n & \geq & M_u \\ 0,9 \times 3215000 & \geq & M_u \\ 2893500 \text{ kg.cm} & \geq & 1772215 \end{array} \rightarrow (\text{OK})$$

- Kontrol penampang terhadap tekuk lateral  
Panjang tak terkekang sama dengan 20 cm.

$$L_p = 226,003 \text{ cm}$$

$$L_r = 658,357 \text{ cm}$$

$L_b \leq L_p$ , keadaan batas dari tekuk torsional tidak boleh digunakan. SNI 1729:2015 F2.2

- b. Kontrol penampang profil terhadap gaya geser

$$\frac{h}{tw} \leq \frac{1100}{\sqrt{f_y}} \rightarrow \frac{342}{8} \leq \frac{1100}{\sqrt{250}}$$

$42,75 \leq 69,57 \rightarrow Plastis$

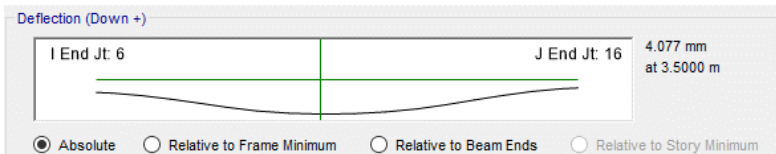
Maka,  $V_n = 0,6 f_y A_w C_v$  SNI 1729:2015 G2.1  
 $= 0,6 \times 2500 \times 29,92 \times 1$   
 $= 44880 \text{ kg}$

$\emptyset V_n$	$\geq$	$V_u$
$0,9 \cdot 44880 \text{ kg}$	$\geq$	$8129,51 \text{ kg}$
$40392 \text{ kg}$	$\geq$	$8129,51 \text{ kg}$

→ (OK)

### c. Kontrol lendutan

$$f_{ijin} = \frac{L}{360} = \frac{750}{360} = 2,08 \text{ cm} \quad \text{SNI 1729:2015 6.4.3}$$



Gambar IV.63 Lendutan Pada Balok Induk Memanjang Akibat Kombinasi 1DL + 1LL

Dari hasil analisis didapatkan lendutan batang sebesar

$$f^o = 0,408 \text{ cm}$$

Kontrol

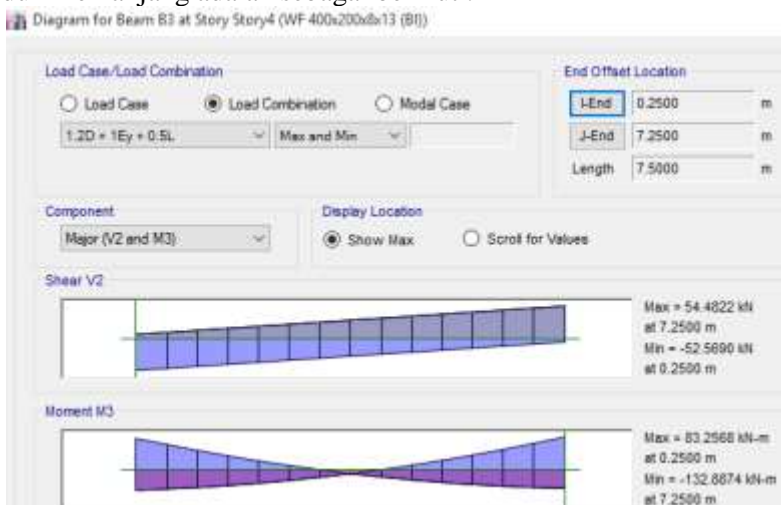
$$f^o < f_{ijin} \rightarrow 0,41 \text{ cm} < 2,08 \text{ cm} \text{ (OK)}$$

#### 4.3.4.2 Perencanaan balok induk arah Y

Balok induk arah Y direncanakan menggunakan profil WF 400x200x8x13, dengan data sebagai berikut :

W	66	(kg/m)		ix	16.8	(cm)
A	84.12	(cm <sup>2</sup> )		iy	4.54	(cm)
d	400	(mm)		Sx	1190	(cm <sup>3</sup> )
bf	200	(mm)		Sy	174	(cm <sup>3</sup> )
tw	8	(mm)		Zx	1286	(cm <sup>3</sup> )
tf	13	(mm)		Zy	266	(cm <sup>3</sup> )
r	16	(mm)	BJ 41	Lp	226.003	(cm)
Ix	23700	(cm <sup>4</sup> )		Lr	658.357	(cm)
Iy	1740	(cm <sup>4</sup> )		fu	4100	(kg/cm <sup>2</sup> )
h	342	(mm)		fy	2500	(kg/cm <sup>2</sup> )
Aw	29.92	(cm <sup>2</sup> )		fr	700	(kg/cm <sup>2</sup> )
			Beton	fc'	350	(kg/cm <sup>2</sup> )
				hr	5.4	(cm)
				t pelat	9	(cm)

Dari analisis ETABS, didapatkan gaya dalam yang terjadi pada balok induk memanjang adalah sebagai berikut :



Gambar IV.64 Gaya Dalam Balok Induk Arah Y

Berdasarkan hasil analisa ETABS 2016, didapat nilai:

$$M_{max} = 8325,68 \text{ kg.m}$$

$$M_{min} = -13288,74 \text{ kg.m}$$

$$V_u = 5448,22 \text{ kg}$$

- d. Kontrol penampang profil terhadap gaya lentur

- Kontrol penampang terhadap tekuk lokal

Pelat sayap

$$\lambda = \frac{bf}{2tf} = \frac{200}{2 \times 13} = 7,69$$

$$\lambda_p = \frac{170}{\sqrt{f_y}} = \frac{170}{\sqrt{250}} = 10,75$$

$$\lambda < \lambda_p \quad (\text{penampang sayap kompak})$$

Pelat badan

$$\lambda = \frac{h}{tw} = \frac{342}{8} = 42,75$$

$$\lambda_p = \frac{1680}{\sqrt{f_y}} = \frac{1680}{\sqrt{250}} = 106,25$$

$$\lambda < \lambda_p \quad (\text{penampang badan kompak})$$

Karena penampang kompak, maka  $M_n = M_p$

$$\begin{aligned} M_p &= Zx \cdot f_y = 1286 \times 2500 \\ &= 3215000 \text{ kg.cm} \end{aligned}$$

Cek kemampuan penampang

$$\emptyset_b \cdot M_n \geq M_u$$

$$0,9 \times 3215000 \geq M_u$$

$$2893500 \text{ kg.cm} \geq 1328874 \rightarrow (\text{OK})$$

- Kontrol penampang terhadap tekuk lateral

Panjang tak terkekang sama dengan 20 cm.

$$L_p = 226,003 \text{ cm}$$

$$L_r = 658,357 \text{ cm}$$

$Lb \leq Lp$ , keadaan batas dari tekuk torsional tidak boleh digunakan.

SNI 1729:2015 F2.2

- e. Kontrol penampang profil terhadap gaya geser

$$\frac{h}{tw} \leq \frac{1100}{\sqrt{fy}} \rightarrow \frac{342}{8} \leq \frac{1100}{\sqrt{250}}$$

$$42,75 \leq 69,57 \rightarrow \text{Plastis}$$

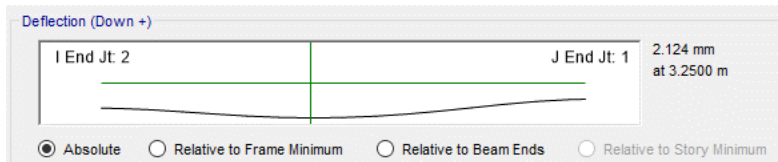
Maka,  $V_n = 0,6 f_y A_w C_v$  SNI 1729:2015 G2.1  
 $= 0,6 \times 2500 \times 29,92 \times 1$   
 $= 44880 \text{ kg}$

$\emptyset V_n$	$\geq$	$V_u$
$0,9 \cdot 44880 \text{ kg}$	$\geq$	$8129,51 \text{ kg}$
$40392 \text{ kg}$	$\geq$	$5448,22 \text{ kg}$

$\rightarrow (\text{OK})$

- f. Kontrol lendutan

$$f_{ijin} = \frac{L}{360} = \frac{750}{360} = 2,08 \text{ cm} \quad \text{SNI 1729:2015 6.4.3}$$



Gambar IV.65 Lendutan Pada Balok Induk Memanjang Akibat Kombinasi 1DL + 1LL

Dari hasil analisis didapatkan lendutan batang sebesar

$$f^o = 0,2124 \text{ cm}$$

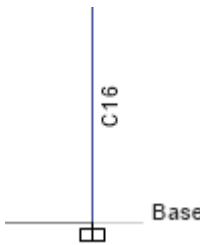
Kontrol

$$f^o < f_{ijin} \rightarrow 0,21 \text{ cm} < 2,08 \text{ cm} (\text{OK})$$

#### 4.3.5 Perencanaan kolom

Pada perencanaan ini ditunjukkan contoh perhitungan pada kolom lantai *Upper Ground* batang C16. Direncanakan sebagai kolom komposit CFT menggunakan profil HSS 500 x 500 x 22 x 22 dengan tinggi kolom 450 cm. Berikut spesifikasi profil yang digunakan:

Baja	H	500	mm	ix	19.44	cm
	B	500	mm	i <sub>y</sub>	19.44	cm
	t	22	mm	I <sub>x</sub>	157100	cm <sup>4</sup>
	W	320	kg/m	I <sub>y</sub>	157100	cm <sup>4</sup>
	A <sub>s</sub>	415	cm <sup>2</sup>	Z <sub>x</sub>	6283	cm <sup>3</sup>
	$\rho$	7850	kg/m <sup>3</sup>	Z <sub>y</sub>	6283	cm <sup>3</sup>
	f <sub>u</sub>	4100	kg/cm <sup>2</sup>			
	f <sub>y</sub>	2500	kg/cm <sup>2</sup>			
Beton	A <sub>c</sub>	2085	cm <sup>2</sup>	f' <sub>c</sub>	350	kg/cm <sup>2</sup>
	$\rho$	2400	kg/m <sup>3</sup>			
	W	500.4	kg/m			
Profil	W total	820.4	kg/m			
Panjang	L	450	cm			



Gambar IV.66 Kolom C16 yang ditinjau untuk kontrol

Hasil dari output ETABS 2016 diperoleh gaya-gaya yang bekerja pada frame C16 lantai Ground sebagai berikut:

- Gaya akibat beban gravitasi :
  - P<sub>u</sub> = 151025,5 kg
  - M<sub>u<sub>x</sub></sub> = 4307,73 kgm
  - M<sub>u<sub>y</sub></sub> = 4307,73 kgm
- Gaya akibat beban gempa :

$$\begin{aligned} P_u &= 145769,5 \text{ kg} \\ M_{u_x} &= 41363,32 \text{ kgm} \\ M_{u_y} &= 13677,43 \text{ kgm} \end{aligned}$$

- Kuat nominal tekan kolom komposit
- Kontrol luas penampang minimum profil baja
 
$$\frac{As}{Ac + As} \times 100\% \geq 4\%$$

$$\frac{415}{2085 + 415} \times 100\% \geq 4\%$$

$$16,6\% \geq 4\% \rightarrow \text{OK}$$
- Kontrol tebal minimum penampang persegi
 
$$t_{min} \geq b \times \sqrt{\frac{f_y}{3E}}$$

$$22 \geq 500 \times \sqrt{\frac{250}{3 \times 2 \times 10^5}}$$

$$22 \geq 10,21 \rightarrow \text{OK}$$
- Kuat nominal tekan kolom komposit
 
$$\lambda = \frac{bf}{2tf} = \frac{500}{2 \times 22} = 11,36$$

$$\lambda_p = 2,26 \sqrt{\frac{E}{f_y}} = 2,26 \sqrt{\frac{2 \times 10^5}{250}} = 63,92$$

$$\lambda \leq \lambda_p \rightarrow 11,36 \leq 63,92 \rightarrow \text{Penampang kompak}$$

Sehingga kekuatan nominal tekan diperhitungkan sebagai berikut

$$P_{no} = P_p$$

$$P_p = f_y A_s + C_2 f'_c (A_c + A_s r \frac{E_s}{E_c})$$

$$P_p = 2500 \times 415 + 0,85 \times 350 \times (2085 + 0)$$

$$= 1657787,5 \text{ kg}$$
- Momen Nominal Kolom

- Kontrol penampang terhadap tekuk lokal

$$\lambda_f = \frac{bf}{2tf} = \frac{500}{2.22} = 11,36$$

$$\lambda_p = 1,12 \times \sqrt{\frac{E}{f_y}} = 1,12 \times \sqrt{\frac{2 \times 10^6}{2500}} = 31,68$$

Kontrol

$$\lambda_f < \lambda_p$$

11,36 < 31,68 → Penampang Kompak

Karena penampang kompak, maka  $M_n = M_p$

$$M_p = Zx \cdot f_y = 6283 \cdot 2500 = 15707500 \text{ kgcm}$$

Cek kemampuan penampang

$$\emptyset_b \cdot M_n \geq M_u$$

$$0,9 \cdot 15707500 \geq 1367743$$

$$14136750 \text{ kg.cm} \geq 1367743 \text{ kg.cm} \rightarrow \text{OK}$$

- Kontrol penampang terhadap tekuk lateral

Panjang tak terkekang adalah tinggi kolom -  $d_{balok}$

$$L_b = 450 - 50 = 400 \text{ cm}$$

$$L_p = 1,76 \times i_y \times \sqrt{\frac{E}{f_y}} = 1,76 \times 19,44 \times \sqrt{\frac{2 \times 10^6}{2500}} = 967,73$$

Kontrol

$$L_b \leq L_p$$

$$400 \text{ cm} \leq 967,73 \text{ cm} \rightarrow \text{Bentang Pendek}$$

Karena bentang pendek, maka  $M_n = M_p$

$$M_p = Zx \cdot f_y = 6283 \cdot 2500 = 157075000 \text{ kgcm}$$

Cek kemampuan penampang

$$\emptyset_b \cdot M_n \geq M_u$$

$$0,9 \cdot 15707500 \geq 1367743$$

$$14136750 \text{ kg.cm} \geq 1367743 \text{ kg.cm} \rightarrow \text{OK}$$

- Kekuatan lentur dan aksial orde kedua

Momen lentur dan aksial terfaktor arah X dan Y ditentukan berdasarkan persamaan berikut ini,

$$\alpha = 1 \text{ (DFBK)}$$

$$R_m = 1 - 0,15 P_{mf}$$

$$P_{story} = 1 \text{ (bresing, } P_{mf}=0)$$

$$k = 1 \text{ (kekakuan kolom)}$$

$$\Delta H = 0,44 \text{ cm (defleksi kolom, output ETABS)}$$

Rumus Momen dan Gaya Aksial Orde Kedua

$$M_r = B_1 M_{ni} + B_2 M_i$$

$$P_r = P_{nt} + B_2 P_t$$

Rumus Koefisien Cm, B1, Pe1 dan B2

$$C_m = 0,6 - 0,4 \left[ \frac{M_1}{M_2} \right]$$

$$P_{e1} = \frac{\pi^2 EI}{(K_1 L)^2}$$

$$B_1 = \frac{C_m}{1 - \alpha \frac{P_r}{P_{e1}}}$$

$$B_2 = \frac{1}{1 - \frac{\alpha P_{story}}{P_{estory}}}$$

$$P_{estory} = R_M \frac{H \cdot L}{\Delta H}$$

❖ Arah sumbu X;

1. Kontrol momen terhadap beban gravitasi

Dari ETABS 2016 diperoleh output sebagai berikut

$$M_1 = 4307,73 \text{ kgm}$$

$$M_2 = 2387,80 \text{ kgm}$$

$$C_m = 0,6 - 0,4 \left[ \frac{M_1}{M_2} \right] = 0,6 - 0,4 \left[ \frac{2387,80}{4307,73} \right] \\ = 0,38$$

$$P_{e1} = \frac{\pi^2 EI}{(K_1 L)^2} = \frac{\pi^2 \cdot 2 \cdot 10^6 \cdot 157100}{(1 \cdot 450)^2} \\ = 15313727 \text{ kg}$$

$$B_1 = \frac{C_m}{1 - \alpha \frac{P_r}{P_{e1}}} = \frac{0,38}{1 - 1 \frac{1657788}{15313272}} \\ = 0,42$$

Syarat,  $B_1 \geq 1$

Maka digunakan  $B_1 = 1$

## 2. Kontrol momen terhadap beban lateral

Dari ETABS 2016 diperoleh output sebagai berikut

$$H_x = 169229,19 \text{ kg (gaya lateral)} \\ P_{\text{story}} = 4457018,74 \text{ kg (aksial total lantai)}$$

$$P_{\text{estory}} = R_M \frac{H \cdot L}{\Delta H} = 1 \frac{169229,19 \cdot 450}{0,435} = 175064679.31 \text{ kg}$$

$$B_2 = \frac{C_m}{1 - \frac{\alpha P_{\text{story}}}{P_{\text{estory}}}} = \frac{1}{1 - \frac{1 \cdot 4457018,74}{175064679.31}} = 1,03$$

Maka digunakan  $B_2 = 1,03$

## 3. Momen terfaktor terhadap sumbu X

$$M_{rx} = B_1 M_{ni} + B_2 M_i \\ = 1 \times 4307,73 + 1,03 \times 41363,32 \\ = 46751,64 \text{ kgm}$$

### ❖ Arah sumbu Y

#### 1. Kontrol momen terhadap beban gravitasi

Dari ETABS 2016 diperoleh output sebagai berikut

$$M_1 = 4307,73 \text{ kgm}$$

$$M_2 = 2387,80 \text{ kgm}$$

$$C_m = 0,6 - 0,4 \left[ \frac{M_1}{M_2} \right] = 0,6 - 0,4 \left[ \frac{2387,80}{4307,73} \right] \\ = 0,38$$

$$P_{e1} = \frac{\pi^2 EI}{(K_1 L)^2} = \frac{\pi^2 \cdot 2 \cdot 10^6 \cdot 157100}{(1 \cdot 450)^2} \\ = 15313727 \text{ kg}$$

$$B_1 = \frac{c_m}{1 - \alpha \frac{P_r}{P_{e1}}} = \frac{0,38}{1 - \frac{1657788}{15313272}} = 0,42$$

Syarat,  $B_1 \geq 1$

Maka digunakan  $B_1 = 1$

## 2. Kontrol momen terhadap beban lateral

Dari ETABS 2016 diperoleh output sebagai berikut

$$H_x = 169229,19 \text{ kg (gaya lateral)}$$

$$P_{\text{story}} = 4457018,74 \text{ kg (aksial total lantai)}$$

$$P_{\text{estory}} = R_M \frac{H \cdot L}{\Delta H} = 1 \frac{169229,19 \cdot 450}{0,435} = 175064679,31 \text{ kg}$$

$$B_2 = \frac{c_m}{1 - \frac{\alpha P_{\text{story}}}{P_{\text{estory}}}} = \frac{1}{1 - \frac{1 \cdot 4457018,74}{175064679,31}} = 1,03$$

Maka digunakan  $B_2 = 1,03$

## 3. Momen terfaktor terhadap sumbu Y

$$\begin{aligned} M_{rx} &= B_1 M_{ni} + B_2 M_i \\ &= 1 \times 4307,73 + 1,03 \times 13677,43 \\ &= 14602,16 \text{ kgm} \end{aligned}$$

- Kuat aksial orde kedua

$$\begin{aligned} P_r &= P_{nt} + B_2 P_t = 151025,45 + 1,03 \times 145769,5 \\ &= 300603,118 \text{ kg} \end{aligned}$$

- Kuat interaksi aksial momen

$$\frac{P_r}{P_c} = \frac{P_u}{\emptyset P_n} = \frac{300603,118}{0,9 \times 1657788} = 0,2014$$

Kontrol

$$\frac{P_r}{P_c} \geq 0,2$$

$$0,2014 \geq 0,2 \rightarrow \text{OK}$$

Maka digunakan rumus interaksi pertama sebagai berikut

$$\frac{P_u}{\phi P_n} + \frac{8}{9} \left[ \frac{M_{rx}}{\phi_b M_{cx}} + \frac{M_{ry}}{\phi_b M_{cy}} \right] \leq 1$$

$$0,22 + \frac{8}{9} \left[ \frac{4675164}{14136750} + \frac{1834247}{14136750} \right] \leq 1$$

$$0,61 \leq 1 \rightarrow \text{OK}$$

Hasil kontrol interaksi yaitu  $0,61 \leq 1$ , maka kolom komposit CFT dengan profil HSS 500 x 500 x 22 x 22 dapat digunakan.

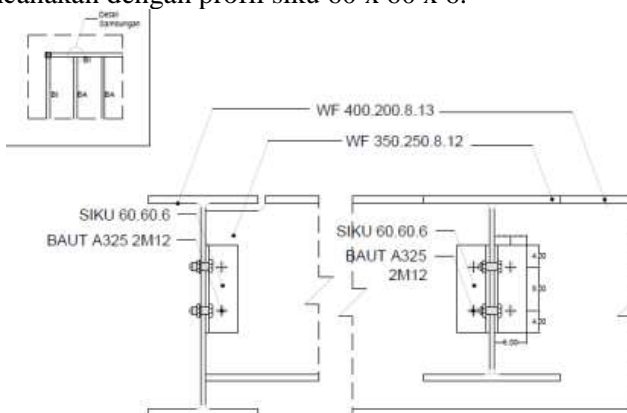
## 4.4 Perencanaan Sambungan

### 4.4.1 Sambungan balok induk dengan balok anak

Sambungan antara balok induk dengan balok anak direncanakan menggunakan baut yang hanya memikul beban geser dari balok anak, karena balok anak yang merupakan struktur sekunder diasumsikan terletak pada tumpuan sederhana (sendi).

#### 4.4.1.1 Lantai gedung

Dari perhitungan sebelumnya diperoleh gaya geser yang bekerja pada balok anak sebesar 6912,525 kg, dengan dimensi balok anak WF 350x250x8x12 dan balok induk WF 400x200x8x13. Pada sambungan ini direncanakan dengan profil siku 60 x 60 x 6.



Gambar IV.67 Sambungan Balok Anak Lantai Gedung Dengan Balok Induk

- Sambungan Pada Badan Balok Anak:

$$\varnothing_{\text{baut}} = 12 \text{ mm}$$

$$A_b = 1,13 \text{ cm}^2$$

$$t_p = 6 \text{ mm} (\text{dari tebal profil L } 60x60x6)$$

Mutu baut A325

$$f_u = 8250 \text{ kg/cm}^2$$

Ultrir tidak pada bidang geser

$$r_1 = 0,5$$

Kuat geser baut:

$$\begin{aligned}\varnothing \cdot V_n &= \varnothing \cdot r_1 \cdot f_u \cdot m \cdot A_b \\ &= 0,75 \cdot 0,5 \cdot 8250 \cdot 2 \cdot 1,13 \\ &= 6997,90 \text{ kg}\end{aligned}$$

Kuat tumpu baut

$$\begin{aligned}\varnothing \cdot R_n &= \varnothing \cdot 2,4 \cdot d_b \cdot t_p \cdot f_u \\ &= 0,75 \cdot 2,4 \cdot 1,2 \cdot 0,6 \cdot 4100 \\ &= 5313,60 \text{ kg} (\text{menentukan})\end{aligned}$$

$$n = V_u / \varnothing R_n = 6912,53 / 5313,60 = 1,30 \approx 2 \text{ buah}$$

Maka dipasang 2 buah baut diameter 12 mm

- Sambungan Pada Badan Balok Induk:

$$\varnothing_{\text{baut}} = 12 \text{ mm} (A_b = 1,13 \text{ cm}^2)$$

Mutu baut A325

Ultrir tidak pada bidang geser ( $r_1 = 0,5$ )

Kuat geser baut:

$$\begin{aligned}\varnothing \cdot V_n &= \varnothing \cdot r_1 \cdot f_u \cdot m \cdot A_b \\ &= 0,75 \cdot 0,5 \cdot 8250 \cdot 1 \cdot 1,13 \\ &= 3498,95 \text{ kg} (\text{menentukan})\end{aligned}$$

Kuat tumpu baut

$$\begin{aligned}\varnothing \cdot R_n &= \varnothing \cdot 2,4 \cdot d_b \cdot t_p \cdot f_u \\ &= 0,75 \cdot 2,4 \cdot 1,2 \cdot 0,6 \cdot 4100 \\ &= 5313,60 \text{ kg}\end{aligned}$$

$$n = V_u / \varnothing R_n = 6912,53 / 3498,95 = 1,98 \approx 2 \text{ buah}$$

Maka dipasang 2 buah baut diameter 12 mm

- Kontrol jarak baut

Jarak ke tepi = 1,5 db s.d (4tp+100 mm) atau 200 mm

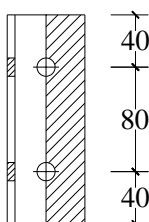
= 18 mm s.d. 124 cm

→ Terpasang = 40mm

Jarak antar baut = 3 db s.d 15 tp atau 200 mm

= 36 mm s.d 90 mm

→ Terpasang = 80mm



Gambar IV.68 Detail Sambungan Baut Pada Pelat Siku

- Kontrol kekuatan siku penyambung

Dipakai siku penyambung 60 x 60 x 6

BJ41 ( $f_u = 4100 \text{ kg/cm}^2$ )

$\varnothing$  lubang = 12 mm + 1,5 mm (lubang dibuat dengan bor)  
= 13,5 mm

Luas bidang geser

$$\begin{aligned} L &= 2 \times S_1 + S = 2 \times 40 + 80 \\ &= 160 \text{ mm} \end{aligned}$$

Luas bidang geser

$$\begin{aligned} Anv &= L_n v \times t_L \\ &= (L - n \times d_1) \times t_L \\ &= (16 - 2 \times 1,35) \times 0,6 \\ &= 7,98 \text{ cm}^2 \end{aligned}$$

Kuat rencana

$$\begin{aligned} \varphi R_n &= \varphi 0,6 \times f_u \times A_{nv} \\ &= 0,75 \times 0,6 \times 4100 \times 7,98 = 14723,1 \text{ Kg} \end{aligned}$$

Terdapat 2 siku, sehingga

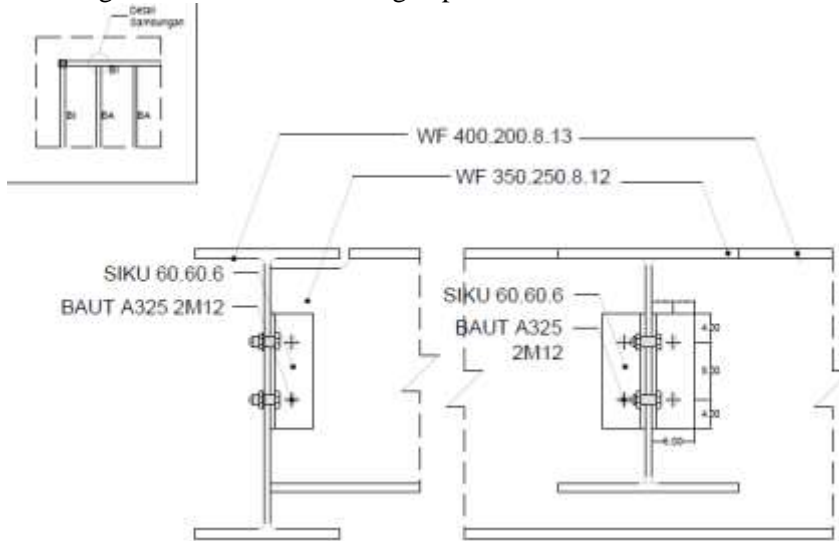
$$2\varphi R_n = 2 \times 14723,1 = 29446,2 \text{ kg}$$

Syarat:

$$V_u \leq 2\varphi R_n \rightarrow 6912,53 \text{ kg} < 29446,2 \text{ kg (OK)}$$

#### 4.4.1.2 Lantai Atap

Dari perhitungan sebelumnya diperoleh gaya geser yang bekerja pada balok anak sebesar 4985,025 kg, dengan dimensi balok anak WF 350 x 250 x 8 x 12 dan balok induk WF 400 x 200 x 8 x 13. Pada sambungan ini direncanakan dengan profil siku 60 x 60 x 6.



Gambar IV.69 Sambungan Balok Anak Lantai Atap Dengan Balok Induk

- Sambungan Pada Badan Balok Anak:

$$\varnothing_{baut} = 12 \text{ mm}$$

$$A_b = 1,13 \text{ cm}^2$$

$$t_p = 6 \text{ mm} \text{ (dari tebal profil L } 60x60x6)$$

Mutu baut A325

$$f_u = 8250 \text{ kg/cm}^2$$

Ultrir tidak pada bidang geser

$$r_1 = 0,5$$

Kuat geser baut:

$$\varnothing \cdot V_n = \varnothing \cdot r_1 \cdot f_u \cdot m \cdot A_b$$

$$\begin{aligned}
 &= 0,75 \cdot 0,5 \cdot 8250 \cdot 2 \cdot 1,13 \\
 &= 6997,90 \text{ kg}
 \end{aligned}$$

Kuat tumpu baut

$$\begin{aligned}
 \varnothing \cdot R_n &= \varnothing \cdot 2,4 \cdot d_b \cdot t_p \cdot f_u \\
 &= 0,75 \cdot 2,4 \cdot 1,2 \cdot 0,6 \cdot 4100 \\
 &= 5313,60 \text{ kg (menentukan)}
 \end{aligned}$$

$$n = V_u / \varnothing R_n = 4985,025 / 5313,60 = 0,94 \approx 2 \text{ buah}$$

Maka dipasang 2 buah baut diameter 12 mm

- Sambungan Pada Badan Balok Induk:

$$\varnothing \text{baut} = 12 \text{ mm } (A_b = 1,13 \text{ cm}^2)$$

Mutu baut A325

Ular tidak pada bidang geser ( $r_1 = 0,5$ )

Kuat geser baut:

$$\begin{aligned}
 \varnothing \cdot V_n &= \varnothing \cdot r_1 \cdot f_u \cdot m \cdot A_b \\
 &= 0,75 \cdot 0,5 \cdot 8250 \cdot 1 \cdot 1,13 \\
 &= 3498,95 \text{ kg (menentukan)}
 \end{aligned}$$

Kuat tumpu baut

$$\begin{aligned}
 \varnothing \cdot R_n &= \varnothing \cdot 2,4 \cdot d_b \cdot t_p \cdot f_u \\
 &= 0,75 \cdot 2,4 \cdot 1,2 \cdot 0,6 \cdot 4100 \\
 &= 5313,60 \text{ kg}
 \end{aligned}$$

$$n = V_u / \varnothing V_n = 4985,025 / 3498,95 = 1,42 \approx 2 \text{ buah}$$

Maka dipasang 2 buah baut diameter 12 mm

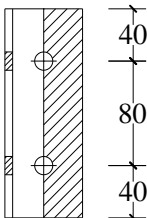
- Kontrol jarak baut

$$\begin{aligned}
 \text{Jarak ke tepi} &= 1,5 \text{ db s.d } (4t_p + 100 \text{ mm}) \text{ atau } 200 \text{ mm} \\
 &= 18 \text{ mm s.d. } 124 \text{ cm} \\
 &\rightarrow \text{Terpasang} = 40 \text{ mm}
 \end{aligned}$$

$$\text{Jarak antar baut} = 3 \text{ db s.d. } 15 \text{ tp atau } 200 \text{ mm}$$

$$= 36 \text{ mm s.d. } 90 \text{ mm}$$

$$\rightarrow \text{Terpasang} = 80 \text{ mm}$$



Gambar IV.70 Detail Sambungan Baut Pada Pelat Siku

Kontrol kekuatan siku penyambung

Dipakai siku penyambung 60 x 60 x 6

BJ41 ( $f_u = 4100 \text{ kg/cm}^2$ )

$$\begin{aligned}\text{Ø lubang} &= 12 \text{ mm} + 1,5 \text{ mm} \text{ (lubang dibuat dengan bor)} \\ &= 13,5 \text{ mm}\end{aligned}$$

Luas bidang geser

$$\begin{aligned}L &= 2 \times S_1 + S = 2 \times 40 + 80 \\ &= 160 \text{ mm}\end{aligned}$$

Luas bidang geser

$$\begin{aligned}Anv &= L_{nv} \times t_L \\ &= (L - n \times d_1) \times t_L \\ &= (16 - 2 \times 1,35) \times 0,6 \\ &= 7,98 \text{ cm}^2\end{aligned}$$

Kuat rencana

$$\begin{aligned}\varphi R_n &= \varphi 0,6 \times f_u \times A_{nv} \\ &= 0,75 \times 0,6 \times 4100 \times 7,98 = 14723,1 \text{ Kg}\end{aligned}$$

Terdapat 2 siku, sehingga

$$2\varphi R_n = 2 \times 14723,1 = 29446,2 \text{ kg}$$

Syarat:

$$V_u \leq 2\varphi R_n \rightarrow 4985,025 \text{ kg} < 29446,2 \text{ kg (OK)}$$

#### 4.4.2 Sambungan balok diluar link dengan kolom

Sambungan pada kolom direncanakan dengan sambungan baut dan las yang memikul beban geser dan momen yang terjadi pada balok di luar link. Perencanaan sambungan ini dianggap sebagai jepit (*rigid connection*).

##### 4.4.2.1 Balok diluar link arah X dengan kolom

Sambungan balok diluar link dengan kolom memikul beban geser  $P_u$  yang di ambil dari perhitungan gaya geser pada sambungan dengan data sebagai berikut:

Balok Diluar Link : WF 400x200x8x13

Kolom : HSS 500x500x22x22

Pelat Penyambung badan :  $t = 12 \text{ mm}$

Pelat Penyambung Sayap :  $t = 25\text{mm}$

Perhitungan gaya geser pada sambungan

-Akibat kapasitas balok induk

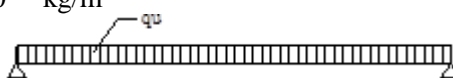
$$\begin{aligned} Mu^* &= 1,1 \times Ry \times Z_x \times F_y \\ &= 1,1 \times 1,5 \times 1286 \times 2500 \\ &= 5304750 \text{ kg cm} \end{aligned}$$

$$\begin{aligned} Vu_1 &= 2 \times Mu/L \\ &= 2 \times 5304750/330 = 32150 \text{ kg} \end{aligned}$$

-Akibat beban kombinasi  $1,2D+0,5L$  dari balok induk

$$qD = 2400,75 \text{ kg/m}$$

$$qL = 1500 \text{ kg/m}$$



Diperoleh  $Vu$  akibat beban kombinasi adalah sebesar :

$$Vu_2 = 6338,72 \text{ kg}$$

$$\begin{aligned} Vu \text{ total} &= 32150 + 6338,72 \\ &= 38586,24 \text{ kg} \end{aligned}$$

Perencanaan kekuatan sambungan baut:

- Kontrol Kuat geser baut pada badan balok  
Pada bidang geser baut tidak ada ulir ( $r_1 = 0,5$ )  
Mutu profil BJ41 ( $f_u = 4100 \text{ kg/cm}^2$ )

Baut tipe tumpu baut 20 mm ( $A_g = 3,14 \text{ cm}^2$ )  
 Mutu baut A490 ( $f_u = 10350 \text{ kg/cm}^2$ )  
 Pelat menggunakan tipe single plate ( $t = 12 \text{ mm}$ )  
 Kuat geser baut:

$$\begin{aligned}\emptyset \cdot V_n &= \emptyset \cdot r_1 \cdot f_u \cdot m \cdot A_b \\ &= 0,75 \cdot 0,5 \cdot 10350 \cdot 1 \cdot 3,14 \\ &= 12193,31 \text{ kg}\end{aligned}$$

Kuat tumpu baut

$$\begin{aligned}\emptyset \cdot R_n &= \emptyset \cdot 2,4 \cdot d_b \cdot t_p \cdot f_u \\ &= 0,75 \cdot 2,4 \cdot 2,0 \cdot 0,8 \cdot 4100 \\ &= 11808 \text{ kg (menentukan)}\end{aligned}$$

Kuat tarik baut:

$$\begin{aligned}T_d &= \emptyset \cdot 0,75 \cdot f_u \cdot A_b \\ &= 0,75 \cdot 0,75 \cdot 10350 \cdot 3,14 \\ &= 18289,96 \text{ kg}\end{aligned}$$

Jumlah Baut

$$n = \frac{V_u}{\emptyset \cdot V_n} = \frac{38586,24}{11808} = 3,27 \approx 4 \text{ buah}$$

Dipasang 4 baut pada satu pelat

Kontrol Jarak Baut

Jarak baut ketepi =  $S_1 = 40 \text{ mm}$

$1,5d_b \leq S_1 \leq 4t_p + 100$

$21 \leq 40 \leq 148 \text{ mm}$

Jarak antar baut =  $S = 80 \text{ mm}$

$3d_b \leq S \leq 15t_p$

$42 \leq 80 \leq 180 \text{ mm}$

Ukuran Plat

Panjang =  $40 + (4-1) \times 80 + 40 = 320 \text{ mm}$

Lebar =  $40 + 40 = 80 \text{ mm}$

- Kontrol Pelat Penyambung

Direncanakan pelat penyambung  $t = 12 \text{ mm}$

Mutu Pelat Baja BJ41 ( $f_u = 4100 \text{ kg/cm}^2$ )

Diameter lubang =  $20 \text{ mm} + 1,5 \text{ mm} = 21,5 \text{ mm}$

(lubang dibuat dengan bor)

$$\begin{aligned}
 A_{nv} &= L_{nv} \cdot t \\
 &= (L - n \cdot \text{diameter lubang}) \times t_p \\
 &= (32 - 4 \times 2,15) \times 1,2 \\
 &= 28,08 \text{ cm}^2
 \end{aligned}$$

$$\begin{aligned}
 \emptyset P_n &= \emptyset \cdot (0,6 \cdot f_u \cdot A_{nv}) \\
 &= 0,9 \times 0,6 \times 4100 \times 28,08 \\
 &= 62169,12 \text{ kg}
 \end{aligned}$$

Kontrol

$$\begin{aligned}
 \emptyset P_n &> V_{u \text{ total}} \\
 62169,12 \text{ kg} &> 38586,24 \text{ kg} \rightarrow \text{OK}
 \end{aligned}$$

- Perencanaan kekuatan sambungan las pada badan balok

Direncanakan las dengan  $t_e = 1 \text{ cm}$

Mutu las yang digunakan  $F_{E110xx}$

$$\begin{aligned}
 A_1 &= t_e \cdot (2 \cdot d_{plat}) \\
 &= 1 \times 2 \times (32) \\
 &= 64 \text{ cm}^2
 \end{aligned}$$

$$\begin{aligned}
 I_x &= \left( \frac{32x(3x0,8^2x32^2)}{6} \right) \\
 &= 10485,76 \text{ cm}^4
 \end{aligned}$$

$$S_x = \left( \frac{32^3}{3} \right) = 10922,67 \text{ cm}^3$$

Akibat geser beban sentris

$$f_v = \frac{P_u}{A} = \frac{38586,24}{64} = 602,91 \text{ kg/cm}^2$$

Akibat beban momen lentur

$f_h = 0$ , karena tidak terpengaruh gaya momen pada badan balok.

$$\begin{aligned}
 f_{\text{total}} &= \sqrt{f_v^2 + f_h^2} = \sqrt{602,91^2 + 0} \\
 &= 602,91 \text{ kg/cm}^2
 \end{aligned}$$

$$F_u \text{ las} = 0,75 \times 0,6 \times 110 \times 70,3 = 3479,85 \text{ kg/cm}^2$$

$$f_{\text{total}} < F_u \text{ las} \rightarrow 602,91 \text{ kg/cm}^2 < 3479,85 \text{ kg/cm}^2 \rightarrow \text{OK}$$

$$t_e = \frac{f_{\text{total}}}{f_{u \text{ las}}} = \frac{602,91}{3479,85} = 0,173 \text{ cm}$$

$$a = \frac{te}{0,707} = \frac{0,173}{0,707} = 0,245 \text{ cm}$$

Syarat

$a_{\min} = 5 \text{ mm}$

Maka, digunakan las sudut dengan ketebalan 5 mm

- Sambungan pada *diaphragm plate* dengan Kolom Las tumpul penetrasi penuh tebal = 2,5 cm FE110xx  

$$\begin{aligned} f_u \text{ las} &= 0,75 \times 0,6 \times 70,3 \times 110 \times 2,5 \\ &= 8699,625 \text{ kg/cm}^2 \end{aligned}$$

Mutu Pelat diaphragma plate BJ41

$$F_y = 2500 \text{ kg/cm}^2$$

$$F_u = 4100 \text{ kg/cm}^2$$

Mutu pelat diaphragm menentukan

$$T = \frac{Mu}{d} = \frac{5304750}{40} = 132618,8 \text{ kg}$$

Kekuatan rencana las tumpul penetrasi penuh

$$\begin{aligned} R_u &= 0,9 \times t_e \times d \times f_y \\ &= 0,9 \times 2,5 \times 50 \times 2500 = 281250 \text{ kg} \end{aligned}$$

Kontrol

$$\begin{array}{ccc} T & < & R_u \\ 132618,8 \text{ kg} & < & 281250 \text{ kg} \end{array} \rightarrow \text{OK}$$

- Sambungan pada *diaphragm plate* dengan sayap balok  
Kontrol Kuat geser baut

Pada bidang geser baut tidak ada ulir ( $r_1 = 0,5$ )

Mutu profil BJ41 ( $f_u = 4100 \text{ kg/cm}^2$ )

Baut tipe tumpu baut 20 mm ( $A_g = 3,14 \text{ cm}^2$ )

Mutu baut A490 ( $f_u = 10350 \text{ kg/cm}^2$ )

Pelat menggunakan tipe single plate ( $t = 25 \text{ mm}$ )

Kuat geser baut:

$$\begin{aligned} \emptyset \cdot V_n &= \emptyset \cdot r_1 \cdot f_u \cdot m \cdot A_b \\ &= 0,75 \cdot 0,5 \cdot 10350 \cdot 1 \cdot 3,14 \\ &= 12193,31 \text{ kg} \text{ (menentukan)} \end{aligned}$$

Kuat tumpu baut

$$\begin{aligned}\varnothing \cdot R_n &= \varnothing \cdot 2,4 \cdot d_b \cdot t_p \cdot f_u \\ &= 0,75 \cdot 2,4 \cdot 2 \cdot 1,3 \cdot 4100 \\ &= 19188 \text{ kg}\end{aligned}$$

Jumlah Baut

$$n = \frac{V_u}{\varnothing \cdot V_n} = \frac{132618,8}{12193,31} = 10,88 \approx 12 \text{ buah}$$

Kontrol Jarak Baut

Jarak baut ketepi =  $S_1 = 40 \text{ mm}$

$$\begin{aligned}1,5d_b &\leq S_1 \leq 4t_p + 100 \\ 27 &\leq 40 \leq 200 \text{ mm}\end{aligned}$$

Jarak antar baut =  $S = 60 \text{ mm}$

$$\begin{aligned}3d_b &\leq S \leq 15t_p \\ 54 &\leq 60 \leq 375 \text{ mm}\end{aligned}$$

Ukuran Plat

$$\text{Panjang} = 40 + (12/2-1) \times 60 + 40 = 380 \text{ mm}$$

$$\text{Lebar} = 200 \text{ mm}$$

- Kekuatan Pelat Diafragma  
Dipakai baut tipe tumpu 20 mm  
 $D = 2,15 \text{ cm}$   
Mutu pelat baja BJ41( $f_u = 4100 \text{ kg/cm}^2$ ,  $f_y = 2500 \text{ kg/cm}^2$ )  
 $t_{\text{plat}} = 2,5 \text{ cm}$

### Kontrol Terhadap Geser

$$\begin{aligned}A_n &= 2 (38 - 6 \times 2,15) \times 2,5 \\ &= 125,5 \text{ cm}^2\end{aligned}$$

Terhadap patah

$$\begin{aligned}T &\leq \varnothing \cdot 0,6 \cdot A_n \cdot F_u \\ 132618,8 &\leq 0,9 \times 0,6 \times 4100 \times 125,5 \\ 132618,8 &\leq 277857 \text{ kg... (OK)}$$

### Kontrol Terhadap Tarik

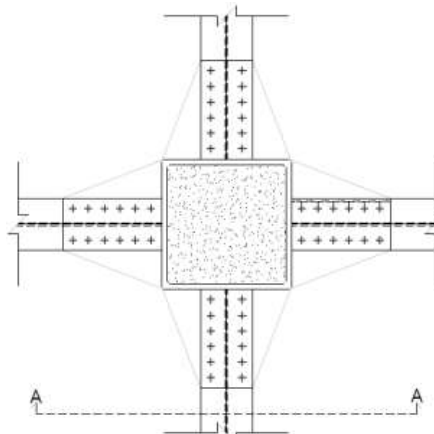
Leleh

$$A_g = 50 \times 2,5 = 125 \text{ cm}^2$$

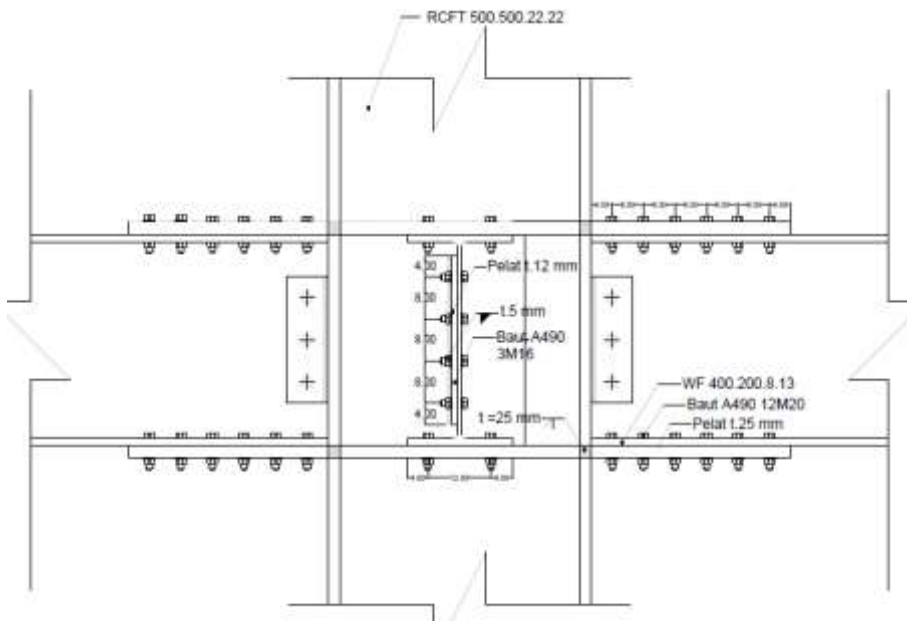
$$\begin{aligned}T &\leq 0,9 \cdot Ag \cdot Fu \\132618,8 &\leq 0,9 \times 125 \times 4100 \\132618,8 &\leq 281250 \text{ kg... (OK)}\end{aligned}$$

Putus

$$\begin{aligned}Am &= (50 - 2 \times 2,15) \times 2,5 = 114,25 \\T &\leq 0,75 \cdot An \cdot Fu \\132618,8 &\leq 0,75 \times 114,25 \times 4100 \\132618,8 &\leq 351318,8 \text{ kg... (OK)}\end{aligned}$$



Gambar IV.71 Tampak Atas Sambungan Balok WF 400x200x8x13 dengan Kolom HSS 500x500x22x22



Gambar IV.72 Detail Sambungan Sambungan Balok WF 400x200x8x13 dengan Kolom HSS 500x500x22x22

#### 4.4.2.2 Balok diluar link arah Y dengan kolom

Sambungan balok diluar link dengan kolom memikul beban geser  $P_u$  yang di ambil dari perhitungan gaya geser pada sambungan dengan data sebagai berikut:

Balok Diluar Link : WF 400x200x8x13

Kolom : HSS 500x500x22x22

Pelat Penyambung badan :  $t = 12 \text{ mm}$

Pelat Penyambung Sayap :  $t = 25\text{mm}$

Perhitungan gaya geser pada sambungan

-Akibat kapasitas balok induk

$$\begin{aligned} Mu^* &= 1,1 \times Ry \times Zx \times F_y \\ &= 1,1 \times 1,5 \times 1286 \times 2500 \\ &= 5304750 \text{ kg cm} \end{aligned}$$

$$\begin{aligned}V_{u1} &= 2 \times M_u / L \\&= 2 \times 5304750 / 330 = 32150 \text{ kg}\end{aligned}$$

-Akibat beban kombinasi  $1,2D+0,5L$  dari balok induk

$$q_D = 2400,75 \text{ kg/m}$$

$$q_L = 1500 \text{ kg/m}$$



Diperoleh  $V_u$  akibat beban kombinasi adalah sebesar :

$$V_{u2} = 6338,72 \text{ kg}$$

$$\begin{aligned}V_u \text{ total} &= 32150 + 6338,72 \\&= 38586,24 \text{ kg}\end{aligned}$$

Perencanaan kekuatan sambungan baut:

- Kontrol Kuat geser baut pada badan balok

Pada bidang geser baut tidak ada ulir ( $r_1 = 0,5$ )

Mutu profil BJ41 ( $f_u = 4100 \text{ kg/cm}^2$ )

Baut tipe tumpu baut 20 mm ( $A_g = 3,14 \text{ cm}^2$ )

Mutu baut A490 ( $f_u = 10350 \text{ kg/cm}^2$ )

Pelat menggunakan tipe single plate ( $t = 12 \text{ mm}$ )

Kuat geser baut:

$$\begin{aligned}\emptyset \cdot V_n &= \emptyset \cdot r_1 \cdot f_u \cdot m \cdot A_b \\&= 0,75 \cdot 0,5 \cdot 10350 \cdot 1 \cdot 3,14 \\&= 12193,31 \text{ kg}\end{aligned}$$

Kuat tumpu baut

$$\begin{aligned}\emptyset \cdot R_n &= \emptyset \cdot 2,4 \cdot d_b \cdot t_p \cdot f_u \\&= 0,75 \cdot 2,4 \cdot 2,0 \cdot 0,8 \cdot 4100 \\&= 11808 \text{ kg (menentukan)}$$

Kuat tarik baut:

$$\begin{aligned}T_d &= \emptyset \cdot 0,75 \cdot f_u \cdot A_b \\&= 0,75 \cdot 0,75 \cdot 10350 \cdot 3,14 \\&= 18289,96 \text{ kg}\end{aligned}$$

Jumlah Baut

$$n = \frac{V_u}{\emptyset \cdot V_n} = \frac{38586,24}{11808} = 3,27 \approx 4 \text{ buah}$$

Dipasang 4 baut pada satu pelat

### Kontrol Jarak Baut

Jarak baut ketepi =  $S_1 = 40 \text{ mm}$

$$1,5db \leq S_1 \leq 4tp + 100$$

$$21 \leq 40 \leq 148 \text{ mm}$$

Jarak antar baut =  $S = 80 \text{ mm}$

$$3db \leq S \leq 15tp$$

$$42 \leq 80 \leq 180 \text{ mm}$$

### Ukuran Plat

$$\text{Panjang} = 40 + (4-1) \times 80 + 40 = 320 \text{ mm}$$

$$\text{Lebar} = 40 + 40 = 80 \text{ mm}$$

- Kontrol Pelat Penyambung

Direncanakan pelat penyambung  $t = 12 \text{ mm}$

Mutu Pelat Baja BJ41 ( $f_u = 4100 \text{ kg/cm}^2$ )

Diameter lubang =  $20 \text{ mm} + 1,5 \text{ mm} = 21,5 \text{ mm}$

(lubang dibuat dengan bor)

$$A_{nv} = L_{nv} \cdot t$$

$$= (L - n \cdot \text{diameter lubang}) \times tp$$

$$= (32 - 4 \times 2,15) \times 1.2$$

$$= 28,08 \text{ cm}^2$$

$$\emptyset P_n = \emptyset \cdot (0,6 \cdot f_u \cdot A_{nv})$$

$$= 0,9 \times 0,6 \times 4100 \times 28,08$$

$$= 62169,12 \text{ kg}$$

### Kontrol

$$\emptyset P_n > V_{u \text{ total}}$$

$$62169,12 \text{ kg} > 38586,24 \text{ kg} \rightarrow \text{OK}$$

- Perencanaan kekuatan sambungan las pada badan balok

Direncanakan las dengan  $te = 1 \text{ cm}$

Mutu las yang digunakan  $F_{E110xx}$

$$A_l = te \cdot (2 \cdot d_{plat})$$

$$= 1 \times 2 \times (32)$$

$$= 64 \text{ cm}^2$$

$$I_x = \left( \frac{32 \times (3 \times 0,8^2 \times 32^2)}{6} \right)$$

$$= 10485,76 \text{ cm}^4$$

$$S_x = \left(\frac{32^3}{3}\right) = 10922,67 \text{ cm}^3$$

Akibat geser beban sentris

$$f_v = \frac{P_u}{A} = \frac{38586,24}{64} = 602,91 \text{ kg/cm}^2$$

Akibat beban momen lentur

$f_h = 0$ , karena tidak terpengaruh gaya momen pada badan balok.

$$\begin{aligned} f_{\text{total}} &= \sqrt{f_v^2 + f_h^2} = \sqrt{602,91^2 + 0} \\ &= 602,91 \text{ kg/cm}^2 \end{aligned}$$

$$F_u \text{ las} = 0,75 \times 0,6 \times 110 \times 70,3 = 3479,85 \text{ kg/cm}^2$$

$$f_{\text{total}} < F_u \text{ las} \rightarrow 602,91 \text{ kg/cm}^2 < 3479,85 \text{ kg/cm}^2 \rightarrow \text{OK}$$

$$t_e = \frac{f_{\text{total}}}{f_{u \text{ las}}} = \frac{602,91}{3479,85} = 0,173 \text{ cm}$$

$$a = \frac{t_e}{0,707} = \frac{0,173}{0,707} = 0,245 \text{ cm}$$

Syarat

$$a \min = 5 \text{ mm}$$

Maka, digunakan las sudut dengan ketebalan 5 mm

- Sambungan pada *diaphragm plate* dengan Kolom  
Las tumpul penetrasi penuh tebal = 2,5 cm FE110xx  
 $f_u \text{ las} = 0,75 \times 0,6 \times 70,3 \times 110 \times 2,5$   
 $= 8699,625 \text{ kg/cm}^2$

Mutu Pelat diaphragma plate BJ41

$$F_y = 2500 \text{ kg/cm}^2$$

$$F_u = 4100 \text{ kg/cm}^2$$

Mutu pelat diaphragm menentukan

$$T = \frac{Mu}{d} = \frac{5304750}{40} = 132618,8 \text{ kg}$$

Kekuatan rencana las tumpul penetrasi penuh

$$\begin{aligned} R_u &= 0,9 \times t_e \times d \times f_y \\ &= 0,9 \times 2,5 \times 50 \times 2500 = 281250 \text{ kg} \end{aligned}$$

Kontrol

$$\begin{array}{ccc} T & < & Ru \\ 132618,8 \text{ kg} & < & 281250 \text{ kg} \end{array} \rightarrow \text{OK}$$

- Sambungan pada *diaphragm plate* dengan sayap balok  
Kontrol Kuat geser baut

Pada bidang geser baut tidak ada ulir ( $r_1 = 0,5$ )

Mutu profil BJ41 ( $f_u = 4100 \text{ kg/cm}^2$ )

Baut tipe tumpu baut 20 mm ( $A_g = 3,14 \text{ cm}^2$ )

Mutu baut A490 ( $f_u = 10350 \text{ kg/cm}^2$ )

Pelat menggunakan tipe single plate ( $t = 25 \text{ mm}$ )

Kuat geser baut:

$$\begin{aligned} \varnothing \cdot V_n &= \varnothing \cdot r_1 \cdot f_u \cdot m \cdot A_b \\ &= 0,75 \cdot 0,5 \cdot 10350 \cdot 1 \cdot 3,14 \\ &= 12193,31 \text{ kg (menentukan)} \end{aligned}$$

Kuat tumpu baut

$$\begin{aligned} \varnothing \cdot R_n &= \varnothing \cdot 2,4 \cdot d_b \cdot t_p \cdot f_u \\ &= 0,75 \cdot 2,4 \cdot 2 \cdot 1,3 \cdot 4100 \\ &= 19188 \text{ kg} \end{aligned}$$

Jumlah Baut

$$n = \frac{V_u}{\varnothing \cdot V_n} = \frac{132618,8}{12193,31} = 10,88 \approx 12 \text{ buah}$$

Kontrol Jarak Baut

Jarak baut ketepi =  $S_1 = 40 \text{ mm}$

$1,5d_b \leq S_1 \leq 4t_p + 100$

$27 \leq 40 \leq 200 \text{ mm}$

Jarak antar baut =  $S = 60 \text{ mm}$

$3d_b \leq S \leq 15t_p$

$54 \leq 60 \leq 375 \text{ mm}$

Ukuran Plat

Panjang =  $40 + (12/2-1) \times 60 + 40 = 380 \text{ mm}$

Lebar =  $200 \text{ mm}$

- Kekuatan Pelat Diafragma  
Dipakai baut tipe tumpu 20 mm  
D perlemahan = 2,15 cm  
Mutu pelat baja BJ41( $f_u = 4100 \text{ kg/cm}^2$ ,  $f_y = 2500 \text{ kg/cm}^2$ )  
 $t_{\text{plat}} = 2,5 \text{ cm}$

### **Kontrol Terhadap Geser**

$$A_n = 2 (38 - 6 \times 2,15) \times 2,5 \\ = 125,5 \text{ cm}^2$$

Terhadap patah

$$T \leq \emptyset \cdot 0,6 \cdot A_n \cdot F_u \\ 132618,8 \leq 0,9 \times 0,6 \times 4100 \times 125,5 \\ 132618,8 \leq 277857 \text{ kg... (OK)}$$

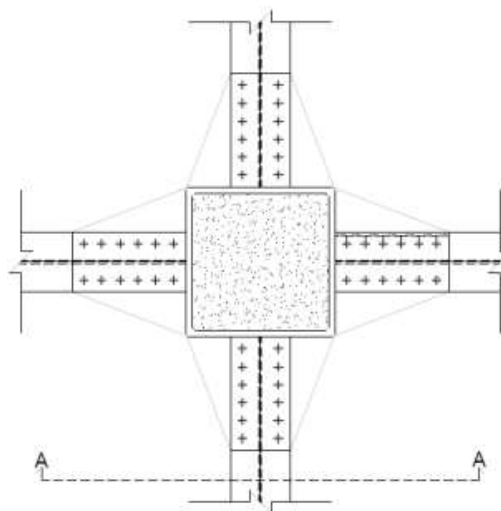
### **Kontrol Terhadap Tarik**

Leleh

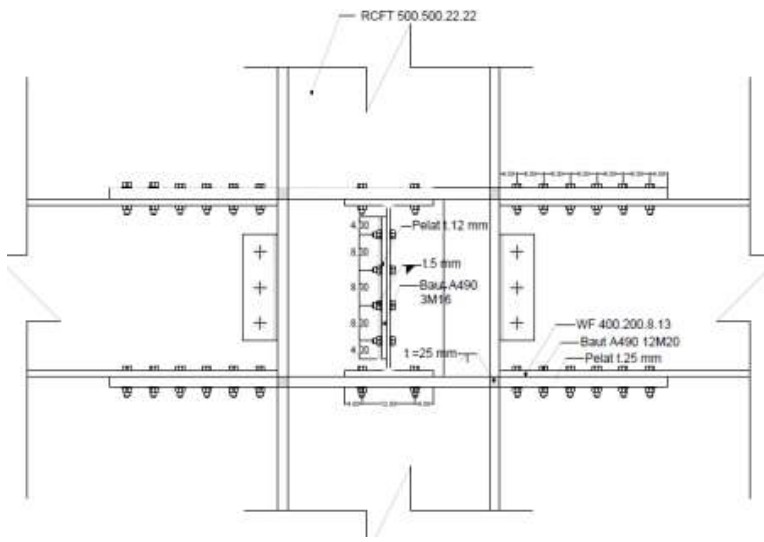
$$A_g = 50 \times 2,5 = 125 \text{ cm}^2 \\ T \leq 0,9 \cdot A_g \cdot F_u \\ 132618,8 \leq 0,9 \times 125 \times 4100 \\ 132618,8 \leq 281250 \text{ kg... (OK)}$$

Putus

$$A_m = (50 - 2 \times 2,15) \times 2,5 = 114,25 \\ T \leq 0,75 \cdot A_m \cdot F_u \\ 132618,8 \leq 0,75 \times 114,25 \times 4100 \\ 132618,8 \leq 351318,8 \text{ kg... (OK)}$$



Gambar IV.73 Tampak Atas Sambungan Balok WF 400x200x8x13 dengan Kolom HSS 500x500x22x22



Gambar IV.74 Detail Sambungan Sambungan Balok WF 400x200x8x13 dengan Kolom HSS 500x500x22x22

#### 4.4.3 Sambungan bresing

##### 4.4.3.1 Sambungan bresing arah X

Sesuai peraturan SNI 03 – 1729 – 2002 butir 15.13.6.4 mengenai kuat perlu sambungan batang bresing ke balok, harus ditentukan lebih besar atau sama dengan kuat nominal batang bresing yaitu 1,25. Ry.Vn.

$$V_u = 1,25 \times R_y \times V_n$$

$V_n$  = Kuat geser nominal link, diambil yang terkecil dari  $V_p$  atau  $2M_p/e$

$$\begin{aligned} V_p &= 0,6 \cdot f_y \cdot (d - 2 \cdot t_f) \cdot t_w \\ &= 0,6 \cdot 2500 \cdot (40 - 2 \cdot 1,3) \cdot 0,8 \\ &= 44880 \text{ kg (menentukan)} \end{aligned}$$

$$\frac{2M_p}{e} = \frac{2 \cdot Z_x \cdot f_y}{e} = \frac{2 \cdot 1286 \cdot 2500}{90} = 71444 \text{ kg}$$

$$V_n = 44880 \text{ kg}$$

$$\begin{aligned} V_u &= 1,25 \cdot R_y \cdot V_n \\ &= 1,25 \cdot 1,5 \cdot 44880 \\ &= 84150 \text{ kg} \end{aligned}$$

$$P_u = V_u / \sin \alpha = 84150 / 0,81 = 104352 \text{ kg}$$

Data Profil :

- Bresing : WF 200x200x12x12
- Balok Diluar Link : WF 400x200x8x13
- Siku penyambung sayap : L 80x80x8
- Pelat :  $t = 8 \text{ mm}$
- Pelat buhul :  $t = 12 \text{ mm}$
- Sambungan pada batang bresing

Kuat geser baut

Pada bidang geser baut tidak ada ulir ( $r_1 = 0,5$ )

Mutu profil BJ41 ( $f_u = 4100 \text{ kg/cm}^2$ )

Baut tipe tumpu baut 1,6 cm ( $A_g = 2,01 \text{ cm}^2$ )

Mutu baut A490 ( $f_u = 10350 \text{ kg/cm}^2$ )

Tebal plat buhul = 15 mm

- Kuat Geser Baut

$$\begin{aligned} \Phi \cdot V_n &= \Phi \cdot (r_1 f_{ub}) \cdot m \cdot A_b \\ &= 0,75 \cdot (0,5 \cdot 10350) \cdot 2 \cdot 2,01 \\ &= 7803,72 \text{ kg ... (menentukan)} \end{aligned}$$

- Kuat tumpu baut

$$\begin{aligned}\Phi \cdot R_n &= \Phi \cdot 2,4 \cdot db \cdot tp \cdot fu \\ &= 0,75 \cdot 2,4 \cdot 1,6 \cdot 0,8 \cdot 4100 \\ &= 9446,40 \text{ kg}\end{aligned}$$

- Jumlah baut

$$n = \frac{Vu}{\varphi \cdot V_n} = \frac{104352}{7803,72} = 13,37 \approx 14 \text{ buah}$$

Dengan pembagian:

- Pada sayap bresing ( $m=1$ ) 2 buah 4 sisi = 8 buah
- Pada badan bresing ( $m=2$ ) 6 buah 1 sisi = 6 buah

- Kontrol jarak baut

Jarak baut ketepi =  $S_1 = 30 \text{ mm}$

$$1,5db \leq S_1 \leq 4tp + 100$$

$$24 \leq 30 \leq 132 \text{ mm}$$

Jarak antar baut =  $S = 60 \text{ mm}$

$$3db \leq S \leq 15tp$$

$$48 \leq 60 \leq 120 \text{ mm}$$

Ukuran Plat

$$\begin{aligned}\text{Panjang pelat badan} &= 30 + (6/2-1) \times 60 + 30 \\ &= 180 \text{ mm}\end{aligned}$$

$$\begin{aligned}\text{Lebar pelat badan} &= 2 \times 30 + \{(6/3)-1\} \times 60 \\ &= 120 \text{ mm}\end{aligned}$$

- Sambungan plat bukul dengan kolom

Bahan las sudut yang digunakan adalah E<sub>110xx</sub>

Tebal efektif las sudut rencana te = 1 cm

Kuat nominal las sudut

$$\begin{aligned}\varnothing \cdot R_{nw} &= 0,75 \cdot te \cdot (0,6 \cdot f_{uw}) \\ &= 0,75 \cdot 1 \cdot 0,6 \cdot 110 \cdot 70,3 \\ &= 3479,85 \text{ kg/cm}^2\end{aligned}$$

$$\begin{aligned}L &= \sqrt{(b)^2 + (h)^2} = \sqrt{(330)^2 + (450)^2} \\ &= 558,03 \text{ mm}\end{aligned}$$

Tegangan yang terjadi pada las sudut

$$L = 558,03 \text{ mm} \quad h = 450 \text{ mm} \quad b = 330 \text{ mm}$$

$$\begin{aligned}\cos \alpha &= 330/558,03 & = 0,591 \\ \sin \alpha &= 450/558,03 & = 0,806 \\ \text{Pu Cos } \alpha &= 0,591 \times 104352,03 = 61710 \text{ kg} \\ \text{Pu Sin } \alpha &= 0,806 \times 104352,03 = 84150 \text{ kg}\end{aligned}$$

$$\begin{aligned}A &= 2 \times t_e \times L = 2 \times 1 \times (62,62 + 30,19) = 185,62 \text{ cm}^2 \\ I_p &= 2 \times \left[ \frac{(62,62 + 30,19)^4 - 6 \times 62,62^2 \times 30,19^2}{12 \times (62,62 \times 30,19)} \right] \\ &= 94730,93 \text{ cm}^4 \\ x &= \left[ \frac{30,19}{2 \times (62,62 \times 30,19)} \right] = 4,91 \text{ cm} \\ y &= \left[ \frac{62,62}{2 \times (62,62 \times 30,19)} \right] = 21,13 \text{ cm}\end{aligned}$$

Akibat Pu

$$\begin{aligned}f_h &= \frac{61710}{185,62} = 332,45 \text{ kg/cm}^2 \\ f_v &= \frac{61710}{185,62} = 453,34 \text{ kg/cm}^2\end{aligned}$$

Akibat Mmax

$$\begin{aligned}f_h &= \frac{3215000 \times 21,13}{94730,93} = 716,95 \text{ kg/cm}^2 \\ f_v &= \frac{3215000 \times 4,91}{94730,93} = 166,644 \text{ kg/cm}^2\end{aligned}$$

$$\begin{aligned}f_{total} &= \sqrt{\left( \sum f_v \right)^2 + \left( \sum f_h \right)^2} \\ &= \sqrt{(166,644 + 453,34)^2 + (716,95 + 332,45)^2} \\ &= 1218,87 \text{ kg/cm}^2\end{aligned}$$

Tebal efektif las sudut

$$t_e = \frac{f_{total}}{\emptyset \cdot R_{nw}} = \frac{1218,87}{3479,85} = 0,35 \text{ cm}$$

$$a = \frac{t_e}{0,707} = \frac{0,35}{0,707} = 0,49 \text{ cm}$$

Sehingga dipakai las dengan  $a = 0,5 \text{ cm}$

- Sambungan plat bukul dengan balok link

Bahan las sudut yang digunakan adalah E110xx. Tebal efektif las sudut rencana  $t_e = 1 \text{ cm}$

Kuat nominal las sudut

$$\begin{aligned}\emptyset \cdot R_{nw} &= 0,75 \cdot t_e \cdot (0,6 \cdot f_{uw}) \\ &= 0,75 \cdot 1 \cdot 0,6 \cdot 110 \cdot 70,3 \\ &= 3479,85 \text{ kg/cm}^2\end{aligned}$$

Luas las sudut

$$A_{las} = 2 \cdot (45) = 90 \text{ cm}^2$$

$$S_x = 2 \left[ \frac{45^2}{6} \right] = 675 \text{ cm}^4$$

Tegangan yang terjadi pada las sudut

$$f_v = \frac{104352}{90} = 1159,47 \text{ kg/cm}^2$$

Tegangan yang terjadi pada las sudut akibat  $M_{max}$

$$f_h = \frac{3215000}{675} = 4762,96 \text{ kg/cm}^2$$

$$\begin{aligned}f_{total} &= \sqrt{(\sum f_v)^2 + (\sum f_h)^2} \\ &= \sqrt{(1159,47)^2 + (4762,96)^2} \\ &= 4902,06 \text{ kg/cm}^2\end{aligned}$$

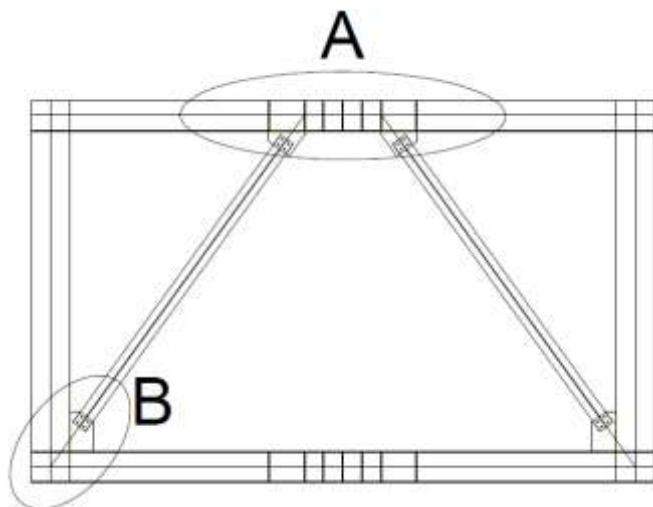
Tebal efektif las sudut

$$t_e = \frac{f_{total}}{\emptyset \cdot R_{nw}} = \frac{4902,06}{3479,85} = 1,409 \text{ cm}$$

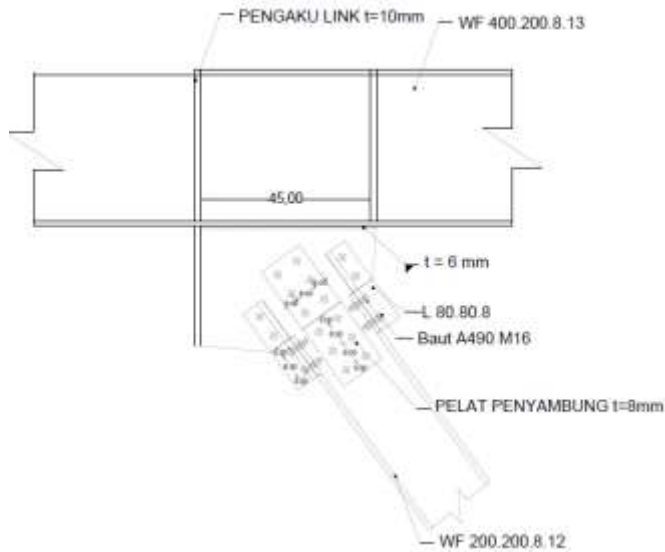
$$a = \frac{t_e}{0,707} = \frac{1,409}{0,707} = 1,99 \text{ cm}$$

$$a_{min} = 0,5 \text{ cm}$$

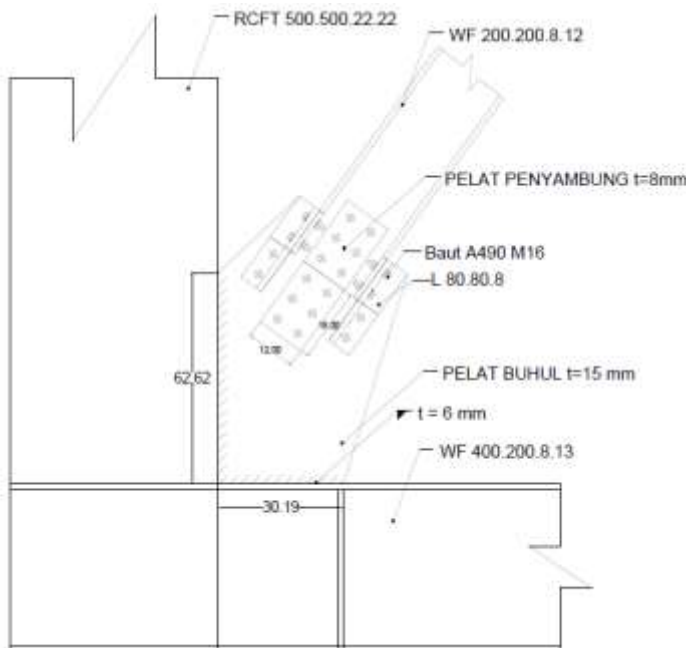
Sehingga dipakai las dengan  $a = 2 \text{ cm}$



Gambar IV.75 Sambungan Bracing



Gambar IV.76 Detail A Sambungan Bracing



Gambar IV.77 Detail B Sambungan Bracing

#### 4.4.3.2 Sambungan bresing arah Y

Sesuai peraturan SNI 03 – 1729 – 2002 butir 15.13.6.4 mengenai kuat perlu sambungan batang bresing ke balok, harus ditentukan lebih besar atau sama dengan kuat nominal batang bresing yaitu  $1,25 \cdot R_y \cdot V_n$ .

$$V_u = 1,25 \times R_y \times V_n$$

$V_n$  = Kuat geser nominal link, diambil yang terkecil dari  $V_p$  atau  $2M_p/e$

$$\begin{aligned} V_p &= 0,6 \cdot f_y \cdot (d - 2 \cdot t_f) \cdot t_w \\ &= 0,6 \cdot 2500 \cdot (40 - 2 \cdot 1,3) \cdot 0,8 \\ &= 44880 \text{ kg (menentukan)} \end{aligned}$$

$$\frac{2M_p}{e} = \frac{2 \cdot Z_x \cdot f_y}{e} = \frac{2 \cdot 1286 \cdot 2500}{90} = 71444 \text{ kg}$$

$$V_n = 44880 \text{ kg}$$

$$V_u = 1,25 \cdot R_y \cdot V_n$$

$$\begin{aligned}
 &= 1,25 \cdot 1,5 \cdot 44880 \\
 &= 84150 \text{ kg}
 \end{aligned}$$

$$Pu = Vu / \sin \alpha = 84150 / 0.81 = 104352 \text{ kg}$$

Data Profil :

- Bresing : WF 200x200x12x12
- Balok Diluar Link : WF 400x200x8x13
- Siku penyambung sayap : L 80x80x8
- Pelat :  $t = 8 \text{ mm}$
- Pelat buhul :  $t = 12 \text{ mm}$
- Sambungan pada batang bresing  
Kuat geser baut

Pada bidang geser baut tidak ada ulir ( $r_1 = 0,5$ )

Mutu profil BJ41 ( $f_u = 4100 \text{ kg/cm}^2$ )

Baut tipe tumpu baut 1,6 cm ( $A_g = 2,01 \text{ cm}^2$ )

Mutu baut A490 ( $f_u = 10350 \text{ kg/cm}^2$ )

Tebal plat buhul = 15 mm

- Kuat Geser Baut

$$\begin{aligned}
 \Phi \cdot V_n &= \Phi \cdot (r_1 f_{ub}) \cdot m \cdot A_b \\
 &= 0,75 \cdot (0,5 \cdot 10350) \cdot 2 \cdot 2,01 \\
 &= 7803,72 \text{ kg} \dots (\text{menentukan})
 \end{aligned}$$

- Kuat tumpu baut

$$\begin{aligned}
 \Phi \cdot R_n &= \Phi \cdot 2,4 \cdot d_b \cdot t_p \cdot f_u \\
 &= 0,75 \cdot 2,4 \cdot 1,6 \cdot 0,8 \cdot 4100 \\
 &= 9446,40 \text{ kg}
 \end{aligned}$$

- Jumlah baut

$$n = \frac{Vu}{\varphi \cdot V_n} = \frac{104352}{7803,72} = 13,37 \approx 14 \text{ buah}$$

Dengan pembagian:

- Pada sayap bresing ( $m=1$ ) 2 buah 4 sisi = 8 buah
- Pada badan bresing ( $m=2$ ) 6 buah 1 sisi = 6 buah

- Kontrol jarak baut

Jarak baut ketepi =  $S_1 = 30 \text{ mm}$

$$1,5d_b \leq S_1 \leq 4t_p + 100$$

$$24 \leq 30 \leq 132 \text{ mm}$$

Jarak antar baut =  $S = 60 \text{ mm}$

$$3db \leq S \leq 15tp$$

$$48 \leq 60 \leq 120 \text{ mm}$$

Ukuran Plat

$$\begin{aligned} \text{Panjang pelat badan} &= 30 + (6/2-1) \times 60 + 30 \\ &= 180 \text{ mm} \end{aligned}$$

$$\begin{aligned} \text{Lebar pelat badan} &= 2 \times 30 + \{(6/3)-1\} \times 60 \\ &= 120 \text{ mm} \end{aligned}$$

- Sambungan plat bukul dengan kolom

Bahan las sudut yang digunakan adalah E<sub>110xx</sub>

Tebal efektif las sudut rencana te = 1 cm

Kuat nominal las sudut

$$\begin{aligned} \varnothing \cdot R_{nw} &= 0,75 \cdot te \cdot (0,6 \cdot f_{uw}) \\ &= 0,75 \cdot 1 \cdot 0,6 \cdot 110 \cdot 70,3 \\ &= 3479,85 \text{ kg/cm}^2 \end{aligned}$$

$$\begin{aligned} L &= \sqrt{(b)^2 + (h)^2} = \sqrt{(330)^2 + (450)^2} \\ &= 558,03 \text{ mm} \end{aligned}$$

Tegangan yang terjadi pada las sudut

$$L = 558,03 \text{ mm} \quad h = 450 \text{ mm} \quad b = 330 \text{ mm}$$

$$\cos \alpha = 330/558,03 = 0,591$$

$$\sin \alpha = 450/558,03 = 0,806$$

$$P_u \cos \alpha = 0,591 \times 104352,03 = 61710 \text{ kg}$$

$$P_u \sin \alpha = 0,806 \times 104352,03 = 84150 \text{ kg}$$

$$A = 2 \times te \times L = 2 \times 1 \times (62,62 + 30,19) = 185,62 \text{ cm}^2$$

$$\begin{aligned} I_p &= 2 \times \left[ \frac{(62,62 + 30,19)^4 - 6 \times 62,62^2 \times 30,19^2}{12 \times (62,62 \times 30,19)} \right] \\ &= 94730,93 \text{ cm}^4 \end{aligned}$$

$$x = \left[ \frac{30,19}{2 \times (62,62 \times 30,19)} \right] = 4,91 \text{ cm}$$

$$y = \left[ \frac{62,62}{2 \times (62,62 \times 30,19)} \right] = 21,13 \text{ cm}$$

Akibat Pu

$$f_h = \frac{61710}{185,62} = 332,45 \text{ kg/cm}^2$$

$$f_v = \frac{61710}{185,62} = 453,34 \text{ kg/cm}^2$$

Akibat Mmax

$$f_h = \frac{3215000 \times 21,13}{94730,93} = 716,95 \text{ kg/cm}^2$$

$$f_v = \frac{3215000 \times 4,91}{94730,93} = 166,644 \text{ kg/cm}^2$$

$$\begin{aligned} f_{total} &= \sqrt{\left(\sum f_v\right)^2 + \left(\sum f_h\right)^2} \\ &= \sqrt{(166,644 + 453,34)^2 + (716,95 + 332,45)^2} \\ &= 1218,87 \text{ kg/cm}^2 \end{aligned}$$

Tebal efektif las sudut

$$t_e = \frac{f_{total}}{\emptyset \cdot R_{nw}} = \frac{1218,87}{3479,85} = 0,35 \text{ cm}$$

$$a = \frac{t_e}{0,707} = \frac{0,35}{0,707} = 0,49 \text{ cm}$$

Sehingga dipakai las dengan a = 0,5 cm

- Sambungan plat bukul dengan balok link

Bahan las sudut yang digunakan adalah E110xx. Tebal efektif las sudut rencana  $t_e = 1 \text{ cm}$

Kuat nominal las sudut

$$\begin{aligned} \emptyset \cdot R_{nw} &= 0,75 \cdot t_e \cdot (0,6 \cdot f_{uw}) \\ &= 0,75 \cdot 1 \cdot 0,6 \cdot 110 \cdot 70,3 \\ &= 3479,85 \text{ kg/cm}^2 \end{aligned}$$

Luas las sudut

$$A_{las} = 2 \cdot (45) = 90 \text{ cm}^2$$

$$S_x = 2 \left[ \frac{45^2}{6} \right] = 675 \text{ cm}^4$$

Tegangan yang terjadi pada las sudut

$$f_v = \frac{104352}{90} = 1159,47 \text{ kg/cm}^2$$

Tegangan yang terjadi pada las sudut akibat Mmax

$$f_h = \frac{3215000}{675} = 4762,96 \text{ kg/cm}^2$$

$$\begin{aligned} f_{\text{total}} &= \sqrt{(\sum f_v)^2 + (\sum f_h)^2} \\ &= \sqrt{(1159,47)^2 + (4762,96)^2} \\ &= 4902,06 \text{ kg/cm}^2 \end{aligned}$$

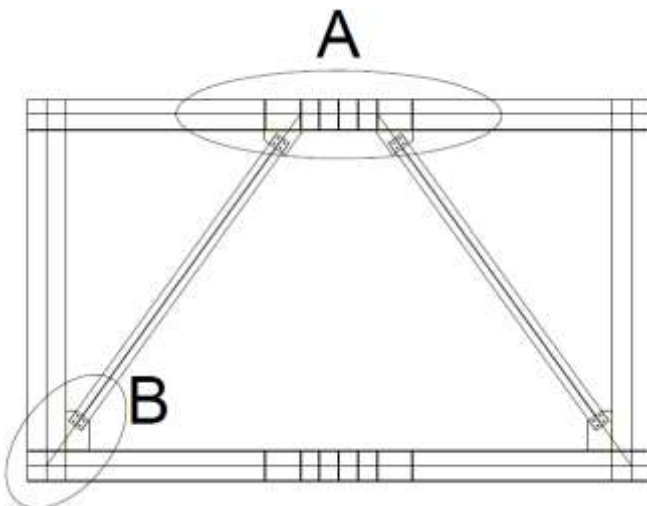
Tebal efektif las sudut

$$t_e = \frac{f_{\text{total}}}{\emptyset R_{nw}} = \frac{4902,06}{3479,85} = 1,409 \text{ cm}$$

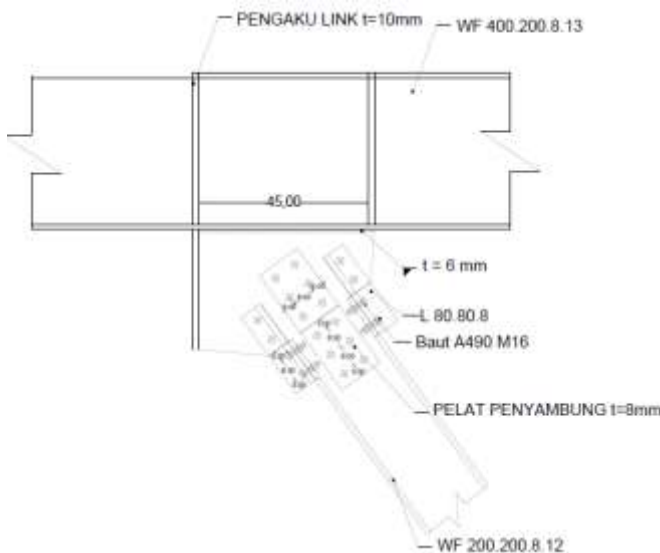
$$a = \frac{t_e}{0,707} = \frac{1,409}{0,707} = 1,99 \text{ cm}$$

$$a_{\min} = 0,5 \text{ cm}$$

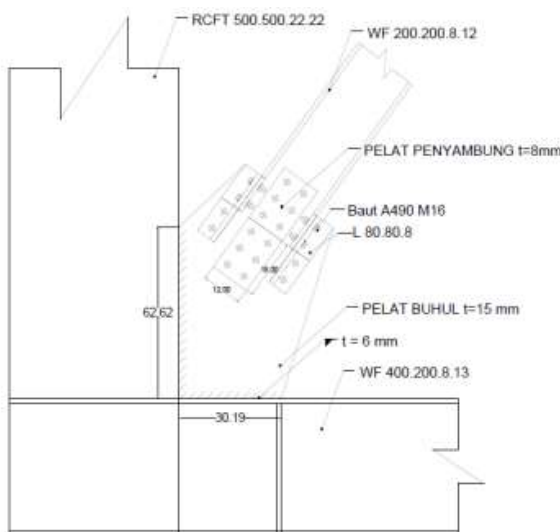
Sehingga dipakai las dengan  $a = 2 \text{ cm}$



Gambar IV.78 Sambungan Bracing



Gambar IV.79 Detail A Sambungan Bracing



Gambar IV.80 Detail B Sambungan Bracing

#### 4.4.4 Sambungan balok induk dengan kolom

##### 4.4.4.1 Sambungan balok induk X dengan kolom

Sambungan balok induk X dengan kolom memikul beban geser  $P_u$  yang di ambil dari perhitungan gaya geser pada sambungan dengan data sebagai berikut:

Balok Induk X : WF 400x200x8x13

Kolom : HSS 500x500x22x22

Pelat Penyambung badan :  $t = 12 \text{ mm}$

Pelat Penyambung Sayap :  $t = 25 \text{ mm}$

Bentang Balok :  $L = 750 \text{ cm}$

Perhitungan gaya geser pada sambungan

-Akibat kapasitas balok induk

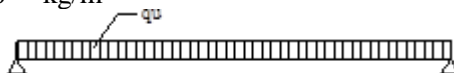
$$\begin{aligned} Mu^* &= 1,1 \times Ry \times Zx \times F_y \\ &= 1,1 \times 1,5 \times 1286 \times 2500 \\ &= 5304750 \text{ kg cm} \end{aligned}$$

$$\begin{aligned} Vu_1 &= 2 \times Mu/L \\ &= 2 \times 5304750/750 = 14146 \text{ kg} \end{aligned}$$

-Akibat beban kombinasi  $1,2D+0,5L$  dari balok induk

$$qD = 2400,75 \text{ kg/m}$$

$$qL = 1500 \text{ kg/m}$$



Diperoleh  $V_u$  akibat beban kombinasi adalah sebesar :

$$Vu_2 = 14627,81 \text{ kg}$$

$$\begin{aligned} Vu \text{ total} &= 14146 + 14627,81 \\ &= 28773,81 \text{ kg} \end{aligned}$$

Perencanaan kekuatan sambungan baut:

- Kontrol Kuat geser baut pada badan balok

Pada bidang geser baut tidak ada ulir ( $r_1 = 0,5$ )

Mutu profil BJ41 ( $f_u = 4100 \text{ kg/cm}^2$ )

Baut tipe tumpu baut 20 mm ( $A_g = 3,14 \text{ cm}^2$ )

Mutu baut A490 ( $f_u = 10350 \text{ kg/cm}^2$ )

Pelat menggunakan tipe single plate ( $t = 12 \text{ mm}$ )

Kuat geser baut:

$$\begin{aligned}\emptyset \cdot V_n &= \emptyset \cdot r_1 \cdot f_u \cdot m \cdot A_b \\ &= 0,75 \cdot 0,5 \cdot 10350 \cdot 1 \cdot 3,14 \\ &= 12193,31 \text{ kg}\end{aligned}$$

Kuat tumpu baut

$$\begin{aligned}\emptyset \cdot R_n &= \emptyset \cdot 2,4 \cdot d_b \cdot t_p \cdot f_u \\ &= 0,75 \cdot 2,4 \cdot 2,0 \cdot 0,8 \cdot 4100 \\ &= 11808 \text{ kg (menentukan)}\end{aligned}$$

Kuat tarik baut:

$$\begin{aligned}T_d &= \emptyset \cdot 0,75 \cdot f_u \cdot A_b \\ &= 0,75 \cdot 0,75 \cdot 10350 \cdot 3,14 \\ &= 18289,96 \text{ kg}\end{aligned}$$

Jumlah Baut

$$n = \frac{V_u}{\emptyset \cdot V_n} = \frac{28773,81}{11808} = 2,44 \approx 3 \text{ buah}$$

Dipasang 3 baut pada satu pelat

Kontrol Jarak Baut

Jarak baut ketepi =  $S_1 = 40 \text{ mm}$

$1,5d_b \leq S_1 \leq 4t_p + 100$

$21 \leq 40 \leq 148 \text{ mm}$

Jarak antar baut =  $S = 80 \text{ mm}$

$3d_b \leq S \leq 15t_p$

$42 \leq 80 \leq 180 \text{ mm}$

Ukuran Plat

Panjang =  $40 + (3-1) \times 80 + 40 = 240 \text{ mm}$

Lebar =  $40 + 40 = 80 \text{ mm}$

- Kontrol Pelat Penyambung

Direncanakan pelat penyambung  $t = 12 \text{ mm}$

Mutu Pelat Baja BJ41 ( $f_u = 4100 \text{ kg/cm}^2$ )

Diameter lubang =  $20 \text{ mm} + 1,5 \text{ mm} = 21,5 \text{ mm}$

(lubang dibuat dengan bor)

$$A_{nv} = L_{nv} \cdot t$$

$$= (L - n \cdot \text{diameter lubang}) \times t_p$$

$$= (24 - 3 \times 2,15) \times 1,2$$

$$= 21,06 \text{ cm}^2$$

$$\varnothing P_n = \varnothing \cdot (0,6 \cdot f_u \cdot A_{nv})$$

$$= 0,9 \times 0,6 \times 4100 \times 21,06$$

$$= 46626,84 \text{ kg}$$

Kontrol

$$\varnothing P_n > V_{u \text{ total}}$$

$$46626,84 \text{ kg} > 28773,81 \text{ kg} \rightarrow \text{OK}$$

- Perencanaan kekuatan sambungan las pada badan balok

Direncanakan las dengan  $t_e = 1 \text{ cm}$

Mutu las yang digunakan  $F_{E110xx}$

$$A_l = t_e \cdot (2 \cdot d_{plat})$$

$$= 1 \times 2 \times (24)$$

$$= 48 \text{ cm}^2$$

$$I_x = \left( \frac{24x(3x0,8^2x24^2)}{6} \right)$$

$$= 4423,68 \text{ cm}^4$$

$$S_x = \left( \frac{24^3}{3} \right) = 4608 \text{ cm}^3$$

Akibat geser beban sentris

$$f_v = \frac{P_u}{A} = \frac{28773,81}{48} = 599,45 \text{ kg/cm}^2$$

Akibat beban momen lentur

$f_h = 0$ , karena tidak terpengaruh gaya momen pada badan balok.

$$f_{\text{total}} = \sqrt{f_v^2 + f_h^2} = \sqrt{599,45^2 + 0}$$

$$= 599,45 \text{ kg/cm}^2$$

$$F_u \text{ las} = 0,75 \times 0,6 \times 110 \times 70,3 = 3479,85 \text{ kg/cm}^2$$

$$f_{\text{total}} < F_u \text{ las} \rightarrow 599,45 \text{ kg/cm}^2 < 3479,85 \text{ kg/cm}^2 \rightarrow \text{OK}$$

$$t_e = \frac{f_{\text{total}}}{f_{u \text{ las}}} = \frac{599,45}{3479,85} = 0,172 \text{ cm}$$

$$a = \frac{t_e}{0,707} = \frac{0,172}{0,707} = 0,244 \text{ cm}$$

Syarat

$$a \min = 5 \text{ mm}$$

Maka, digunakan las sudut dengan ketebalan 5 mm

- Sambungan pada *diaphragm plate* dengan Kolom Las tumpul penetrasi penuh tebal = 2,5 cm FE110xx  

$$\begin{aligned} f_u \text{ las} &= 0,75 \times 0,6 \times 70,3 \times 110 \times 2,5 \\ &= 8699,625 \text{ kg/cm}^2 \end{aligned}$$

Mutu Pelat diaphragma plate BJ41

$$\begin{aligned} F_y &= 2500 \text{ kg/cm}^2 \\ F_u &= 4100 \text{ kg/cm}^2 \end{aligned}$$

Mutu pelat diaphragm menentukan

$$T = \frac{Mu}{d} = \frac{5304750}{40} = 132618,8 \text{ kg}$$

Kekuatan rencana las tumpul penetrasi penuh

$$\begin{aligned} R_u &= 0,9 \times t_e \times d \times f_y \\ &= 0,9 \times 2,5 \times 50 \times 2500 = 281250 \text{ kg} \end{aligned}$$

Kontrol

$$\begin{array}{ccc} T & < & R_u \\ 132618,8 \text{ kg} & < & 281250 \text{ kg} \end{array} \rightarrow \text{OK}$$

- Sambungan pada *diaphragm plate* dengan sayap balok  
 Kontrol Kuat geser baut

Pada bidang geser baut tidak ada ulir ( $r_1 = 0,5$ )

Mutu profil BJ41 ( $f_u = 4100 \text{ kg/cm}^2$ )

Baut tipe tumpu baut 20 mm ( $A_g = 3,14 \text{ cm}^2$ )

Mutu baut A490 ( $f_u = 10350 \text{ kg/cm}^2$ )

Pelat menggunakan tipe single plate ( $t = 25 \text{ mm}$ )

Kuat geser baut:

$$\begin{aligned} \emptyset \cdot V_n &= \emptyset \cdot r_1 \cdot f_u \cdot m \cdot A_b \\ &= 0,75 \cdot 0,5 \cdot 10350 \cdot 1 \cdot 3,14 \\ &= 12193,31 \text{ kg (menentukan)} \end{aligned}$$

Kuat tumpu baut

$$\begin{aligned} \emptyset \cdot R_n &= \emptyset \cdot 2,4 \cdot d_b \cdot t_p \cdot f_u \\ &= 0,75 \cdot 2,4 \cdot 2 \cdot 1,3 \cdot 4100 \\ &= 19188 \text{ kg} \end{aligned}$$

Jumlah Baut

$$n = \frac{V_u}{\emptyset \cdot V_n} = \frac{132618,8}{12193,31} = 10,88 \approx 12 \text{ buah}$$

#### Kontrol Jarak Baut

Jarak baut ketepi =  $S_1 = 40 \text{ mm}$

$$1,5db \leq S_1 \leq 4tp + 100$$

$$27 \leq 40 \leq 200 \text{ mm}$$

Jarak antar baut =  $S = 60 \text{ mm}$

$$3db \leq S \leq 15tp$$

$$54 \leq 60 \leq 375 \text{ mm}$$

#### Ukuran Plat

$$\text{Panjang} = 40 + (12/2-1) \times 60 + 40 = 380 \text{ mm}$$

$$\text{Lebar} = 200 \text{ mm}$$

- Kekuatan Pelat Diafragma  
Dipakai baut tipe tumpu 20 mm  
 $D \text{ perlemahan} = 2,15 \text{ cm}$   
Mutu pelat baja BJ41( $f_u = 4100 \text{ kg/cm}^2$ ,  $f_y = 2500 \text{ kg/cm}^2$ )  
 $t \text{ plat} = 2,5 \text{ cm}$

#### Kontrol Terhadap Geser

$$A_n = 2 (38 - 6 \times 2,15) \times 2,5 \\ = 125,5 \text{ cm}^2$$

Terhadap patah

$$T \leq \emptyset \cdot 0,6 \cdot A_n \cdot F_u \\ 132618,8 \leq 0,9 \times 0,6 \times 4100 \times 125,5 \\ 132618,8 \leq 277857 \text{ kg... (OK)}$$

#### Kontrol Terhadap Tarik

Leleh

$$A_g = 50 \times 2,5 = 125 \text{ cm}^2 \\ T \leq 0,9 \cdot A_g \cdot F_u \\ 132618,8 \leq 0,9 \times 125 \times 4100 \\ 132618,8 \leq 281250 \text{ kg... (OK)}$$

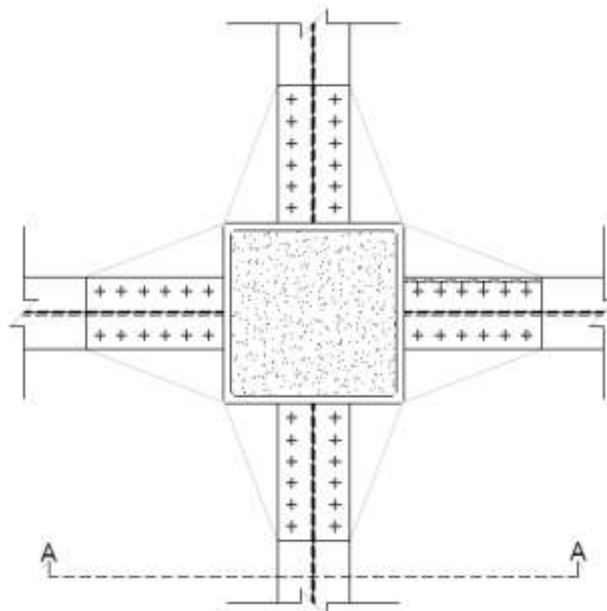
Putus

$$A_m = (50 - 2 \times 2,15) \times 2,5 = 114,25$$

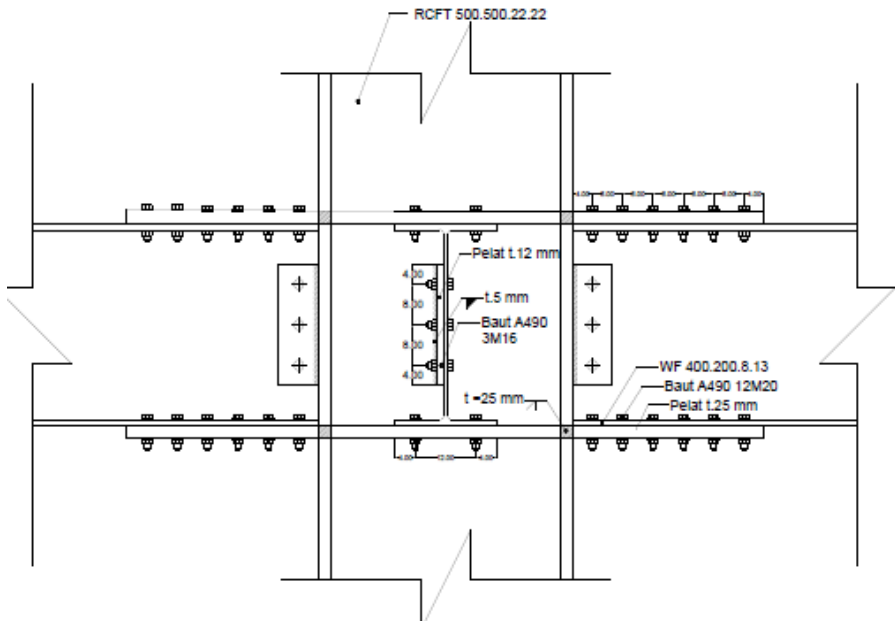
$$T \leq 0,75 \cdot A_m \cdot F_u$$

$$132618,8 \leq 0,75 \times 114,25 \times 4100$$

$$132618,8 \leq 351318,8 \text{ kg... (OK)}$$



Gambar IV.81 Tampak Atas Sambungan Balok WF 400x200x8x12 dengan Kolom HSS 500x500x22x22



Gambar IV.82 Detail Sambungan Sambungan Balok WF 400x200x8x13 dengan Kolom HSS 500x500x22x22

#### 4.4.6.2 Sambungan balok induk Y dengan kolom

Sambungan balok diluar link dengan kolom memikul beban geser Pu yang di ambil dari perhitungan gaya geser pada sambungan dengan data sebagai berikut:

Balok Induk Y : WF 400x200x8x13

Kolom : HSS 500x500x22x22

Pelat Penyambung badan :  $t = 12 \text{ mm}$

Pelat Penyambung Sayap :  $t = 25 \text{ mm}$

Bentang Balok :  $L = 750 \text{ cm}$

Perhitungan gaya geser pada sambungan

-Akibat kapasitas balok induk

$$\text{Mu}^* = 1,1 \times R_y \times Z_x \times F_y$$

$$\begin{aligned}
 &= 1,1 \times 1,5 \times 1286 \times 2500 \\
 &= 5304750 \text{ kg cm} \\
 \text{Vu}_1 &= 2 \times \text{Mu/L} \\
 &= 2 \times 5304750/750 = 14146 \text{ kg}
 \end{aligned}$$

-Akibat beban kombinasi  $1,2D+0,5L$  dari balok induk

$$qD = 2400,75 \text{ kg/m}$$

$$qL = 1500 \text{ kg/m}$$



Diperoleh Vu akibat beban kombinasi adalah sebesar :

$$\text{Vu}_2 = 14627,81 \text{ kg}$$

$$\begin{aligned}
 \text{Vu total} &= 14146 + 14627,81 \\
 &= 28773,81 \text{ kg}
 \end{aligned}$$

Perencanaan kekuatan sambungan baut:

- Kontrol Kuat geser baut pada badan balok

Pada bidang geser baut tidak ada ulir ( $r_1 = 0,5$ )

Mutu profil BJ41 ( $f_u = 4100 \text{ kg/cm}^2$ )

Baut tipe tumpu baut 20 mm ( $A_g = 3,14 \text{ cm}^2$ )

Mutu baut A490 ( $f_u = 10350 \text{ kg/cm}^2$ )

Pelat menggunakan tipe single plate ( $t = 12 \text{ mm}$ )

Kuat geser baut:

$$\begin{aligned}
 \text{Ø.Vn} &= \text{Ø} \cdot r_1 \cdot f_u \cdot m \cdot A_b \\
 &= 0,75 \cdot 0,5 \cdot 10350 \cdot 1 \cdot 3,14 \\
 &= 12193,31 \text{ kg}
 \end{aligned}$$

Kuat tumpu baut

$$\begin{aligned}
 \text{Ø.Rn} &= \text{Ø} \cdot 2,4 \cdot d_b \cdot t_p \cdot f_u \\
 &= 0,75 \cdot 2,4 \cdot 2,0 \cdot 0,8 \cdot 4100 \\
 &= 11808 \text{ kg (menentukan)}
 \end{aligned}$$

Kuat tarik baut:

$$\begin{aligned}
 \text{Td} &= \text{Ø} \cdot 0,75 \cdot f_u \cdot A_b \\
 &= 0,75 \cdot 0,75 \cdot 10350 \cdot 3,14 \\
 &= 18289,96 \text{ kg}
 \end{aligned}$$

Jumlah Baut

$$n = \frac{V_u}{\emptyset \cdot V_n} = \frac{28773,81}{11808} = 2,44 \approx 3 \text{ buah}$$

Dipasang 3 baut pada satu pelat

Kontrol Jarak Baut

Jarak baut ketepi =  $S_1 = 40 \text{ mm}$

$1,5db \leq S_1 \leq 4tp + 100$

$21 \leq 40 \leq 148 \text{ mm}$

Jarak antar baut =  $S = 80 \text{ mm}$

$3db \leq S \leq 15tp$

$42 \leq 80 \leq 180 \text{ mm}$

Ukuran Plat

Panjang =  $40 + (3-1) \times 80 + 40 = 240 \text{ mm}$

Lebar =  $40 + 40 = 80 \text{ mm}$

- Kontrol Pelat Penyambung

Direncanakan pelat penyambung  $t = 12 \text{ mm}$

Mutu Pelat Baja BJ41 ( $f_u = 4100 \text{ kg/cm}^2$ )

Diameter lubang =  $20 \text{ mm} + 1,5 \text{ mm} = 21,5 \text{ mm}$

(lubang dibuat dengan bor)

$$A_{nv} = L_{nv} \cdot t$$

$$= (L - n \cdot \text{diameter lubang}) \times tp$$

$$= (24 - 3 \times 2,15) \times 1,2$$

$$= 21,06 \text{ cm}^2$$

$$\emptyset P_n = \emptyset \cdot (0,6 \cdot f_u \cdot A_{nv})$$

$$= 0,9 \times 0,6 \times 4100 \times 21,06$$

$$= 46626,84 \text{ kg}$$

Kontrol

$$\emptyset P_n > V_{u \text{ total}}$$

$$46626,84 \text{ kg} > 28773,81 \text{ kg} \rightarrow \text{OK}$$

- Perencanaan kekuatan sambungan las pada badan balok

Direncanakan las dengan  $te = 1 \text{ cm}$

Mutu las yang digunakan  $F_{E110xx}$

$$A_l = te \cdot (2 \cdot d_{plat})$$

$$= 1 \times 2 \times (24)$$

$$\begin{aligned}
 &= 48 \text{ cm}^2 \\
 I_x &= \left( \frac{24x(3x0,8^2x24^2)}{6} \right) \\
 &= 4423,68 \text{ cm}^4 \\
 S_x &= \left( \frac{24^3}{3} \right) = 4608 \text{ cm}^3
 \end{aligned}$$

Akibat geser beban sentris

$$f_v = \frac{P_u}{A} = \frac{28773,81}{48} = 599,45 \text{ kg/cm}^2$$

Akibat beban momen lentur

$f_h = 0$ , karena tidak terpengaruh gaya momen pada badan balok.

$$\begin{aligned}
 f_{\text{total}} &= \sqrt{f_v^2 + f_h^2} = \sqrt{599,45^2 + 0} \\
 &= 599,45 \text{ kg/cm}^2
 \end{aligned}$$

$$F_u \text{ las} = 0,75 \times 0,6 \times 110 \times 70,3 = 3479,85 \text{ kg/cm}^2$$

$$f_{\text{total}} < F_u \text{ las} \rightarrow 599,45 \text{ kg/cm}^2 < 3479,85 \text{ kg/cm}^2 \rightarrow \text{OK}$$

$$\begin{aligned}
 t_e &= \frac{f_{\text{total}}}{f_{u_{\text{las}}}} = \frac{599,45}{3479,85} = 0,172 \text{ cm} \\
 a &= \frac{t_e}{0,707} = \frac{0,172}{0,707} = 0,244 \text{ cm}
 \end{aligned}$$

Syarat

$$a \text{ min} = 5 \text{ mm}$$

Maka, digunakan las sudut dengan ketebalan 5 mm

- Sambungan pada *diaphragm plate* dengan Kolom  
Las tumpul penetrasi penuh tebal = 2,5 cm FE110xx  
 $f_u \text{ las} = 0,75 \times 0,6 \times 70,3 \times 110 \times 2,5$   
 $= 8699,625 \text{ kg/cm}^2$

Mutu Pelat diaphragma plate BJ41

$$\begin{aligned}
 F_y &= 2500 \text{ kg/cm}^2 \\
 F_u &= 4100 \text{ kg/cm}^2
 \end{aligned}$$

Mutu pelat diaphragm menentukan

$$T = \frac{Mu}{d} = \frac{5304750}{40} = 132618,8 \text{ kg}$$

Kekuatan rencana las tumpul penetrasi penuh

$$\begin{aligned} Ru &= 0,9 \times te \times d \times fy \\ &= 0,9 \times 2,5 \times 50 \times 2500 = 281250 \text{ kg} \end{aligned}$$

Kontrol

$$\begin{array}{ccc} T & < & Ru \\ 132618,8 \text{ kg} & < & 281250 \text{ kg} \end{array} \rightarrow \text{OK}$$

- Sambungan pada *diaphragm plate* dengan sayap balok  
Kontrol Kuat geser baut

Pada bidang geser baut tidak ada ulir ( $r_1 = 0,5$ )

Mutu profil BJ41 ( $fu = 4100 \text{ kg/cm}^2$ )

Baut tipe tumpu baut 20 mm ( $Ag = 3,14 \text{ cm}^2$ )

Mutu baut A490 ( $fu = 10350 \text{ kg/cm}^2$ )

Pelat menggunakan tipe single plate ( $t = 25 \text{ mm}$ )

Kuat geser baut:

$$\begin{aligned} \emptyset \cdot Vn &= \emptyset \cdot r_1 \cdot fu \cdot m \cdot Ab \\ &= 0,75 \cdot 0,5 \cdot 10350 \cdot 1 \cdot 3,14 \\ &= 12193,31 \text{ kg (menentukan)} \end{aligned}$$

Kuat tumpu baut

$$\begin{aligned} \emptyset \cdot Rn &= \emptyset \cdot 2,4 \cdot db \cdot tp \cdot fu \\ &= 0,75 \cdot 2,4 \cdot 2 \cdot 1,3 \cdot 4100 \\ &= 19188 \text{ kg} \end{aligned}$$

Jumlah Baut

$$n = \frac{Vu}{\emptyset \cdot Vn} = \frac{132618,8}{12193,31} = 10,88 \approx 12 \text{ buah}$$

Kontrol Jarak Baut

Jarak baut ketepi =  $S1 = 40 \text{ mm}$

$1,5db \leq S1 \leq 4tp + 100$

$27 \leq 40 \leq 200 \text{ mm}$

Jarak antar baut =  $S = 60 \text{ mm}$

$3db \leq S \leq 15tp$

$54 \leq 60 \leq 375 \text{ mm}$

Ukuran Plat

Panjang =  $40 + (12/2-1) \times 60 + 40 = 380 \text{ mm}$

Lebar =  $200 \text{ mm}$

- Kekuatan Pelat Diafragma  
Dipakai baut tipe tumpu 20 mm  
 $D = 2,15 \text{ cm}$   
Mutu pelat baja BJ41( $f_u = 4100 \text{ kg/cm}^2$ ,  $f_y = 2500 \text{ kg/cm}^2$ )  
 $t_{\text{plat}} = 2,5 \text{ cm}$

### Kontrol Terhadap Geser

$$A_n = 2 (38 - 6 \times 2,15) \times 2,5 \\ = 125,5 \text{ cm}^2$$

Terhadap patah

$$T \leq \phi \cdot 0,6 \cdot A_n \cdot f_u \\ 132618,8 \leq 0,9 \times 0,6 \times 4100 \times 125,5 \\ 132618,8 \leq 277857 \text{ kg... (OK)}$$

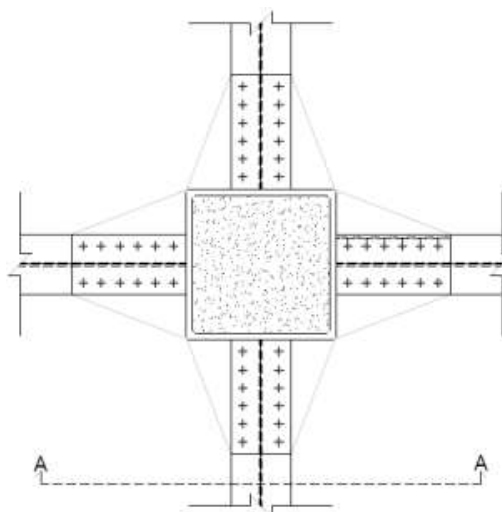
### Kontrol Terhadap Tarik

Leleh

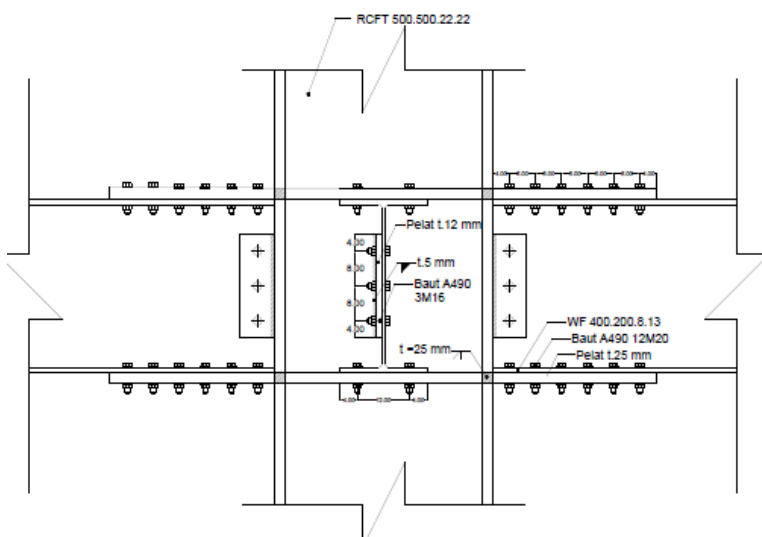
$$A_g = 50 \times 2,5 = 125 \text{ cm}^2 \\ T \leq 0,9 \cdot A_g \cdot f_u \\ 132618,8 \leq 0,9 \times 125 \times 4100 \\ 132618,8 \leq 281250 \text{ kg... (OK)}$$

Putus

$$A_m = (50 - 2 \times 2,15) \times 2,5 = 114,25 \\ T \leq 0,75 \cdot A_m \cdot f_u \\ 132618,8 \leq 0,75 \times 114,25 \times 4100 \\ 132618,8 \leq 351318,8 \text{ kg... (OK)}$$



Gambar IV.83 Tampak Atas Sambungan Balok WF 400x200x8x12 dengan Kolom HSS 500x500x22x22



Gambar IV.84 Detail Sambungan Sambungan Balok WF 400x200x8x12 dengan Kolom HSS 500x500x22x22

#### 4.4.5 Sambungan antar kolom

Kolom disambung menggunakan sambungan las sudut dan pelat tambahan dengan tebal 40 mm. Profil kolom yang digunakan yaitu HSS 500x500x22.

- Hasil Output ETABS 2016

$$P_u = 152599 \text{ kg}$$

$$M_{u_x} = 15155,6 \text{ kgm}$$

$$M_{u_y} = 15155,6 \text{ kgm}$$

$$V_u = 6130,11 \text{ kg}$$

Misal  $t_e = 1 \text{ cm}$

$$A_{las} = 4 \times (1 \times 50) = 200 \text{ cm}^2$$

$$I_x = \frac{(b+d)^3}{6} = \frac{(50+50)^3}{6} = 166666,67 \text{ cm}^4$$

$$I_y = \frac{(b+d)^3}{6} = \frac{(50+50)^3}{6} = 166666,67 \text{ cm}^4$$

$$S_x = b \times d + \left( \frac{d^2}{3} \right) = 50 \times 50 + \left( \frac{50^2}{3} \right) = 3333,3 \text{ cm}^3$$

$$S_y = b \times d + \left( \frac{d^2}{3} \right) = 50 \times 50 + \left( \frac{50^2}{3} \right) = 3333,3 \text{ cm}^3$$

$$\begin{aligned} f_{u_{las}} &= \emptyset \times 0,6 \times F_{E110xx} \times t_e \\ &= 0,75 \times 0,6 \times 110 \times 70,3 \times 1 \\ &= 3479,85 \text{ kg/cm}^2 \end{aligned}$$

- Akibat  $P_u$

$$\begin{aligned} f_v &= \frac{P_u}{A} + \frac{M_{u_x}}{S_x} + \frac{M_{u_y}}{S_y} \\ &= \frac{152599}{200} + \frac{15156}{3333,3} + \frac{15156}{3333,3} \\ &= 772,09 \text{ kg/cm}^2 \end{aligned}$$

- Akibat  $V_u$

$$f_h = \frac{V_u}{A} = \frac{6130,1}{200} = 30,65 \text{ kg/cm}^2$$

$$f_{total} = \sqrt{(f_h)^2 + (f_y)^2}$$

$$f_{total} = \sqrt{(30,65)^2 + (772,09)^2} = 772,695 \text{ kg/cm}^2$$

$$te = \frac{f_{total}}{fu_{las}} = \frac{772,695}{3479,85} = 0,22 \text{ cm}$$

$$a = \frac{te}{0,707} = \frac{0,22}{0,707} = 0,31 \text{ cm}$$

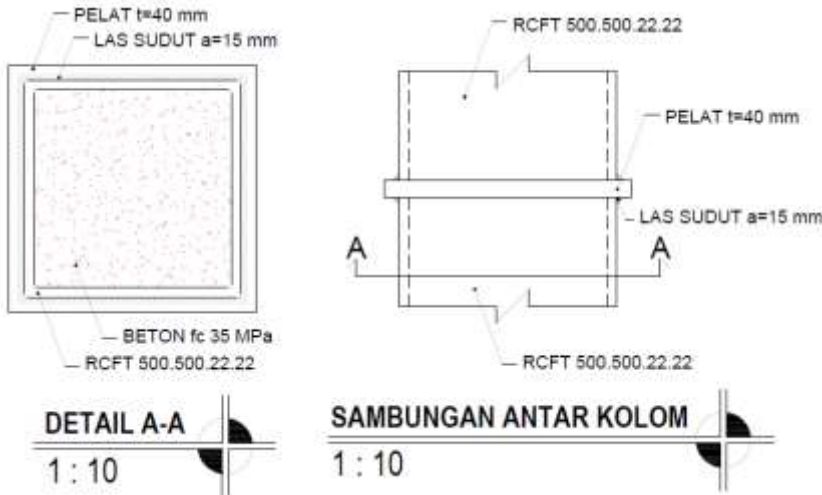
Syarat tebal kaki las

$$t_{plat} = 40 \text{ mm}, a \min = 6 \text{ mm}$$

$$a_{eff \ maks} = \frac{0,6 \times f_{ux} \times t}{2 \times 0,707 \times 0,6 \times f_{E110xx}} = \frac{0,6 \times 4100 \times 40}{2 \times 0,707 \times 0,6 \times 110 \times 70,3}$$

$$a_{eff \ maks} = 1,49985 \text{ cm}$$

Digunakan las sudut dengan  $a = 1,50 \text{ cm}$



Gambar IV.85 Detail sambungan Antar Kolom

#### 4.4.6 Sambungan kolom dengan *baseplate*

Perencanaan *base plate* dibawah ini menggunakan *fixed plate* dari katalog Continental Steel untuk profil HSS 700.700.28 dengan data – data sebagai berikut :

- H = 700 mm
- B = 700 mm
- t<sub>p</sub> = 60 mm

Dari hasil analisa ETABS 2016 didapat gaya-gaya yang bekerja adalah sebagai berikut:

$$\begin{aligned} P_u &= 169229,19 \text{ kg} \\ M_{uX} &= 30091,14 \text{ kg.cm} \\ M_{uY} &= 30091,14 \text{ kg.cm} \\ V_u &= 8589,45 \text{ kg} \end{aligned}$$

- Perencanaan Sambungan Las Sudut pada *Base Plate*  
Direncanakan las dengan te = 1 cm pada daerah yang diarsir pada profil HSS 500x500x22 sehingga didapat :

$$A_{las} = 4 \times (d_{kolom}) = 4 \times 50 = 280 \text{ cm}^2$$

$$I_x = \frac{(b+d)^3}{6} = \frac{(50+50)^3}{6} = 166666,67 \text{ cm}^4$$

$$I_y = \frac{(b+d)^3}{6} = \frac{(50+50)^3}{6} = 166666,67 \text{ cm}^4$$

$$S_x = b \times d + \left( \frac{d^2}{3} \right) = 50 \times 50 + \left( \frac{50^2}{3} \right) = 3333,3 \text{ cm}^3$$

$$S_y = b \times d + \left( \frac{d^2}{3} \right) = 50 \times 50 + \left( \frac{50^2}{3} \right) = 3333,3 \text{ cm}^3$$

$$\begin{aligned} f_{u,las} &= \varphi \cdot 0,6 \cdot F_{E70XX} = 0,75 \cdot 0,6 \cdot 110 \cdot 70,3 \cdot 1 \\ &= 3479,85 \text{ Kg/cm}^2 \end{aligned}$$

Akibat Pu:

$$\begin{aligned} f_v &= \frac{P_u}{A} + \frac{M_x}{S_x} + \frac{M_y}{S_y} \\ &= \frac{169229,19}{200} + \frac{30091,14}{3333,3} + \frac{30091,14}{3333,3} \\ &= 864,20 \text{ kg/cm}^2 \end{aligned}$$

Akibat Vu:

$$f_h = \frac{Vu}{A} = \frac{8589,45}{200} = 42,94 \text{ kg/cm}^2$$

$$f_{total} = \sqrt{f_p^2 + f_v^2} = \sqrt{42,94^2 + 864,20^2} \\ = 865,27 \text{ kg/cm}^2$$

$$te = \frac{f_{total}}{fu_{las}} = \frac{865,27}{3479,85} = 0,25 \text{ cm}$$

$$a = \frac{te}{0,707} = \frac{0,25}{0,707} = 0,35 \text{ cm} > (a \text{ min} = 6 \text{ mm})$$

Syarat- syarat tebal kaki las

Tebal minimum =  $t_{plat} = 60 \text{ mm}$

$$a_{eff\ max} = \frac{0,6 \times fu \times tp}{2 \times 0,707 \times 0,6 \times f_{E\ 110xx}} \\ = \frac{0,6 \times 4100 \times 6}{2 \times 0,707 \times 0,6 \times 110 \times 70,3} = 2,25 \text{ cm}$$

Sehingga dipakai las dengan  $a = 2,25 \text{ cm}$

- Perhitungan Base Plate

Periksa eksentrisitas gaya:

$$e = \frac{Muy}{Pu} = \frac{30091,14}{169229,19} = 0,18 \text{ cm}$$

$$1/6 h = 1/6 \cdot 100 = 16,67 \text{ cm} > e = 0,18 \text{ cm}$$

Karena  $1/6 h > e$ , maka tidak terjadi gaya tarik, sehingga tidak perlu memasang gaya angkur (dipasang angkur praktis)

Direncanakan diameter baut : 20 mm

$$h' \geq we + c1$$

$$we = \text{jarak baut ke tepi} = 2 \cdot db = 2 \cdot 2 = 4 \text{ cm}$$

$$c1 = \text{jarak minimum untuk kunci} = 27/16 \cdot 2 = 3,38 \text{ cm}$$

$$h' \geq 4 + 3,38 = 7,38 \text{ cm}$$

$$h \geq H - 0,5 \cdot h' = 70 - 0,5 \cdot 7,38 = 66,31 \text{ cm}$$

$$B = 70 \text{ cm}$$

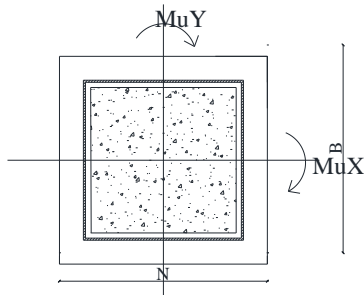
Dimensi beton :

Panjang : 800 mm

Lebar : 800 mm

$$\sqrt{\frac{A_2}{A_1}} = \sqrt{\frac{80.80}{70.70}} = 1,14$$

Perencanaan akibat beban sumbu X



Gambar IV.86 Arah Beban Sumbu X Pada Base Plate

- Akibat beban  $P_u$

$$f_{pa} = \frac{P_u}{B.N} = \frac{169229,19}{70.70} = 34,54 \text{ kg/cm}^2$$

- Akibat beban  $M_u$

$$f_{pb} = \frac{6.Mu}{B.N^2} = \frac{6.30091,14}{70.7} = 0,52 \text{ kg/cm}^2$$

- Tekanan maksimal

$$f_{p\ max} = f_{pa} + f_{pb} = 34,54 + 0,52 = 35,06 \text{ kg/cm}^2$$

- Tekanan yang dapat diterima kolom

$$f_{p\ avail} = \emptyset. 0,85. f'c = 0,90 \times 0,85 \times 35 = 26,775 \text{ Mpa}$$

$$f_{p\ avail} = 262,663 \text{ kg/cm}^2 > f_{p\ max} = 35,063 \text{ kg/cm}^2 (\text{OK})$$

- Menentukan  $M_{upl}$  pada sejarak  $m$  setiap lebar 1 cm pelat

$$m = \frac{N - 0,95.d}{2} = \frac{70 - 0,95 \cdot 50}{2} = 11,25 \text{ cm}$$

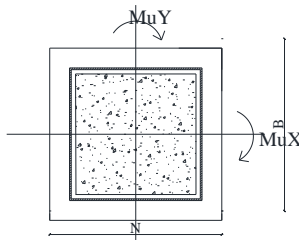
$$\begin{aligned} M_{upl} &= \left( f_{p\ max} - 2 \cdot f_{pb} \cdot \frac{m}{N} \right) \cdot \left( \frac{m^2}{2} \right) + \left( 2 \cdot f_{pb} \cdot \frac{m}{N} \right) \left( \frac{m^2}{3} \right) \\ &= \left( 35,06 - 2 \times 0,52 \cdot \frac{11,25}{70} \right) \cdot \left( \frac{11,25^2}{2} \right) + \left( 2 \times 0,52 - \frac{11,25}{70} \right) \left( \frac{11,25^2}{3} \right) \\ &= 2264,57 \text{ kg.cm/cm} \end{aligned}$$

- Menentukan tebal base plate

$$f_y = 2500 \text{ kg/cm}^2$$

$$t = \sqrt{\frac{4 \cdot M_{upl}}{0,9 \cdot f_y}} = \sqrt{\frac{4 \times 2264,57}{0,9 \cdot 2500}} = 2,01 \text{ cm} < 6 \text{ cm (OK)}$$

Perencanaan akibat beban sumbu Y



Gambar IV.87 Arah Beban Sumbu Y Pada Base Plate

- Akibat beban Pu

$$f_{pa} = \frac{P_u}{B \cdot N} = \frac{169229,19}{70,70} = 34,54 \text{ kg/cm}^2$$

- Akibat beban Mu

$$f_{pb} = \frac{6 \cdot Mu}{B \cdot N^2} = \frac{6 \cdot 30091,14}{70,7} = 0,52 \text{ kg/cm}^2$$

- Tekanan maksimal

$$f_{p\ max} = f_{pa} + f_{pb} = 34,54 + 0,52 = 35,06 \text{ kg/cm}^2$$

- Tekanan yang dapat diterima kolom

$$f_{p\ avail} = \emptyset \cdot 0,85 \cdot f'c = 0,90 \times 0,85 \times 35 = 26,775 \text{ MPa}$$

$$f_{p\ avail} = 262,663 \text{ kg/cm}^2 > f_{p\ max} = 35,063 \text{ kg/cm}^2 \text{ (OK)}$$

- Menentukan  $M_{upl}$  pada sejarak m setiap lebar 1 cm pelat

$$m = \frac{N - 0,95 \cdot d}{2} = \frac{70 - 0,95 \cdot 50}{2} = 11,25 \text{ cm}$$

$$\begin{aligned} M_{upl} &= \left( f_{p\ max} - 2 \cdot f_{pb} \cdot \frac{m}{N} \right) \cdot \left( \frac{m^2}{2} \right) + \left( 2 \cdot f_{pb} \cdot \frac{m}{N} \right) \left( \frac{m^2}{3} \right) \\ &= \left( 35,06 - 2 \times 0,52 \cdot \frac{11,25}{70} \right) \cdot \left( \frac{11,25^2}{2} \right) + \left( 2 \times 0,52 - \frac{11,25}{70} \right) \left( \frac{11,25^2}{3} \right) \\ &= 2264,57 \text{ kg.cm/cm} \end{aligned}$$

- Menentukan tebal base plate

$$f_y = 2500 \text{ kg/cm}^2$$

$$t = \sqrt{\frac{4 \cdot M_{upl}}{0,9 \cdot f_y}} = \sqrt{\frac{4 \times 2264,57}{0,9 \cdot 2500}} = 2,01 \text{ cm} < 6 \text{ cm (OK)}$$

- **Perencanaan pelat pengaku**

- Pelat pengaku direncanakan seperti dengan dengan balok yang menerima beban momen dari pelat landas.
- Dimensi pelat minimum menurut SNI-03-1729-2002 Pasal 8.11  
Tebal pelat pengaku minimum (ts)

$$t_s \geq 0,5 \cdot t_f \rightarrow 0,5 \times 2,2 = 1,1 \text{ cm}$$

Lebar pelat pengaku (bs)

$$b_s \geq \frac{b}{3} - \frac{tw}{2}$$

$$b_s \geq \frac{50}{3} - \frac{2,2}{2}$$

$$b_s \geq 15,57 \text{ cm}$$

Maka digunakan

$$t_s = 1,1 \text{ cm}$$

$$b_s = 16 \text{ cm}$$

- **Perencanaan baut angkur**

“Karena  $1/6 h > e$ , maka dipasang angkur praktis”

Perhitungan Baut Angkur:

Dipakai baut angkur M20 mm dengan fub = 8250 kg/cm<sup>2</sup>

$$\begin{aligned} \varphi V_n &= 0,75 \cdot r_1 \cdot f_{ub} \cdot A_b \cdot m \\ &= 0,75 \times 0,5 \times 8250 \times 3,14 \times 1 \end{aligned}$$

$$= 9719,3 \text{ kg (menentukan)}$$

$$\begin{aligned} \varphi R_n &= 2,4 \cdot \varphi \cdot d_b \cdot t_p \cdot f_u \\ &= 2,4 \cdot 0,75 \cdot 2 \cdot 6 \cdot 4100 \\ &= 88560 \text{ kg} \end{aligned}$$

- Kuat rencana tarik

$$\begin{aligned} T_d &= \varphi \cdot 0,75 \cdot f_{ub} \cdot A_b \\ &= 0,75 \times 0,75 \times 8250 \times 3,14 \\ &= 14579 \text{ kg} \end{aligned}$$

- Jumlah Baut

$$n = \frac{Vu}{\varphi Vn} = \frac{8589,45}{9719,3} = 0,88 \text{ buah}$$

Dipasang 8 baut angkur A325 M20 untuk menjaga stabilitas struktur.

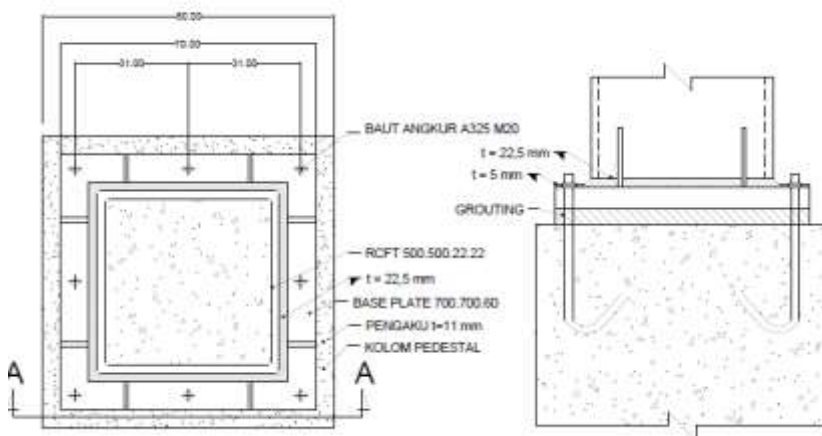
- Panjang Baut Angkur (panjang penyaluran struktur tarik)

$$\frac{ld}{db} = \frac{3fy \cdot \alpha \cdot \beta \cdot \lambda}{5 \cdot \sqrt{f'c}}$$

$$\frac{ld}{db} = \frac{3.250 \cdot 0,8 \cdot 0,8 \cdot 0,8}{5 \cdot \sqrt{35}}$$

$$ld = 25,96 \text{ cm} \approx 26 \text{ cm}$$

Maka panjang angkur yang dibutuhkan 26 cm



Gambar IV.88 Base Plate pada Kolom

*“Halaman ini sengaja dikosongkan”*

## **BAB V**

### **KESIMPULAN DAN SARAN**

#### **5.1 Kesimpulan**

Dari hasil perhitungan dan analisis yang telah dilakukan, maka dapat diperoleh kesimpulan sebagai berikut :

1. Hasil perhitungan struktur sekunder meliputi:
  - a. Pelat lantai menggunakan bondek dari Super Floor Deck ketebalan( $t$ ) = 0,75 mm. Dengan rincian :
    - Lantai Apartemen : tebal pelat = 90 mm dipasang tulangan negatif 5 Ø 8 – 250.
    - Lantai Atap : tebal pelat = 90 mm dipasang tulangan negatif 4 Ø 8 – 200.
  - b. Dimensi balok anak :  
Balok anak lantai : WF 350 x 250 x 8 x 12  
Balok anak atap : WF 350 x 250 x 8 x 12
2. Kontrol desain dalam permodelan dan analisa struktur yang meliputi kontrol nilai akhir respon spektrum, kontrol partisipasi massa, kontrol waktu getar alami fundamental, dan kontrol simpangan (*drift*) pada struktur dengan sistem SRBE / EBF yang direncanakan berlokasi di kota Surabaya telah memenuhi syarat pada SNI 1729-2012.
3. Simpangan lateral dan drift yang dihasilkan pada model gedung EBF-S lebih kecil dibandingkan dengan dua model gedung yang lain, dan Model gedung EBF-L memiliki nilai simpangan deck terbesar. Dengan demikian struktur gedung yang menggunakan *short link* (*link* pendek) memberikan respon yang lebih baik dibandingkan *intermediate link* (*link* menengah) maupun *long link* (*link* panjang).
4. Jika meninjau dari evaluasi terhadap desain struktur, semua model bangunan dalam penelitian kali ini memenuhi kriteria *Life Safety (LS)* pada saat performance point tercapai.
5. Model struktur tipe EBF-S memiliki gaya geser dasar ultimate yang jauh lebih besar dibandingkan model EBF-I dan EBF-L. Nilai gaya geser dasar ultimate terbesar dicapai pada model EBF-S pola *pushover* 1 arah Y, yaitu sebesar

7288,3257 kN. Sedangkan nilai gaya geser dasar ultimate terkecil terdapat pada model EBF-L pola *pushover* 2 arah X, yaitu sebesar 5051,6504 kN.

6. Model struktur tipe EBF-S memiliki kekakuan elastis yang jauh lebih besar dibandingkan model EBF-I dan EBF-L. Kekakuan terbesar dicapai pada model EBF-S pola *pushover* 1 arah Y, yaitu sebesar 47354,7791 kN/m. Sedangkan kekakuan terkecil terdapat pada model EBF-L pola *pushover* 2 arah X, yaitu sebesar 20670,5846 kN/m.
7. Model struktur tipe EBF-S memiliki daktilitas yang lebih besar dibandingkan model EBF-I dan EBF-L. Kekakuan terbesar dicapai pada model EBF-S pola *pushover* 1 arah Y, yaitu sebesar 4,61. Sedangkan kekakuan terkecil terdapat pada model EBF-L pola *pushover* 2 arah Y, yaitu sebesar 4,01.
8. Hasil perhitungan struktur primer meliputi:
  - a. Dimensi *Link* : WF 400 x 200 x 8 x 13
  - b. Dimensi Balok Diluar *Link* : WF 400 x 200 x 8 x 13
  - c. Dimensi Bresing : WF 200 x 200 x 8 x 12
  - d. Dimensi Balok Induk : WF 400 x 200 x 8 x 13
  - e. Dimensi Kolom : HSS 500 x 500 x 22
9. Hasil perencanaan sambungan
  - a. Sambungan Struktur Sekunder
 

Pada perencanaan sambungan, direncanakan baut dengan mutu A325 dan pelat penyambung profil siku dengan mutu BJ41. Hasil perhitungan sambungan struktur sekunder terlampir pada tabel 5.1 berikut ini.

Tabel 5.1 Sambungan Struktur Sekunder

Elemen		Profil Siku	D (mm)	n (jb)
Balok anak - balok Induk	Badan B.Anak	L60.60.6	12	2
	Badan B.Induk	L60.60.6	12	2

b. Sambungan Struktur Primer

Pada perencanaan sambungan, direncanakan baut dengan mutu A490, Mutu las FE<sub>70XX</sub> dan FE<sub>110XX</sub>, dan pelat penyambung mutu BJ-41. Hasil perhitungan sambungan struktur primer tersaji pada tabel 5.2 berikut ini.

Tabel 5.2 Sambungan Struktur Primer

Elemen	D badan (mm)	n badan (buah)	D sayap (mm)	n sayap (buah)
Balok diluar Link X dan Kolom	20	4	20	12
Balok diluar Link Y dan Kolom	20	4	20	12
Bresing X	16	6	16	8
Bresing Y	16	6	16	8
Balok Induk X dan Kolom	20	3	20	12
Balok Induk Y dan Kolom	20	3	20	12
Antar Kolom	Las tumpul penetrasi penuh 2,5 cm			
Kolom - Base Plate	T Plat =	60 mm	n angkur	8M22

## 10. Hasil penggambaran teknik

Hasil perencanaan gambar teknik dapat dilihat di lampiran.

## 5.2 Saran

Beberapa saran yang dapat penulis berikan untuk dapat memperbaiki dan melengkapi penelitian yang telah penulis lakukan adalah sebagai berikut:

1. Perlu dilakukan penelitian lebih lanjut dengan menggunakan ketinggian gedung yang berbeda-beda untuk membuktikan kebenaran analisis mengenai kekuatan, kekakuan dan daktilitas struktur EBF.
2. Perlu dilakukan penelitian lebih lanjut dengan menggunakan analisis nonlinier dinamik *Time History* untuk membuktikan kebenaran analisis nonlinier statik *Pushover*.

*“Halaman ini sengaja dikosongkan”*

## **DAFTAR PUSTAKA**

- American Institute of Steel Construction, 2005. *Seismic Provision for Structural Steel Buildings*. AISC, Inc.
- ANSI/AISC, 341-10. (2010), “*Seismic Provisions for Structural Steel Buildings*”. American Institute of Steel Construction, Chicago, Illinois.
- ANSI/AISC, 360-10. (2010), “*Specification for Structural Steel Buildings*”. American Institute of Steel Construction, Chicago, Illinois.
- Badan Standarisasi Nasional. 2012. *Tata Cara Perencanaan Ketahanan Gempa Untuk Bangunan Gedung (SNI 03-1726-2012)*. Bandung : BSN
- Badan Standarisasi Nasional. 2002. *Tata Cara Perencanaan Struktur Baja Untuk Bangunan Gedung (SNI 03-1729-2002)*. Bandung : BSN
- Badan Standarisasi Nasional. 2002. *Beban Minimum Gedung dan Struktur Lain (SNI 03-1727-2013)*. Bandung : BSN
- Badan Standarisasi Nasional. 2015. *Spesifikasi untuk Bangunan Baja Struktural (SNI 03-1729-2015)*. Bandung : BSN
- Bruneau, Michel, Chia-Ming Uang, dan Rafael Sabbelli. (2011), “*Ductile Design of Steel Structures – Second Edition*”. McGraw-Hill Companies, Inc., United States of America.
- Budiono, Bambang, Yurisman, Nidiasari. (2011), “Perilaku Link Panjang dengan Pengaku Diagonal Badan pada Sistem Struktur Rangka Baja Tahan Gempa”. *Seminar dan Pameran HAKI*. Jakarta.

Daneshmand, Ardeshir, dan Behrokh H. Hashemi. (2011), “Performance of Intermediate and Long Links in Eccentrically Braced Frames”. *Journal of Constructional Steel Research*, 70(11):167-176.

Departemen Pekerjaan Umum, 1983. *Peraturan Pembebatan Indonesia Untuk Bangunan Gedung (PPIUG 1983)*. Bandung: Yayasan Lembaga Penyelidikan Masalah Bangunan.

Dewobroto, Wiryanto. (2015), “*Stuktur Baja – Perilaku, Analisis & Desain – AISC 2010*”. Lumina Press, Jakarta.

Engelhardt, Michael D. (2007), “Design of Seismic-Resistant Steel Building Structures”. *AISC Module for Teaching the Principles of Seismic- Resistant Design of Steel Building Structures*, American Institute of Steel Construction, Chicago, Illinois.

Engelhardt, Michael D., Popov, Egor P. 1992. *Experimental Performance of Long Link in Eccentricaly Braced Frames*. Journal of Strctural Engineering. Vol. 118, No. 11.

FEMA, 356. (2000), “*Prestandard and Commentary for the Seismic Rehabilitation of Buildings*”. American Society of Civil Engineers, Washington, D.C.

FEMA, 440. (2005), “*Improvement of Nonlinear Static Seismic Analysis Procedures*”. Applied Technology Council (ATC-55 Project), Washington, D.C.

Ghobarah, A., dan T. Ramadan. (1991), “Seismic Analysis of Links of Various Lengths in Eccentrically Braced Frames”. *Journal of Civil Engineering*, 18 (6) : 140-148.

Hall, R., 1995, *Plate Tectonic Reconstructions of the Indonesian Region*, Proceedings Indonesian Petroleum Association vol. 1, 1995, IPA, p. 70-84

Marwan, Isdarmanu, 2006. *Buku Ajar : Struktur Baja I*. Surabaya : Jurusan Teknik Sipil FTSP-ITS

Ohsaki, M., dan T. Nakajima. (2012), "Optimization of Link Member of Eccentrically Braced Frames for Maximum Energy Dissipation". *Journal of Constructional Steel Research*. 75 (4): 38-44.

Pirmoz, Akbar, dan Mohammad S. Marefat. (2014), "Reliability Assesment of Compression Column in Seismic EBFs". *Journal of Constructional Steel Research*, 104 (10): 274-281.

Popov. Egor P., Kazuhiko Kasai, dan Michael D. Engelhardt. 1987. "Advances in Design of Eccentrically Braced Frames". *Buletin of the New Zealand National Society for Earthquake Engineering*, Vol. 20, No. 1, Maret.

Popov, E. P., and Engelhardt M. D., 1988. *Seismic Eccentrically Braced Frames*. J. Construct. Steel Research.

Richards, Paul W., dan Chia-Ming Uang. (2005), "Effect of Flange Width- Thickness Ratio on Eccentrically Braced Frames Link Cyclic Rotation Capacity". *Journal of Structural Engineering*, 131 (10): 1546-1552.

Yurisman, Bambang Budiono, Muslinang Moestopo, dan Made Suarjana. (2010), "Behavior of Shear Link of WF Section with Diagonal Web Stiffener of Eccentrically Braced Frame (EBF) of Steel Structure". *Journal of Engineering*

*Sciences*, 2 (7): 103-128. Institut Teknologi Bandung, Bandung.

## **LAMPIRAN**



Jurusan Teknik Sipil  
Fakultas Teknik Sipil Dan Perencanaan  
Institut Teknologi Sepuluh Nopember

Judul Tugas Akhir

**STUDI PERILAKU STRUKTUR  
*ECCENTRICALLY BRACED  
FRAME (EBF) DENGAN FINITE  
ELEMENT METHOD***

Dosen Pembimbing

1. Budi Suswanto, ST., MT., Ph.D  
2. Ir. Isdarmanu, M.Sc.

Keterangan

Nama Mahasiswa

Fajri Aulia Ansharullah Rusydi

NRP Mahasiswa

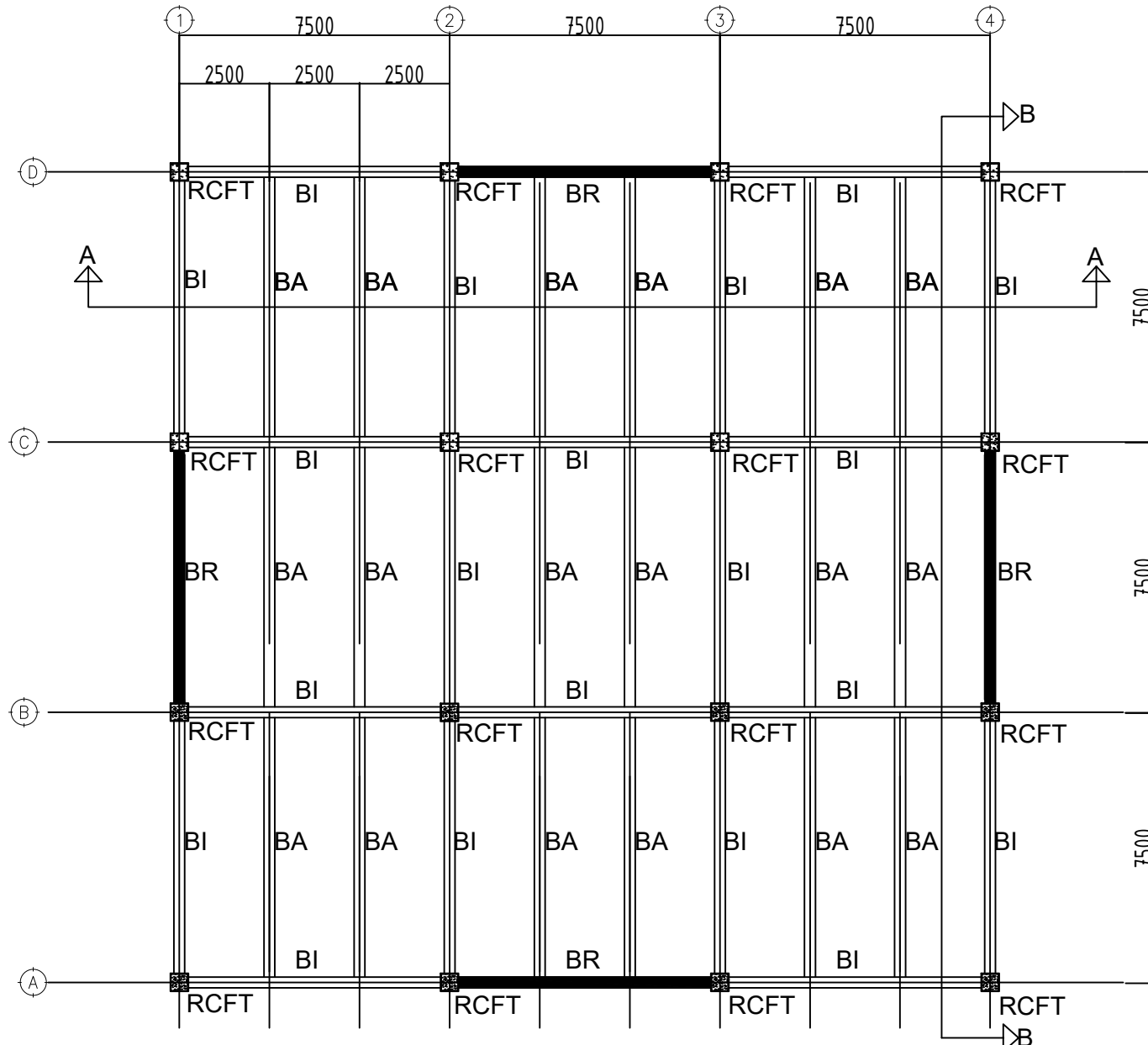
03111440000123

Nama Gambar Skala

DENAH BANGUNAN MODEL 1 : 175

Kode No Gambar Jumlah Gambar

STR 01 10



**DENAH BANGUNAN MODEL**

SKALA 1: 175



Jurusan Teknik Sipil  
Fakultas Teknik Sipil Dan Perencanaan  
Institut Teknologi Sepuluh Nopember

Judul Tugas Akhir

**STUDI PERILAKU STRUKTUR  
*ECCENTRICALLY BRACED  
FRAME (EBF) DENGAN FINITE  
ELEMENT METHOD***

Dosen Pembimbing

1. Budi Suswanto, ST., MT., Ph.D  
2. Ir. Isdarmanu, M.Sc.

Keterangan

Nama Mahasiswa

Fajri Aulia Ansharullah Rusydi

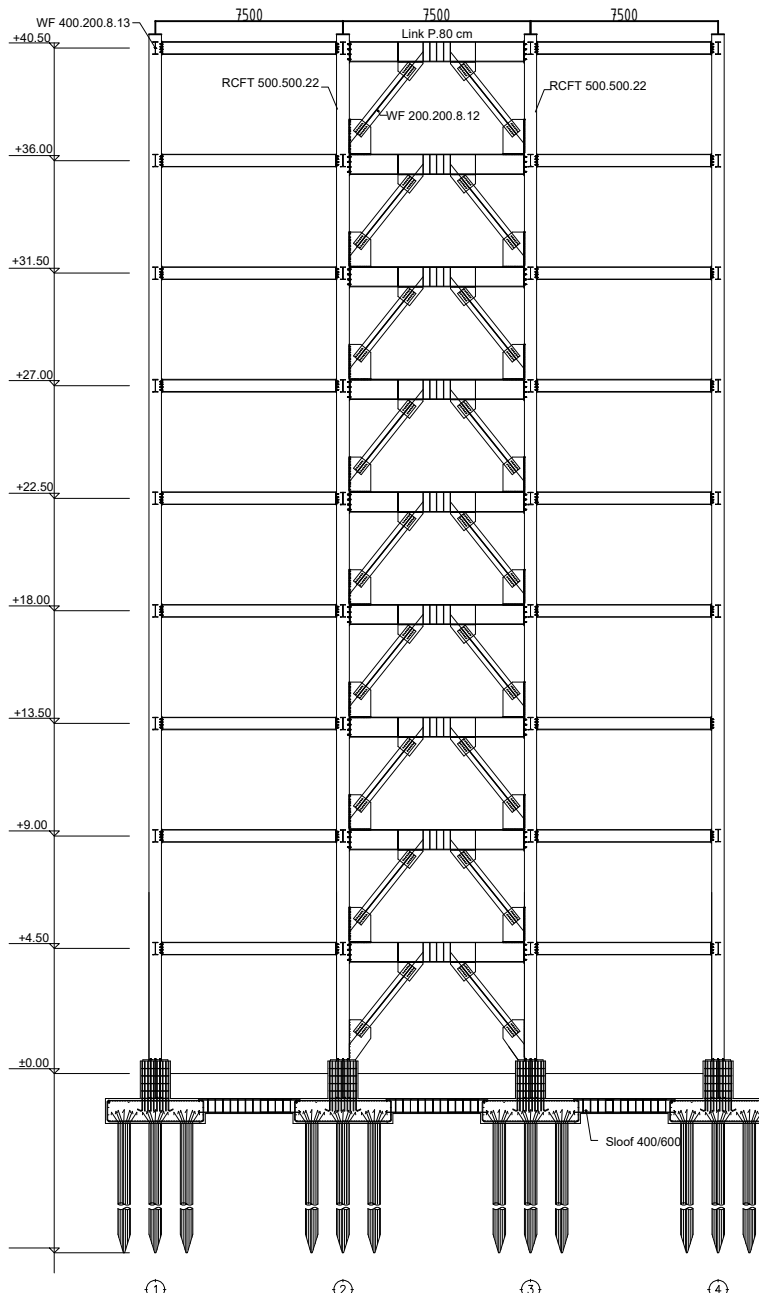
NRP Mahasiswa

03111440000123

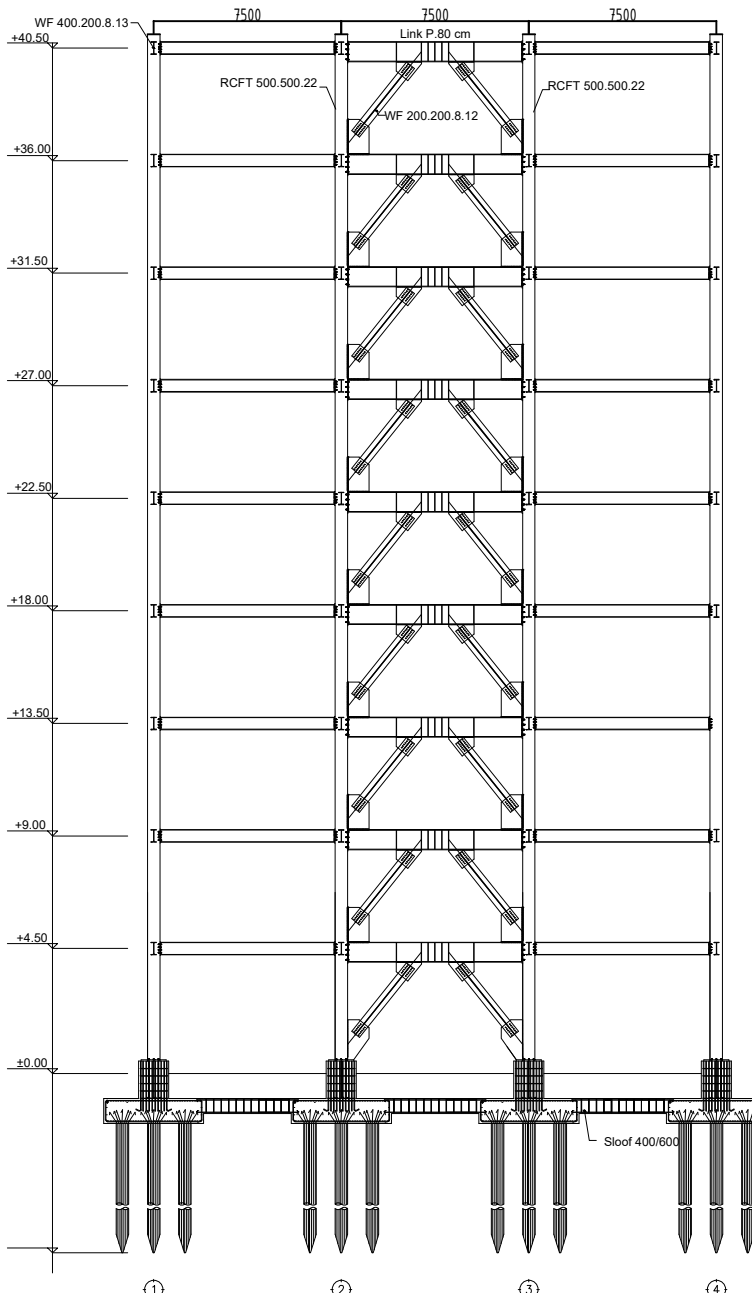
Nama Gambar	Skala
-------------	-------

POTONGAN A-A POTONGAN B-B	1 : 300
------------------------------	---------

Kode	No Gambar	Jumlah Gambar
STR	02	10



SKALA 1: 300



SKALA 1: 300



Jurusan Teknik Sipil  
Fakultas Teknik Sipil Dan Perencanaan  
Institut Teknologi Sepuluh Nopember

Judul Tugas Akhir

**STUDI PERILAKU STRUKTUR  
*ECCENTRICALLY BRACED  
FRAME (EBF)* DENGAN FINITE  
ELEMENT METHOD**

Dosen Pembimbing

1. Budi Suswanto, ST., MT., Ph.D  
2. Ir. Isdarmanu, M.Sc.

Keterangan

Nama Mahasiswa

Fajri Aulia Ansharullah Rusydi

NRP Mahasiswa

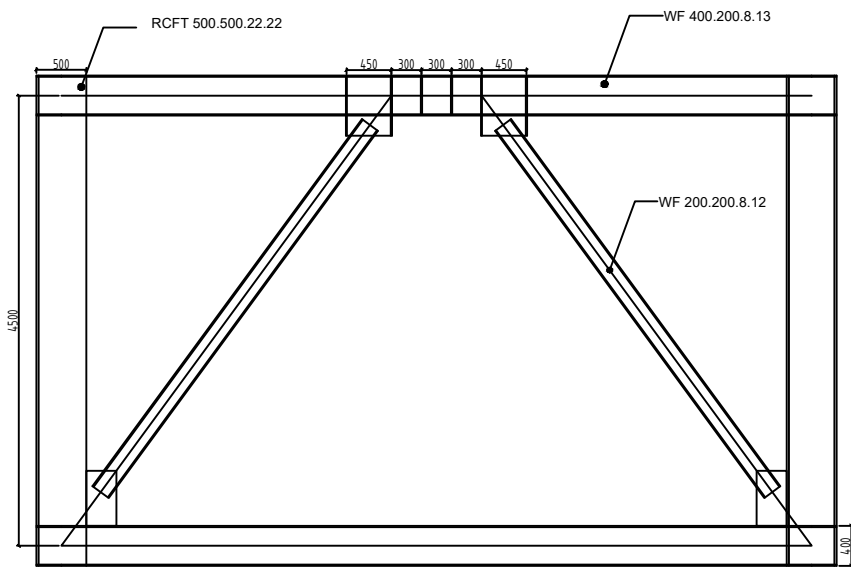
03111440000123

Nama Gambar	Skala
-------------	-------

STRUKTUR EBF-S, EBF-I, DAN EBF-L	1 : 75
-------------------------------------	--------

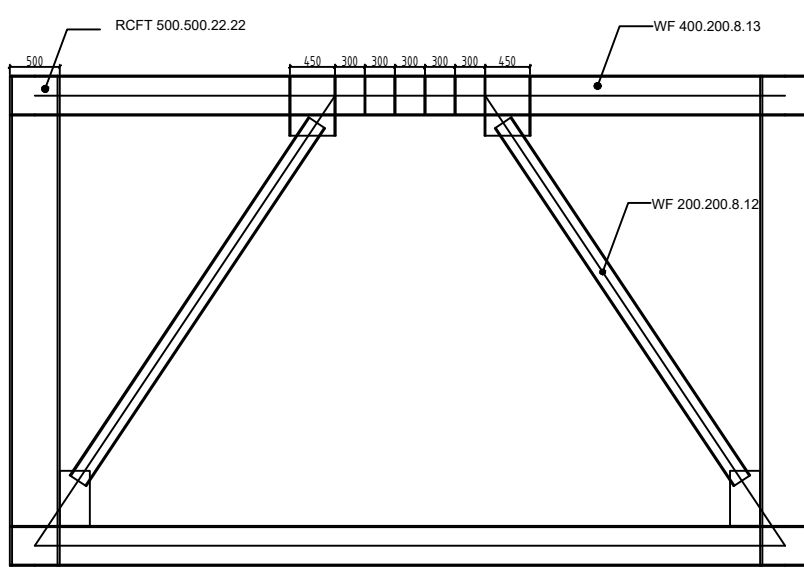
Kode	No Gambar	Jumlah Gambar
------	--------------	------------------

STR	03	10
-----	----	----



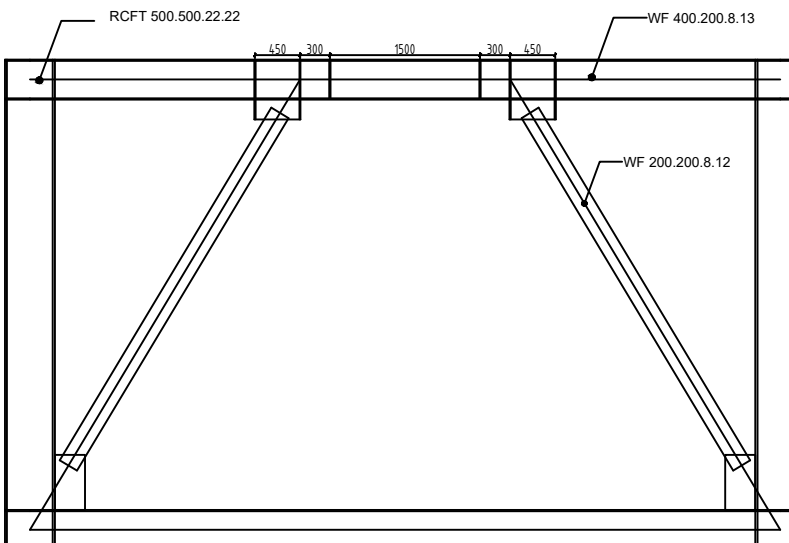
**STRUKTUR EBF-S**

SKALA I: 75



**STRUKTUR EBF-I**

SKALA I: 75



**STRUKTUR EBF-L**

SKALA I: 75



Jurusan Teknik Sipil  
Fakultas Teknik Sipil Dan Perencanaan  
Institut Teknologi Sepuluh Nopember

Judul Tugas Akhir

**STUDI PERILAKU STRUKTUR  
*ECCENTRICALLY BRACED  
FRAME (EBF) DENGAN FINITE  
ELEMENT METHOD***

Dosen Pembimbing

1. Budi Suswanto, ST., MT., Ph.D  
2. Ir. Isdarmanu, M.Sc.

Keterangan

Nama Mahasiswa

Fajri Aulia Ansharullah Rusydi

NRP Mahasiswa

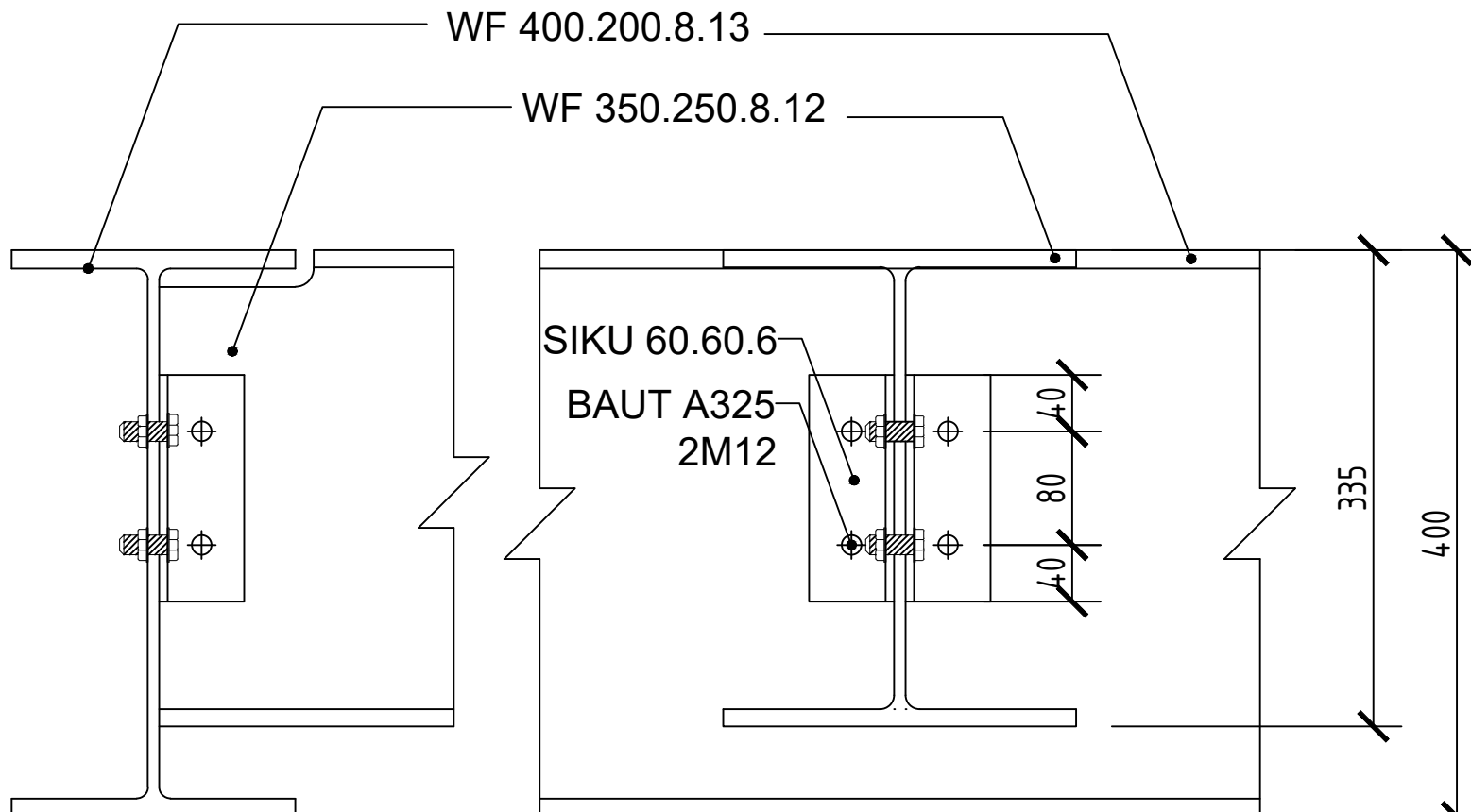
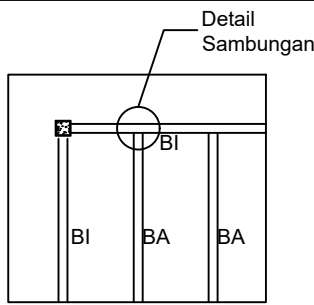
03111440000123

Nama Gambar Skala

SAMBUNGAN BALOK  
ANAK - INDUK (LANTAI  
ATAP) 1 : 5

Kode No  
Gambar Jumlah  
Gambar

STR 04 10



**SAMBUNGAN BALOK INDUK DAN BALOK ANAK (LANTAI ATAP)**

SKALA 1: 5



Jurusan Teknik Sipil  
Fakultas Teknik Sipil Dan Perencanaan  
Institut Teknologi Sepuluh Nopember

Judul Tugas Akhir

**STUDI PERILAKU STRUKTUR  
*ECCENTRICALLY BRACED  
FRAME (EBF) DENGAN FINITE  
ELEMENT METHOD***

Dosen Pembimbing

1. Budi Suswanto, ST., MT., Ph.D  
2. Ir. Isdarmanu, M.Sc.

Keterangan

Nama Mahasiswa

Fajri Aulia Ansharullah Rusydi

NRP Mahasiswa

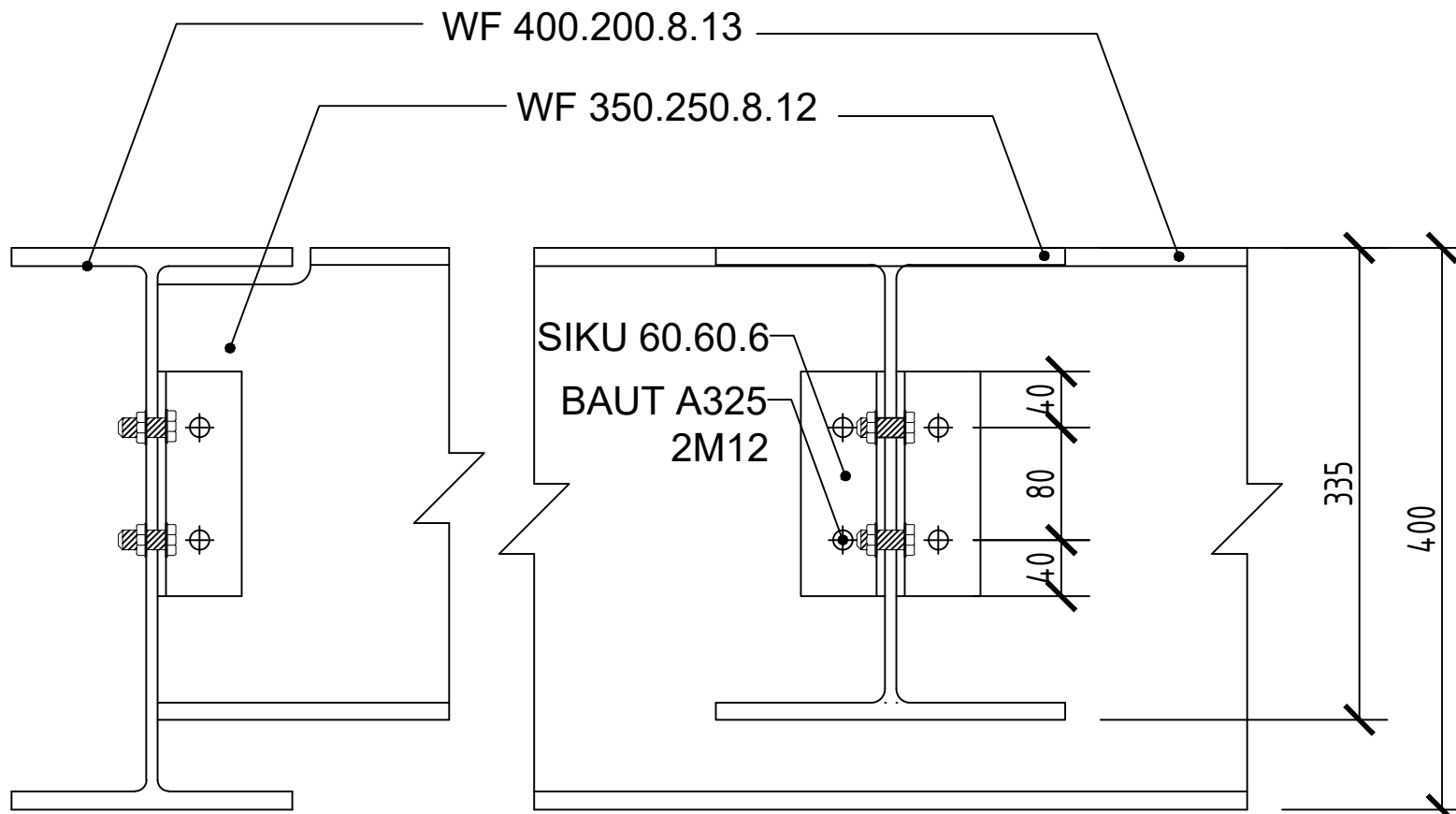
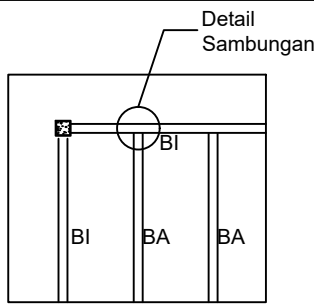
03111440000123

Nama Gambar Skala

SAMBUNGAN BALOK  
ANAK - INDUK (LANTAI  
GEDUNG) 1 : 5

Kode No  
Gambar Jumlah  
Gambar

STR 05 10



**SAMBUNGAN BALOK INDUK DAN BALOK ANAK (LANTAI GEDUNG)**

SKALA 1: 5



Jurusan Teknik Sipil  
Fakultas Teknik Sipil Dan Perencanaan  
Intitut Teknologi Sepuluh Nopember

Judul Tugas Akhir

## **STUDI PERILAKU STRUKTUR *ECCENTRICALLY BRACED FRAME (EBF) DENGAN FINITE ELEMENT METHOD***

Dosen Pembimbing

**1. Budi Suswanto, ST., MT., Ph.D  
2. Ir. Isdarmau, M.Sc.**

## Keterangan

Nama Mahasiswa

Fairi Aulia Ansharullah Rusydi

NRP Mahasiswa

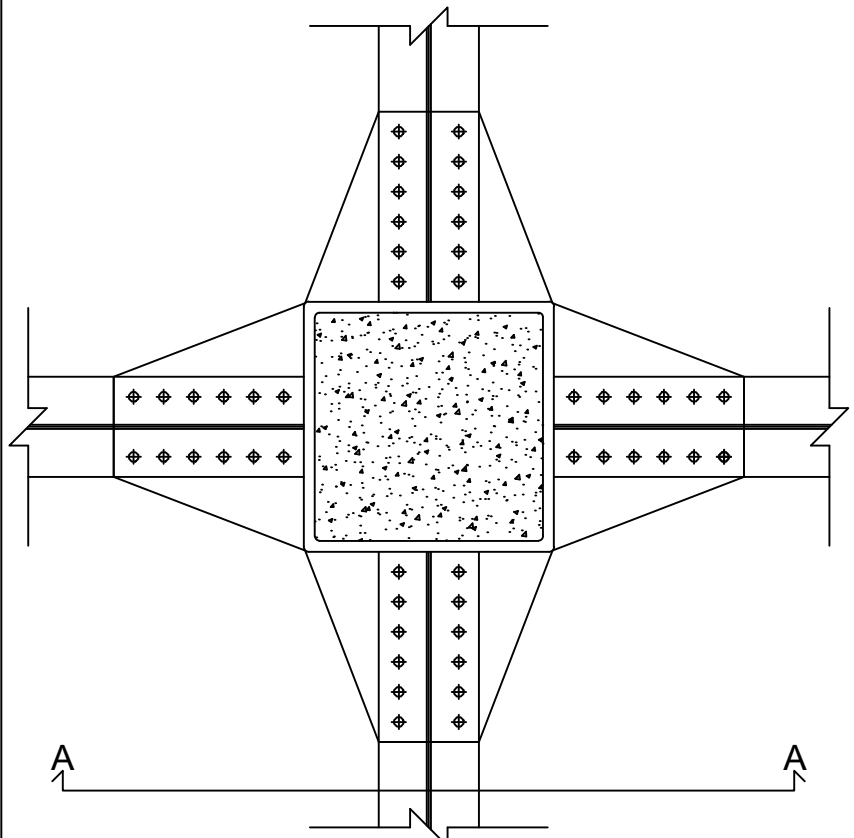
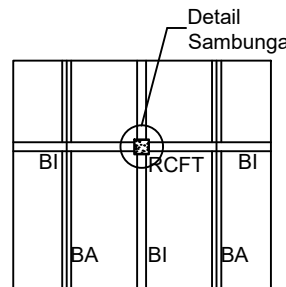
03111440000123

Nama Gambar | Skala

AMBUNGAN BALOK DI  
LUAR LINK - KOLOM  
POTONGAN A-A | 1 : 15

Kode	No Gambar	Jumlah Gambar
------	--------------	------------------

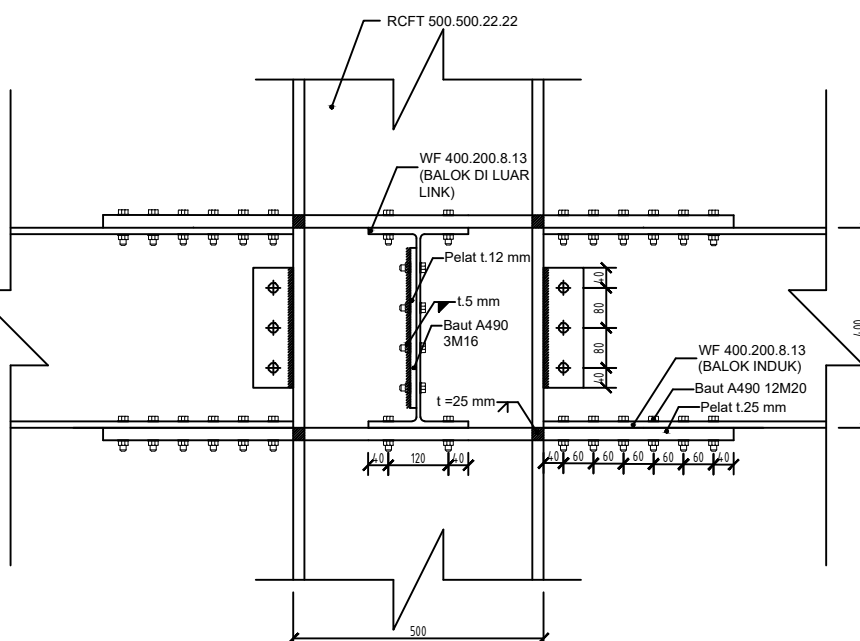
STR 06 10



## SAMBUNGAN BALOK DI LUAR LINK DENGAN KOLOM

---

SKALA I: 15



POTONGAN A-A

SKAI A 1-15



Jurusan Teknik Sipil  
Fakultas Teknik Sipil Dan Perencanaan  
Institut Teknologi Sepuluh Nopember

Judul Tugas Akhir

**STUDI PERILAKU STRUKTUR  
ECCENTRICALLY BRACED  
FRAME (EBF) DENGAN FINITE  
ELEMENT METHOD**

Dosen Pembimbing

1. Budi Suswanto, ST., MT., Ph.D  
2. Ir. Isdarmanu, M.Sc.

Keterangan

Nama Mahasiswa

Fajri Aulia Ansharullah Rusydi

NRP Mahasiswa

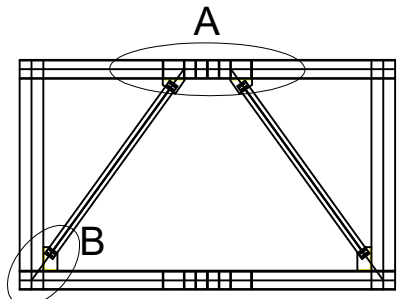
03111440000123

Nama Gambar Skala

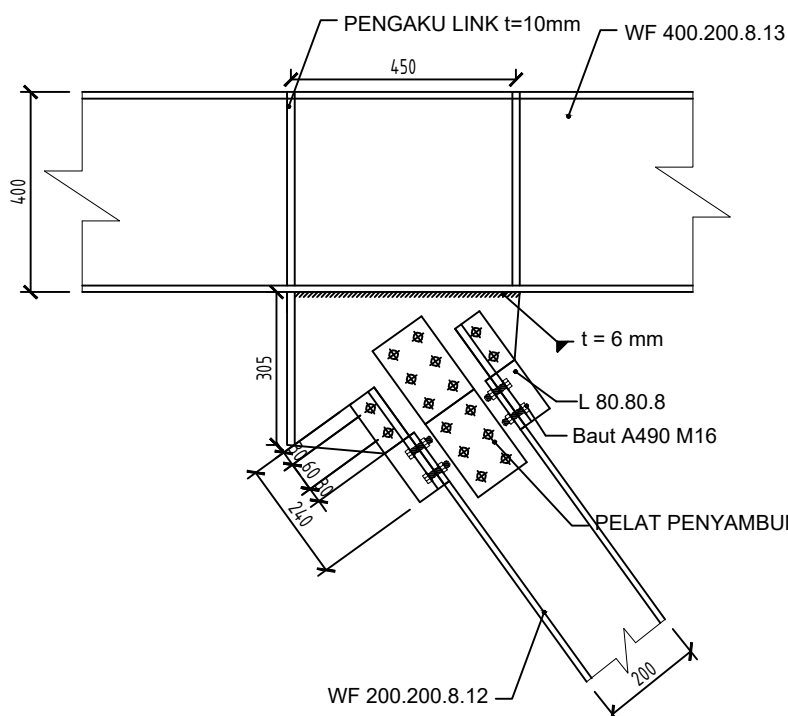
DETAIL BRESSING 1 : 15

Kode No Gambar Jumlah Gambar

STR 07 10

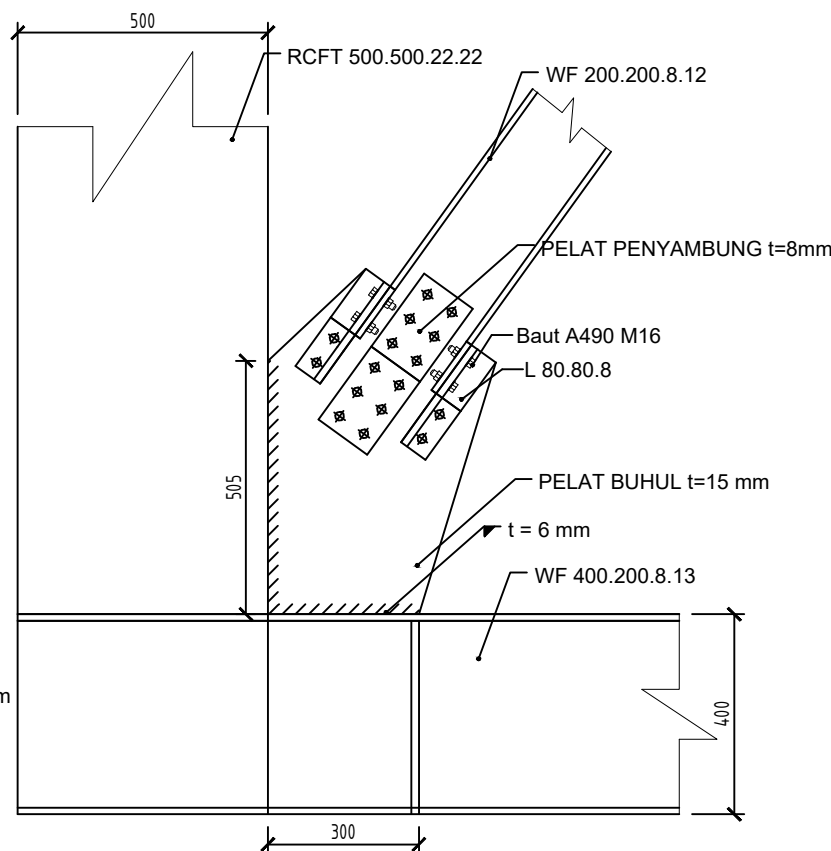


**Bracing Lantai 1-10**



**DETAIL A**

SKALA 1: 15



**DETAIL B**

SKALA 1: 15



Jurusan Teknik Sipil  
Fakultas Teknik Sipil Dan Perencanaan  
Institut Teknologi Sepuluh Nopember

Judul Tugas Akhir

**STUDI PERILAKU STRUKTUR  
ECCENTRICALLY BRACED  
FRAME (EBF) DENGAN FINITE  
ELEMENT METHOD**

Dosen Pembimbing

1. Budi Suswanto, ST., MT., Ph.D  
2. Ir. Isdarmanu, M.Sc.

Keterangan

Nama Mahasiswa

Fajri Aulia Ansharullah Rusydi

NRP Mahasiswa

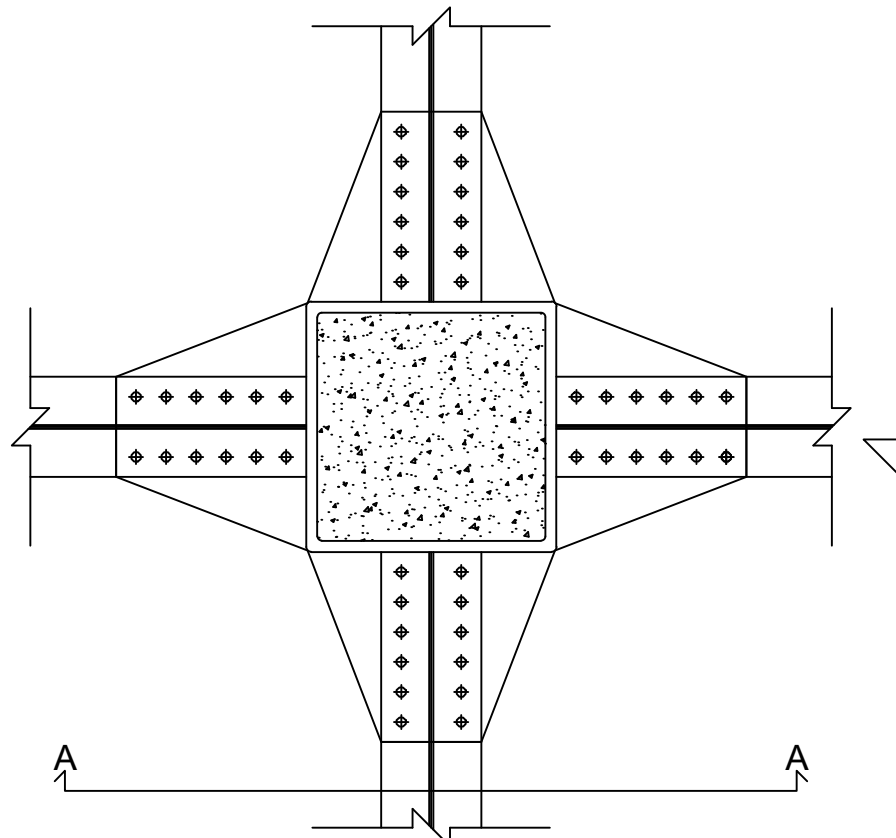
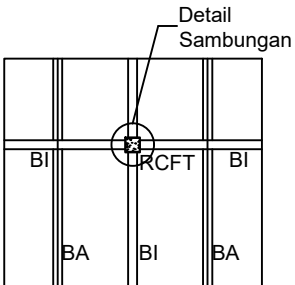
03111440000123

Nama Gambar Skala

SAMBUNGAN BALOK  
INDUK - KOLOM  
POTONGAN A-A 1 : 15

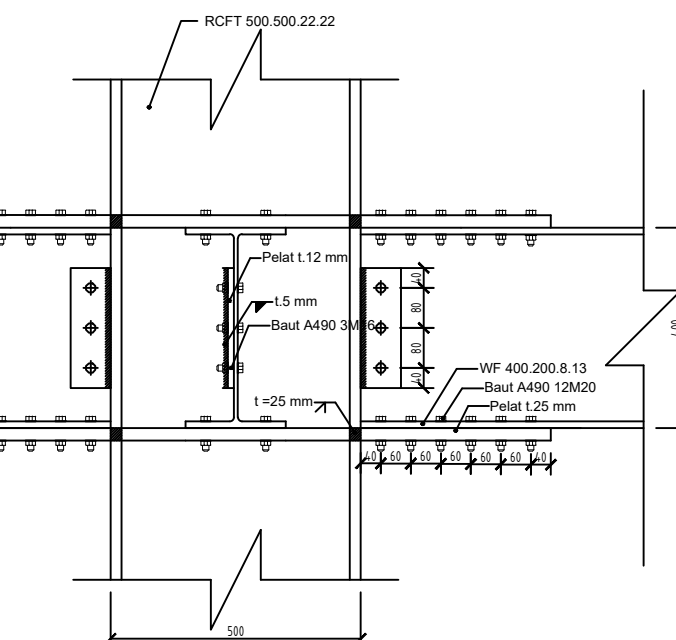
Kode No  
Gambar Jumlah  
Gambar

STR 08 10



**SAMBUNGAN BALOK DI LUAR LINK DENGAN KOLOM**

SKALA 1: 15



**POTONGAN A-A**

SKALA 1: 15



Jurusan Teknik Sipil  
Fakultas Teknik Sipil Dan Perencanaan  
Institut Teknologi Sepuluh Nopember

Judul Tugas Akhir

**STUDI PERILAKU STRUKTUR  
*ECCENTRICALLY BRACED  
FRAME (EBF) DENGAN FINITE  
ELEMENT METHOD***

Dosen Pembimbing

1. Budi Suswanto, ST., MT., Ph.D  
2. Ir. Isdarmanu, M.Sc.

Keterangan

Nama Mahasiswa

Fajri Aulia Ansharullah Rusydi

NRP Mahasiswa

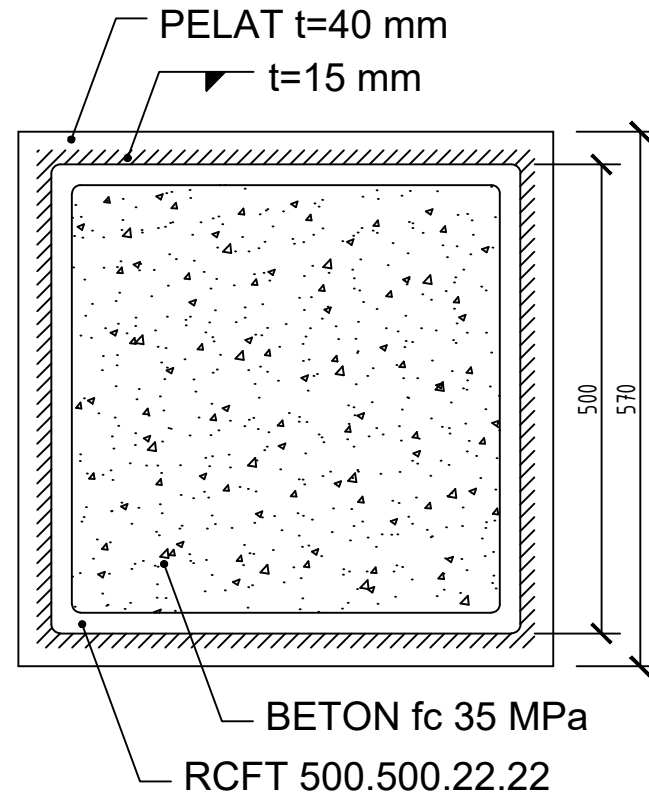
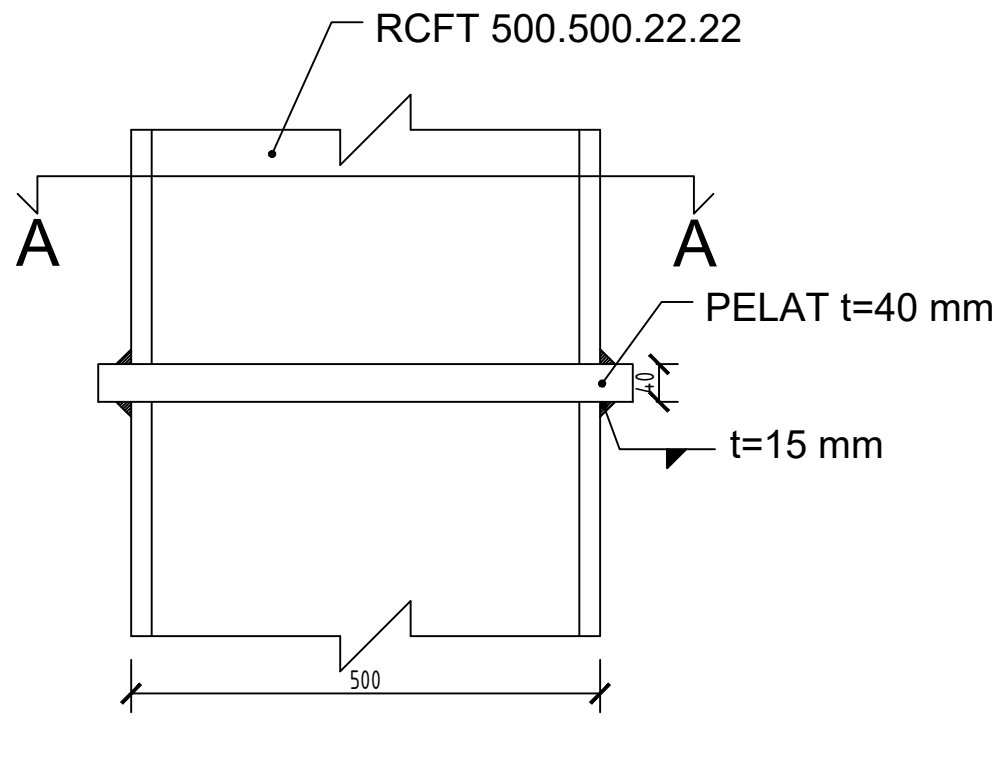
03111440000123

Nama Gambar	Skala
-------------	-------

SAMBUNGAN BALOK INDUK - KOLOM POTONGAN A-A	1 : 8
--	-------

Kode	No Gambar	Jumlah Gambar
------	--------------	------------------

STR	09	10
-----	----	----





Jurusan Teknik Sipil  
Fakultas Teknik Sipil Dan Perencanaan  
Institut Teknologi Sepuluh Nopember

Judul Tugas Akhir

**STUDI PERILAKU STRUKTUR  
*ECCENTRICALLY BRACED  
FRAME (EBF) DENGAN FINITE  
ELEMENT METHOD***

Dosen Pembimbing

1. Budi Suswanto, ST., MT., Ph.D  
2. Ir. Isdarmanu, M.Sc.

Keterangan

Nama Mahasiswa

Fajri Aulia Ansharullah Rusydi

NRP Mahasiswa

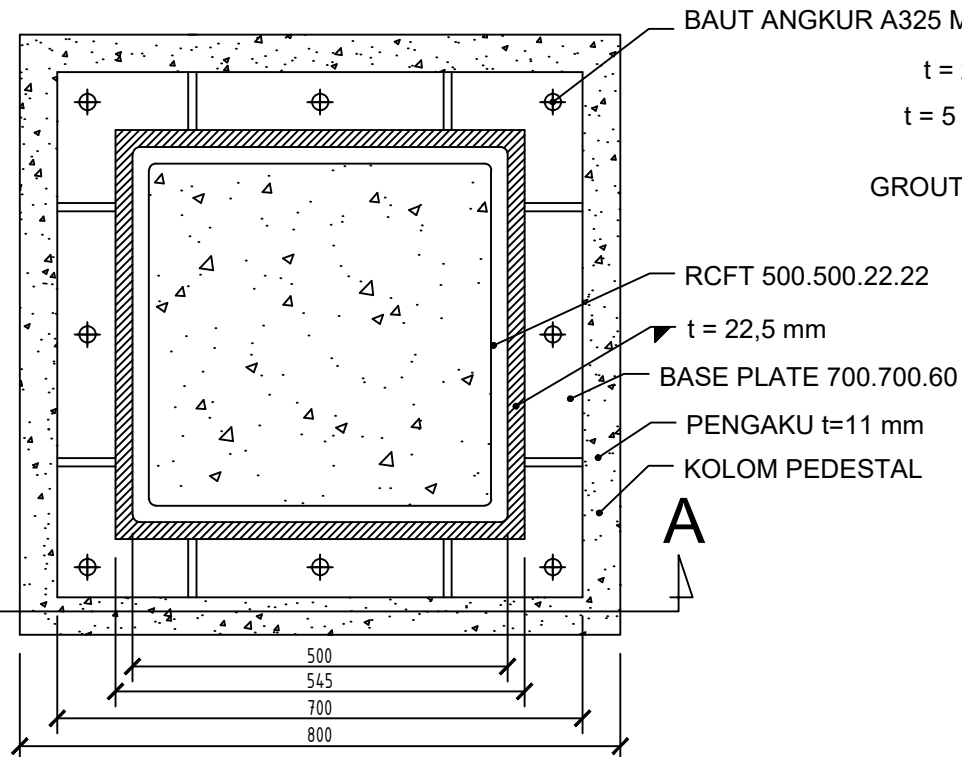
03111440000123

Nama Gambar	Skala
-------------	-------

SAMBUNGAN BALOK INDUK - KOLOM POTONGAN A-A	1 : 8
--	-------

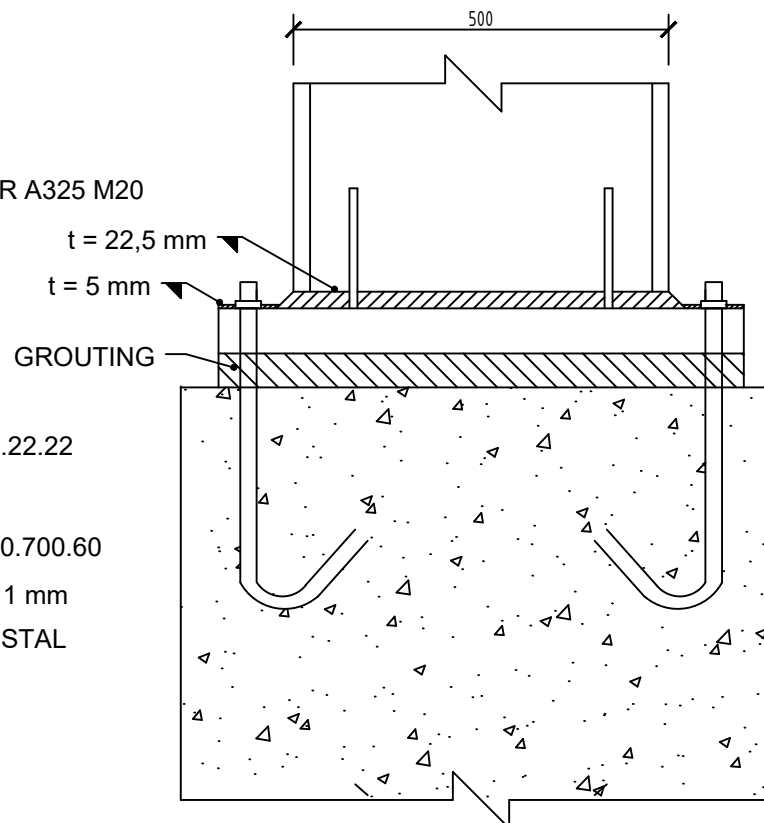
Kode	No Gambar	Jumlah Gambar
------	--------------	------------------

STR	10	10
-----	----	----



**SAMBUNGAN KOLOM DENGAN BASEPLATE**

SKALA 1: 10



**POTONGAN A-A**

SKALA 1: 10

## BIODATA PENULIS



Penulis bernama Fajri Aulia Ansharullah Rusydi, dilahirkan di kota Bangko, Jambi pada tanggal 19 Juni 1995, merupakan anak pertama dari tiga bersaudara pasangan Rusdi dan Nur Asiah. Penulis telah menempuh pendidikan formal di TK Pembina Muara Bungo, SDN 60 Muara Bungo, SMPN 1 Muara Bungo, dan SMAN 1 Muara Bungo. Kemudian penulis melanjutkan pendidikan sarjananya di

Jurusan Teknik Sipil, Fakultas Teknik Sipil, Lingkungan, dan Kebumian Institut Teknologi Sepuluh Nopember Surabaya dan terdaftar dengan NRP. 03111440000123. Selama menempuh studi, penulis aktif di beberapa organisasi kemahasiswaan, yaitu Staff bidang Keprofesian dan Keilmiahan Himpunan Mahasiswa Sipil (HMS) FTSLK-ITS (2015-2016), Staff Jaringan Dalam Negeri Lembaga Dakwah Jurusan Al-Hadid Teknik Sipil FTSLK-ITS (2015-2016), dan Asisten Dirjen Kementerian Inkubator Kajian Badan Eksekutif Mahasiswa (BEM) ITS (2017-2018). Penulis adalah Mahasiswa Program Sarjana (S1) dengan bidang Studi Struktur dengan mengambil judul tugas akhir "**Studi Perilaku Struktur Eccentrically Braced Frame (EBF) Dengan Finite Element Method**".

Narahubung

Email : fajri.auliaa@gmail.com

No. Hp : 082135846942